

การคัดเลือกและศึกษาคุณสมบัติของโprobeใบโอติกแบนค์ที่เรียกว่ามีประสิทธิภาพ  
ยับยั้งการเจริญของเซลล์มะเร็งลำไส้



ผ่องพรพรรณ บุญประสม

วิทยานิพนธ์นี้เป็นส่วนหนึ่งของความสมบูรณ์ของการศึกษาตามหลักสูตร

บริษัทวิทยาศาสตร์มหาบัณฑิต สาขาวิชาเทคโนโลยีชีวภาพ

สำนักงานบัณฑิตศึกษา มหาวิทยาลัยแม่โจ้

พ.ศ. 2551

ลิขสิทธิ์ของมหาวิทยาลัยแม่โจ้



ใบรับรองวิทยานิพนธ์  
สำนักงานบัณฑิตศึกษา มหาวิทยาลัยแม่โจ้  
ปริญญาวิทยาศาสตรมหาบัณฑิต สาขาวิชาเทคโนโลยีชีวภาพ

ชื่อเรื่อง

การคัดเลือกและศึกษาคุณสมบัติของโปรไบโอดิคแบบที่เรียกว่ามีประสิทธิภาพ  
ยับยั้งการเจริญของเซลล์มะเร็งลำไส้

โดย

ผ่องพรรดา บุญประสม

พิจารณาเห็นชอบโดย

ประธานกรรมการที่ปรึกษา

(อาจารย์ ดร. มงคล ถิรบุญยานนท์)  
วันที่ ๒๑ เดือน พฤษภาคม พ.ศ. ๒๕๕๑

กรรมการที่ปรึกษา

(ผู้ช่วยศาสตราจารย์ ดร. ปิยะพันธุ์ เนียมทรัพย์)  
วันที่ ๒๑ เดือน พฤษภาคม พ.ศ. ๒๕๕๑

กรรมการที่ปรึกษา

(อาจารย์ ดร. วชิน เจริญตัณฑนกุล)  
วันที่ ๒๑ เดือน พฤษภาคม พ.ศ. ๒๕๕๑

ประธานกรรมการประจำหลักสูตร

(ผู้ช่วยศาสตราจารย์ ดร. ปิยะพันธุ์ เนียมทรัพย์)  
วันที่ ๒๑ เดือน พฤษภาคม พ.ศ. ๒๕๕๑

สำนักงานบัณฑิตศึกษารับรองแล้ว

(รองศาสตราจารย์ ดร. ฤทธิพงษ์ พันธ์พานิช)  
ประธานกรรมการบัณฑิตศึกษา  
วันที่ ๒๓ เดือน พฤษภาคม พ.ศ. ๒๕๕๑

|                        |                                                                                                      |
|------------------------|------------------------------------------------------------------------------------------------------|
| ชื่อเรื่อง             | การคัดเลือกและศึกษาคุณสมบัติของโปรไบโอติกแบคทีเรียที่มีประสิทธิภาพขับยั่งการเจริญของเชลล์มะเร็งลำไส้ |
| ชื่อผู้เขียน           | นางสาวพ่องพรรณ บุญประสม                                                                              |
| ชื่อปริญญา             | วิทยาศาสตรมหาบัณฑิต สาขาวิชาเทคโนโลยีชีวภาพ                                                          |
| ประธานกรรมการที่ปรึกษา | อาจารย์ ดร. มงคล ถิรบุญยานนท์                                                                        |

### บทคัดย่อ

การศึกษานี้ได้ทำการคัดเลือกแบคทีเรียกรดแลกติกจากมูลเด็กทารกและน้ำนมหมากเพื่อทดสอบคุณสมบัติของการเป็นโปรไบโอติกแบคทีเรีย ได้แก่ ความสามารถในการขับยั่งเชื้อ ก่อโรค ความสามารถในการทนต่อสภาพความเป็นกรด pH 2.5 ความสามารถในการทนต่อเกลือน้ำดี 0.3 เปอร์เซ็นต์ กิจกรรมการย่อยสถาปัตยเม็ดเลือดแดง คุณสมบัติการด้านยาปฏิชีวนะ ผลจากการศึกษาพบว่ามีแบคทีเรีย 20 ไอโซเลต มีคุณสมบัติเป็นโปรไบโอติก เมื่อนำแบคทีเรียดังกล่าวมาทำการศึกษาประสิทธิภาพการขับยั่งการเจริญของเชลล์มะเร็งลำไส้โดยวิธี MTT และคัดเลือกแบคทีเรียที่มีประสิทธิภาพที่ดีที่สุด 7 ไอโซเลตคือ MC31, MC52, MC53, MC101, RM11, RM12 และ RM28 มาทำการศึกษาประสิทธิภาพของการขับยั่งการเจริญของเชลล์มะเร็งลำไส้โดยวิธี Trypan Blue exclusion พบว่าเมื่อบ่ม cultured medium ของแบคทีเรียร่วมกับเชลล์มะเร็งลำไส้เป็นเวลา 24 ชั่วโมง แบคทีเรียทั้ง 7 ไอโซเลต มีประสิทธิภาพการขับยั่งการเจริญของเชลล์มะเร็งลำไส้ส่ออยู่ระหว่าง 23-39 เปอร์เซ็นต์ โดยแบคทีเรีย ไอโซเลต MC53 มีประสิทธิภาพการขับยั่งการเจริญของเชลล์มะเร็งสูงสุด และเมื่อบ่มตัวเซลล์ของแบคทีเรียร่วมกับเชลล์มะเร็งลำไส้เป็นเวลา 24 ชั่วโมง พบร้า แบคทีเรียทั้ง 7 ไอโซเลต มีประสิทธิภาพการขับยั่งการเจริญของเชลล์มะเร็งลำไส้ส่ออยู่ระหว่าง 21-34 เปอร์เซ็นต์ โดยแบคทีเรีย ไอโซเลต MC31 มีประสิทธิภาพการขับยั่งเซลล์มะเร็งสูงสุด และเมื่อบ่มต่อเป็นเวลา 48 ชั่วโมง พบร้า แบคทีเรียทั้ง 7 ไอโซเลต มีประสิทธิภาพการขับยั่งการเจริญของเชลล์มะเร็งลำไส้ส่ออยู่ระหว่าง 24-45 เปอร์เซ็นต์ โดยแบคทีเรีย ไอโซเลต MC31 มีประสิทธิภาพการขับยั่งเซลล์มะเร็งสูงสุด นอกจากนั้นยังพบว่าแบคทีเรียทั้ง 7 ไอโซเลตนี้ยังมีประสิทธิภาพการยึดเกาะกับเซลล์ Caco-2 ได้ดีอีกด้วย จากการจัดจำแนกสายพันธุ์แบคทีเรียโดยวิธีการหาลำดับเบสไดเอ็นเอส่วน 16S rRNA พบว่า MC31 คือ *Pediococcus pentosaceus* MC52 คือ *Lactobacillus salivarius* MC53 คือ *Lactobacillus salivarius* MC101 คือ *Enterococcus faecium* RM11 คือ *Enterococcus faecium* RM12 คือ *Lactobacillus fermentum* และ RM28 คือ *Lactobacillus fermentum*

(4)

โปรดใบโอติกเบกที่เรียที่คัดเลือกได้ทั้ง 7 ไอโซเดตนี้ สามารถนำไปประยุกต์ใช้ในการป้องกันหรือรักษาโรคมะเร็งลำไส้ได้ ซึ่งอาจนำไปใช้ในรูปแบบของตัวเซลล์เบกที่เรียหรือในกระบวนการพัฒนาผลิตภัณฑ์อาหารหมักนิดต่าง ๆ



|                                       |                                                                                                               |
|---------------------------------------|---------------------------------------------------------------------------------------------------------------|
| <b>Title</b>                          | Selection and Study the Activities of Probiotic Bacteria<br>on Inhibiting Proliferation of Colon Cancer Cells |
| <b>Author</b>                         | Miss Pongphun Boonprasom                                                                                      |
| <b>Degree of</b>                      | Master of Science in Biotechnology                                                                            |
| <b>Advisory Committee Chairperson</b> | Dr. Mongkol Thirabunyanon                                                                                     |

### ABSTRACT

This research on the isolation of lactic acid bacteria from infant faeces and fermented milks was conducted in order to test their probiotic properties such as the ability to inhibit foodborne pathogens, tolerance to low pH 2.5 and 0.3% bile salt, haemolytic activity and antibiotic resistance. Results of the study showed that 20 bacterial isolates were found to exhibit probiotic properties and when these bacterial isolates were later tested for their ability to inhibit the growth of colon cancer cells through MTT assay, 7 isolates consisting of MC31, MC52, MC53, MC101, RM11, RM12 and RM28 showed the highest inhibiting ability. These bacterial isolates were then again tested for their inhibiting property by using the Trypan Blue exclusion method. Results indicated that when the cultured medium of these bacterial isolates was incubated with colon cancer cells for 24 hours, these bacterial isolates were found to have an efficiency rates of 23-39% of inhibiting the growth of colon cancer cells. In addition, bacterial isolate MC53 was found to show the highest inhibiting efficiency. When these cells of 7 bacterial isolates were incubated with colon cancer cells for 24 hours, these bacterial isolates had an efficiency rates of 21-34% to inhibit the growth of colon cancer cells with bacterial isolate MC31 having the highest efficiency. And when incubated for 48 hours, it was found that these that 7 bacterial isolates had an efficiency rates of 24-45% to inhibit the growth of colon cancer cells with bacterial isolate MC31 had the highest efficiency. Further results showed that these 7 bacterial isolates were also able to attach themselves to Caco-2 cells. The identification and classification of these bacterial isolates using the DNA base 16S rRNA indicated that MC31 was *Pediococcus pentosaceus*,

MC52 and MC53 were *Lactobacillus salivarius*, MC101 and RM11 were *Enterococcus faecium* while RM12 and RM 28 were *Lactobacillus fermentum*.

From this study, it can be recommended that these 7 bacterial isolates could be used to prevent or treat colon cancer as applied in the form of bacterial cells or may be further developed into many types of fermented food products.

## กิตติกรรมประกาศ

ข้าพเจ้าขอขอบพระคุณ อาจารย์ ดร.มงคล ถิรบุญยานนท์ ประธานกรรมการที่ปรึกษา  
ผู้ช่วยศาสตราจารย์ ดร.ปีระนุช เนียมทรัพย์ และอาจารย์ ดร.วศิน เจริญตันธนาภุล กรรมการที่  
ปรึกษา ที่ได้กรุณาให้คำปรึกษา และสนับสนุนในเรื่องของอุปกรณ์ สารเคมีต่าง ๆ ที่ใช้ในการ  
ทำงานวิจัยในครั้งนี้ ตลอดจนให้คำแนะนำ ตรวจสอบแก้ไขข้อบกพร่องของวิทยานิพนธ์ให้มีความ  
ถูกต้องและสมบูรณ์ยิ่งขึ้น

ขอขอบพระคุณคณาจารย์ เจ้าน้ำที่ห้องปฏิบัติการ ภาควิชาวิทยาศาสตร์  
มหาวิทยาลัยแม่โจ้ ที่ให้คำปรึกษา คำแนะนำ และอำนวยความสะดวกในด้านสถานที่ อุปกรณ์  
เครื่องมือต่าง ๆ ที่ใช้ในการทำงานวิจัยนี้ ตลอดจนเพื่อน ๆ พี่ ๆ น้อง ๆ ที่เคยให้ความช่วยเหลือและ  
เป็นกำลังใจในการทำวิทยานิพนธ์ครั้งนี้ให้สำเร็จลุล่วงไปได้ด้วยดี

ขอขอบพระคุณ คุณพ่อ ไฟทูร์บ์ บุญประสม คุณอาจารกฤษณ์ บุญประสม คุณปู่ คุณย่า  
และญาติพี่น้องทุกคนที่เคยให้การสนับสนุน ให้ทุนการศึกษา ตลอดจนการอบรมสั่งสอนและให้  
กำลังใจในการศึกษาและการทำวิทยานิพนธ์ในครั้งนี้เสมอมา

ผ่องพรรณ บุญประสม

ธันวาคม 2551

## สารบัญเรื่อง

|                                                               | หน้า |
|---------------------------------------------------------------|------|
| บทคัดย่อ                                                      | (3)  |
| ABSTRACT                                                      | (5)  |
| กิตติกรรมประกาศ                                               | (7)  |
| สารบัญเรื่อง                                                  | (8)  |
| สารบัญตาราง                                                   | (10) |
| สารบัญภาพ                                                     | (11) |
| สารบัญภาพภาคผนวก                                              | (14) |
| บทที่ 1 บทนำ                                                  | 1    |
| ความสำคัญของปัญหา                                             | 1    |
| วัตถุประสงค์ของการวิจัย                                       | 2    |
| ประโยชน์ที่คาดว่าจะได้รับ                                     | 2    |
| บทที่ 2 การตรวจเอกสาร                                         | 3    |
| โรคมะเร็งลำไส้                                                | 3    |
| ระยะต่าง ๆ ของโรคมะเร็งลำไส้                                  | 5    |
| การรักษาโรคมะเร็งลำไส้                                        | 6    |
| การตายของเซลล์แบบอะพอฟอิโซซิส                                 | 8    |
| วิถีของอะพอฟอิโซซิส                                           | 10   |
| ความสำคัญของไมโครคอนเดรียต์อะพอฟอิโซซิส                       | 11   |
| บทบาทของจุลินทรีย์ในลำไส้                                     | 13   |
| ความผิดปกติของจุลินทรีย์ในลำไส้                               | 14   |
| โปรไบโอติกแบคทีเรีย                                           | 14   |
| คุณสมบัติของแบคทีเรียที่เหมาะสมสำหรับการนำมาใช้เป็นโปรไบโอติก | 15   |
| บทบาทและการประยุกต์ใช้โปรไบโอติก                              | 17   |
| บทบาทของโปรไบโอติกในการรักษาโรคมะเร็งลำไส้                    | 20   |
| บทบาทของโปรไบโอติกในการยับยั้งการเจริญของเซลล์มะเร็งลำไส้     | 24   |
| กรอบแนวความคิด                                                | 25   |
| บทที่ 3 อุปกรณ์และวิธีการวิจัย                                | 27   |

|                                           |     |
|-------------------------------------------|-----|
| อุปกรณ์ในการวิจัย                         | 27  |
| วิธีวิจัย                                 | 31  |
| บทที่ 4 ผลและอภิปรายผลการวิจัย            | 43  |
| บทที่ 5 สรุปผลการวิจัย                    | 83  |
| ข้อเสนอแนะ                                | 84  |
| บรรณานุกรม                                | 85  |
| ภาคผนวก                                   | 104 |
| ภาคผนวก ก อาหารเลี้ยงเชื้อและวิธีการ      | 105 |
| ภาคผนวก ข การเตรียมสารเคมี                | 109 |
| ภาคผนวก ค ลำดับเบสของ DNA ในส่วน 16S rRNA | 114 |
| ภาคผนวก จ ประวัติผู้วิจัย                 | 129 |

## สารบัญตาราง

| ตาราง                                                                                                                    | หน้า |
|--------------------------------------------------------------------------------------------------------------------------|------|
| 1 ตัวควบคุมอะพอพโทซิสชนิดทำให้เกิดการตาย (proapoptotic)<br>และชนิดบันยั่งการตาย (anti-apoptotic)                         | 11   |
| 2 แบปทีเรียที่มีลักษณะเป็นโปรไบโอดิก                                                                                     | 16   |
| 3 รูปร่างและจำนวนของเชื้อแบปทีเรียที่แยกได้จากแหล่งต่าง ๆ                                                                | 44   |
| 4 ประสิทธิภาพของแบปทีเรียที่แยกได้ต่อการบันยั่งเชื้อก่อโรคที่มีความสำคัญ<br>ในระบบทางเดินอาหาร 8 สายพันธุ์               | 46   |
| 5 กิจกรรมการต้านยาปฏิชีวนะและการย่อยสลายเม็ดเลือดแดงของแบปทีเรีย                                                         | 58   |
| 6 ลักษณะการติดสีแกรม รูปร่าง การจัดเรียงตัว ขนาดของแบปทีเรียที่มี<br>ประสิทธิภาพในการบันยั่งการเจริญของเซลล์มะเร็งดำเนิน | 70   |
| 7 การจัดจำแนกแบปทีเรียโดยการหาตำแหน่งของ DNA<br>ในส่วนของยีน 16S rRNA                                                    | 84   |

## สารบัญภาพ

| ภาพ                                                                                                                                                   | หน้า |
|-------------------------------------------------------------------------------------------------------------------------------------------------------|------|
| 1 กระบวนการก่อมะเร็งลำไส้                                                                                                                             | 3    |
| 2 ลักษณะรูปแบบการตายแบบเนื้อรัตติและอะพอพ โทซิส                                                                                                       | 8    |
| 3 จำนวนเซลล์ของแบคทีเรีย (แยกได้จากมูลเด็กทารก) ที่รอดชีวิต<br>ในสารละลายฟอสเฟสนับฟเฟอร์ที่มีความเป็นกรด pH 2.5                                       | 51   |
| 4 จำนวนเซลล์ของแบคทีเรีย (แยกได้จากน้ำนมหมาگ) ที่รอดชีวิต<br>ในสารละลายฟอสเฟตบัฟเฟอร์ที่มีความเป็นกรด pH 2.5                                          | 51   |
| 5 จำนวนเซลล์ของแบคทีเรีย (แยกได้จากมูลของเด็กทารก) ที่รอดชีวิต<br>ในอาหารเหลว MRS ที่มีเกลือน้ำดี 0.3 เปอร์เซ็นต์                                     | 54   |
| 6 จำนวนเซลล์ของแบคทีเรีย (แยกได้จากน้ำนมหมาگ) ที่รอดชีวิต<br>ในอาหารเหลว MRS ที่มีเกลือน้ำดี 0.3 เปอร์เซ็นต์                                          | 55   |
| 7 อัตราการขับยึดการเจริญของเซลล์มะเร็งลำไส้เมื่อบ่มร่วมกับ cultured medium<br>ของแบคทีเรีย (แยกได้จากมูลของเด็กทารก) โดยใช้วิธี MTT assay             | 60   |
| 8 อัตราการขับยึดการเจริญของเซลล์มะเร็งลำไส้เมื่อบ่มร่วมกับ cultured medium<br>ของแบคทีเรีย (แยกได้จากน้ำนมหมาگ) โดยใช้วิธี MTT assay                  | 60   |
| 9 อัตราการขับยึดการเจริญของเซลล์มะเร็งลำไส้เมื่อบ่มร่วมกับ cultured medium<br>ของแบคทีเรีย (แยกได้จากมูลของเด็กทารก) โดยใช้วิธี Trypan Blue exclusion | 62   |
| 10 อัตราการขับยึดการเจริญของเซลล์มะเร็งลำไส้เมื่อบ่มร่วมกับ cultured medium<br>ของแบคทีเรีย (แยกได้จากน้ำนมหมาگ) โดยใช้วิธี Trypan Blue exclusion     | 63   |
| 11 อัตราการขับยึดการเจริญของเซลล์มะเร็งลำไส้เมื่อบ่มร่วมกับเซลล์ของแบคทีเรีย<br>(แยกได้จากมูลของเด็กทารก) โดยใช้วิธี Trypan Blue exclusion            | 64   |
| 12 อัตราการขับยึดการเจริญของเซลล์มะเร็งลำไส้เมื่อบ่มร่วมกับเซลล์ของแบคทีเรีย<br>(แยกได้จากน้ำนมหมาگ) โดยใช้วิธี Trypan Blue exclusion                 | 65   |
| 13 ประสิทธิภาพของแบคทีเรียในการยึดเกาะกับเซลล์ Caco-2                                                                                                 | 68   |
| 14 อัตราการยึดเกาะของแบคทีเรียกับเซลล์ Caco-2                                                                                                         | 68   |
| 15 ลักษณะการเจริญบนอาหารแข็ง ของแบคทีเรีย ไอโซเลต MC31,<br>MC52, MC53, MC101, RM11, RM12 และ RM28                                                     | 71   |

|    |                                                                                                                                                                                            |    |
|----|--------------------------------------------------------------------------------------------------------------------------------------------------------------------------------------------|----|
| 16 | รูป่างและการติดสีแกรมของแบคทีเรียไอโซเลต MC31, MC52, MC53,<br>MC101, RM11, RM12 และ RM28                                                                                                   | 72 |
| 17 | ขนาดของ DNA ที่ได้จากการทำ PCR ในส่วนของยีน 16S rRNA ที่ตำแหน่ง<br>ลำดับเบสริเวณ V <sub>1</sub> -V <sub>3</sub>                                                                            | 75 |
| 18 | ลำดับเบสของ DNA ในส่วนของยีน 16S rRNA ของแบคทีเรียไอโซเลต MC31<br>ที่จะนำไปเทียบความเหมือนใน GenBank ซึ่งได้จากการนำลำดับเบสที่ได้<br>จาก primer 27F และ 520R ไปเทียบกันในโปรแกรม BioEdit  | 76 |
| 19 | ชื่อของแบคทีเรียที่มีลำดับเบสคล้ายกับแบคทีเรียไอโซเลต MC31                                                                                                                                 | 76 |
| 20 | ลำดับเบสของ DNA ในส่วนของยีน 16S rRNA ของแบคทีเรียไอโซเลต MC52<br>ที่จะนำไปเทียบความเหมือนใน GenBank ซึ่งได้จากการนำลำดับเบสที่ได้<br>จาก primer 27F และ 520R ไปเทียบกันในโปรแกรม BioEdit  | 77 |
| 21 | ชื่อของแบคทีเรียที่มีลำดับเบสคล้ายกับแบคทีเรียไอโซเลต MC52                                                                                                                                 | 77 |
| 22 | ลำดับเบสของ DNA ในส่วนของยีน 16S rRNA ของแบคทีเรียไอโซเลต MC52<br>ที่จะนำไปเทียบความเหมือนใน GenBank ซึ่งได้จากการนำลำดับเบสที่ได้<br>จาก primer 27F และ 520R ไปเทียบกันในโปรแกรม BioEdit  | 78 |
| 23 | ชื่อของแบคทีเรียที่มีลำดับเบสคล้ายกับแบคทีเรียไอโซเลต MC53                                                                                                                                 | 78 |
| 24 | ลำดับเบสของ DNA ในส่วนของยีน 16S rRNA ของแบคทีเรียไอโซเลต MC101<br>ที่จะนำไปเทียบความเหมือนใน GenBank ซึ่งได้จากการนำลำดับเบสที่ได้<br>จาก primer 27F และ 520R ไปเทียบกันในโปรแกรม BioEdit | 79 |
| 25 | ชื่อของแบคทีเรียที่มีลำดับเบสคล้ายกับแบคทีเรียไอโซเลต MC101                                                                                                                                | 79 |
| 26 | ลำดับเบสของ DNA ในส่วนของยีน 16S rRNA ของแบคทีเรียไอโซเลต RM11<br>ที่จะนำไปเทียบความเหมือนใน GenBank ซึ่งได้จากการนำลำดับเบสที่ได้<br>จาก primer 27F และ 520R ไปเทียบกันในโปรแกรม BioEdit  | 80 |
| 27 | ชื่อของแบคทีเรียที่มีลำดับเบสคล้ายกับแบคทีเรียไอโซเลต RM11                                                                                                                                 | 80 |
| 28 | ลำดับเบสของ DNA ในส่วนของยีน 16S rRNA ของแบคทีเรียไอโซเลต RM12<br>ที่จะนำไปเทียบความเหมือนใน GenBank ซึ่งได้จากการนำลำดับเบสที่ได้<br>จาก primer 27F และ 520R ไปเทียบกันในโปรแกรม BioEdit  | 81 |
| 29 | ชื่อของแบคทีเรียที่มีลำดับเบสคล้ายกับแบคทีเรียไอโซเลต RM12                                                                                                                                 | 81 |

|    |                                                                                                                                                                                              |    |
|----|----------------------------------------------------------------------------------------------------------------------------------------------------------------------------------------------|----|
| 30 | ลำดับเบนสของ DNA ในส่วนของยีน 16S rRNA ของแบนคทีเรียไอโซเลต RM28<br>ที่จะนำไปเทียบความเหมือนใน GenBank ซึ่งได้จากการนำลำดับเบนสที่ได้<br>จาก primer 27F และ 520R ไปเทียบกันในโปรแกรม BioEdit | 82 |
| 31 | ชื่อของแบนคทีเรียที่มีลำดับเบนสคล้ายกับแบนคทีเรียไอโซเลต RM28                                                                                                                                | 82 |

## สารบัญภาพภาคผนวก

| ภาพภาคผนวก                                                                | หน้า |
|---------------------------------------------------------------------------|------|
| 1 ลำดับเบสของยีน 16S rRNA ของแบคทีเรียไอโซเลต MC31 ที่ได้จาก primer 27F   | 115  |
| 2 ลำดับเบสของยีน 16S rRNA ของแบคทีเรียไอโซเลต MC31 ที่ได้จาก primer 520R  | 116  |
| 3 ลำดับเบสของยีน 16S rRNA ของแบคทีเรียไอโซเลต MC52 ที่ได้จาก primer 27F   | 117  |
| 4 ลำดับเบสของยีน 16S rRNA ของแบคทีเรียไอโซเลต MC52 ที่ได้จาก primer 520R  | 118  |
| 5 ลำดับเบสของยีน 16S rRNA ของแบคทีเรียไอโซเลต MC53 ที่ได้จาก primer 27F   | 119  |
| 6 ลำดับเบสของยีน 16S rRNA ของแบคทีเรียไอโซเลต MC53 ที่ได้จาก primer 520R  | 120  |
| 7 ลำดับเบสของยีน 16S rRNA ของแบคทีเรียไอโซเลต MC101 ที่ได้จาก primer 27F  | 121  |
| 8 ลำดับเบสของยีน 16S rRNA ของแบคทีเรียไอโซเลต MC101 ที่ได้จาก primer 520R | 122  |
| 9 ลำดับเบสของยีน 16S rRNA ของแบคทีเรียไอโซเลต RM11 ที่ได้จาก primer 27F   | 123  |
| 10 ลำดับเบสของยีน 16S rRNA ของแบคทีเรียไอโซเลต RM11 ที่ได้จาก primer 520R | 124  |
| 11 ลำดับเบสของยีน 16S rRNA ของแบคทีเรียไอโซเลต RM12 ที่ได้จาก primer 27F  | 125  |
| 12 ลำดับเบสของยีน 16S rRNA ของแบคทีเรียไอโซเลต RM12 ที่ได้จาก primer 520R | 126  |
| 13 ลำดับเบสของยีน 16S rRNA ของแบคทีเรียไอโซเลต RM28 ที่ได้จาก primer 27F  | 127  |
| 14 ลำดับเบสของยีน 16S rRNA ของแบคทีเรียไอโซเลต RM28 ที่ได้จาก primer 520R | 128  |

## บทที่ 1

### บทนำ

#### ความสำคัญของปัญหา

โรคมะเร็งลำไส้ (Colon cancer) เป็นโรคที่พบมากขึ้น และเป็นสาเหตุการตายในอันดับต้น ๆ ของโรคมะเร็งทั้งหมด โดยการเกิดโรคมะเร็งลำไส้ส่วนใหญ่นั้นมีสาเหตุมาจากการรับประทานอาหารที่ขาดหลักทางโภชนาการ Bingham (1999) รายงานถึงภาวะเสี่ยงของโรคมะเร็งลำไส้ที่เกิดจากการรับประทานอาหารประเภทไขมันหรืออาหารที่มีเนื้อแดงมาก ซึ่งสอดคล้องกับ Guarner and Malagelada (2003) ที่พบว่าการรับประทานอาหารไขมันหรือเนื้อแดงโดยไม่รับประทานผักหรือผลไม้嫩 จะส่งผลให้แบคทีเรียในลำไส้สร้างสาร N-nitrosamine และ heterocyclic aromatic amines ซึ่งเป็นสารก่อมะเร็งขึ้นมา การพัฒนาการของมะเร็งลำไส้นั้นพบว่ามีหลายขั้นตอน แต่จะมีจุดเริ่มต้นตรงที่มีการเปลี่ยนแปลงของยีน oncogenes และ tumor suppressor genes ซึ่งจะนำไปสู่การเริ่มต้นเป็นมะเร็งในที่สุด (Fearon and Vogelstein, 1990) ในปัจจุบันการรักษาโรคมะเร็งลำไส้สามารถทำได้ 3 วิธีคือ การผ่าตัด การให้ยาเคมีบำบัด และการฉายรังสีรักษา ซึ่งการรักษาตามวิธีดังกล่าวอาจทำให้เกิดผลข้างเคียงกับผู้ป่วยได้ อีกทั้งยังพบว่าทรัพยากรที่นำมาใช้ในการบำบัดหรือรักษาโรคมะเร็งลำไส้นั้นนับมีปริมาณมากอาทิเช่น ยาหรือสารเคมี ซึ่งส่วนใหญ่ก็นำเข้ามาจากต่างประเทศ ทำให้ในแต่ละปีประเทศไทยจะต้องจัดซื้อยาดังกล่าวจำนวนมากใน การจัดหาทรัพยากรเหล่านี้ รวมถึงรัฐบาลจะต้องจัดทรัพยากรอื่นมาดูแลคนป่วยเพิ่มเติม เป็นต้น ด้วยเหตุผลดังกล่าวผู้วิจัยจึงพยายามศึกษาและคัดเลือกโพรไบโอติกแบคทีเรียที่มีประสิทธิภาพในการยับยั้งเซลล์มะเร็งลำไส้ โดยกลไกการป้องกันเซลล์มะเร็งลำไส้นั้นยังไม่ทราบแน่ชัดเท่าที่ควร แต่สามารถสรุปลงได้ในการป้องกันมะเร็งลำไส้ในเบื้องต้นได้ดังนี้ การเปลี่ยนแปลง ขบวนการเมตาบอลิติซึมของจุลินทรีย์ในลำไส้ การเปลี่ยนแปลงขบวนการสรีระหรือเคมีในลำไส้ การจับหรือทำลายสารก่อมะเร็งในลำไส้ และการผลิตสารต่อต้านการสร้างสารก่อมะเร็ง (Rafter, 2003) ในต่างประเทศมีนักวิจัยที่มีความสนใจถึงบทบาทของโพรไบโอติกแบคทีเรียในการป้องกัน หรือรักษามะเร็งลำไส้เป็นจำนวนค่อนข้างมาก แต่ในประเทศไทยการศึกษาเกี่ยวกับเรื่องดังกล่าวมี

น้อยมาก ซึ่งงานวิจัยในเรื่องดังกล่าวนี้จะเป็นประโยชน์ต่อประชาชนได้เป็นอย่างดี ทั้งนี้หากผลการวิจัยเป็นไปตามความคาดหวัง ผู้วิจัยสามารถนำเชื้อไวรัสไปโอดิกหรือความรู้ไปประยุกต์ใช้ให้กับประชาชนได้ เพื่อลดการนำเข้ายาที่มีราคาแพงจากต่างประเทศ ซึ่งการป้องกันและรักษาโรคมะเร็งลำไส้โดยใช้ไวรัสไปโอดิกแบบที่เรียกว่าเป็นวิธีการที่มีค่าใช้จ่ายไม่แพงและไม่มีผลข้างเคียงใด ๆ อีกด้วย

### วัตถุประสงค์ของงานวิจัย

1. เพื่อแยกแยะคัดเลือกไวรัสไปโอดิกแบบที่เรียกว่าเป็นวิธีการที่ดีจากมูลเด็กทางและนำมานำมหัศ
2. เพื่อศึกษาประสิทธิภาพของไวรัสไปโอดิกแบบที่เรียกว่าเป็นวิธีการที่ดีในการขับขึ้นการเจริญของเซลล์มะเร็งลำไส้

### ประโยชน์ที่คาดว่าจะได้รับ

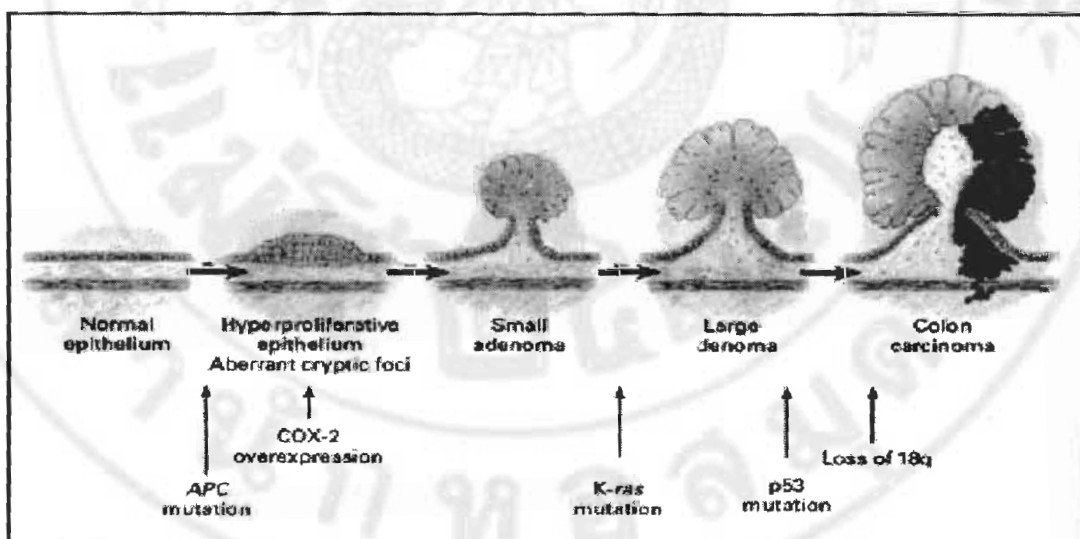
สามารถคัดเลือกไวรัสไปโอดิกแบบที่เรียกว่าเป็นวิธีการที่ดีในการป้องกันและรักษาโรคมะเร็งลำไส้อีกทั้งยังได้ข้อมูลพื้นฐานในการประยุกต์ใช้แบบที่เรียกว่าเป็นวิธีการที่ดีทางด้านการแพทย์และการพัฒนาผลิตภัณฑ์อาหารเสริมไวรัสไปโอดิก เพื่อเป็นการลดการนำเข้าของยาและสารเคมีจากต่างประเทศ และใช้เป็นทางเลือกหนึ่งในการป้องกันและรักษาโรคมะเร็งลำไส้ ซึ่งทางเลือกนี้เป็นวิธีการที่มีค่าใช้จ่ายไม่แพงและไม่มีผลข้างเคียงใด ๆ อีกด้วย

## บทที่ 2

### การตรวจเอกสาร

#### โรคมะเร็งลำไส้ (Colon cancer)

โรคมะเร็งลำไส้เกิดจากการเปลี่ยนแปลงทางชุลพยาธิวิทยาของเยื่อเมือกลำไส้ ที่มีการแบ่งตัวเพิ่มขึ้นกิดเป็น adenomatous polyp และกล้ายเป็นเซลล์มะเร็งในระยะเวลาต่อมา (adenoma-carcinoma sequence) โดยกระบวนการเปลี่ยนแปลงจากเยื่อเมือกลำไส้ที่ผิดปกติจนเกิดเป็นมะเร็งนี้ เกิดจากความผิดปกติของยีนมะเร็ง (oncogenes) และยีนต้านมะเร็ง (tumor suppressor genes) ชนิดต่างๆ ดังแสดงในภาพ 1



ภาพ 1 กระบวนการก่อมะเร็งลำไส้

ที่มา: Janne and Mayer (2000)

การเกิดโรคมะเร็งลำไส้เกี่ยวข้องกับการกลับพันธุ์ของยีน 4 ยีนซึ่งอยู่บนโครโนมที่แตกต่างกัน 4 แห่ง เริ่มจากการกลับพันธุ์ของยีน *APC* ที่แขนข้างขวาของโครโนมแห่งที่ 5 ทำให้เซลล์เยื่อบุผนังลำไส้ใหญ่แบ่งเซลล์มากกว่าปกติเกิดเป็นก้อนเนื้องอกแบบไม่ร้ายแรง (small

adenoma) ต่อมามีอีกการกลایพันธุ์ของยีน *k-ras* ซึ่งอยู่ที่แน่นข้างสันของโครโนโอมแท่งที่ 12 ก้อนเนื้องอกจะเปลี่ยนเป็นแบบที่ร้ายแรงขึ้น และมีเมื่อมีการสูญเสียการทำงานของยีน *DCC* ซึ่งอยู่ที่แน่นข้างขวาของโครโนโอมแท่งที่ 18 ก้อนเนื้องอกจะเปลี่ยนแปลงรูปร่างเป็นเนื้องอกที่มีผิวขึ้นชุบชีดของวิตาลี ซึ่งเป็นลักษณะที่ร้ายแรงขึ้นมาอีก จนกระทั่งมีการสูญเสียการทำงานของยีน *p53* บนแน่นข้างสันของโครโนโอมแท่งที่ 17 ซึ่งเป็นยืนความคุณการเปลี่ยนสถานะ G/S transition ของวัฏจักรเซลล์ ก้อนเนื้องอกนั้นจึงกลایเป็นมะเร็งลำไส้ใหญ่ (Janne and Mayer, 2000)

การรับประทานอาหารเป็นปัจจัยเสี่ยงของการเป็นโรคมะเร็งลำไส้โดยเฉพาะการรับประทานอาหารประเภทไขมันและเนื้อแดง ซึ่งมีงานวิจัยมากมายที่เกี่ยวข้องและศึกษาในเรื่องเหล่านี้ (Willett *et al.*, 1990; Giovannucci *et al.*, 1994; Goldbohm *et al.*, 1994) กลไกที่เกี่ยวข้องกับการรับประทานไขมันจะมีผลกระทบต่อระดับฮอร์โมนภายในร่างกาย (Henderson *et al.*, 1991) ผลกระทบของกรดน้ำดีที่มีต่อเยื่อบุผิวลำไส้ (colonic mucosa) ผลของสารก่อมะเร็งที่เกิดจากการปรุงแต่งอาหารและการได้รับธาตุเหล็กมากเกินไป การคุดซึ่งธาตุเหล็ก (เหล็กที่เป็นส่วนประกอบในเชื้อโรกบินจากเนื้อ) ยังมีผลกระทบที่ไม่แน่ชัด แต่อาจเกี่ยวข้องกับการผลิตธาตุออกซิเจน (Helbock *et al.*, 1998) ความแตกต่างของลักษณะของโรคมะเร็งลำไส้เกิดขึ้นเนื่องจากปัจจัยในการรับประทานอาหารที่แตกต่างกัน ซึ่งมีงานวิจัยหลายงานที่เกี่ยวข้องกับปัจจัยเสี่ยงของการเกิดโรคมะเร็งลำไส้นี้ (Gerhardsson *et al.*, 1998; Slattery *et al.*, 1998; Thun *et al.*, 1992) การรับประทานผัก ผลไม้และสารต้านอนุมูลอิสระสามารถลดการเกิดโรคมะเร็งลำไส้ได้ ซึ่งการวิเคราะห์วิตามินจะทำให้โครโนโอมแตกหักในเยื่องของมนุษย์ (MacGregor *et al.*, 1990; Blount *et al.*, 1997) การแตกหักของโครโนโอมทำให้เกิดการเสี่ยงต่อการเป็นโรคมะเร็งและเกี่ยวข้องกับภาวะการขาดโพลีเมตตินมนุษย์ (Blount *et al.*, 1997)

Willett *et al.* (1990) ศึกษาภาวะเสี่ยงการเป็นโรคมะเร็งที่เกิดจากการรับประทานเนื้อแดงและไขมันสัตว์ จากผลการทดลองพบว่าการรับประทานอาหารประเภทเนื้อวัว เนื้อหมู และเนื้อแกะ เป็นประจำทุกวันจะทำให้เสี่ยงต่อการเกิดโรคมะเร็งสูง อีกทั้งการไม่รับประทานผักและผลไม้ ก็จะทำให้เกิดภาวะเสี่ยงนี้ เช่นกัน จึงแนะนำให้มีการรับประทานเนื้อไก่และเนื้อปลาที่ปราศจากหนังแทนการรับประทานเนื้อวัว และควรรับประทานผักและผลไม้ด้วยเพื่อลดปัจจัยเสี่ยงของการเกิดโรคมะเร็งชนิดนี้

Ann et al. (2005) รายงานว่าการรับประทานเนื้อแดงในปริมาณที่มากเป็นระยะเวลานานจะทำให้เสี่ยงต่อการเป็นโรคมะเร็งลำไส้ ซึ่งให้ผลต่างจากการบริโภคนี้อัตราปีกและเนื้อปลาที่ทำให้มีความเสี่ยงต่อการเป็นโรคมะเร็งลำไส้น้อยกว่า

Mirian et al. (2004) ศึกษาผลของการรับประทานไขมันในปริมาณสูงและการกลายพันธุ์ของยีน K-ras ที่ทำให้เกิดโรคมะเร็งลำไส้ พบว่าการรับประทานครดไขมันแบบไม่อิ่มตัวโดยเฉพาะอย่างยิ่งกรดลิโนเลอิกในปริมาณที่สูงจะทำให้เกิดภาวะการเสี่ยงการกลายพันธุ์ของยีน K-ras ในเนื้องอกลำไส้

Joanne (2004) ศึกษาการย่อยของผลิตภัณฑ์ที่มีผลต่อภาวะเสี่ยงการเป็นโรคมะเร็งลำไส้ใหญ่ พบว่าการหมักสันไยในลำไส้ใหญ่โดยจุลินทรีย์ในลำไส้ จะส่งผลให้เกิดครดไขมันสายสัมได้แก่ บัวไทร เต ทำให้ป้องกันการเกิดมะเร็งลำไส้ได้

Brian (2003) ศึกษาปัจจัยทางการรับประทานอาหารที่ทำให้เสี่ยงต่อการเกิดมะเร็งลำไส้ในเมืองเชียงใหม่ ประเทศไทย พบว่าการรับประทานอาหารพวกสันไยและสารอาหารที่พบทั่วไปในผักและผลไม้ เช่น วิตามินซี แครอทินและวิตามินอีทำให้ลดภาวะการเกิดโรคมะเร็งลำไส้ในขณะที่การรับประทานเนื้อแดง ไข่ และการถอนอาหารทำให้เสี่ยงต่อการเกิดโรคมะเร็งลำไส้

#### ระยะต่าง ๆ ของโรคมะเร็งลำไส้ (อมรชัย, 2542)

ระยะที่ 1 หมายถึงมะเร็งลำไส้ที่มะเร็งยังจำกัดอยู่แค่ชั้นในของผนังลำไส้ ไม่ทะลุเยื่อชั้นของกล้ามเนื้อผนังลำไส้และไม่แพร่ไปถึงต่อมน้ำเหลืองหรืออวัยวะอื่น มะเร็งระยะนี้นับว่าเบาที่สุด และการพยากรณ์โรคดีที่สุด รักษาด้วยการผ่าตัดออกย่างเดียวที่มีโอกาสหายขาดสูง มักไม่ต้องใช้เคมีบำบัดหรือรังสีบำบัด

ระยะที่ 2 หมายถึงมะเร็งลำไส้ใหญ่ที่กินลึกลงไปในผนังลำไส้กว่าระยะที่ 1 ทะลุชั้นกล้ามเนื้อของผนังลำไส้ใหญ่ออกไป แต่ยังไม่ไปต่อมน้ำเหลืองหรืออวัยวะที่ห่างออกไป มะเร็งลำไส้ปลายระยะที่ 2 อาจมีความเสี่ยงสูงที่จะกลับเป็นขึ้นมาใหม่ พยาธิแพทย์ที่ตรวจวิเคราะห์ชิ้นเนื้อที่ศัลยแพทย์ตัดออกมาจะช่วยบอกได้ว่า มีความเสี่ยงสูงหรือไม่ ถ้ามีความเสี่ยงสูงที่มะเร็งจะ

กำเริบขึ้นมาอีกແພຍ໌ຈະແນະນໍາວ່າຄວາມໄດ້ຮັບການຮັກຍາດ້ວຍຍາ ຜົ່ງຈະໄປ່ເຊື່ອລົ້ນນະເຮົາ ຄ້າມະເຮົາອູ້  
ໃກລ້ຖວາຮັກອາຈົດຕ້ອງໃຊ້ຮັງສີນຳບັດດ້ວຍ

ຮະບະທີ 3 ມາຍຄື່ນນະເຮົາລຳໄສ້ໄຫຍ້ທີ່ແພຣ່ກະຈາຍຈາກລຳໄສ້ເຂົ້າສູ່ຕ່ອນນຳເໜີລືອງແລ້ວ ແຕ່  
ບັນໄມ່ນຸກຮຸກວ້າຍະອື່ນທີ່ອູ້ທ່າງອອກໄປ ນະເຮົາຮະບະນີ້ມີຄວາມເສີ່ຍສູງທີ່ຈະກັບມາເປັນໃໝ່ ການຮັກຍາທີ່  
ໃຊ້ທັງຄົມນຳບັດຫຼືຮັງສີນຳບັດ ອາຈ່ວຍປຶ້ອງກັນ ໂນໄໝ້ນະເຮົາກັບມີໃໝ່ ແລະຂ່ວຍເພີ່ມອັຕຣາກາຣອູ້  
ຮອດຈາກນະເຮົາໜີດນີ້ໄໝ້ສູງເຊິ່ນ

ຮະບະທີ 4 ມາຍຄື່ນນະເຮົາລຳໄສ້ໄຫຍ້ທີ່ແພຣ່ກະຈາຍໄປບັນສ່ວນອື່ນຂອງຮ່າງກາຍ ເຊັ່ນ ໄປທີ່  
ຕັບຫຼືອກຮະດູກເປັນຮະບະທີ່ຮູນແຮງທີ່ສຸດຂອງນະເຮົາ ຮັກຍາໄມ່ຫາຍ ໄດ້ແຄ່ນຮ່າງເອກາະຕົກຕ່າງໆ ໃຫ້ລົດລົງ  
ໄນ່ໃຫ້ທຽມນານ

## ການຮັກຍາໂຮຄມນະເຮົາລຳໄສ້

### 1. ການຜ່າຕັດ

ການຜ່າຕັດ ຜົ່ງເປັນວິທີການຮັກຍາຫລັກ ໂດຍການຕັດລຳໄສ້ສ່ວນທີ່ເປັນນະເຮົາຮວມທັງເລາດຕ່ອນ  
ນຳເໜີລືອງບຣິວັນ ໄກລ້ຖວາຈົດຕັດການຮັກຍາຫລັກ ຈາກນັ້ນນຳລຳໄສ້ສ່ວນທີ່ຄືມາຕ່ອກັນ ສ່ວນນະເຮົາລຳໄສ້ຕຽງທີ່ອູ້ໃກລ້ຖວາ  
ຮັກຍາຈະຈຳເປັນຕົ້ນຕັດການຮັກຍາຫລັກ ແລະທໍາກາວເຖິມໃນບຣິວັນໜ້າທົ່ວທີ່ຜູ້ປ່ວຍ ຜູ້ປ່ວຍຈະຄ່າຍ  
ອຸຈະຮະຜ່ານກາງໜ້າທ້ອງແລະສາມາດໃຊ້ຊື່ວິຕ ໄດ້ຕາມປົກຕິ

### 2. ເຄມື່ນຳບັດ

ເຄມື່ນຳບັດ ມາຍຄື່ນການຮັກຍາຜູ້ປ່ວຍນະເຮົາດ້ວຍການໃໝ່ຫາຫຼືອສາຮາທີ່ຈະໄປ່ນໍາ ຢີ້ວ່າ ທ່ານ  
ເໜີລືອງນະເຮົາ ທີ່ຈະຫດ່ອຍູ້ຫລັງຈາກທີ່ໄດ້ຜ່າຕັດເອົາກໍອນນະເຮົາອອກໄປແດ້ວ ບັນນີ້ຫຼາຫຼືອສາຮາອີກໜີດ  
ໜີ້ທີ່ໃຊ້ຮັກຍານະເຮົາລຳໄສ້ ສາຮນີ້ໄນ້ໄດ້ໄປ່ນໍາ ຢີ້ວ່າ ທ່ານ ແຕ່ໄປ່ວ່າຍໃຫ້ຮ່າງກາຍ  
ຂອງເຮົາຫຼືອຮະບນຄຸມຄຸ້ມກັນຂອງຮ່າງກາຍ ຕ່ອສູ້ກັບນະເຮົາໄດ້ຕື່ນີ້ ເນື່ອໃຫ້ຢານີ້ຮ່ວມກັນເຄມື່ນຳບັດພນວ່າ  
ພລກາຮັກຍາດີ້ນີ້ ອັຕຣາກາຣອດຊື່ວິຕຂອງຜູ້ປ່ວຍສູງເຊິ່ນ ເນື່ອເທິບກັບການຮັກຍາໂດຍການຜ່າຕັດເພີ່ມອ່າງ

เดียว ข้อเสียหรือผลข้างเคียงอันไม่พึงประสงค์ของเคมีบำบัดที่พบบ่อยได้แก่ คลื่นไส ห้องร่วง ปากเปื่อย ผื่นตามผิวนัง ผมร่วง กดการทำงานของไขกระดูก การทำงานของตับผิดปกติ เดินเซ อารมณ์บุ่นบวม การให้เคมีบำบัดต่อเนื่องเป็นเวลานาน อาจมีผลข้างเคียงที่เกิดขึ้นระยะยาว เช่น น้ำตาไหลตลอดเวลา ผิวแห้ง ผิวชา หรืออาจเกิดมะเร็งชนิดอื่นตามมา

### 3. รังสีบำบัด

รังสีบำบัดหรือรังสีรักษา หมายถึงการฉายรังสีไปม่าหรือทำลายเซลล์มะเร็ง เป็นวิธีการรักยามะเร็งลำไส้ใหญ่ส่วนปลายที่ใช้ควบคู่กับการทำผ่าตัด บางแห่งใช้รังสีบำบัดก่อนผ่าตัด แต่ส่วนใหญ่แล้วนิยมใช้รังสีหลังผ่าตัดเรียบร้อยแล้ว รังสีจะลดโอกาสที่มะเร็งจะเกิดในอุ้งเชิงกราน จึงใช้ร่วมกับการทำผ่าตัดมะเร็งระยะที่ 2 และ 3 ซึ่งมีความเสี่ยงต่อการกลับมาของมะเร็งสูง ผลข้างเคียงของการฉายรังสีก็เป็นที่ทราบกันดีอยู่ เช่น ห้องร่วง ผลต่อผิวนังบริเวณที่ถูกรังสี รังสีจะไปกดการทำงานของไขกระดูก ผู้ป่วยจะรู้สึกเบื่ออาหาร อ่อนเพลีย ไม่มีแรง และความรู้สึกบรรเทาอาหารผิดปกติ สำหรับมะเร็งลำไส้ใหญ่ส่วนปลาย มีการศึกษาทดลองพบว่า การรักษาที่ใช้วิธีผ่าตัดร่วมกับเคมีบำบัดและรังสีบำบัดจะได้ผลดีกว่าผ่าตัดอย่างเดียว หรือเคมีบำบัดอย่างเดียว หรือรังสีบำบัดอย่างเดียว จึงถือเป็นมาตรฐานการรักษาเลยว่า ผู้ป่วยที่มีความเสี่ยงสูงต่อการแพร่กระจายของมะเร็ง จะใช้วิธีรักษา 3 วิธีร่วมกันเลย

### การตายของเซลล์แบบอะพอพ็อตอซิส (Apoptosis)

การเจริญและการตายของเซลล์เป็นขั้นวนการที่จำเป็นตลอดชีวิต ในคนที่โตเต็มวัยมีการตายของเซลล์ถึง  $10^9$  เซลล์ต่อวัน การตายของเซลล์เกิดจากกระบวนการที่แตกต่างกันอย่างน้อยสองขั้นการคือ การตายแบบอะพอพ็อตอซิสซึ่งเป็นการตายแบบใช้พลังงาน และการตายแบบเนื้อครชิสซึ่งเป็นการตายแบบไม่อาศัยพลังงาน (Ashe et al., 2003) สามารถแบ่งแยกความแตกต่างระหว่างรูปแบบการตายทั้งสองชนิดออกจากกัน โดยดูการเปลี่ยนแปลงทางรูปสัณฐานของเซลล์ การตายของเซลล์สามารถจำแนกตาม Clarke's Classification of programmed cell death (PCD) ได้ 3 แบบ ดังนี้

### 1. Type-I PCD (Apoptosis)

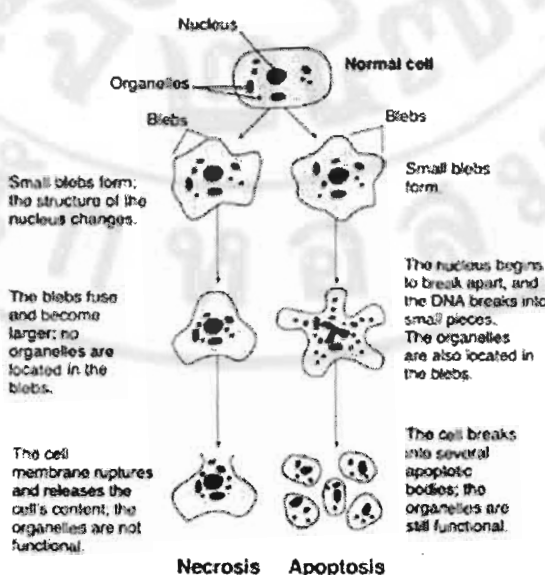
เกิดการหดตัวของเซลล์ การแตกหักของจีโนมิกดีเอ็นเอไปเป็นオリโกลิโคนิวคลีโอโซม ดีเอ็นเอ (Oligonucleosome DNA fragmentation) โครงماتินหนดตัวรวมกันแน่น (chromatin condensation) ซึ่งทำให้เกิดลักษณะที่เรียกว่า นิวเคลียสหดตัว (pyknotic nuclei) และการแยกสลายของเซลล์ เป็นรูปแบบที่เรียกว่า อะพอพโทซิสบอดี้ (apoptosis bodies)

### 2. Type-II PCD (Autophagocytosis)

มีการสร้างออโตฟاجิกแวดคิวโอด (autophagic vacuoles) มีการขยายน้ำตัวในໂຕຣຄອນເຕີບ ແລະເອນໂຄພລາສມືກຣັຕືຄູລັນ (endoplasmic reticulum, ER) ແລະກາຮັຍາຍຕັວເລື່ອນ້ອຍໃນກອລຈີແອພາລາຕັສ (golgi apparatus)

### 3. Type-III PCD (Necrosis-like)

มีการบวม (osmotic swelling) ของເຂົ້າຫຼຸມເຊີບ (cell membrane) ແລະອອຽ້ແກນເລື້ (organelles) ຕ່າງໆ ແລະເກີດບວນກາຮັຍາຍຕັວເລື່ອນ້ອຍ



ກາພ 2 ລັກມະຮູບແບບກາຮັຍາຍຕັວເລື່ອນ້ອຍ

ທີມາ: Goodlett and Horn, 2001

อะพอพโทซิสเป็นแบบแผนการตายของเซลล์ (programmed cell death) ที่ควบคุมโดยขึ้น มีบทบาทสำคัญในการพัฒนาและรักษาสมดุลของสิ่งมีชีวิตหลายเซลล์ มีลักษณะแสดงคือเซลล์เกิดการสูญเสียปริมาตรของเซลล์ (lose of cell volume) เช่นหุ้มเซลล์หดแฟบ (plasma membrane blebbing) นิวเคลียสร่วมตัวกันแน่น (nuclear condensation) โครมาตินเกาะกลุ่ม (chromatin aggregation) และคือเอ็นเอດีบีอยู่ในชิ้นเด็ก (endonucleocytic degradation of DNA into nucleosomal fragments) การเปลี่ยนแปลงของเซลล์จะเกิดภายหลังจากกระบวนการเชื่อมโยงของการส่งสัญญาณภายในเซลล์ (cascade of cell signalling) และกระบวนการที่อาศัยเอนไซม์ caspase ที่เป็นตัวกลาง (caspase-mediated events) โดยการควบคุมของโปรตีนที่ทำให้เกิดความตาย (proapoptotic proteins) และโปรตีนขับขี่ไม่ให้เกิดการตาย (antiapoptotic proteins)

### วิธีอะพอพโทซิส

อะพอพโทซิสถูกควบคุมโดยยีนหลักตัว เช่น tumor suppressor genes เช่น p53 และ tensin homolog deleted on chromosome 10 (PTEN gene) และ oncogenes เช่น AKT และ BCL-2 และมีโมเลกุลเกี่ยวข้องหลักกลุ่ม เช่น กลุ่ม anti-apoptotic proteins (Bcl-2 และ Bcl-X<sub>L</sub>) และกลุ่ม pro-apoptotic proteins (Apaf-1 และ caspase) รวมทั้งไม่ต่อคอนเดริบที่มีบทบาทในการหลั่งสารที่จะเหนี่ยวนำให้เกิดอะพอพโทซิส เช่น cytochrome C และ apoptosis-inducing factor (AIF) (Tannock *et al.*, 2005) อะพอพโทซิสเกิดเมื่อมีการเชื่อมโยงสัญญาณภายในเซลล์ (cascade of cell signalling) โดยอาศัยเอนไซม์ caspase เป็นตัวกลาง (caspase-mediated events) และ pro-apoptotic proteins เป็นตัวขับขี่การตาย การเหนี่ยวนำอะพอพโทซิสเกิดได้ 2 วิธี ทั้งสองวิธีจะสัมพันธ์ต่อเนื่องกัน โดยกระตุ้นการทำงานของเอนไซม์ effector caspase ที่ย่อยโปรตีน องค์ประกอบเซลล์ต่าง ๆ actin, lamin A, ICAD/CAD, PARP, Rb, p27, p21 ซึ่งจะนำไปสู่อะพอพโทซิส (Tannock *et al.*, 2005; Hu and Kavanagh, 2003)

#### 1. Death-receptor-induced extrinsic pathway (clark *et al.*, 2004)

วิธีการนอกเกิดเมื่อ death receptors (DRs) เช่น tumor necrosis factor (TNFR), Fas receptor (FasR), DR3, TNF-related apoptosis-inducing ligand (TRAILR1 หรือ DR4 และ

TRAILR2 หรือ DR5) และ DR6 เป็นต้น (de Thonel et al., 2005) ถูกกระตุ้นด้วยการขับของลิเกนด์ที่จำเพาะ เกิดโครงสร้างที่ประกอบด้วย adaptor protein และ initiator caspase (pro caspase 8 หรือ 10) เรียกว่า “death-inducing signaling complex” (DISC) กระตุ้นให้ pro caspase เป็น initiator caspase ซึ่งจะหนีบนำให้ effector caspase ทำงานและนำไปสู่อะพอพโทซิส

## 2. Mitochondrial-apotosome-mediated apoptotic intrinsic pathway

วิธีจากภายในที่มีในตัวร่อนเครียและอะพอพโทซิมเป็นตัวกลางเกิดเมื่อมีการกระตุ้นจากสิ่งเร้าต่าง ๆ เช่น แสงอัลตราไวโอเลต รังสีแคมม่า ภาวะเครียด ออกซิเดชัน หรือการใช้ยาบำบัด (oxidative stress) ที่ทำให้เกิดการชำรุดเสียหายของดีเอ็นเอกิดขึ้น (Bi and Odin, 2003)

อะพอพโทซิสมีตัวควบคุม (regulators) อื่นอีกหลายตัว โดยสามารถแบ่งการควบคุมได้ 2 กลุ่ม คือ ตัวควบคุมที่ทำให้เกิดการตาย (proapoptotic regulators) และตัวควบคุมที่ขับย้งการตาย (anti-apoptotic regulators) ซึ่งหากมีการควบคุมที่ผิดปกติ เช่น การกระตุ้นให้ตัวควบคุมที่ทำให้เกิดการตายมากเกินไปก็จะเป็นสาเหตุของโรคต่าง ๆ เช่น โรคอัลไซเมอร์ โรคภาวะหลอดเลือดหัวใจตีบตัน โรคอ้อโตอิมมูน แต่หากมีการกระตุ้นให้ตัวควบคุมที่ขับย้งการตายก็จะเป็นสาเหตุหนึ่งของขบวนการเกิดมะเร็ง ดังนั้นการศึกษาอะพอพโทซิสจึงสามารถใช้ตัวควบคุมต่าง ๆ มาเป็นตัวบ่งชี้ (marker) หรือใช้เป็นเป้าหมายในการออกแบบยาต่อวิถีการตายแบบดังกล่าวได้

**ตาราง 1** ตัวควบคุมอะพอพโทซิสชนิดทำให้เกิดการตาย (proapoptotic) และชนิดขับย้งการตาย (anti-apoptotic)

| Proapoptotic regulators | Antiapoptotic regulators |
|-------------------------|--------------------------|
| Bid                     | Bcl-X <sub>L</sub>       |
| Bad                     | Bcl-2                    |
| Bax                     | Bcl-w                    |
| Bim                     | Bcl-B                    |
| Bak                     | Mcl-1                    |

**ตาราง 1** ตัวความคุณอะพอพโทซิสชนิดทำให้เกิดการตาย (proapoptotic) และชนิดขับย้งการตาย (anti-apoptotic) (ต่อ)

| Proapoptotic regulators                                | Antiapoptotic regulators                       |
|--------------------------------------------------------|------------------------------------------------|
| Puma (p53 upregulated mediator of apoptosis)           | FLIP (FLICE-inhibitor of apoptosis protein)    |
| AIF (apoptosis protease-activating factor 1)           | XIAP (X-linked inhibitor of apoptosis protein) |
| Cytochrome C                                           | c-IAP1 (cellular inhibitor of apoptosis 1)     |
| ApaF-1<br>(apoptosis protease-activating factor 1)     | c-IAP2                                         |
| P53                                                    | (cellular inhibitor of apoptosis 2)            |
| P73                                                    | Survivin                                       |
| Smac/DIABLO<br>(second mitochondria-derived activator) | NF-KB                                          |
| Caspase<br>(Cysteine aspartyl-specific protease)       | ICAD                                           |
| HtrA2/Omi                                              |                                                |
| IkB (inhibitor of NF-KB)                               |                                                |
| CAD (caspase activated DNase)                          |                                                |

ที่มา: Harwood *et al.*, 2005

### ความสำคัญของไมโครคอนเดรียต์อะพอพโทซิส

ไมโครคอนเดรียทำหน้าที่สำรองพลังงานต่อเซลล์ผ่านกระบวนการที่เรียกว่า “Oxidative phosphorylation” มีความสำคัญต่ออะพอพโทซิส (Desagher and Martinou, 2000) ไมโครคอนเดรียมีช่องว่าง (intermembranesspace; IMS) คั่นระหว่างเยื่อหุ้มภายในออก (outermembrane; OM) และเยื่อหุ้มภายใน (innermembrane; IM) ชั้น IM มี matrix เอนไซม์ที่เกี่ยว กับ citric acid cycle,  $\beta$ -oxidation และมีติ่งที่เรียกว่า “cristae” เป็นส่วนประกอบของ electron

transport chain และ  $F_0F_1$ -ATPase ในกระบวนการควบคุมขบวนการ oxidative phosphorylation (Regular *et al.*, 2003) ส่วนชั้น IMS จะมีสารหาดใหญ่ชนิด เช่น caspase-independence death effector (nucleases และ/หรือ protease), caspase activators, pro-caspase 2, 3 และ 9 ซึ่งสามารถหนีบวนมาให้เกิดอะพอฟโทซิส (Bras *et al.*, 2005) สารเหล่านี้จะผ่านจากชั้น OM ออกสู่ไซโตโซล (cytosol) ทางช่อง mitocondria permeability transition pore (PTP) ซึ่งเป็น ion channels ที่พบในไมโครคอนเดรีย เช่น adenine nucleotide translocator (ANT protein) voltage dependent anion channel (VDAC) benzodiazepine receptor และ cyclophilin D ในสภาวะปกติเซลล์จะมีระบบ mitochondria outer membrane permeabilization (MOMP) ภายใต้การควบคุมของโปรตีนกลุ่ม Bcl-2 family (Bras *et al.*, 2005; Regular *et al.*, 2003) ควบคุมไม่ให้สารเหล่านี้ผ่านออกมามีเมื่อมีสิ่งกระตุ้นในสภาวะต่าง ๆ เช่น สภาวะเครียด (stress-induced apoptosis) เช่น การใช้สารเคมี หรือยาเคมีบำบัด รังสียูวี อนุมูลอิสระ การเสียสมดุลของแคลเซียม ไอออน (disruption of  $Ca^{2+}$  homeostasis) จะรบกวน electrochemical gradient ทำให้ PTP เปิด จะมีสารร่วงออกมามีผลให้ไมโครคอนเดรียบวม และ OM เกิดรอยร้าว ทำให้โปรตีน apoptogenic factors เช่น cytochrome C, apoptosis-inducing factor (AIF), endonuclease G (Endo G) และ second mitochondria derived activator of caspase/direct IAP binding protein with a low iso-electric point (Smac/DIABLO) ร่วงออกมายังชั้น IMS หลังเข้าสู่ไซโตโซล โดย AIF และ Endo-G จะส่งผ่านเข้าไปยังนิวเคลียสเพื่อหนีบวนมาให้เกิดการหดตัวของโครมาติน (chromatin condensation) และการแตกหักของดีเอ็นเอ (DNA fragmentation) ซึ่งกระบวนการนี้ไม่ต้อง ATP และไม่ขึ้นกับการทำงานของเอนไซม์ caspase ส่วน Smac/DIABLO จะมีหน้าที่ในการขับขึ้น X-linked inhibitor of apoptosis protein (XIAPs) ( Bras *et al.*, 2005) เมื่อ cytochrome C หลังจากไมโครคอนเดรียเข้าสู่ไซโตโซลจะไปจับ apoptosis protein-activating factor 1 (Apaf-1) เกิดการไฮโดรไลซิสของ dATP/ATP ไปเป็น dADP/ADP ส่งผลให้เกิดการรวมกัน (oligomerisation) ของ cytochrome C, Apaf-1 และ pro-caspase-9 เป็นโครงสร้างเชิงซ้อนที่เรียกว่า “apoptosome” ( Bras *et al.*, 2005; Hu and Kavanagh, 2003; Harwood *et al.*, 2005) ทำให้ pro-caspase-9 สามารถแยกย่อยตัวเอง (self-cleavage analogue) ให้เป็นเอนไซม์ที่พร้อมทำงานคือ caspase-9 และไปกระตุ้นให้ effector caspase ทำงาน และหนีบวนมาให้เซลล์มีการตายแบบอะพอฟโทซิสขึ้น

## บทบาทของจุลินทรีย์ในลำไส้

จุลินทรีย์ในลำไส้เด็กทารกแรกคลอดจะเกิดขึ้นทันทีหลังคลอด และมีมากขึ้นใน 2-3 วันแรก (Guarner and Malagelada, 2003) ในระยะแรกจะมีแบคทีเรียที่ไม่ใช้ออกซิเจนมากกว่า แบคทีเรียที่ใช้ออกซิเจนเป็น 100-1000 เท่า แบคทีเรียที่พบมากในลำไส้ ได้แก่ *Bacteroides*, *Bifidobacterium*, *Eubacterium*, *Clostridium*, *Peptococcus*, *Peptostreptococcus*, *Ruminococcus* ส่วนแบคทีเรียในกลุ่มที่ใช้ออกซิเจนจะมีปริมาณน้อยมาก เช่น *Escherichia*, *Enterobacters*, *Enterococcus*, *Klebsiella*, *Lactobacillus*, *Proteus* เป็นต้น เด็กแต่ละคนจะมีแบคทีเรียในลำไส้หลายชนิดมาก และจะมีความแตกต่างของชนิดและจำนวน ทั้งในสภาพร่างกายปกติหรือเมื่อมีโรคที่เกี่ยวข้อง เช่น ภาวะท้องเสีย (Simon and Gorbach, 1984)

### หน้าที่หลักของจุลินทรีย์ในลำไส้

1. ช่วยย่อยสลายและหมักสารอาหารให้เป็นพลังงานในรูปของ short-chain fatty acids (Cummings *et al.*, 2003) ส่วนใหญ่จะเกิดขึ้นมากับริเวณลำไส้ใหญ่ซึ่กษา ตั้งแต่ส่วนที่ต่อจากลำไส้เด็กขึ้นไป นอกจากนี้ยังช่วยสร้างวิตามินเค (Conly *et al.*, 1994) และช่วยดูดซึมฟอสฟอรัส แคลเซียม แมกนีเซียม และเหล็กในบริเวณนั้น (Miyazawa *et al.*, 1996; Younes *et al.*, 2001)

2. ควบคุมการเปลี่ยนแปลงของเซลล์เนื้อเยื่อของลำไส้ (Alam *et al.*, 1994) โดยผลของกรดไขมันสายสั้น ๆ (short-chain fatty acids) เช่น อะซิตेट (acetate) โพโรโพโอนेट (propionate) บิวไธเรต (butyrate) กระตุ้นให้ลำไส้เปลี่ยนสภาพ เพื่อให้ทำงานดูดซับสารอาหาร ได้เต็มที่ และปรับเปลี่ยนไม่ให้เซลล์ถูกลายเป็นมะเร็ง (Gibson *et al.*, 1992) และช่วยกระตุ้นการสร้างภูมิต้านทานของร่างกายทั้งในเนื้อเยื่อ และในกระแสโลหิต (Cebra *et al.*, 1998)

3. ทำหน้าที่เป็นเกราะป้องร่างกายจากสิ่งแปลกปลอมทั้งหลาย โดยเฉพาะจากการแทรกซึมของเชื้อโรคจากภายนอกร่างกาย โดยการยับยั้งเกาสนังลำไส้ ป้องกันไม่ให้เชื้อโรคผ่านเข้าไปได้ (Bernet *et al.*, 1994) และอาจยับยั้งชิงสารอาหารจากเชื้อโรคที่หลุดเข้าร่างกาย รวมทั้งปล่อยสารขับยั้งการเติบโตของเชื้อโรค เช่น แบคเทอริโอลิน (bacteriocins) (Lievin *et al.*, 2000)

## ความผิดปกติของจุลินทรีย์ในลำไส้

การเคลื่อนย้ายตัวของแบคทีเรียที่มีชีวิตออกจากลำไส้ผ่านทางเนื้อเยื่อของผนังลำไส้ เรียกว่า bacterial translocation (Van, 1994) จะเกิดขึ้นเมื่อร่างกายอยู่ในสภาพที่ไม่สมบูรณ์ โดยเฉพาะเมื่อยูนิต้านทานบกพร่องด้วยสาเหตุใด ๆ ก็ตาม เช่น ภาวะซึ่งจากการเสียเลือด อุบัติเหตุ รุนแรงหรือจากไฟไหม้ น้ำร้อนลวก หรือเมื่อร่างกายเกิดภาวะผิดปกติ เช่น มีการอุดตันในลำไส้ ลำไส้ขาดเลือด จนทำให้มีเชื้อแบคทีเรียในลำไส้เล็ดเพิ่มมากกว่าปกติ และในกรณีที่ผนังลำไส้ปล่อยให้มีการเคลื่อนย้ายของแบคทีเรียที่มีชีวิตหรือพิษจากแบคทีเรียออกนอกริเวณลำไส้ เช่น ในกรณี ตับอ่อนอักเสบเฉียบพลัน ตับวายเฉียบพลันหรือแม้แต่การเป็นโรคตับแข็งมาก่อน (Guarner and Malagelada, 2003) ทำให้เกิดการกระจายของเชื้อโรคจนเกิดปัญหา การติดเชื้อบริเวณผนังหน้าท้อง (Guarner and Soriano, 1997) หรือเกิดปัญหาภาวะล้มเหลวในการทำงานของอวัยวะต่าง ๆ (Lichtman, 2001) และทำให้เกิดปัญหาติดเชื้อหลังผ่าตัดได้ง่ายขึ้น จุลินทรีย์ในลำไส้ที่เกิดภาวะผิดปกติมีมากจนเกินไป หรือมีการเปลี่ยนแปลงลักษณะชนิดหรือรูปแบบร่วมกับการเปลี่ยนแปลงในรูปแบบของอาหาร เช่น รับประทานอาหารประเภทไขมันหรือเนื้อแดงมาก ๆ จะทำให้เกิดโอกาสเป็นมะเร็งลำไส้ใหญ่ได้มากขึ้น (Bingham, 1999) โดยเฉพาะในครอบครัวที่มีพันธุกรรมที่เดี่ยงต่อมะเร็งซึ่งมีโอกาสมากขึ้น อาหารประเภทข้าว ผัก ผลไม้ ปลา และแคลเซียม จะช่วยลดโอกาสเดี่ยงของมะเร็ง (Rafter and Glinghammar, 1998) ปัจจุบันเชื่อว่าแบคทีเรียในลำไส้เป็นสาเหตุสำคัญในการเกิดปัญหาภาวะอักเสบเรื้อรังของลำไส้ (inflammatory bowel diseases) (Shanahan, 2001, Swidsinski *et al.*, 2002)

## โพรไบโอติกแบคทีเรีย (probiotic bacteria)

โพรไบโอติก หมายถึง อาหารเสริมที่เป็นจุลินทรีย์ลีก ๆ ที่ยังมีชีวิต เมื่อรับประทานเข้าไปแล้วช่วยให้ร่างกายผู้นั้นมีสุขภาพที่ดีขึ้น ซึ่งอาจช่วยป้องกันหรือรักษาโรคต่าง ๆ ที่เกิดขึ้นเนื่องจากการเปลี่ยนแปลงของจุลินทรีย์ในร่างกาย (Salminen *et al.*, 1998) ส่วนใหญ่เป็นแบคทีเรียที่เคยมีในลำไส้ใหญ่ในสมัยเป็นเด็กทารก ซึ่งมีมากน้ำนมลายชนิดดังแสดงในตารางที่ 2

**ตาราง 2 จุลินทรีย์ที่มีลักษณะเป็นโปรดไบโอดิค**

| <i>Lactobacillus</i> species | <i>Bifidobacterium</i> species | Others                            |
|------------------------------|--------------------------------|-----------------------------------|
| <i>L. acidophilus</i>        | <i>B. bifidum</i>              | <i>Bacillus subtilis</i>          |
| <i>L. casei</i>              | <i>B. longum</i>               | <i>Streptococcus thermophilus</i> |
| <i>L. reuteri</i>            | <i>B. breve</i>                | <i>Enterococcus faecium</i>       |
| <i>L. bulgaricus</i>         | <i>B. infantis</i>             | <i>Saccharomyces cerevisiae</i>   |
| <i>L. plantarum</i>          | <i>B. lactis</i>               |                                   |
| <i>L. johnsonii</i>          | <i>B. adolescentis</i>         |                                   |
| <i>L. lactis</i>             |                                |                                   |

ที่มา: Salminen *et al.*, 1998

**คุณสมบัติของแบคทีเรียที่เหมาะสมสำหรับการนำมาใช้เป็นโปรดไบโอดิค**

1. สามารถสร้างกรดแลกติกทำให้กระเพาะอาหารมีสภาพความเป็นกรดมากขึ้น ชิ่ง เกิดการย่อยและการใช้ประโยชน์จากสารอาหารต่าง ๆ ดีขึ้น และปรับสภาพของระบบทางเดินอาหารให้อยู่ในสภาพที่แบคทีเรียโคลิฟอร์มเจริญได้ยาก

2. สามารถทนต่อกรดในกระเพาะอาหารได้ดี (Kontula *et al.*, 1998) เช่น *Lactobacillus acidophilus* (ADH) สามารถทนต่อกรดได้ดีกว่าแบคทีเรียแลกติกสายพันธุ์อื่น ๆ (Conway *et al.*, 1986) *Lactobacillus gasseri* สามารถทนต่อกรดชีวิตมากที่พีเอช 3, 2 และ 1.5 ตามลำดับ (Arihara *et al.*, 1998) *Lactobacillus*สายพันธุ์ BFE 1058 และ 1061 มีความสามารถในการทนต่อพีเอชต่ำได้ดีกว่าสายพันธุ์ BFE 1059 (Toit *et al.*, 1998) *Lactobacillus sake* (RM10) และ *Pediococcus acidilactici* (P2) สามารถทนต่อกรดได้สูงสุดที่พีเอช 3 (Erkkila and Petaja, 2000)

3. สามารถทนต่อน้ำดีได้เนื่องจากน้ำดีมีหน้าที่ขับสารตกค้างในร่างกาย เช่น ยาหรือแร่ธาตุบางตัว (Kontula *et al.*, 1998) จากรายงานของ Shirota (1962) กล่าวว่า *Lactobacillus* ที่ทนต่อกรดลีน้ำดีได้สูง ได้แก่ *L. bulgaricus*, *L. fermentum*, *L. casei*, *L. acidophilus* และ *L. casei shirota* ที่ได้ที่ความเข้มข้น 2, 4, 10, 12 และ 15 เปอร์เซ็นต์ ตามลำดับ *Lactobacillus acidophilus* เป็นแบคทีเรียนิกลุ่ม lactobacilli ซึ่งอยู่ในลำไส้ของมนุษย์และสัตว์มีสมบัติทนต่อกรดลีน้ำดี และมี

ความสำคัญต่อระบบสมดุลจุลินทรีย์ในลำไส้ อาหารเสริมที่มีเชลล์ของ *Lactobacillus acidophilus* จะช่วยปรับปรุงและรักษาสมดุลจุลินทรีย์ในลำไส้ และช่วยรักษาโรคที่เกิดกับลำไส้อีกด้วย (Brenan *et al.*, 1993) *Lactobacillus reutiri* (BFE 1058) และ *L. johnsonii* (BFE 1059) (Chateau *et al.*, 1994) และ *Lactobacillus sake* (RM10) และ *Pediococcus* สามารถทนต่อเกลือน้ำได้ที่มีความเข้มข้น 0.3 เปอร์เซ็นต์ (Erkkila and Petaja, 2000)

4. สามารถแบ่งขันกับเชื้อโรคในการยึดเกาะผนังลำไส้ซึ่งโดยปกติเชื้อโรคจะเข้าเกาะและต่อต้านการเคลื่อนที่ของลำไส้ที่มีการบีบตัวให้อาหารเคลื่อนที่ในลักษณะลูกคลื่น (peristalsis) ซึ่งการเกาะเคลื่อนของโปรไบโอติกที่ผนังทางเดินอาหารนี้จะทำให้การย่อยอาหารและการดูดซึมเป็นไปอย่างปกติ (Fuller, 1993)

5. สามารถสร้างสารต่อต้านเชื้อโรคทั้งที่เป็น primary metabolite เช่น กรดอินทรีย์ และ secondary metabolite เช่น ไซโตรเจนเปอร์ออกไซด์ และแบคเทอโริโซчин เป็นต้น (Fuller, 1993)

6. การกระตุ้นระบบภูมิคุ้มกัน ซึ่งสามารถพบได้ใน *Lactobacillus* ที่สามารถกระตุ้นการสร้างแ去买โกลบูลิน (gamma globulin) แคมมาอินเตอร์ฟีرون (gamma interferon) และส่งเสริมกิจกรรมของแมกโครฟاج (macrophage) ซึ่งเป็นสาเหตุของการกำจัดเชื้อโรคออกจากร่างกาย (Fuller, 1993) ซึ่งสอดคล้องกับการรายงานของ Kaila (1992) มีการนำ *Lactobacillus* sp. (GG) จากผลิตภัณฑ์นมหรือโยเกิร์ตให้ผู้ป่วยโรคท้องร่วงรับประทานพบว่า ทำให้ร่างกายของผู้ป่วยสามารถสร้างภูมิคุ้มกันได้ดีขึ้นถึง 90 เปอร์เซ็นต์ เมื่อเทียบกับผู้ป่วยโรคท้องร่วงรับประทาน *Lactobacillus* sp. (GG) มีการสร้างภูมิคุ้มกันเพียง 46 เปอร์เซ็นต์

7. ลดความเสี่ยงในการเกิดมะเร็งลำไส้ (colon) โดยไบลดเอนไซม์ที่เป็นสาเหตุของการเกิดโรคมะเร็ง เช่น เบต้า-กลูโคโนนิดেส ( $\beta$ -glucuronidase) เอโซรีดักเตส (azoreductase) ในไตรตีดักเตส (nitrate reductase) และเบต้า-กลูโคซิดेस ( $\beta$ -glucosidase) (Kontula *et al.*, 1998) สอดคล้องกับการรายงานของ Gilland (1989) พบว่า นมที่มี *Lactobacillus casei* เป็นส่วนประกอบจะช่วยกระตุ้นการทำงานของแมกโครฟاجในหมูได้ โดยการทดสอบให้หมูกินนมที่มี *L. casei* เป็นส่วนประกอบ หลังจาก 8 วันน้ำหนามากขึ้น และตรวจกิจกรรมของเอนไซม์ที่มาจากการแมกโครฟاجในการทดลองนี้วัดกิจกรรมของเอนไซม์ lactase dehydrogenase (LDH) พบว่า การบริโภคนมที่มี

ส่วนประกอบของ *L. casei* จะมีผลในการเพิ่มระดับของ LDH ทำให้ลดการเพิ่มของเซลล์มะเร็งในร่างกายได้

## บทบาทและการประยุกต์ใช้ป्रอไบโอติก

### 1. ป้องกันและรักษาภาวะท้องเสีย

ภาวะท้องเสียที่เกิดจากการติดเชื้อไวรัส หรือแบคทีเรียมักพบได้บ่อยทั้งในเด็กเล็กและผู้สูงอายุ หรือผู้ที่อยู่ร่วมกันเป็นกลุ่ม เช่น ในสถานพักรพีน มีผู้นำเอา *Lactobacillus rhamnosus* strain GG (LGG) มาใช้ป้องกันภาวะท้องเสียในเด็กขาดอาหาร โดยเฉพาะที่ไม่ได้รับการเลี้ยงดูด้วยนมแม่ ซึ่งพบว่าป้องกันได้ดี และ *Lactobacillus* สามารถลดระยะเวลาและความรุนแรงของการท้องเสียที่เกิดจากภาวะอาหารเป็นพิษ (Isolauri *et al.*, 1991) และได้ผลดีมากในกลุ่มที่เกิดอาการท้องเสียจาก rotavirus (Guandalini *et al.*, 2000) สามารถลดการขับเชื้อ rotavirus ออกมานอกจากกระเพาะปัสสาวะ เมื่อใช้ *Bifidobacterium bifidum* ร่วมกับ *Streptococcus thermophilus* (Saavedra *et al.*, 1994) ทำให้ผู้ป่วยแพร่เชื้อได้น้อยลง นอกจากรักษาระบบป้องกันและรักษาอาการท้องเสียในนักท่องเที่ยว (travelers diarrhea) (Hilton *et al.*, 1997) และในผู้สูงอายุที่เกิดการติดเชื้อ *Clostridium difficile* ในลำไส้ใหญ่ หลังจากการรับยาปฏิชีวนะขณะนอนพักในโรงพยาบาล (Pochapin, 2000) และป้องกันการเกิดซ้ำของโรคได้ (Gorbach *et al.*, 1987) โดยแนวทางการใช้ *Saccharomyces boulardii* 1 กรัม/วัน 28 วัน ช่วยลดโอกาสเกิดโรคซ้ำ เหลือเพียงร้อยละ 34.6 (Mc *et al.*, 1994) ส่วน *Lactobacillus* ป้องกันการเกิดซ้ำของโรคได้ถึงร้อยละ 50 (Vanderhoof *et al.*, 1999) และจากการศึกษาของ Thomas (2001) เปรียบเทียบ *Lactobacillus GG* กับยาหลอก ไม่พบความแตกต่างในแง่การป้องกันภาวะท้องเสียในผู้ป่วยที่ได้รับยาปฏิชีวนะ 267 ราย

### 2. รักษาโรคลำไส้อักเสบเรื้อรัง Inflammatory bowel disease (IBD)

โปรไบโอติกโดยเฉพาะ *Lactobacillus GG* ช่วยลดภาวะอักเสบของลำไส้ โดยการปรับสภาพภูมิคุ้มกันทำให้มีระดับ Ig A ที่ลดลงในช่วงโรคกำเริบกลับสู่ภาวะปกติ ทำให้เยื่อบุลำไส้หลังการพิษออกมาน้อยลง (Schultz and Sartor, 2000) นอกจากนี้ยังช่วยปรับลดปริมาณจุลินทรีย์ใน

ลำไส้ ซึ่งเป็นสาเหตุการอักเสบ ทำให้ช่วยลดการอักเสบได้เป็นอย่างดี (Shanahan, 2001) และช่วยลดการอักเสบของการผ่าตัดลำไส้เล็กเปิดช่องไว้หน้าท้อง สามารถลดการอักเสบซ้ำๆ จากร้อยละ 100 ให้เหลือเพียงร้อยละ 15 โดยการใช้ *Lactobacillus* ร่วมกับ *Bifidobacterium* และ *Streptococcus saliraleum* (Gionchetti *et al.*, 2003)

### 3. รักษาระล้ำไส้ขาดเลือดในเด็ก (Necrotizing enterocolitis, NEC)

ภาวะ NEC มักพบในเด็กคลอดก่อนกำหนด น้ำหนักตัวแรกคลอดน้อยจากการขาดออกซิเจนเฉียบพลันและติดเชื้อแบคทีเรีย พบว่า *L. acidophilus* และ *B. infantis* ช่วยลดปัญหานี้จากร้อยละ 5.3 เหลือเพียงร้อยละ 1.1 (Lin *et al.*, 2005)

### 4. เพิ่มภูมิคุ้มกันของร่างกาย

การให้โปรไบโอติกแก่เด็ก จะช่วยให้ร่างกายมีภูมิคุ้มกันต่อการติดเชื้อได้ดี โดยเฉพาะป้องกันภาวะท้องเสีย (Alak *et al.*, 1997) หรือการติดเชื้อในช่องท้อง แม้ในผู้ป่วยที่มีภูมิคุ้มกันบกพร่อง เช่น ในกลุ่มเด็กที่ติดเชื้อ HIV เอดส์ (Cunningham *et al.*, 2000) นอกจากนี้สามารถลดการติดเชื้อในส่วนอื่น ๆ ของร่างกาย เช่น ในปอด (Guarino, 1998) โดยการเพิ่มภูมิคุ้มกันทั้งในลำไส้ และในกระเพาะโลหิต ลดการติดเชื้อแบคทีเรียหลายชนิด (Bengmark, 1996)

### 5. รักษาระคุณิแพ้

เด็กที่มีอาการภูมิแพ้มีน้ำมูก หรือผื่นคันและหอบหืดจนกลایเป็นโรคเรื้อรัง พบได้มากพอสมควรและหลายรายมีอาการรุนแรงจนต้องใช้วิธีรักษาจำเพาะหลายรูปแบบ โปรไบโอติกที่ให้ในรูปแบบอาหารเสริมช่วยปรับสภาพภูมิต้านทานในร่างกาย ช่วยลดการอักเสบช่วยให้ปัญหาภูมิแพ้ลดน้อยลง ไม่ว่าจะใช้รักษาภาวะแพ้อาหารด้วย *lactobacilli* (Majamaa and Isolauri, 1997) หรือภาวะผื่นแพ้ด้วย *bifidobacteria* (Isolauri *et al.*, 2000) ก็พบว่าได้ผลดีเช่นเดียวกัน พบว่าเด็กอายุ 2 ขวบที่ได้รับ *Lactobacillus GG* ลดการเกิดภาวะผื่นแพ้ได้ร้อยละ 50 เมื่อเทียบกับกลุ่มที่ไม่ได้รับ (Kalliomaki *et al.*, 2001)

## 6. ป้องกันโรคมะเร็งลำไส้ใหญ่

แบคทีเรียในลำไส้ใหญ่มีส่วนในการก่อให้เกิดมะเร็งลำไส้ใหญ่ โดยการสร้างสารก่อมะเร็ง หรือเป็นตัวร่วมในการก่อมะเร็ง โดยเฉพาะเมื่อผู้ป่วยรับประทานอาหารประเภทไขมันและเนื้อจำนวนมาก โดยไม่รับประทานผักและผลไม้ ทำให้เพิ่มสารในกลุ่ม N-nitrosamine และ heterocyclic aromatic amines ที่เป็นสาเหตุของมะเร็งลำไส้ใหญ่ 10 กลุ่ม โปรไบโอติกจะช่วยเปลี่ยนสภาพแบคทีเรียในลำไส้ ช่วยป้องกันไม่ให้เกิดสารพิษเหล่านี้ (Wollowski *et al.*, 2001) ทั้ง *Lactobacillus* และ *Bifidobacteria* จะป้องกันการเกิดมะเร็งลำไส้ใหญ่ (Singh *et al.*, 1997)

## 7. รักษาช่องคลอดอักเสบจากเชื้อร้า

จากการศึกษาการใช้โปรไบโอติก ในผู้ป่วยที่มีการอักเสบของช่องคลอดจากเชื้อร้าซ้ำซาก พบร่วมความสามารถทำให้โรคหายได้ดี (Elmer *et al.*, 1996) เมื่อให้ *Lactobacillus acidophilus* จะช่วยป้องกันให้เชื้อร้าในช่องคลอดลดลง (Hilton *et al.*, 1992) นอกจากนี้อาจช่วยป้องกันการแพร่กระจายของโรคติดเชื้อทางเพศสัมพันธ์

## 8. ลดระดับไขมันในกระแสเลือด

โปรไบโอติกอาจช่วยลดระดับไขมันในเลือดได้บ้าง ถ้าหากรับประทานในปริมาณมาก (Jackson *et al.*, 1999) แต่ถ้าใช้ขนาดปกติ อาจจะเห็นผลไม่ชัดเจน

## 9. ประโยชน์อื่นๆ

มีผู้ใช้โปรไบโอติกในการกำจัด *Helicobacter pylori* ร่วมกับยาปฏิชีวนะอื่น พบร่วมได้ผลดีเช่นเดียวกับการรักษาด้วยวิธีอื่น (Cremonini *et al.*, 2001) ช่วยลดอัตราการติดเชื้อในช่องท้องหลังผ่าตัด เมื่อให้รับประทานร่วมกับอาหาร ป้องกันการล้มเหลวในการทำงานของอวัยวะต่างๆ (Bengmark and Gianotti, 1996)

## บทบาทของโปรไนโอดิกในการรักษาโรคมะเร็งลำไส้

### 1. การเปลี่ยนแปลงของกิจกรรมเมตาบอลิซึมของจุลินทรีย์ในลำไส้

สารประกอบแผลกปломต่าง ๆ ที่เข้าสู่ร่างกายจะถูกเอาความเป็นพิษออกโดยการสร้างกลูโคโรไนเด (glucuronide) ในตับก่อนนำเข้าสู่ลำไส้โดยผ่านทางน้ำดี เนื่องจากกลูโคโรไนเด (glucuronide) เป็นสารตั้งต้นที่มีความจำเพาะเจาะจง ชั้นแบคทีเรียในไนโตรเจนเบต้า-กลูโคโรไนเดส ( $\beta$ -glucuronidase) ที่มีความสามารถในการไฮดรอลิกส์กลูโคโรไนเด (glucuronide) จำนวนมากและอาจจะปล่อยสารก่อมะเร็ง aglycones ให้เป็นอิสระในลำไส้ มีเอนไซม์จากแบคทีเรียอื่น ๆ อีกหลายชนิดที่เกี่ยวข้องกับกระบวนการสร้างสารก่อมะเร็งและการปล่อยสารก่อมะเร็งในลำไส้มีงานวิจัยในช่วงแรก ๆ ศึกษาการเติม lactic acid bacteria (LAB) ในอาหารให้หนูซึ่งมีผลทำให้ไปลดกิจกรรมของเอนไซม์ในอุจจาระ พบว่ามีความเป็นไปได้ที่แบคทีเรียเหล่านี้จะผลิตสารป้องกันการก่อมะเร็งได้ (Kulkarni and Reddy, 1994, Rowland *et al.*, 1998) Goldin and Gorbach (1984) ศึกษาผลของการให้ *L. acidophilus* สายพันธุ์ NCFM และ N-2 แก้อาสาสมมารสุขภาพดี 21 คนซึ่งมีผลกับเอนไซม์ของแบคทีเรีย 3 ชนิดคือ  $\beta$ -glucuronidase, nitroreductase และ azoreductase แบคทีเรียทั้งสองสายพันธุ์ให้ผลคล้าย ๆ กันคือ มีผลอย่าง ๆ ลดกิจกรรมจำเพาะของเอนไซม์ทั้งสามชนิดข้างต้นหลังจากบริโภคไปแล้ว 10 วัน ในทางกลับกัน เมื่อหยุดการให้ *Lactobacillus* ภายใน 10-30 วัน กิจกรรมเหล่านี้จะ恢復ด้วย ดังนั้นหากต้องการให้ได้ผลนี้ควรมีการบริโภคแบคทีเรียอย่างต่อเนื่อง สรุปได้ว่าการศึกษาการบริโภค LAB ทั้งในคนและสัตว์ในปริมาณที่แนะนำจะมีผลในการลดระดับของกิจกรรมของเอนไซม์ในอุจจาระที่เกี่ยวข้องกับการสร้างสารก่อมะเร็ง

### 2. การเปลี่ยนแปลงสภาพทางเคมีภายในลำไส้

Modler *et al.* (1990) พบว่าการลดค่า pH ในลำไส้มีผลกับการเกิดมะเร็งลำไส้ โดยการไปลดการเจริญของแบคทีเรียที่ทำให้เกิดกลิ่นเหม็นเน่า (putrefactive bacteria) ในหนูมีการศึกษาการให้อินูลิน (inulin) ที่มีและไม่มี *B. longum* พบว่ามีการเพิ่มขึ้นของน้ำหนักมูล และเพิ่มกิจกรรมของเอนไซม์ เบต้า-กลูโคโรไนเดส ( $\beta$ -glucuronidase) และมีการลดลงของพีเอชในมูล

(Rowland *et al.* 1998) แม้ว่าในการศึกษามากเรื่องไม่พบการเปลี่ยนแปลงค่าพีอีช ในลำไส้อายุมีนัยสำคัญ

การบริโภคไขมันเป็นปัจจัยเสี่ยงในการเกิดโรคมะเร็งลำไส้แต่สามารถแก้ไขได้โดยการเพิ่มระดับของกรดไขมี (ส่วนใหญ่เป็นกรดไขมีทุติยภูมิ ซึ่งสร้างจากกรดไขมีปฐมภูมิโดยเอนไซม์ 7 $\alpha$ -dehydroxylase จากแบคทีเรีย) ในลำไส้ (Weisburger and Wynder, 1987) มีสมบัติฐานหนึ่งกล่าวไว้ว่ากระบวนการก่อมะเร็งในลำไส้เกี่ยวข้องกับความเป็นพิษของผนังลำไส้ ซึ่งเกิดขึ้นโดยกรดไขมีที่อยู่ในอุจจาระในรูปของสารละลาย (กรดไขมีที่สามารถละลายนำได้) ทำให้เกิดการแบ่งตัวของเซลล์ในลำไส้ (Bruce, 1987) จากการศึกษาการให้ผู้ป่วยโรคมะเร็งลำไส้ 14 คน บริโภคนมหมักที่มี *L. acidophilus* พบร่วมกับความเข้มข้นของกรดไขมีที่สามารถละลายนำได้ในอุจจาระลดลง (Lidbeck *et al.*, 1991)

### 3. การจับและการย่อยสารก่อมะเร็ง

เซลล์แบคทีเรีย รวมไปถึงผนังเซลล์ของพืช อาจจะเป็นปัจจัยสำคัญในการจับกับสารพิษอิสระในลำไส้ สารที่ก่อให้เกิดมะเร็งโดยทั่วไปพบในอาหารประเภทเนื้อ ซึ่งสามารถจับกับ LAB การจับกันนี้สามารถลดปริมาณของสารก่อมะเร็งลงได้ (Orrhage *et al.*, 1994)

Morotomi และ Mutai (1986) ศึกษาความสามารถของแบคทีเรียในลำไส้ 22 สายพันธุ์ ในการจับกับสารก่อมะเร็งและเปรียบเทียบกับความสามารถของแบคทีเรียเหล่านั้นกับการบริโภคอาหารที่เป็นสีน้ำเงินและสีเหลือง จากการศึกษาพบว่า 3-Amino-l-, 4-dimethyl-5H-pyrido[4,3-b]indole (Trp-P-1) และ 3-amino-l-methyl-5H-pyrido[4,3-b]indole (Trp-P-2) สามารถจับกับเซลล์แบคทีเรียทั้งแกรมบวกและการลบได้อย่างมีประสิทธิภาพ อีกทั้งยังสามารถจับกับ เส้นใยข้าวโพด แอบเปิล และถั่วเหลือง ได้อีกด้วย เมื่อกล่าวการจับกันของ Trp-P-2 กับ *L. casei* YIT 9018 และเส้นใยข้าวโพด ถูกศึกษาทำให้ทราบว่าการจับกันนี้อยู่กับค่าพีอีช และสามารถถูกยับยั้งได้โดยเกลือโลหะ (metals salt) บ่งชี้ได้ว่ากลไกการจับกันนี้เกิดจากการแลกเปลี่ยนไอออนลบ

Zhang และ Ohta (1993) พบร่วมกับเซลล์ของ LAB ในลำไส้และยีสต์สามารถลดการดูดซึมของ Trp-P-1 จากลำไส้เล็กในหนู อีกทั้งยังลดสารก่อมะเร็งในเลือด ได้อีกด้วย นอกจากนี้ยังมีการศึกษาอีกว่าสารก่อมะเร็งในอาหาร Trp-P-2 สามารถลดลงได้ในหลาย ๆ เม็ดเยื่อในหนูที่มีการ

ให้ LAB (Orrhage *et al.*, 2002) และยังมีการศึกษาว่าในคนผู้ซึ่งบริโภค *lactobacilli* ทำให้มีสารก่อมะเร็งที่มาจากการผลิตภัณฑ์เนื้อผลิตภัณฑ์ในปัสสาวะและอุจจาระ จากข้อมูลข้างต้น มีความเป็นไปได้ว่า การบริโภค LAB มีผลกับการรับเข้า และหรือการขับออกของสารก่อมะเร็ง โดยการจับกับสารเหล่านี้ในลำไส้ Rowland และ Grasso (1975) พบว่า *lactobacilli* สามารถย่อยสาร nitrosamines ได้

#### 4. การเปลี่ยนแปลงคุณภาพและปริมาณของจุลินทรีย์ในลำไส้

การบริโภคนมหมักที่มี *L. acidophilus* ทำให้สามารถลดจำนวนแบคทีเรียที่ทำให้เกิดกลิ่นเหม็นเน่าในอุจจาระได้ เช่น coliforms และเพิ่มระดับของ *lactobacilli* ในลำไส้ได้ (Ayebo *et al.*, 1980) นอกจากนี้การบริโภค *L. acidophilus* ยังมีประโยชน์ในลำไส้อีกด้วยการหยุดยั้งของแบคทีเรียที่ทำให้เกิดกลิ่นเหม็นเน่า (putrefactive bacteria) ซึ่งเกี่ยวข้องกับการผลิตสารเร่งการเกิดมะเร็ง (tumor promoters) และแบคทีเรียที่ทำให้เกิดการเหม็นเน่า อย่างไรก็ตามกลไกที่เกี่ยวข้องกับผลกระทบนี้ยังไม่เป็นที่ทราบแน่นอน

#### 5. การผลิตสารป้องกัน anti-tumorigenic หรือ antimutagenic

LAB หรือสารป้องกันที่สามารถถลายน้ำได้ชั่งผลิตโดยแบคทีเรียอาจจะมีปฏิกิริยาโดยตรงกับเซลล์มะเร็งในการเพาะเลี้ยงและการขับยิ่งการเจริญ (Reddy *et al.*, 1983) LAB สามารถลดการเจริญ และความมีชีวิตของเซลล์มะเร็งลำไส้ HT-29 ในคนได้ โดยการเพิ่ม dipeptidyl peptidase IV และ brush border enzymes (Baricault *et al.*, 1995)

#### 6. การกระตุ้นระบบภูมิคุ้มกันของร่างกาย

การขับยิ่งเนื้องอกโดย LAB อาจทำได้โดยการตอบสนองทางภูมิคุ้มกันของร่างกาย Sekine *et al.* (1985) พบว่า *B. infantis* สามารถกระตุ้นการตอบสนองของระบบภูมิคุ้มกันได้ชั่งนำไปสู่การขับยิ่งหรือการทำให้เนื้องอกหายไป นอกจากนี้ยังมีการศึกษาเพิ่มเติมอีกว่า LAB ยังมีหน้าที่สำคัญในกระบวนการป้องกันทางภูมิคุ้มกัน โดยการเพิ่มกลไกที่จำเพาะและไม่จำเพาะที่มีผลกระทบกับในการขับยิ่งเนื้องอก (Schiffriin *et al.*, 1995)

*L. casei* สายพันธุ์ Shirota (LcS) สามารถเป็น anti-tumorigenic และ antimetastatic ที่มีผลกับการข้ายการเพาะเลี้ยงของเซลล์เนื้องอก (tumor cell) และสามารถยับยั้งการซักนำของกระบวนการก่อมะเร็งในหนูได้ นอกจากนี้ยังพบว่าการให้ LcS ในหนูที่เป็น tumour-bearing จะทำให้เกิดการซักนำการผลิต cytokines เช่น interferon- $\gamma$ , interleukin- $\beta$  และ tumour necrosis factor- $\alpha$  ใน thoracic cavity ของหนู ซึ่งจะมีผลในการยับยั้งการเจริญของเนื้องอก และสามารถเพิ่มการลดชีวิตของหนูได้ (Matsuzaki, 1998) จากการศึกษานี้ทำให้ทราบว่าการรักษาด้วย LcS เป็นการรักษาที่มีศักยภาพและสามารถป้องกันกระบวนการเกิดเนื้องอกได้ตลอดจนการไปกระตุ้นระบบภูมิคุ้มกันของร่างกายอย่างจำเพาะเจาะจง

### 7. มีผลต่อสรีรวิทยาของร่างกาย

*lactobacilli* เป็นจุลินทรีย์สายพันธุ์ที่มีความสำคัญในลำไส้เล็ก และมีผลในการเกิดปฏิกิริยาต่าง ๆ ในระบบทางเดินอาหาร ในส่วนของ ileal mucosa (Venitt, 1988) และ colonic mucosa (Fang and Strobel, 1978) มีความสามารถในการคุ้ดซับสารก่อมะเร็งจาก intestinal lumen หลังจากสารเหล่านี้ผ่านเข้าไปในกระแสเลือด ซึ่งสารเหล่านั้นไม่มีการเปลี่ยนแปลงหรือเป็นเหมือนสารเมตาบอไลท์ LAB บางสายพันธุ์สามารถเพิ่มกิจกรรมของ NADPH-cytochrome P-450 reductase (Pool-Zobel *et al.*, 1996) และระดับของ glutathione S-transferase (Challa *et al.*, 1997) และลดกิจกรรมของ hepatic uridine diphoglucuronyl transferase (Rowland *et al.*, 1998) ซึ่งเอนไซม์เหล่านี้จะเกี่ยวข้องกับ metabo อดิชีนของกระบวนการก่อมะเร็งในหนู

Arimochi *et al.* (1997) พบร่วมกับ *L. acidophilus* สามารถยับยั้งการสร้าง aberrant crypt focus (ACF) ในลำไส้ของหนูซึ่งถูกซักนำโดย azoxymethane (AOM) และเพิ่มการกำจัด O<sup>6</sup>-methylguanine จาก colon mucosal DNA ซึ่งผลที่เกิดขึ้นเหล่านี้เกิดจากการใช้สารละลายส่วนใหญ่คือเบนโซฟลูอีดีที่เรียก นอกจากนี้ยังมีการศึกษาการบริโภค *B. longum* ในรูปแบบแข็งแบบแห้ง ซึ่งมีผลทำให้ไปลดการพัฒนาของ AOM-induced colonic tumour ซึ่งทำให้เกิดการลดการแบ่งตัวของ colonic mucosal cell และลดกิจกรรมของ colonic mucosal และ tumour ornithine decarboxylase และ ras-p21 (Reddy, 1998)

## บทบาทของโปรไบโอติกต่อการยับยั้งการเจริญของเซลล์มะเร็งลำไส้

Zabala *et al.* (2001) ศึกษาผลของการแบคทีเรียกรดแลกติก 2 สายพันธุ์ที่แยกได้จากมนุษย์ในการยับยั้งการเจริญของ myeloma cell line โดยใช้วิธีทดสอบคือ MTT assay จากการทดลองพบว่า *Enterococcus faecium* CH3 และ *Lactobacillus salivarius* HA8 สามารถยับยั้งการเจริญของ myeloma cell line ได้ 70.9-81.5 เปอร์เซ็นต์ โดยใช้ความเข้มข้นของแบคทีเรียเท่ากับ  $10^6$ - $10^7$  cfu/ml และเมื่อใช้ความเข้มข้น  $10^8$  cfu/ml พบว่ามีการยับยั้งการเจริญของ myeloma cell ที่สูงมาก (84.3 และ 95 เปอร์เซ็นต์สำหรับ *Enterococcus faecium* CH3 และ *Lactobacillus salivarius* HA8 ตามลำดับ) ซึ่งการยับยั้งการเจริญนี้อาจเกิดจากการที่แบคทีเรียทั้ง 2 สายพันธุ์นี้ทำให้เกิดความเป็นพิษต่อเซลล์ myeloma หรือชักนำให้เกิดการตายแบบ胞吐พอกโพธิซิสของเซลล์

Sylvia *et al.* (2006) ศึกษาการชักนำให้เกิดการตายแบบ胞吐พอกโพธิซิสของเซลล์มะเร็งลำไส้ในมนุษย์ HT-29 จากการทดลองพบว่าแบคทีเรียกรดแลกติกคือ *Lactobacillus acidophilus* MR100 (100), *Lactobacillus bulgaricus* MR110 (110), *Lactobacillus acidophilus* NRC13017 (017), *Lactobacillus acidophilus* NRC13019 (019), *Lactobacillus casei* ADA03 (03), *Lactobacillus casei* NRC13005 (005), *Lactobacillus casei* subsp. *Casei* CSCC2601 (2601) และ Yogurt Culture YC085 (085) สามารถชักนำเซลล์มะเร็งลำไส้เกิดการตายแบบ胞吐พอกโพธิซิสได้โดย *Lactobacillus casei* ADA03 (03), *Lactobacillus casei* NRC13005 (005), *Lactobacillus acidophilus* NRC13017 (017) ทำให้เกิดการตายของเซลล์มะเร็งลำไส้สูงที่สุด ซึ่งใช้ความเข้มข้นของเซลล์แบคทีเรียเท่ากับ  $10^9$  cfu/ml

Lee *et al.* (2007) ศึกษาคุณสมบัติโปรไบโอติกของ *Bacillus polyfermenticus* SCD เช่น คุณสมบัติการยึดเกาะกับเซลล์ Caco-2 และการยับยั้งเซลล์มะเร็งลำไส้ในมนุษย์และการยับยั้งกระบวนการก่อมะเร็งในลำไส้หนู ซึ่งพบว่าแบคทีเรียสายพันธุ์นี้สามารถยึดเกาะกับผิวเซลล์ได้เป็นอย่างดีและสามารถยับยั้งการเจริญของเซลล์มะเร็งลำไส้ได้เมื่อใช้ในปริมาณที่เหมาะสมโดยใช้วิเคราะห์คือ MTT assay และเมื่อทำการทดลองในหนูพบว่าหลังจากให้ *Bacillus polyfermenticus* SCD ไปแล้ว 10 อาทิตย์ด้วยปริมาณ  $3 \times 10^6$  cfu/วัน พบว่ามีการเจริญลง 40 เปอร์เซ็นต์ โดยเริ่มเบลี่บนแปลงจากจุดเล็ก ๆ และลามต่อมาระยะ ๆ ที่ถูกชักนำโดย dimethylhydrazine เมื่อเบร์ยนเทียนกับหนูในกลุ่มควบคุม

Kim et al. (2002) ศึกษาการใช้เชลล์แบคทีเรีย ไซโตรพลาสซึมและเปปติโค ไกลแคนจาก LAB 10 สายพันธุ์ ซึ่งศึกษาความเป็นพิษกับเชลล์ไลน์ของมะเร็งโดยใช้วิธีการวิเคราะห์ <sup>3</sup>H-thymidine จากผลการทดลองพบว่าเชลล์แบคทีเรีย ไซโตรพลาสซึมและเปปติโค ไกลแคนมีกิจกรรมการขับยั้งการเจริญของเซลล์มะเร็งได้หลายชนิด โดยในส่วนของไซโตรพลาสซึมนี้ กิจกรรมการขับยั้งการเจริญของเซลล์มะเร็งถ้าไส้และมะเร็งกระเพาะอาหาร ในขณะที่ เปปติโค ไกลแคนมีกิจกรรมการขับยั้งการเจริญของเซลล์มะเร็งถ้าไส้และเซลล์มะเร็งกระเพาะ ปัสสาวะ ส่วนของไซโตรพลาสซึมของ *Bifidobacterium longum* และ *Lactococcus lactis* ssp. *Lactis* มีกิจกรรมการขับยั้งของเซลล์มะเร็งได้ 50 เปอร์เซ็นต์ ซึ่งขับยั้งเซลล์มะเร็งได้ 2 ชนิดคือ เชลล์ SNUC2A (เซลล์มะเร็งถ้าไส้) โดยใช้ส่วนของไซโตรพลาสซึม 33 และ 23 µg/ml ตามลำดับ และ เชลล์ SNU-1 (เซลล์มะเร็งกระเพาะอาหาร) โดยใช้ส่วนของไซโตรพลาสซึม 17 และ 11 µg/ml ตามลำดับ

### กรอบแนวความคิด

โรคมะเร็งถ้าไส้เป็นโรคที่มีผู้ป่วยเพิ่มจำนวนมากขึ้นเรื่อยๆ ซึ่งสาเหตุหลักมาจากการรับประทานอาหารที่ไม่ถูกหลักโภชนาการ โดยเฉพาะการรับประทานอาหารจำพวกเนื้อแดงและไขมัน ไม่รับประทานผักหรือผลไม้ นอกจากนี้แบคทีเรียในลำไส้ยังเป็นสาเหตุสำคัญในการเกิดโรคมะเร็งถ้าไส้ด้วย ทำให้มีอัตราการตายด้วยโรคนี้เพิ่มสูงขึ้น การรักษาโรคมะเร็งถ้าไส้สามารถทำได้ 3 วิธีคือ การผ่าตัด การให้ยาเคมีบำบัด และการฉายรังสีรักษา ซึ่งการรักษาตามวิธีดังกล่าวอาจให้ผลข้างเคียงกับผู้ป่วยได้ อีกทั้งยังพบว่าทรัพยากรที่นำมาใช้ในการบำบัดหรือรักษาโรคมะเร็งถ้าไส้นั้นนับมีปริมาณมากและค่าใช้จ่ายสูงอาทิเช่น ยาหรือสารเคมีซึ่งส่วนใหญ่ก็นำเข้ามายาจากต่างประเทศ ทำให้ในแต่ละปีประเทศไทยจะต้องเสียเงินจำนวนมากในการจัดหาทรัพยากรเหล่านี้ ด้วยเหตุผลดังกล่าวผู้วิจัยจึงพยายามศึกษาและคัดเลือกโปรไบโอติกแบคทีเรียที่มีความสามารถในการป้องกันและรักษาโรคมะเร็งถ้าไส้ โดยวางแผนในการเก็บรวบรวมเชื้อที่มีความสามารถในการปรับตัวให้เหมาะสมกับมนุษย์มากที่สุด ซึ่งเลือกเก็บตัวอย่างจากมนุษย์ที่หลักทรัพยากรและมีสุขภาพแข็งแรงรวมไปถึงน้ำนมหมากให้ได้จำนวนตัวอย่างมากที่สุด หลังจากนั้นจะทำการทดสอบการมีคุณสมบัติเป็นโปรไบโอติกทั่วไปอาทิเช่น คุณสมบัติในการขับยั้งเชื้อก่อโรค

การทบทวนต่อระบบทางเดินอาหาร เป็นต้น ในขั้นตอนสุดท้ายจะทดสอบเชื้อที่คัดเลือกได้ในการขับถ่ายการเจริญของเซลล์มะเร็งลำไส้ (Caco-2 cell) เพื่อให้ได้ประโยชน์ในโอดิกแบคทีเรียที่มีประสิทธิภาพสูงที่สุด เพื่อให้ได้ข้อมูลพื้นฐานไปประยุกต์ใช้ประโยชน์ในโอดิกแบคทีเรียทางด้านการแพทย์ และการพัฒนาผลิตภัณฑ์อาหารเสริมประโยชน์ในโอดิก เพื่อเป็นการลดการนำเข้าของยาและสารเคมีจากต่างประเทศ และใช้เป็นทางเลือกหนึ่งในการป้องกันและรักษาโรคมะเร็งลำไส้ ซึ่งทางเลือกนี้เป็นวิธีการที่มีค่าใช้จ่ายไม่แพงและไม่มีผลข้างเคียงใด ๆ อีกด้วย

### บทที่ 3

#### วิธีดำเนินการวิจัย

##### อุปกรณ์

1. ตัวอย่างอุจจาระเด็กทารก และน้ำนมคิดที่นำมาแยกแบคทีเรีย
  - 1.1 ตัวอย่างอุจจาระเด็กทารกที่มีอายุอยู่ระหว่าง 1-14 วัน จากโรงพยาบาลแม่และเด็ก จังหวัดเชียงใหม่ จำนวน 17 ตัวอย่าง
  - 1.2 ตัวอย่างน้ำนมคิดจากฟาร์นโคนมในจังหวัดเชียงใหม่ จำนวน 7 ตัวอย่าง
2. แบคทีเรียก่อโรคที่นำมาใช้เป็นเชื้อทดสอบ (indicator strains)
  - 2.1 *Escherichia coli* TISTR 780
  - 2.2 *Salmonella typhimurium* TISTR 292
  - 2.3 *Staphylococcus aureus* TISTR 118
  - 2.4 *Salmonella enteritidis* DMST 15676
  - 2.5 *Bacillus cereus* TISTR 121
  - 2.6 *Listeria monocytogenes* DMST 1783
  - 2.7 *Vibrio cholera* DMST 2873
  - 2.8 *Helicobacter pylori* DMST 20165
3. อาหารที่ใช้สำหรับการเพาะเลี้ยงเชื้อแบคทีเรีย
  - 3.1 อาหารแพ็คสูตร De Man, Rogosa and Sharpe (MRS) (Criterion, USA)
  - 3.2 อาหารเหลวสูตร De Man, Rogosa and Sharpe (Criterion, USA)
  - 3.3 อาหารแพ็คสูตร Brain heart infusion (BHI) (Scharlau, Spain)
  - 3.4 อาหารกึ่งเหลวสูตร Brain heart infusion (Scharlau, Spain)
  - 3.5 อาหารเหลวสูตร Brain heart infusion (Scharlau, Spain)

4. อาหารที่ใช้สำหรับเพาะเลี้ยงเซลล์

4.1 อาหาร Dulbecco's modified Eagle's minimal essential medium (DMEM; Gibco<sup>TM</sup>)

5. เซลล์ต้นตอของเซลล์มะเร็งลำไส้

5.1 เซลล์ Caco-2 (CLS, Germany)

6. สารเคมี

6.1 Sodium chloride (NaCl) (Merk, Germany)

6.2 Sodium bicarbonate (NaHCO<sub>3</sub>) (Merk, Germany)

6.3 Ethylene Diamine Tetra Acetic acid (EDTA) (Ajax Finechem, Australia)

6.4 Emulsion oil (Merk, Germany)

6.5 Bile salt (Sigma, USA)

6.6 Trypan blue (Sigma-Aldrich, USA)

6.7 Trypsin EDTA (Hyclone, USA)

6.8 Absolute ethanol (Merk, Germany)

6.9 Glycerol (Merk, Germany)

6.10 Hydrochloric acid (Merk, Germany)

6.11 Hydrogen peroxide (H<sub>2</sub>O<sub>2</sub>) (Merk, Germany)

6.12 Sodium hydroxide (Merk, Germany)

6.13 Fetal calf serum (Hyclone, USA)

6.14 Non-essential amino acid (Hyclone, USA)

6.15 Triton-X 100 (Merk, Germany)

6.16 ยาปฏิชีวนะ penicillin-streptomycin (10,000 IU/ml and 10,000 µg/ml) (Hyclone, USA)

6.17 ชุดข้อมั่นคง (gram'strain set) (Bio-Medical Laboratory, Thai)

7. สารเคมีที่ใช้ในการจำแนกแบคทีเรีย โดยวิธีการหาลำดับเบสของ DNA ในส่วนของยีน 16S rRNA

- 7.1 ชุดสกัด DNA สำเร็จรูป (Mobio DNA extraction kit)
- 7.2 Master mix (Promega, USA)
- 7.3 27F (forward primer) 5'-AGAGTTGATCMTGGCTCAG-3'
- 7.4 520R(reverse primer) 5'-ACCGCGGCKGCTGGC-3' ชุดทำ PCR product ให้บริสุทธิ์ (TaKaRa SUPREC™ -PCR) (Takara, Japan)
- 7.5 Loading dye (Fermentas LIFE SCIENCES, USA)
- 7.6 O' GeneRuler™ 100 bp DNA Ladder (Fermentas LIFE SCIENCES, USA)
- 7.7 เอนไซม์ RNase (Nippon Gene, Japan)
- 7.8 Absolute ethanol (Merck, Germany)
- 7.9 ผงวุ้นอะการอยด์

8. เครื่องมือ

- 8.1 สเปกโตรโฟโตรอมิเตอร์
- 8.2 เครื่องปั่นเหวี่ยง
- 8.3 เครื่องเขย่า
- 8.4 เครื่องพีซีอาร์ (PCR Sprint Thermal Cycler, ยี่ห้อ Thermal hybrid รุ่น Sprint)
- 8.5 เครื่องชั่งไฟฟ้า 2 ตำแหน่ง (Digital Balance, ยี่ห้อ OHAUS)
- 8.6 ตู้อบ (Oven, ยี่ห้อ Menmert, Germany)
- 8.7 ตู้อบ (Standard Lab Oven, ยี่ห้อ Binder GMBH รุ่น ED240(E2), USA)
- 8.8 ตู้อบคาร์บอนไดออกไซด์ (CO2 Incubator, ยี่ห้อ Forma Scientific, รุ่น 3111, USA)
- 8.9 ตู้อบเครื่องแก้ว (Standard Lab Oven, ยี่ห้อ Binder GMBH รุ่น ED115(E2), USA)
- 8.10 ตู้อบเครื่องแก้ว (High Performance Lab Oven, ยี่ห้อ Binder GMBH รุ่น ED240(E2), USA)
- 8.11 ตู้เจี้ยงเชื้อ (Horizontal type laminar flow, ยี่ห้อ Triwork 2000 รุ่น CLEAN H2-3, ประเทศไทย)

- 8.12 ตู้แช่แข็ง -80 องศาเซลเซียส (Chest-type Ult Freezer, ยี่ห้อ Sanyo รุ่น MDF-592, Japan)
- 8.13 ตู้ม่านเชื้อความดันไออก (Autoclave, ยี่ห้อ Hirayama รุ่น HVE-50, Japan)
- 8.14 กล้องจุลทรรศน์เลนส์ประกอบ (Compound Microscope, ยี่ห้อ Olympus รุ่น UM 500)
- 8.15 กล้องจุลทรรศน์ชนิดหัวกลับ (Inverted Microscope, Olympus, ULWCD 0.30)
- 8.16 พีเอชไอเมเตอร์ (pH/Ion/Conductivity, ยี่ห้อ WTW รุ่น PP50)
- 8.17 อ่างน้ำควบคุมอุณหภูมิ (Water bath/Unsteirred digital bath, ยี่ห้อ Julabo Labortechink GMBH รุ่น TW12)
- 8.18 ถังไนโตรเจนเหลว (TAYLOR-WHARTON, XT-20, USA)

## 9. อุปกรณ์อื่น ๆ

- 9.1 หลอดทดลอง ขนาด 16 x 150 มิลลิเมตร
- 9.2 ขวดรูปชมพู่ ขนาด 125 มิลลิตร
- 9.3 ขวดปรับปริมาตรขนาด 100, 500 และ 1,000 มิลลิตร
- 9.4 บีกเกอร์ขนาด 100, 500 และ 1,000 มิลลิตร
- 9.5 ปีเปตขนาด 1, 5 และ 10 มิลลิตร
- 9.6 กระบอกตวงขนาด 1,000 มิลลิตร
- 9.7 ไมโครปีเปต ปรับปริมาตรได้ขนาด 0-20, 20-200 และ 100-1,000 มิลลิตร
- 9.8 Nylon syringe filter ขนาด 0.22 ไมโครเมตร
- 9.9 ห่วงถ่ายเชือก (loop)
- 9.10 ตะเกียงแอลกอฮอล์
- 9.11 Cork borer ขนาดเส้นผ่าศูนย์กลาง 0.6 เซนติเมตร
- 9.12 จานอาหารเดี้ยงเชือก (petri dish)
- 9.13 ชีโนไซโตรามิตเตอร์ (Haemocytometer) และกระจากปิดแก้ว (cover glass)
- 9.14 ถาดหลุม 24 หลุม
- 9.15 ถาดหลุม 96 หลุม
- 9.16 ขวดเดี้ยงเชลล์ ขนาด 50 มิลลิตร

## วิธีการวิจัย

### 1. การคัดแยกและเก็บรวบรวมเชื้อแบคทีเรีย

#### 1.1 การเก็บตัวอย่างมูลของเด็กทารก

เก็บตัวอย่างมูลของเด็กทารก ซึ่งมีอายุอยู่ระหว่าง 1-14 วัน จากโรงพยาบาลแม่และเด็ก จังหวัดเชียงใหม่ โดยทำการเก็บตัวอย่างอุจจาระเด็กทารกในหลอด Microtube ขนาด 1.5 มิลลิลิตร ที่ทำการฆ่าเชื้อแล้วและเก็บรักษาที่อุณหภูมิ 4 องศาเซลเซียส เพื่อรอการนำไปแยกเชื้อแบคทีเรีย ต่อไป

#### 1.2 การเก็บตัวอย่างน้ำนม

เก็บตัวอย่างน้ำนมดิบของแม่โสด จากฟาร์มโคนมในจังหวัดเชียงใหม่ และเก็บตัวอย่างน้ำนมที่ผ่านการต้มแล้วจากร้านขายนมสด ในจังหวัดเชียงใหม่ โดยทำการเก็บในขวด Duran ขนาด 250 มิลลิลิตร ที่ผ่านการฆ่าเชื้อแล้ว และนำไปบ่มที่อุณหภูมิ 37 องศาเซลเซียส เป็นเวลา 48 ชั่วโมง ในสภาพไร้อากาศ เพื่อรอการนำไปแยกเชื้อแบคทีเรียต่อไป

#### 1.3 การแยกเชื้อแบคทีเรียให้บริสุทธิ์

นำตัวอย่างมูลเด็กทารกและตัวอย่างน้ำนมที่ผ่านการบ่มที่อุณหภูมิ 37 องศาเซลเซียส เป็นเวลา 48 ชั่วโมง มาทำการแยกเชื้อแบคทีเรียภายในห้องปฏิบัติการ โดยทำการเจือจางในน้ำเกลือ เป็นลำดับขั้น (serial dilution) แล้วเลือกระดับความเจือจางที่เหมาะสม 3 ระดับ นำมาเกลี่ย (spread) ให้ทั่วบนอาหารเพ็งสูตร MRS นำไปบ่มที่อุณหภูมิ 37 องศาเซลเซียส เป็นเวลา 24 ชั่วโมง จากนั้น ทำการเลือกสุ่มโคโลนีที่แตกต่างกัน มาทำให้บริสุทธิ์โดยการปิด (streak) บนอาหารเพ็งสูตร MRS จนได้โคโลนีเดียว (single colony) ที่บริสุทธิ์ เก็บเชื้อบริสุทธิ์ที่แยกได้ในกลีเซอรอลเข้มข้น 20 เปอร์เซ็นต์ (v/v) นำไปเก็บที่อุณหภูมิ -80 องศาเซลเซียส จนกว่าจะนำไปทดสอบขั้นต่อไป

## 2. การคัดเลือกและทดสอบแบคทีเรียที่มีคุณสมบัติเป็นปะรไนโอดิก

### 2.1 การศึกษาลักษณะทางสัณฐานวิทยา (Morphological characteristics) ของแบคทีเรีย

นำแบคทีเรียที่เก็บรักษาในกลีเซอรอลมาขัดลงบนอาหารแข็งสูตร MRS นำไปบ่มที่อุณหภูมิ 37 องศาเซลเซียส ในสภาวะไร้อากาศ นาน 24 ชั่วโมง นำแบคทีเรียที่เจริญบนอาหารแข็งมาเกลี่ย (smear) บนสไลด์ ผึ้งไว้ให้แห้ง นำสไลด์ไปผ่านเปลวไฟ 2-3 ครั้ง เพื่อตึงเชือให้ติดกับสไลด์แน่นเข้ม (heat fix) ทำการข้อมสีแบบแกรม (Gram's staining) โดยข้อมด้วยสี crystal violet ให้ท่วมรอบเชือนาน 1-2 นาที เทสีทึ้ง และล้างสีออกด้วยน้ำประปาเบาๆ แล้วหดสารละลาย iodine ให้ท่วมสไลด์ ทึ้งไว้นาน 1 นาที เทสารละลายไอโซดีนทึ้ง และล้างด้วยน้ำประปาเบาๆ ล้างสี crystal violet ออกด้วย acetone alcohol (ethylalcohol + acetone) ประมาณ 5-10 วินาที และล้างด้วยน้ำประปาเบาๆ ล้างด้วยน้ำประปาเบาๆ ข้อมทับด้วยสี safranin นาน 1 นาที และล้างด้วยน้ำประปาเบาๆ อีกครั้ง ผึ้งสไลด์ให้แห้งแล้วดูด้วยกล้องจุลทรรศน์กำลังขยายสูงสุด โดยทำการศึกษารูปร่าง และการติดสีแกรมของแบคทีเรีย

### 2.2 การศึกษาคุณสมบัติของแบคทีเรียที่มีประสิทธิภาพในการขับยุงการเจริญของเชื้อก่อโรค

การศึกษาคุณสมบัติของแบคทีเรียที่มีต่อการขับยุงเชื้อก่อโรคใช้วิธี well diffusion assay โดยทำการเพาะเลี้ยงเชื้อแบคทีเรียที่ทดสอบในอาหารเหลวสูตร MRS ปริมาตร 5 มิลลิลิตร ที่บรรจุในหลอดขนาด 16 x 150 มิลลิลิตร นำไปบ่มที่อุณหภูมิ 37 องศาเซลเซียส เป็นเวลา 24 ชั่วโมง ในสภาวะไร้อากาศ และทำการเพาะเลี้ยงเชื้อทดสอบ 8 สายพันธุ์คือ *Escherichia coli* TISTR 780, *Salmonella typhimurium* TISTR 292, *Staphylococcus aureus* TIRTS 118, *Salmonella enteritidis* DMST 15676, *Bacillus cereus* TISTR 121 และ *Vibrio cholera* DMST 5655 เพาะเลี้ยงในอาหารเหลวสูตร NB ปริมาตร 5 มิลลิลิตร ที่บรรจุในหลอดขนาด 16 x 150 มิลลิลิตร นำไปบ่มที่อุณหภูมิ 37 องศาเซลเซียส เป็นเวลา 18 ชั่วโมง ในสภาวะมีอากาศ ส่วน *Listeria monocytogenes* DMST 1783 และ *Helicobacter pylori* DMST 20165 เพาะเลี้ยงในอาหารเหลวสูตร BHI ปริมาตร 5 มิลลิลิตร ที่บรรจุในหลอดขนาด 16 x 150 มิลลิลิตร นำไปบ่มที่อุณหภูมิ 37 องศาเซลเซียส เป็นเวลา 18 ชั่วโมง ในสภาวะมีอากาศและไร้อากาศตามลำดับ จากนั้นนำเชื้อแบคทีเรียที่ทดสอบและเชื้อก่อโรคไปวัดค่าความซุ่นโดยเครื่อง spectrophotometer ที่ความยาวคลื่น 600 nm (Optical Density; OD<sub>600</sub>) โดยให้ได้ค่าความซุ่นอยู่ที่ 1.00 A สำหรับเชื้อแบคทีเรียทดสอบและ 0.5 A สำหรับ

เชื้อก่อโรค นำเชื้อก่อโรคแต่ละสายพันธุ์ปริมาตร 0.5 ไมโครลิตร ผสมลงในอาหารวุ้นกึ่งแข็งกึ่งเหลวสูตร MRS ปริมาตร 50 มิลลิลิตร ซึ่งจะได้ความเข้มข้นเชื้อก่อโรค 0.1 เปอร์เซ็นต์ (v/v) เมื่อผสมให้เข้ากันแล้วนำไปเททับบนจานอาหารเลี้ยงเชื้อที่มีอาหารแข็งสูตร MRS จากนั้นทำการเจาะหลุมบนอาหารด้วยเครื่องเจาะจุกไม้คอร์ก (cork borer) ซึ่งมีขนาดเส้นผ่านศูนย์กลางประมาณ 0.6 มิลลิเมตร แล้วรองก้นหลุมด้วยอาหารวุ้นกึ่งแข็งกึ่งเหลวสูตร BHI ปริมาตร 10 ไมโครลิตร ทำการหยดเชื้อบาคทีเรียที่ทดสอบลงไปในหลุมปริมาตร 100 ไมโครลิตร โดยมีไฮโครเจนเปอร์ออกไซด์ความเข้มข้น 0.3 เปอร์เซ็นต์ (v/v) เป็นกลุ่มควบคุมที่ให้ผลบวก (positive control) และอาหารเหลวสูตร MRS เป็นกลุ่มควบคุมที่ให้ผลลบ (negative control) นำจานอาหารเลี้ยงเชื้อที่เททับด้วยเชื้อก่อโรค *Helicobacter pylori* นำไปในสภาวะไร้อากาศ สังเกตและบันทึกขนาดวงไส้ที่เกิดขึ้นซึ่งเกิดจากกิจกรรมการขับยั้งเชื้อก่อโรคของแบคทีเรียทดสอบ และวานิชเชื้อบาคทีเรียที่สามารถขับยั้งเชื้อก่อโรคได้ทุกสายพันธุ์ไปทดสอบคุณสมบัติในขั้นต่อไป (ดัดแปลงจากวิธีการของ Petro *et al.*, 2005)

### 2.3 การศึกษาความสามารถในการเจริญได้ในสารละลายน้ำ PBS ที่มีค่าความเป็นกรด 2.5

ทำการเพาะเลี้ยงเชื้อบาคทีเรียที่ทดสอบในอาหารเหลวสูตร MRS ปริมาตร 5 มิลลิลิตร ที่บรรจุในหลอดขนาด 16 x 150 มิลลิลิตร นำไปปั่นที่อุณหภูมิ 37 องศาเซลเซียส เป็นเวลา 24 ชั่วโมง ในสภาวะไร้อากาศ และนำเชื้อบาคทีเรียที่ทดสอบไปวัดค่าความกรด 2.5 ปริมาตร 5 มิลลิลิตร ที่บรรจุในหลอดขนาด 16 x 150 มิลลิลิตร นำไปปั่นที่อุณหภูมิ 37 องศาเซลเซียส เป็นเวลา 3 ชั่วโมง ในสภาวะไร้อากาศ ทำการตรวจสอบจำนวนเชื้อบาคทีเรียเริ่มต้นที่ 0 ชั่วโมง และจำนวนแบคทีเรียที่เหลืออยู่ที่ 3 ชั่วโมง โดยการเจือจางในสารละลายน้ำ peptone water เป็นลำดับขั้น (serial dilution) ครั้งละ 10 เท่า แล้วเลือกระดับความเจือจางที่เหมาะสม 3 ระดับ นำมาเกลี่ย (spread) ให้ทั่วบนอาหารแข็งสูตร MRS นำไปปั่นที่อุณหภูมิ 37 องศาเซลเซียส เป็นเวลา 24 ชั่วโมง และนำนับจำนวนเชื้อบาคทีเรียที่เจริญบนอาหารแข็งสูตร MRS (ดัดแปลงจากวิธีการของ Arici *et al.*, 2004)

**2.4 การศึกษาความสามารถในการเจริญได้ในอาหาร MRS ที่มีเกลือน้ำดี 0.3 เปอร์เซ็นต์ได้ทำการเพาะเลี้ยงเชื้อแบคทีเรียที่ทดสอบในอาหารเหลวสูตร MRS ปริมาตร 5 มิลลิลิตร ที่บรรจุในหลอดขนาด 16 x 150 มิลลิลิตร นำไปปั่นที่อุณหภูมิ 37 องศาเซลเซียส เป็นเวลา 24 ชั่วโมง ในสภาพไร้อากาศ และนำเชื้อแบคทีเรียที่ทดสอบไปวัดค่าความชุ่นโดยเครื่อง spectrophotometer ที่ความยาวคลื่น 600 nm ( $OD_{600}$ ) โดยให้ได้ค่าความชุ่นอยู่ที่ 1.00 A จากนั้นนำ เชื้อแบคทีเรียที่ทดสอบ ปริมาตร 1 มิลลิลิตร ใส่ลงในอาหารที่มีเกลือน้ำดี 0.3 เปอร์เซ็นต์ ปริมาตร 5 มิลลิลิตร ที่บรรจุในหลอดขนาด 16 x 150 มิลลิลิตร นำไปปั่นที่อุณหภูมิ 37 องศาเซลเซียส เป็นเวลา 24 ชั่วโมง ในสภาพไร้อากาศ ทำการตรวจสอบจำนวนเชื้อแบคทีเรียเริ่มต้นที่ 0 ชั่วโมง และ จำนวนแบคทีเรียที่เหลือรอดชีวิตที่ 24 ชั่วโมง โดยการเจือจางในสารละลาย peptone water เป็นลำดับขั้น (serial dilution) แล้วเลือกระดับความเจือจางที่เหมาะสม 3 ระดับ นำมาเกลี่ย (spread) ให้ทั่วบนอาหารแข็งสูตร MRS นำไปปั่นที่อุณหภูมิ 37 องศาเซลเซียส เป็นเวลา 24 ชั่วโมง และนำมา นับจำนวนเชื้อแบคทีเรียที่เจริญบนอาหารแข็งสูตร MRS (ดัดแปลงจากวิธีการของ Gagnon *et al.*, 2004)**

## 2.5 การศึกษาการย่อยสลายเม็ดเลือดแดง

ทำการขึ้นเชื้อแบคทีเรียที่ต้องการทดสอบบนจานอาหารเลี้ยงเชื้อที่มีอาหารแข็งสูตร MRS นำไปปั่นที่อุณหภูมิ 37 องศาเซลเซียส เป็นเวลา 24 ชั่วโมง ในสภาพไร้อากาศ จากนั้นนำเชื้อ แบคทีเรียที่เจริญนั้นมาขึ้นอีกครั้งบนจานอาหารเลี้ยงเชื้อที่มีอาหาร blood agar ที่มีเลือดหมูย์ 5 เปอร์เซ็นต์ผสมอยู่ นำไปปั่นที่อุณหภูมิ 37 องศาเซลเซียส เป็นเวลา 24 ชั่วโมง ในสภาพไร้อากาศ จากนั้นทำการสังเกตลักษณะการย่อยสลายเม็ดเลือดแดง ซึ่งแบ่งออกเป็น 3 ลักษณะคือ แบบเบต้า แบบแอลฟ่า และแบบแคนม่า ทำการบันทึกผลที่เกิดขึ้น

## 2.6 การศึกษาการด้านยาปฏิชีวนะ

การศึกษาคุณสมบัติของแบคทีเรียที่มีต่อการด้านทานยาปฏิชีวนะใช้วิธี agar disc diffusion โดยทำการเพาะเลี้ยงเชื้อแบคทีเรียที่ทดสอบในอาหารเหลวสูตร MRS ปริมาตร 5 มิลลิลิตร ที่บรรจุในหลอดขนาด 16 x 150 มิลลิลิตร นำไปปั่นที่อุณหภูมิ 37 องศาเซลเซียส เป็นเวลา 24 ชั่วโมง ในสภาพไร้อากาศ และนำเชื้อแบคทีเรียที่ทดสอบไปวัดค่าความชุ่นโดยเครื่อง spectrophotometer ที่ความยาวคลื่น 600 nm ( $OD_{600}$ ) โดยให้ได้ค่าความชุ่นอยู่ที่ 1.00 A จากนั้นนำ

ไม่พันสำลีจุ่มลงในอาหารเหลวสูตร MRS ที่มีเชื้อแบคทีเรียที่เจริญอยู่และนำไปทابนงานอาหาร เลี้ยงเชื้อที่มีอาหารแข็งสูตร MRS นำ disc ที่มียาปฏิชีวนะประกอบไปด้วย chloramphenical 30 µg, ampicillin 10 µg, erythromycin 15 µg, tetracycin 30 µg และ kanamycin 30 µg วางลงบนงานอาหาร เลี้ยงเชื้อที่มีอาหารแข็งสูตร MRS ซึ่งทางด้านอาหารเหลวสูตร MRS ที่มีเชื้อแบคทีเรียที่เจริญ เรียบร้อยแล้ว จากนั้นนำไปบ่มที่อุณหภูมิ 37 องศาเซลเซียส เป็นเวลา 24 ชั่วโมง ในสภาพไร้ อากาศ สังเกตว่าใส่ที่เกิดขึ้นเนื่องจากการยับยั้งเชื้อแบคทีเรียของยาปฏิชีวนะ (ดัดแปลงจากวิธีการ ของ Arici *et al.*, 2004) ในการทดลองนี้ใช้ disc ยาปฏิชีวนะที่ความเข้มข้นไม่เท่ากันเนื่องจาก ยาปฏิชีวนะแต่ละชนิดมีความแรงของยาปฏิชีวนะไม่เท่ากัน ซึ่งความเข้มข้นที่ใช้เป็นความเข้มข้นที่ ยาปฏิชีวนะทุกชนิดมีความแรงเท่ากันอีกทั้งยังเป็นความเข้มข้นที่ใช้ทั่วไปภายใต้ห้องปฏิบัติการ ([www.oxoid.com](http://www.oxoid.com))

### 3. การศึกษาประสิทธิภาพในการยับยั้งเซลล์มะเร็งลำไส้

#### 3.1 การเพาะเลี้ยงเซลล์ Caco-2

ทำการเพาะเลี้ยงเซลล์ Caco-2 ในอาหารสูตร Dulbecco's modified Eagle's minimal essential medium (DMEM; Gibco<sup>TM</sup>) ที่มี fetal calf serum 10 เปอร์เซ็นต์ ยาปฏิชีวนะ 1 เปอร์เซ็นต์ (penicillin 100 U/ml, streptomycin 100 µg/ml) 1% และ non-essential amino acid 1 เปอร์เซ็นต์ ในขวดเลี้ยงเซลล์ที่มีพื้นที่ 25 ตารางเซนติเมตร โดยใส่อาหารเลี้ยงเซลล์ประมาณ 5 มิลลิลิตร นำไปบ่มในตู้บ่มคาร์บอนไดออกไซด์ที่มีอุณหภูมิ 37 องศาเซลเซียส คาร์บอนไดออกไซด์ 5 เปอร์เซ็นต์ ประมาณ 15 วัน เพื่อให้เซลล์อยู่ในสภาพแวดล้อมเดิม (subconfluent) เพื่อให้ได้เซลล์ที่สามารถแบ่งตัวเพิ่มจำนวนได้ดีและมีความสามารถในการเจริญสูง (high viability) ก่อนนำมาใช้ในการทดลองต้องทำเซลล์มะเร็งลำไส้ซึ่งเป็นเซลล์ภาวะผิวไฟ แขวนลอยในอาหารเลี้ยงเซลล์สูตร DMEM โดยใช้วิธี trypsinization ซึ่งเป็นวิธีการที่ใช้อ่อนไขม์ trypsin-EDTA ขอยเซลล์ให้ได้เซลล์เดียว ๆ ทำโดยเริ่มจากการถ่ายอาหารเลี้ยงเซลล์ก่อออกทิ้งไป และเติมอ่อนไขม์ trypsin-EDTA ลงไปประมาณ 2 มิลลิลิตร เอียงขวดเลี้ยงเซลล์ไปมาให้อ่อนไขม์ กระจายทั่วครอบคลุมเซลล์ประมาณ 30 วินาที ดูดเอาสารละลายทิ้งไป จากนั้นนำไปบ่มในตู้บ่มคาร์บอนไดออกไซด์ที่มีอุณหภูมิ 37 องศาเซลเซียส คาร์บอนไดออกไซด์ 5 เปอร์เซ็นต์ เป็น

เวลา 10 นาที และเติมอาหารเลี้ยงเซลล์สูตร DMEM ลงไป ปริมาตร 5 มิลลิลิตร เพื่อหยุดปฏิกิริยาของเอนไซม์ คุณเป้าสารละลายน้ำซึ่งคงเหลือ 3-4 ครั้ง เพื่อให้เซลล์หลุดออกจากกระดูกน้ำไปปนจำนวนเซลล์เริ่มต้น

### 3.2 การเตรียมแบบคที่เรียกที่มีชีวิต (live whole cell)

ทำการเพาะเลี้ยงแบบคที่เรียกที่ต้องการทดสอบในอาหารเหลวสูตร MRS ปริมาตร 5 มิลลิลิตร ที่บรรจุในหลอดขนาด  $16 \times 150$  มิลลิลิตร นำไปปนที่นำไปปนที่อุณหภูมิ 37 องศาเซลเซียส เป็นเวลา 24 ชั่วโมง ในสภาพไร้อากาศ นำอาหารที่มีแบบคที่เรียกเจริญอยู่มาวัดค่าความชุ่มน้ำโดยเครื่อง spectrophotometer ที่ความยาวคลื่น 600 nm ( $OD_{600}$ ) โดยให้ได้ค่าความชุ่มน้ำอยู่ที่ 1.00 A จากนั้นทำการดูดอาหารที่มีแบบคที่เรียกเจริญอยู่ และมีค่าความชุ่มน้ำอยู่ที่ 1.00 ปริมาตร 1 มิลลิลิตร มาใส่ในอาหารเหลวสูตร MRS ปริมาตร 5 มิลลิลิตร นำไปปนที่นำไปปนที่อุณหภูมิ 37 องศาเซลเซียส เป็นเวลา 24 ชั่วโมง ในสภาพไร้อากาศ

### 3.3 การเตรียม cultured medium จากแบบคที่เรียก

ทำการเพาะเลี้ยงแบบคที่เรียกที่ต้องการทดสอบในอาหารเหลวสูตร MRS ปริมาตร 5 มิลลิลิตร ที่บรรจุในหลอดขนาด  $16 \times 150$  มิลลิลิตร นำไปปนที่นำไปปนที่อุณหภูมิ 37 องศาเซลเซียส เป็นเวลา 24 ชั่วโมง ในสภาพไร้อากาศ นำอาหารที่มีแบบคที่เรียกเจริญอยู่มาวัดค่าความชุ่มน้ำโดยเครื่อง spectrophotometer ที่ความยาวคลื่น 600 nm ( $OD_{600}$ ) โดยให้ได้ค่าความชุ่มน้ำอยู่ที่ 1.00 A จากนั้นทำการดูดอาหารที่มีแบบคที่เรียกเจริญอยู่ และมีค่าความชุ่มน้ำอยู่ที่ 1.00 A ปริมาตร 1 มิลลิลิตร มาใส่ในอาหารเหลวสูตร MRS ปริมาตร 5 มิลลิลิตร นำไปปนที่นำไปปนที่อุณหภูมิ 37 องศาเซลเซียส เป็นเวลา 24 ชั่วโมง ในสภาพไร้อากาศ และนำเอาอาหารที่มีแบบคที่เรียกที่เจริญอยู่มาปั่นให้วายความเร็วรอบ 5,000 รอบต่อนาที (rpm) ที่อุณหภูมิ 4 องศาเซลเซียส เป็นเวลา 10 นาที เพื่อแยกเอาส่วนไส (supernatant) ของแบบคที่เรียกออกมานำส่วนไสที่ได้ไปกรองด้วยตัวกรองชนิดไนลอน (nylon syringe filter) ที่มีขนาดรูกรองประมาณ 0.2 ไมโครเมตร เก็บในหลอด microtube ขนาด 1.5 มิลลิลิตร ที่อุณหภูมิ -20 องศาเซลเซียส เพื่อนำไปทำการทดสอบต่อไป

### 3.4 การศึกษาประสิทธิภาพการขับยักษ์การเจริญเซลล์มะเร็งลำไส้โดยใช้วิธี MTT assay

เจือจางเซลล์เริ่มต้นให้ได้  $1 \times 10^5$  เซลล์/มิลลิลิตร ดูดเซลล์เขวนลอบใส่ในถาดเลี้ยงเซลล์ 96 หลุม ปริมาตรหลุมละ 100 ไมโครลิตร นำไปปนในตู้บ่มคาร์บอนไดออกไซด์ที่มีอุณหภูมิ

37 องค์การอนามัยโลกได้ออกใช้ครั้งที่ 5 เปอร์เซ็นต์ เป็นเวลา 24 ชั่วโมง จากนั้นเติม cultured medium ของแบคทีเรียที่เตรียมได้จากข้างต้น (ข้อ 3.3) ลงในถาดเลี้ยงเซลล์ 96 หลุม ปริมาตรหลุ่มละ 100 ไมโครลิตร นำไปบ่มในตู้บ่มเครื่องที่มีอุณหภูมิ 37 องค์การอนามัยโลกได้ออกใช้ครั้งที่ 5 เปอร์เซ็นต์ เป็นเวลา 24 ชั่วโมง ทำการวัดการเจริญของเซลล์ Caco-2 โดยใช้วิธี MTT assay เริ่มจากการล้างเซลล์ที่มี cultured medium ของแบคทีเรีย ด้วยสารละลาย PBS จำนวน 2 ครั้ง จากนั้นเติมสารละลาย MTT (ความเข้มข้น 0.5 มิลลิกรัม/มิลลิลิตร ในสารละลาย DMSO) ปริมาตรหลุ่มละ 10 ไมโครลิตร นำไปบ่มในตู้บ่มเครื่องที่มีอุณหภูมิ 37 องค์การอนามัยโลกได้ออกใช้ครั้งที่ 5 เปอร์เซ็นต์ เป็นเวลา 4 ชั่วโมง จากนั้นเติมสารละลาย DMSO ความเข้มข้น 100 เปอร์เซ็นต์ (v/v) ปริมาตรหลุ่มละ 100 ไมโครลิตร เพื่อลดลายผลึก formazan ทึบไว้นาน 5 นาทีและนำไปวัดค่าการดูดกลืนแสงโดยใช้เครื่อง microplate reader ที่ความยาวคลื่น 595 nm ซึ่งใช้ blank คือสารละลาย MTT ปริมาตร 10 ไมโครลิตร รวมอยู่กับสารละลาย DMSO ปริมาตร 100 ไมโครลิตร และกลุ่มควบคุมคือ เซลล์ที่ไม่มีการเติม cultured medium ของแบคทีเรีย โดยกลุ่มควบคุมให้คิดการเจริญของเซลล์เป็น 100 เปอร์เซ็นต์ นำค่าการดูดกลืนแสงที่วัดได้มาคำนวณตามสูตรดังนี้

$$\text{เปอร์เซ็นต์ การเจริญของเซลล์} = \left( \frac{A_t}{A_c} \right) \times 100$$

โดยที่  $A_t$  เป็นค่าการดูดกลืนแสงของกลุ่มทดลอง

$A_c$  เป็นค่าการดูดกลืนแสงของกลุ่มควบคุม

### 3.5 การศึกษาประสิทธิภาพการขับยุงเซลล์เมะเร็งสำหรับโดยใช้วิธี Trypan Blue exclusion

เจือจางเซลล์เริ่มต้นให้ได้  $1 \times 10^5$  เซลล์/มิลลิลิตร ดูดเซลล์เขวนลอยใส่ในถาดเลี้ยงเซลล์ 24 หลุม ปริมาตรหลุ่มละ 1 มิลลิลิตร นำไปบ่มในตู้บ่มเครื่องที่มีอุณหภูมิ 37 องค์การอนามัยโลกได้ออกใช้ครั้งที่ 5 เปอร์เซ็นต์ เป็นเวลา 24 ชั่วโมง จากนั้นเติม cultured medium ของแบคทีเรียที่เตรียมได้จากข้างต้น (ข้อ 3.3) และแบคทีเรียที่มีชีวิต (live whole cell) ที่เตรียมได้จากข้างต้น (ข้อ 3.2) ในถาดเลี้ยงเซลล์ 24 หลุม ปริมาตรหลุ่มละ 1 มิลลิลิตรนำไปบ่มในตู้บ่มเครื่องที่มีอุณหภูมิ 37 องค์การอนามัยโลกได้ออกใช้ครั้งที่ 5 เปอร์เซ็นต์ เป็นเวลา 24 ชั่วโมง ทำการวัดการเจริญของเซลล์ Caco-2 โดยใช้วิธีการนับจำนวนเซลล์ เริ่มจากการนับเซลล์เขวนลอยดูดเซลล์เขวนลอยจากถาดเลี้ยงเซลล์ 24 หลุม ใส่ในหลอด microtube ขนาด

1.5 มิลลิลิตร ปริมาตร 450 ไมโครลิตร และเติมสีข้อม trypan blue ปริมาตร 50 ไมโครลิตรลงไปในหลอดนั้น ผสมให้เข้ากัน ตั้งทิ้งไว้อย่างน้อย 1 นาที แล้วปีเปตคุณภาพรำمال 10 ไมโครลิตร นำไปใส่ลงตรงช่องระหว่างตัวสไลด์กับ cover slip ของ hemocytometer นำไปนับจำนวนเซลล์ภายในกล้องจุลทรรศน์ ซึ่งเซลล์ที่รอดชีวิตจะไม่มีการติดสีข้อม trypan blue และเซลล์ที่ตายจะมีการติดสีข้อม trypan blue ส่วนการนับเซลล์ภาวะผิวดองทำการบอยเซลล์โดยใช้อ่อนไชม์ trypsin-EDTA ก่อนและนำมานับจำนวนเซลล์ซึ่งใช้วิธีการเดียวกันกับเซลล์แขวนลอย นำค่าที่ได้มาคำนวณตามสูตรดังนี้

$$\text{เปอร์เซ็นต์การเจริญของเซลล์} = (\text{เซลล์ที่รอดชีวิต}/(\text{เซลล์ที่รอดชีวิต} + \text{เซลล์ตาย})) \times 100$$

### 3.6 การศึกษาประสิทธิภาพการยึดเกาะของแบคทีเรียกับเซลล์ Caco-2

เจือจางเซลล์เริ่มต้นให้ได้  $1 \times 10^5$  เซลล์/มิลลิลิตร คุณเซลล์แขวนลอยใส่ในถาดเลี้ยงเซลล์ 24 หลุม ปริมาตรหลุมละ 1 มิลลิลิตร นำไปบ่มในตู้บ่มการบอนไดออกไซด์ที่มีอุณหภูมิ 37 องศาเซลเซียส คาร์บอนไดออกไซด์ 5 เปอร์เซ็นต์ เป็นเวลา 15 วัน โดยทำการเปลี่ยนอาหารเลี้ยงเซลล์ทุก ๆ 48 ชั่วโมง เมื่อเลี้ยงเซลล์ครบ 15 วันแล้วทำการเปลี่ยนอาหารในถาดหลุม 24 หลุม เป็นอาหาร non-supplemented DMEM เป็นเวลา 1 ชั่วโมง จากนั้นปีเปตอาหารเลี้ยงเซลล์ออกและทำการถ่ายเซลล์ด้วยสารละลายบีฟเฟอร์ 2 ครั้ง จากนั้นนำเข้าแบคทีเรียทดสอบที่ผ่านการเพาะเลี้ยงในอาหารเหลวสูตร MRS ในสภาพไว้อาการที่อุณหภูมิ 37 องศาเซลเซียส ซึ่งนำไปวัดค่าความชุ่นโดยเครื่อง spectrophotometer ที่ความยาวคลื่น 600 nm ( $OD_{600}$ ) โดยให้ได้ค่าความชุ่นอยู่ที่ 0.50 A นำไปปั่นให้เยิ่งที่ความเร็วรอบ 5,000 รอบต่อนาที อุณหภูมิ 4 องศาเซลเซียส เป็นเวลา 10 นาที เดิมลงในถาดเลี้ยงเซลล์ 24 หลุม ปริมาตรหลุมละ 1 มิลลิลิตรนำไปบ่มในตู้บ่มการบอนไดออกไซด์ที่มีอุณหภูมิ 37 องศาเซลเซียส คาร์บอนไดออกไซด์ 5 เปอร์เซ็นต์ เป็นเวลา 1 ชั่วโมง จากนั้นล้างเซลล์แบคทีเรียที่ไม่ได้ยึดเกาะกับเซลล์ Caco-2 ออกไป และทำการเติมสาร Triton-X 100 ความเข้มข้น 0.1 เปอร์เซ็นต์ (v/v) ปริมาตร 1 มิลลิลิตร ทิ้งไว้นาน 15 นาที เพื่อทำให้เซลล์ Caco-2 แตก ทำการนับจำนวนแบคทีเรียที่มีความสามารถในการยึดเกาะกับเซลล์ Caco-2 โดยการเจือจางในสารละลาย peptone water เป็นลำดับขั้น (serial dilution) และเลือกระดับความเจือจางที่เหมาะสม 3 ระดับนำมาเกลี่ย (spread) ให้ทั่วบนอาหารแข็งสูตร MRS นำไปบ่มที่อุณหภูมิ 37 องศาเซลเซียส เป็นเวลา 24 ชั่วโมง และนำมานับจำนวนเชื้อแบคทีเรียที่เจริญบนอาหารแข็งสูตร MRS ทำการ

เปรียบเทียบจำนวนแบนค์ที่เริ่มต้นกับจำนวนแบนค์ที่เรียกว่าเด็กกับเซลล์ Caco-2 (ดัดแปลงจากวิธีการของ Gangnon *et al.*, 2004 และ Maragkoudakis *et al.*, 2006

#### 4. การจัดจำแนกแบนค์ที่เรียโดยใช้การหาลำดับเบสของดีเอ็นเอ ในส่วนของยีน 16S rRNA

##### 4.1 การศึกษาลักษณะทางสัณฐานวิทยา (Morphological characteristics) ของแบนค์ที่เรีย

นำแบนค์ที่เรียที่เก็บรักษาในกลีเซอรอลมาขัดลงบนอาหารแข็งสูตร MRS นำไปปั่นที่อุณหภูมิ 37 องศาเซลเซียส ในสภาวะไร้อากาศ นาน 24 ชั่วโมง นำแบนค์ที่เรียที่เจริญบนอาหารแข็งทำการศึกษาลักษณะการเจริญบนอาหารเดี้ยงเชื้อ (culture characteristic) ของแบนค์ที่เรีย และนำโคลoniของแบนค์ที่เรียนมาเกลี่ย (smear) บนสไลด์ ผึ่งไว้ให้แห้ง นำสไลด์ไปผ่านเพลาไฟ 2-3 ครั้ง เพื่อตرجิ้งเชื้อให้ติดกับสไลด์แน่นขึ้น (heat fix) ทำการข้อมสีแกรม (Gram's staining) โดยข้อมด้วยสี crystal violet ให้ท่วมอยเชื่อนาน 1-2 นาที เทสิทิ้ง และล้างสีออกด้วยน้ำประปาเบา ๆ แล้วหยอดสารละลาย iodine ให้ท่วมสไลด์ ตั้งไว้นาน 1 นาที เทสารละลาย iodine ทิ้ง และล้างด้วยน้ำประปาเบา ๆ ล้างสี crystal violet ออกด้วย acetone alcohol (ethylalcohol + acetone) ประมาณ 5-10 วินาที และล้างด้วยน้ำประปาเบา ๆ ข้อมหันด้วยสี safranin นาน 1 นาที และล้างด้วยน้ำประปาเบา ๆ อีกครั้ง ผึ่งสไลด์ให้แห้งแล้วดูด้วยกล้องจุลทรรศน์กำลังขยายสูงสุด โดยทำการศึกษารูปร่างและการติดสีแกรมของแบนค์ที่เรีย

##### 4.2 การจัดจำแนกแบนค์ที่เรียโดยใช้การหาลำดับเบสของดีเอ็นเอ ในส่วนของยีน 16S rRNA

###### 4.2.1 การสกัดดีเอ็นเอของแบนค์ที่เรีย

ทำการเพาะเดี้ยงแบนค์ที่เรียที่ต้องการทดสอบในอาหารเหลวสูตร MRS ปริมาตร 5 มิลลิลิตร ที่บรรจุในหลอดขนาด 16 x 150 มิลลิลิตร นำไปปั่นที่นำไปปั่นที่อุณหภูมิ 37 องศาเซลเซียส เป็นเวลา 24 ชั่วโมง จากนั้นนำอาหารเหลวสูตร MRS ที่มีแบนค์ที่เรียเจริญไปปั่นให้วิ่งที่ความเร็วรอบ 10,000 รอบ/นาที เป็นเวลา 2 นาที เทส่วนใสทิ้งไป แล้วนำตะกอนของแบนค์ที่เรียที่ได้มาทำการสกัดดีเอ็นเอโดยใช้ชุดสกัดดีเอ็นเอสำหรู่ (Mobio DNA extraction kit) ตามขั้นตอนดังนี้ เติม bead solution ปริมาตร 300 ไมโครลิตร นำไปเขย่าแรง ๆ (vortex) เป็นเวลา 5-10 วินาที ขยะสารละลายนี้ใส่ลงใน bead ปริมาตร 300 ไมโครลิตร เติม MD1 solution ปริมาตร 50 ไมโครลิตร แล้วเขย่าแรง ๆ (vortex) เป็นเวลา 10 นาที นำไปปั่นให้วิ่งที่ความเร็วรอบ 10,000

รอบ/นาที เป็นเวลา 5 นาที ข่ายส่วนใส่ด้านบนปริมาตร 350 ไมโครลิตร ใส่ลงในหลอด microcentrifuge หลอดใหม่ เติม MD2 solution ปริมาตร 100 ไมโครลิตร แล้วเขย่าแรง ๆ (vortex) เป็นเวลา 5-10 วินาที นำไปแช่ที่อุณหภูมิ 4 องศาเซลเซียส เป็นเวลา 5 นาที จากนั้นนำไปปั่นเหวี่งที่ความเร็วรอบ 10,000 รอบ/นาที เป็นเวลา 5-10 นาที นาที ข่ายส่วนใส่ด้านบนปริมาตร 450 ไมโครลิตร ใส่ลงในหลอด microcentrifuge หลอดใหม่ ขนาด 2 มิลลิลิตร เติม MD3 solution ปริมาตร 900 ไมโครลิตร แล้วเขย่าแรง ๆ (vortex) เป็นเวลา 5-10 วินาที คุกส่วนใส่ด้านบนปริมาตร 675 ไมโครลิตร ใส่ลงในหลอด filter นำไปปั่นเหวี่งที่ความเร็วรอบ 10,000 รอบ/นาที เป็นเวลา 2 นาที เทส่วนใส่พิ้ง เติม MD4 solution ปริมาตร 300 ไมโครลิตร นำไปปั่นเหวี่งที่ความเร็วรอบ 10,000 รอบ/นาที เป็นเวลา 2 นาที เทส่วนใส่ด้านบนที่นำไป ข่าย filter ใส่ลงในหลอดใหม่ จากนั้นเติม MD5 solution ปริมาตร 50 ไมโครลิตร และนำไปเพิ่มปริมาณยืน 16S rRNA ต่อไป

#### 4.2.2 การเพิ่มปริมาณยืน 16S rRNA โดยวิธี Polymerase chain reaction (PCR)

นำเดอีนของแบนคทีเรียที่สักด้ได้มาทำการเพิ่มปริมาณยืนในส่วนของ 16S rRNA โดยในขั้นตอนนี้จะใช้ universal primer คือ 27F (forward primer) ซึ่งมีลำดับเบสดังนี้ 5'-AGAGTTGATCMTGGCTCAG-3' และ 520R (reverse primer) ซึ่งมีลำดับเบสดังนี้ 5'-ACCGCGGCKGCTGGC-3' (Operon, Germany) เพื่อเพิ่มปริมาณยืน 16S rRNA ที่ลำดับเบสในตำแหน่ง V<sub>1</sub>-V<sub>4</sub> ซึ่งมีลำดับเบสประมาณ 500 คู่เบส โดย primer ทั้งสองนี้มีลำดับเบสตรงกับบริเวณอนุรักษ์ของยืน 16S rRNA ทำการเตรียมปฏิกริยาสำหรับการทำ PCR โดยให้มีปริมาตรเท่ากับ 50 ไมโครลิตร ซึ่งในแต่ละปฏิกริยาประกอบด้วย

|                                                                                                                                         |                      |
|-----------------------------------------------------------------------------------------------------------------------------------------|----------------------|
| Master mix                                                                                                                              | ปริมาตร 25 ไมโครลิตร |
| 27F primer (ความเข้มข้น 10 พิโภโนลาร์)                                                                                                  | ปริมาตร 2 ไมโครลิตร  |
| 520R primer (ความเข้มข้น 10 พิโภโนลาร์)                                                                                                 | ปริมาตร 2 ไมโครลิตร  |
| Genomic DNA (ความเข้มข้น 20 นาโนกรัมต่อไมโครลิตร)                                                                                       | ปริมาตร 4 ไมโครลิตร  |
| น้ำกลั่นปลอกเชื้อ                                                                                                                       | ปริมาตร 17 ไมโครลิตร |
| ผสมส่วนประกอบต่าง ๆ ให้เข้ากัน จากนั้นนำไปเพิ่มปริมาณยืน 16S rRNA โดยใช้เครื่อง PCR Sprint Thermal Cycler โดยกำหนดโปรแกรมการทำงานดังนี้ |                      |

|                       |                 |                 |
|-----------------------|-----------------|-----------------|
| Initial denatureation | 94 องศาเซลเซียส | เป็นเวลา 5 นาที |
| Denaturation          | 94 องศาเซลเซียส | เป็นเวลา 1 นาที |
| Annealing             | 55 องศาเซลเซียส | เป็นเวลา 1 นาที |
| Extension             | 72 องศาเซลเซียส | เป็นเวลา 1 นาที |
| Terminating           | 72 องศาเซลเซียส | เป็นเวลา 5 นาที |
| Hold                  | 4 องศาเซลเซียส  | จนกว่าจะใช้     |

จากนั้นนำ PCR product ที่ได้มาตรวจสอบขนาดของ DNA ภายใต้สี熒ฟ้าผ่านตัวกล่องชนิดวุ่น (agarose gel electrophoresis) ตามขั้นตอนดังนี้คือ เตรียม agarose gel ความเข้มข้น 1.5 เปอร์เซ็นต์ (w/v) นำไปหลอมให้ละลาย และนำเจลที่ได้มามาเทใน apparatus รอให้เจลแข็งตัว และนำเจลไปวางในเครื่อง run gel เท 1X TAE buffer ลงไปให้ท่วมเจล เตรียมตัวอย่างดีอีกครั้งนึงคือ ใช้ DNA marker ปริมาตร 1 ไมโครลิตร ผสมกับน้ำกลั่นปีกอดเชือ ปริมาตร 4 ไมโครลิตร และ loading dye ปริมาตร 2 ไมโครลิตร ปิดฝาเครื่องและตั้งค่ากระแสไฟฟ้า 100 โวลต์ เป็นเวลา 20 นาที เมื่อเสร็จแล้วนำเจลไปขึ้นด้วยเอธิเดียมไบร์มิด (EtBr) เป็นเวลา 10 นาที ล้างด้วยน้ำกลั่นนาน 10 นาที จากนั้นนำเจลไปส่องคุณภาพดีอีกครั้งหนึ่งโดยเครื่อง Transluminator

#### 4.2.3 การทำ PCR product ให้บริสุทธิ์

โดยใช้ชุด TaKaRa SUPREC™-PCR ตามขั้นตอนดังนี้ ปีเปต PCR product มาปริมาตร 50 ไมโครลิตร และ TE buffer (pH 7.5) ปริมาตร 400 ไมโครลิตร ใส่ลงไปในคอลัมน์ นำคอลัมน์ใส่ลงในหลอด microcentrifuge tube และนำไปปั่นให้วิ่งที่ความเร็วรอบ 10,000 รอบต่อนาที เป็นเวลา 20 นาที นำของเหลวที่อยู่ในหลอด microcentrifuge tube ทิ้ง แล้วเติม TE buffer (pH 7.5) ปริมาตร 20 ไมโครลิตร ลงในคอลัมน์ ดูดขึ้นลงและซูบนริเวณเข็มกรองในคอลัมน์ให้หลุดออกมากกว่าคอลัมน์ลงในหลอด centrifuge อันใหม่ แล้วนำไปปั่นให้วิ่งที่ความเร็วรอบ 10,000 รอบต่อนาที เป็นเวลา 5 นาที ซึ่งจะได้ PCR product บริสุทธิ์ ปริมาตร 20 ไมโครลิตร เพื่อไปทำการลำดับเบสของยีนในส่วน 16S rRNA โดยบริษัท Frist Base Laboratories Company ประเทศไทย เสีย นำลำดับเบสที่ได้ไปเทียบความคล้ายกับฐานข้อมูลใน GenBank โดยใช้โปรแกรม BLAST ของ the national Center for Biotechnology Information; NCBI) (<http://www.ncbi.nlm.nih.gov/>) ซึ่งจะทำให้ทราบ genus และ species ของแบคทีเรียได้

### 5. การวิเคราะห์ข้อมูลทางสถิติ

นำข้อมูลที่เก็บรวบรวมได้มาวิเคราะห์ความแตกต่างทางสถิติ Analysis of Variance (ANOVA) และวิเคราะห์ความแตกต่างระหว่างค่าเฉลี่ยของแต่ละกลุ่ม โดยวิธี Duncan'multiple range test

## บทที่ 4

### ผลและวิจารณ์ผลการทดลอง

#### 1. การคัดแยกแบคทีเรียจากตัวอย่างมูลของเด็กทารกและน้ำนมหมัก

จากการแยกแบคทีเรียจากตัวอย่างมูลของเด็กทารก ซึ่งเก็บตัวอย่างจากในจังหวัด เชียงใหม่ จำนวน 17 ตัวอย่าง สามารถแยกแบคทีเรียกรดแลกติกได้จำนวน 82 ไอโซเลต ส่วนการแยกแบคทีเรียจากน้ำนมจากฟาร์มโคนมในจังหวัดเชียงใหม่จำนวน 4 ตัวอย่าง และน้ำนมที่ผ่านการต้มแล้วจากร้านขายนมสดในจังหวัดเชียงใหม่ จำนวน 3 ตัวอย่าง สามารถแยกแบคทีเรียกรดแลกติกได้จำนวน 55 ไอโซเลต ดังนั้นได้แบคทีเรียทั้งหมด 137 ไอโซเลต

#### 2. การคัดเลือกและทดสอบแบคทีเรียที่มีคุณสมบัติเป็นโปรดไบโอติก

##### 2.1 การศึกษาลักษณะทางสัณฐานวิทยา (Morphological characteristics) ของแบคทีเรีย

จากการศึกษาลักษณะทางสัณฐานวิทยา (Morphological characteristics) ของแบคทีเรีย โดยการข้อมสีแบบแกรม (Gram's staining) พบว่าแบคทีเรียที่แยกได้จากมูลเด็กทารก แบ่งเป็นแบคทีเรียแกรมบวกครูปกลม จำนวน 77 ไอโซเลต และแบคทีเรียแกรมบวกครูปท่อน จำนวน 5 ไอโซเลต การแยกแบคทีเรียจากน้ำนมจากฟาร์มโคนม ได้เป็นแบคทีเรียแกรมบวกครูปท่อน จำนวน 5 ไอโซเลต และแบคทีเรียแกรมบวกครูปกลม จำนวน 33 ไอโซเลต ส่วนการแยกแบคทีเรียจากร้านขายนมสด ได้เป็น แบคทีเรียแกรมบวกครูปท่อน จำนวน 8 ไอโซเลต และแบคทีเรียแกรมบวกครูปกลม จำนวน 9 ไอโซเลต สรุปได้ดังตาราง 3

### ตาราง 3 รูปร่างและจำนวนของเชื้อแบคทีเรียที่แยกได้จากแหล่งต่าง ๆ

| แหล่งตัวอย่าง                               | จำนวน | แกรมบวก  |      |     |
|---------------------------------------------|-------|----------|------|-----|
|                                             |       | ตัวอย่าง | ท่อน | กลม |
| มูลเด็กทารก จากโรงพยาบาล ในจังหวัดเชียงใหม่ | 17    | 5        | 77   | 82  |
| น้ำนมดิบ จากฟาร์มโคนม ในจังหวัดเชียงใหม่    | 4     | 5        | 33   | 38  |
| น้ำนม จากร้านขายนมสด ในจังหวัดเชียงใหม่     | 3     | 8        | 9    | 17  |
| รวม                                         | 24    | 18       | 119  | 137 |

#### 2.2 คุณสมบัติของแบคทีเรียที่มีต่อการขับยับเชื้อก่อโรค

จากการศึกษาคุณสมบัติของแบคทีเรียที่มีต่อการขับยับเชื้อก่อโรค 8 สายพันธุ์คือ *Bacillus cereus*, *Escherichia coli*, *Helicobacter pylori*, *Listeria monocytogenes*, *Salmonella enteritidis*, *Salmonella typhimurium*, *Staphylococcus aureus* และ *Vibrio cholera* โดยวิธี well diffusion assay พบร่วมแบคทีเรียทั้งหมด 20 ไอโซเลต จาก 137 ไอโซเลต ที่สามารถขับยับ เชื้อก่อโรคได้ทั้ง 8 สายพันธุ์ ซึ่งเป็นแบคทีเรียที่แยกได้จากตัวอย่างอุจจาระเด็กทารก 15 ไอโซเลต คือ MC31, MC32, MC41, MC51, MC52, MC53, MC71, MC101, MC102, MC111, MC112, MC116, MC118, MC157 และ MC158 นอกจากนั้นเป็นแบคทีเรียที่แยกได้จากตัวอย่างน้ำนมหมัก 5 ไอโซเลต คือ RM11, RM12, RM24, RM28, และ RM34

จากการทดลองพบว่าแบคทีเรียไอโซเลต MC52 ให้บริเวณการขับยับเชื้อ *Bacillus cereus* สูงสุดคือ 15.67 มิลลิเมตร แบคทีเรียไอโซเลต MC51 ให้บริเวณการขับยับเชื้อ *Escherichia coli* สูงสุดคือ 21.67 มิลลิเมตร แบคทีเรียไอโซเลต MC52 ให้บริเวณการขับยับเชื้อ *Helicobacter pylori* สูงสุดคือ 18.33 มิลลิเมตร แบคทีเรียไอโซเลต MC52 และ MC53 ให้บริเวณ การขับยับเชื้อ *Listeria monocytogenes* สูงสุดคือ 16.67 มิลลิเมตร แบคทีเรียไอโซเลต MC52 ให้ บริเวณการขับยับเชื้อ *Staphylococcus aureus* สูงสุดคือ 24.67 มิลลิเมตร แบคทีเรียไอโซเลต MC52 และ MC53 ให้บริเวณการขับยับเชื้อ *Salmonella enteritidis* สูงสุดคือ 16.67 มิลลิเมตร แบคทีเรียไอ-

ไซเลต MC52 ให้บริเวณการขับยังเชื้อ *Salmonella typhimurium* สูงสุดคือ 24.00 มิลลิเมตร และแบคทีเรียไอโซเลต MC157 ให้บริเวณการขับยังเชื้อ *Vibrio cholera* สูงสุดคือ 23.33 มิลลิเมตร ดังแสดงตาราง 4 ซึ่งในการทดลองนี้เป็นการศึกษาประสิทธิภาพของแบคทีเรียในการขับยังเชื้อก่อโรคสายพันธุ์ต่าง ๆ ที่ก่อโรคในระบบทางเดินอาหาร เช่น โรคท้องร่วง โรคอาหารเป็นพิษ และลำไส้อักเสบ รวมไปถึง โรคมะเร็งกระเพาะอาหารและมะเร็งลำไส้ การเกิดโรคมะเร็งลำไส้ส่วนหนึ่งมีสาเหตุมาจากการเปลี่ยนแปลงจำนวนจุลินทรีย์ในลำไส้ โดยหากในลำไส้มีเชื้อก่อโรคที่สามารถผลิต carcinogen, co-carcinogen และ pro-carcinogen ได้เป็นจำนวนมากจะส่งผลให้มีสารก่อมะเร็งในร่างกายมากขึ้น จนก่อให้เกิดโรคมะเร็งลำไส้ในที่สุด (Drasar and Hill, 1974) มีรายงานว่า bifidobacteria ในลำไส้มีประสิทธิภาพในการขับยังในการเริญของ *E.coli* และ *clostridium* จากการทำให้สภาวะในลำไส้มีค่าความเป็นกรดค่อนข้างลดลง ซึ่งทำให้ลดการผลิตสารก่อมะเร็ง (carcinogen) จากเชื้อก่อโรคพวกน้ำได้ (Kulkarni and Reddy, 1994) Klingberk et al. (2005) ได้ศึกษาคุณสมบัติในการขับยังเชื้อก่อโรคของปโตรไบโอติกที่แยกได้จากไส้กรอกหมัก Scandinavian พบว่ามีแบคทีเรีย 6 สายพันธุ์ที่สามารถขับยังเชื้อก่อโรคในระบบทางเดินอาหาร ได้คือ *Escherichia coli*, *Bacillus cereus*, *Shigella flexneri*, *Yersenia enterocolitica*, *Salmonella typhimurium*, *Listeria monocytogenes* และ Jacobsen et al. (1999) รายงานว่าได้ทำการคัดเลือก *Lactobacillus* 47 สายพันธุ์ ที่มีคุณสมบัติเป็นปโตรไบโอติก โดยใช้ความสามารถในการขับยังเชื้อก่อโรคเป็นขั้นตอนหนึ่งในการคัดเลือก พบว่า *Lactobacillus* DSM 1244 ให้ผลดีที่สุดคือสามารถขับยังเชื้อก่อโรคได้ 7 สายพันธุ์ คือ *Listeria monocytogenes*, *Staphylococcus aureus*, *Bacillus cereus*, *Escherichia coli*, *Salmonella typhimurium*, *Shigella flexneri*, *Yersenia enterocolitica* โดยให้บริเวณขับยังที่มากกว่า 5 มิลลิเมตร

ตาราง 4 ปริมาณพหุของแบคทีเรียที่แยกได้ต่อการยับยั้งชั่วคราวของโพรทีมิคาวาสำหรับงานเดินทาง 8 สายพันธุ์ (Mean  $\pm$  SE, n = 3)

| หมายเลข | ปริมาณบีบีซี (มิติเมตร) |                |                       |                       |                  |                  |                         |                   |
|---------|-------------------------|----------------|-----------------------|-----------------------|------------------|------------------|-------------------------|-------------------|
|         | <i>H. pylori</i>        | <i>E. coli</i> | <i>S. typhimurium</i> | <i>S. enteritidis</i> | <i>S. aureus</i> | <i>B. cereus</i> | <i>L. monocytogenes</i> | <i>V. cholera</i> |
| MC31    | 14.7 $\pm$ 0.9          | 14.3 $\pm$ 0.3 | 12.0 $\pm$ 0.6        | 14.3 $\pm$ 0.3        | 23.3 $\pm$ 0.9   | 18.3 $\pm$ 1.2   | 20.0 $\pm$ 0.6          | 19.7 $\pm$ 0.9    |
| MC32    | 14.7 $\pm$ 0.3          | 14.0 $\pm$ 1.0 | 11.0 $\pm$ 0.0        | 14.0 $\pm$ 0.6        | 20.3 $\pm$ 1.5   | 16.3 $\pm$ 1.5   | 19.3 $\pm$ 2.7          | 22.0 $\pm$ 1.5    |
| MC41    | 14.0 $\pm$ 1.0          | 13.7 $\pm$ 0.3 | 10.7 $\pm$ 0.3        | 14.0 $\pm$ 0.6        | 22.0 $\pm$ 0.6   | 17.0 $\pm$ 1.0   | 20.3 $\pm$ 4.2          | 22.7 $\pm$ 1.5    |
| MC51    | 13.3 $\pm$ 0.3          | 21.7 $\pm$ 1.7 | 11.0 $\pm$ 0.6        | 13.0 $\pm$ 0.6        | 22.3 $\pm$ 1.2   | 19.7 $\pm$ 0.3   | 19.7 $\pm$ 2.7          | 21.0 $\pm$ 4.0    |
| MC52    | 15.7 $\pm$ 0.3          | 18.7 $\pm$ 0.3 | 18.3 $\pm$ 0.3        | 16.7 $\pm$ 0.3        | 24.7 $\pm$ 0.3   | 20.3 $\pm$ 0.3   | 24.0 $\pm$ 0.6          | 19.3 $\pm$ 0.3    |
| MC53    | 15.0 $\pm$ 0.6          | 19.0 $\pm$ 0.6 | 18.0 $\pm$ 0.6        | 16.7 $\pm$ 0.3        | 23.7 $\pm$ 0.3   | 20.0 $\pm$ 0.6   | 22.7 $\pm$ 0.3          | 19.7 $\pm$ 0.3    |
| MC71    | 15.00 $\pm$ 0.0         | 14.0 $\pm$ 0.6 | 10.7 $\pm$ 0.3        | 13.0 $\pm$ 0.6        | 21.0 $\pm$ 1.0   | 17.7 $\pm$ 1.5   | 20.3 $\pm$ 0.9          | 23.0 $\pm$ 0.6    |
| MC101   | 13.7 $\pm$ 0.9          | 18.0 $\pm$ 1.0 | 15.0 $\pm$ 0.0        | 11.7 $\pm$ 0.3        | 21.7 $\pm$ 0.9   | 17.7 $\pm$ 0.3   | 23.3 $\pm$ 0.9          | 20.7 $\pm$ 1.2    |
| MC102   | 12.0 $\pm$ 0.6          | 21.0 $\pm$ 2.1 | 11.0 $\pm$ 0.6        | 12.3 $\pm$ 0.3        | 23.3 $\pm$ 0.9   | 22.0 $\pm$ 0.6   | 24.3 $\pm$ 0.7          | 18.7 $\pm$ 3.2    |
| MC111   | 11.7 $\pm$ 0.3          | 18.0 $\pm$ 0.0 | 11.0 $\pm$ 0.0        | 14.7 $\pm$ 1.2        | 23.7 $\pm$ 0.9   | 16.7 $\pm$ 0.7   | 15.0 $\pm$ 0.0          | 22.3 $\pm$ 0.3    |
| MC112   | 13.0 $\pm$ 0.0          | 13.3 $\pm$ 0.3 | 11.3 $\pm$ 0.3        | 12.7 $\pm$ 0.3        | 21.3 $\pm$ 1.2   | 17.3 $\pm$ 1.2   | 17.0 $\pm$ 2.1          | 18.3 $\pm$ 0.9    |
| MC116   | 13.0 $\pm$ 0.0          | 21.0 $\pm$ 2.1 | 11.0 $\pm$ 0.0        | 11.7 $\pm$ 0.3        | 19.0 $\pm$ 0.6   | 19.0 $\pm$ 1.0   | 11.7 $\pm$ 0.3          | 18.3 $\pm$ 2.4    |

ตาราง 4 ปริมาณพาร์เซนต์ของแบคทีเรียที่ตรวจพบในอาหาร 8 รายการ สำหรับการศึกษาเชิงทดลอง ในการทดสอบความต้านทานของเชื้อไวรัสโคโรนาไวรัสต่อการฆ่าเชื้อโดยใช้ยาฆ่าเชื้อไวรัส (Mean  $\pm$  SE, n = 3) (ต่อ)

| แบบที่รีบ | ปริมาณเชื้อ (มิติตั้งตระ) |                |                       |                       |                  |                  |                         |                   |
|-----------|---------------------------|----------------|-----------------------|-----------------------|------------------|------------------|-------------------------|-------------------|
|           | <i>H. pylori</i>          | <i>E. coli</i> | <i>S. typhimurium</i> | <i>S. enteritidis</i> | <i>S. aureus</i> | <i>B. cereus</i> | <i>L. monocytogenes</i> | <i>V. cholera</i> |
| MC118     | 13.0 $\pm$ 0.6            | 14.0 $\pm$ 1.0 | 11.0 $\pm$ 0.6        | 12.0 $\pm$ 0.0        | 20.67 $\pm$ 1.3  | 14.00 $\pm$ 0.6  | 12.0 $\pm$ 0.0          | 20.3 $\pm$ 3.7    |
| MC157     | 12.3 $\pm$ 0.3            | 20.7 $\pm$ 2.3 | 14.7 $\pm$ 0.3        | 16.0 $\pm$ 1.5        | 21.67 $\pm$ 0.9  | 19.00 $\pm$ 0.6  | 16.0 $\pm$ 1.5          | 23.3 $\pm$ 0.7    |
| MC158     | 12.3 $\pm$ 0.9            | 16.3 $\pm$ 1.2 | 11.7 $\pm$ 0.3        | 11.7 $\pm$ 0.3        | 21.00 $\pm$ 0.6  | 14.67 $\pm$ 0.3  | 11.7 $\pm$ 0.3          | 16.3 $\pm$ 2.0    |
| RM11      | 11.7 $\pm$ 0.3            | 11.0 $\pm$ 0.0 | 11.7 $\pm$ 0.3        | 12.0 $\pm$ 0.6        | 17.67 $\pm$ 0.3  | 14.33 $\pm$ 0.3  | 1.7 $\pm$ 0.7           | 12.7 $\pm$ 0.3    |
| RM12      | 14.3 $\pm$ 0.7            | 13.7 $\pm$ 0.3 | 14.7 $\pm$ 0.3        | 13.0 $\pm$ 0.6        | 16.00 $\pm$ 1.0  | 14.33 $\pm$ 0.3  | 14.7 $\pm$ 0.3          | 13.7 $\pm$ 0.7    |
| RM24      | 11.7 $\pm$ 0.3            | 15.0 $\pm$ 0.0 | 15.3 $\pm$ 0.3        | 12.0 $\pm$ 0.6        | 15.67 $\pm$ 0.7  | 14.33 $\pm$ 0.3  | 13.7 $\pm$ 0.9          | 12.7 $\pm$ 0.3    |
| RM28      | 14.7 $\pm$ 0.3            | 15.3 $\pm$ 0.7 | 16.3 $\pm$ 0.7        | 13.7 $\pm$ 0.9        | 16.67 $\pm$ 0.3  | 15.33 $\pm$ 0.3  | 18.7 $\pm$ 0.3          | 14.0 $\pm$ 0.6    |
| RM34      | 11.3 $\pm$ 0.3            | 11.3 $\pm$ 0.9 | 12.0 $\pm$ 0.6        | 11.3 $\pm$ 0.3        | 14.67 $\pm$ 0.3  | 13.33 $\pm$ 0.3  | 14.3 $\pm$ 0.7          | 11.3 $\pm$ 0.3    |

ในระบบทางเดินอาหารของคนเรามีจุลินทรีย์หลากหลายสายพันธุ์ซึ่งอาจมีเก็บจะ 100 สายพันธุ์ที่แตกต่างกันจากจำนวนแบคทีเรียทั้งหมดที่เรียกว่าหนดประมาณ  $10^{10}$ - $10^{12}$  cfu/ml (Simon and Gorbach, 1984) จุลินทรีย์เหล่านี้มีทั้งจุลินทรีย์ที่มีประโยชน์กับร่างกายและจุลินทรีย์ที่เป็นเชื้อก่อโรค มีปัจจัยหลายอย่างที่ทำให้สมดุลจุลินทรีย์ในร่างกายไม่มีความเหมาะสม เช่น การบริโภคอาหาร สภาพอากาศ อาชญากรรมด้วยยาปฏิชีวนะ อาการเจ็บป่วย ความเครียด การดำเนินชีวิต ซึ่งปัจจัยต่าง ๆ เหล่านี้อาจนำไปสู่การป่วยเป็นโรคท้องร่วง ลำไส้อักเสบ หรือโรคมะเร็งลำไส้ การปรับสมดุลจุลินทรีย์ในร่างกายนี้เรียกว่า “eubiosis” (Sanderson and Walker, 1993) Chukeatirote, 2003 รายงานว่าหากในร่างกายคนเรามีจำนวนแบคทีเรียที่มีประโยชน์กับร่างกาย เช่น แบคทีเรีย แกรมบวก *Lactobacillus* และ *Bifidobacterium* มากกว่า 85 เปอร์เซ็นต์ จากจำนวนแบคทีเรียทั้งหมด จะส่งผลให้ขัดขวางการก่อโรคของเชื้อก่อโรคได้ ซึ่งกลไกต่าง ๆ อาจประกอบไปด้วย การแก่งแย่งอาหารกับเชื้อก่อโรค การแยกพื้นที่ขึ้นในลำไส้ รวมไปถึงการผลิตสารต่าง ๆ ที่ไปขับขึ้นการเจริญของเชื้อก่อโรคเหล่านี้ การขับขึ้นของแบคทีเรียกลุ่ม LAB ที่มีต่อจุลินทรีย์ส่วนใหญ่เกิดขึ้นเนื่องจากการผลิตไฮโดรเจนเปอร์ออกไซด์ ( $H_2O_2$ ) กรดอินทรีย์ (organic acids) หรือสารแบคเทอโรไอโซซิน (bacteriocin) โดยตัวเซลล์ของ LAB เช่น (Lorca *et al.*, 2001, Silvia and Nakai, 2003)

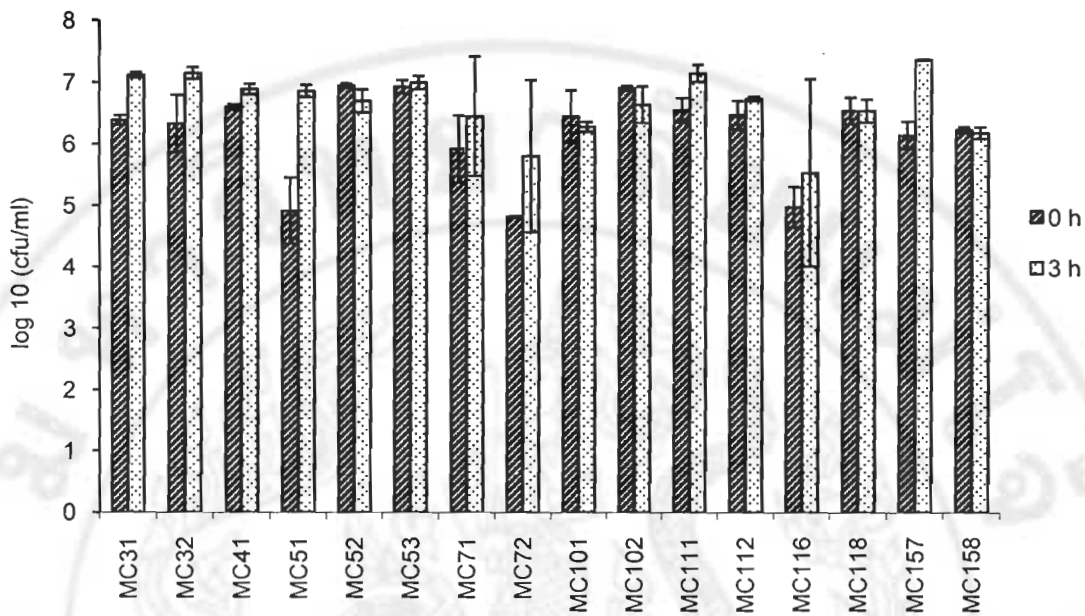
ในกระบวนการหมักโดยแบคทีเรียกลุ่ม LAB จะเกิดการสะสมของกรดอินทรีย์ขึ้น มีผลทำให้ค่าความเป็นกรดค้าง (pH) ลดลง ซึ่งชนิดและระดับของกรดอินทรีย์จะขึ้นอยู่กับสายพันธุ์ จุลินทรีย์ ส่วนประกอบของอาหารเลี้ยงเชื้อ และสภาวะการเจริญเติบโต (Lindgren and Dobrogosz 1990) กรดอินทรีย์ที่เกิดขึ้นแล้วทำให้ค่าความเป็นกรดค้าง (pH) ลดลงนี้จะมีผลไปขับขึ้นการเจริญของเชื้อจุลินทรีย์อื่นที่ไม่สามารถเจริญในสภาวะเป็นกรดได้ เพราะ  $H^+$  อิオนจะซึมผ่านเยื่อหุ้มเซลล์ (cell membrane) เข้าสู่ภายในเซลล์ของเชื้อจุลินทรีย์ทำให้ cytoplasm มีสภาพเป็นกรดสูง (Kashket, 1987) ซึ่งส่งผลให้ electrochemical proton gradient ภายในเซลล์จุลินทรีย์เสียไปด้วย (Smulders *et al.* 1986, Earnshaw 1992) นอกจากกรดอินทรีย์แล้วแบคทีเรียกลุ่ม LAB ยังสามารถผลิตไฮโดรเจนเปอร์ออกไซด์ ( $H_2O_2$ ) ในสภาวะที่มีออกซิเจนได้อีกด้วย โดยเกิดจากการทำงานของเอนไซม์ flavoprotein oxidases หรือ nicotinamide adenine hydroxy dinucleotide (NADH) peroxidase ซึ่งไฮโดรเจนเปอร์ออกไซด์ ( $H_2O_2$ ) ที่เกิดขึ้นนี้จะถูกใช้เป็นสารตั้งต้นในการผลิตอนุมูล

อิสระเช่น superoxide ( $O_2^-$ ) และ hydroxyl ( $OH^-$ ) ซึ่งมีผลไปทำลายดีอีนเอได้ (Byczkowski and Gessner, 1988) แบคทีโรซินเป็นสารอิกตัวหนึ่งที่แบคทีเรียกลุ่ม LAB สามารถผลิตได้และมีผลในการขับย้งการเจริญของแบคทีเรียในกลุ่มเดียวกันหรือใกล้เคียงกันได้ (Vuyst and Vandamme, 1994) โดยแบคทีโรซินนี้จะเป็นสารประกอบเปปไทด์ที่สามารถชั่มผ่านเยื่อหุ้มเซลล์ได้ทำให้เซลล์เสียสมดุลศักย์ไฟฟ้า และเกรเดียนต์ ความเป็นกรดค่าง ซึ่งทำให้ขับย้งการเจริญของเซลล์ (Bruni and Montville 1993, Abee 1995)

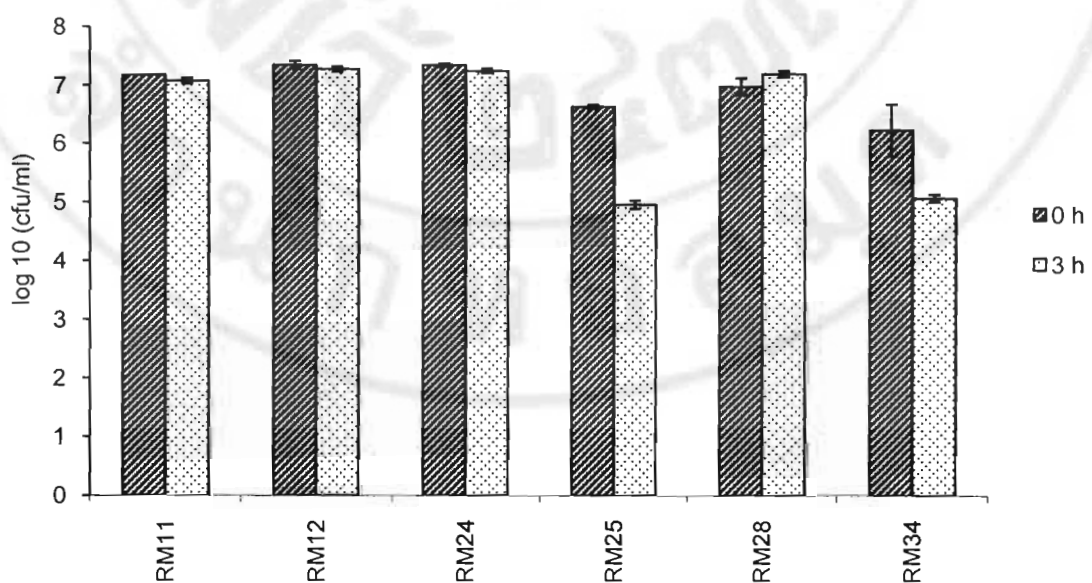
### 2.3 ความสามารถในการทนต่อสภาพความเป็นกรด พื้นที่ 2.5

มีการศึกษามากมายที่ทำการคัดเลือกจุลินทรีย์สายพันธุ์ที่มีความสามารถในการทนกรดจากการทดลองโดยการใช้ phosphate buffer saline (PBS) ที่ทำการปรับค่าความเป็นกรดค่างเพื่อใช้แทนสภาวะที่เกิดขึ้นจริงในกระเพาะอาหาร (Conway *et al.*, 1987; Mayara-Makinen *et al.*, 1983; Goldin *et al.*, 1992; Marteau *et al.*, 1997) ดังนั้นการทดลองนี้ได้นำแบคทีเรียที่สามารถขับย้งเชื้อกรดได้ทุกสายพันธุ์ มาศึกษาความสามารถในการทนทานได้ในสารละลายน้ำ PBS ที่มีค่าความเป็นกรด 2.5 จากผลการทดลองพบว่ามีแบคทีเรียจำนวน 22 ไอโซเลตที่สามารถเจริญได้ในสารละลายน้ำ PBS ที่มีค่าความเป็นกรด 2.5 คือแบคทีเรียจากอุจจาระเด็กจำนวน 15 ไอโซเลต ได้แก่ MC31, MC32, MC41, MC51, MC52, MC53, MC71, MC101, MC102, MC111, MC112, MC116, MC118, MC157, และ MC158 นอกจากนี้เป็นแบคทีเรียจากน้ำนมหมักจำนวน 5 ไอโซเลต ได้แก่ RM11, RM12, RM24, RM28, และ RM34 โดยทุกไอโซเลตมีอัตราการรอดชีวิตในสารละลายน้ำ PBS ที่มีค่าความเป็นกรด 2.5 ได้มากกว่า 70 เปอร์เซ็นต์ แต่ละไอโซเลตมีอัตราการรอดชีวิตเรียงลำดับจากสูงไปต่ำดังนี้คือ ไอโซเลต MC51 มีอัตราการรอดชีวิตสูงสุดคือ 142 เปอร์เซ็นต์ โดยมีจำนวนแบคทีเรียเพิ่มขึ้นจาก 4.9 ไปเป็น 6.9 log cfu/ml รองลงมาได้แก่ ไอโซเลต MC157 มีอัตราการรอดชีวิตคือ 120 เปอร์เซ็นต์ โดยมีจำนวนแบคทีเรียเพิ่มขึ้นจาก 6.1 ไปเป็น 7.4 log cfu/ml ไอโซเลต MC32 มีอัตราการรอดชีวิตคือ 114 เปอร์เซ็นต์ โดยมีจำนวนแบคทีเรียเพิ่มขึ้นจาก 6.3 ไปเป็น 7.2 log cfu/ml ไอโซเลต MC116 มีอัตราการรอดชีวิตคือ 114 เปอร์เซ็นต์ โดยมีจำนวนแบคทีเรียเพิ่มขึ้นจาก 5.0 ไปเป็น 5.5 log cfu/ml ไอโซเลต MC31 มีอัตราการรอดชีวิตคือ 111 เปอร์เซ็นต์ โดยมีจำนวนแบคทีเรียเพิ่มขึ้นจาก 6.4 ไปเป็น 7.1 log cfu/ml ไอโซเลต MC111 มีอัตราการรอดชีวิตคือ

110 เปอร์เซ็นต์ โดยมีจำนวนแบบคที่เรียเพิ่มขึ้นจาก 6.6 ไปเป็น 7.1 log cfu/ml ไอโซเลต MC41 มีอัตราการรอดชีวิตคือ 105 เปอร์เซ็นต์ โดยมีจำนวนแบบคที่เรียเพิ่มขึ้นจาก 6.6 ไปเป็น 6.9 log cfu/ml ไอโซเลต MC71 มีอัตราการรอดชีวิตคือ 109 เปอร์เซ็นต์ โดยมีจำนวนแบบคที่เรียเพิ่มขึ้นจาก 5.9 ไปเป็น 6.5 log cfu/ml ไอโซเลต MC112 มีอัตราการรอดชีวิตคือ 104 เปอร์เซ็นต์ โดยมีจำนวนแบบคที่เรียเพิ่มขึ้นจาก 6.5 ไปเป็น 6.7 log cfu/ml, ไอโซเลต RM28 มีอัตราการรอดชีวิตคือ 101 เปอร์เซ็นต์ โดยมีจำนวนแบบคที่เรียเพิ่มขึ้นจาก 7.0 ไปเป็น 7.2 log cfu/ml ไอโซเลต MC53 มีอัตราการรอดชีวิตคือ 101 เปอร์เซ็นต์ โดยมีจำนวนแบบคที่เรียเพิ่มขึ้นจาก 7.0 ไปเป็น 7.0 log cfu/ml ไอโซเลต MC118 มีอัตราการรอดชีวิตคือ 100 เปอร์เซ็นต์ โดยมีจำนวนแบบคที่เรียเพิ่มขึ้นจาก 6.5 ไปเป็น 6.6 log cfu/ml ไอโซเลต RM12 มีอัตราการรอดชีวิตคือ 99.1 เปอร์เซ็นต์ โดยมีจำนวนแบบคที่เรียลดลงจาก 7.4 ไปเป็น 7.3 log cfu/ml ไอโซเลต RM11 มีอัตราการรอดชีวิตคือ 99 เปอร์เซ็นต์ โดยมีจำนวนแบบคที่เรียลดลงจาก 7.2 ไปเป็น 7.1 log cfu/ml ไอโซเลต MC158 มีอัตราการรอดชีวิตคือ 99 เปอร์เซ็นต์ โดยมีจำนวนแบบคที่เรียลดลงจาก 6.2 ไปเป็น 6.2 log cfu/ml ไอโซเลต RM24 มีอัตราการรอดชีวิตคือ 99 เปอร์เซ็นต์ โดยมีจำนวนแบบคที่เรียลดลงจาก 7.4 ไปเป็น 7.3 log cfu/ml ไอโซเลต MC101 มีอัตราการรอดชีวิตคือ 99 เปอร์เซ็นต์ โดยมีจำนวนแบบคที่เรียลดลงจาก 6.5 ไปเป็น 6.3 log cfu/ml ไอโซเลต MC52 มีอัตราการรอดชีวิตคือ 97 เปอร์เซ็นต์ โดยมีจำนวนแบบคที่เรียลดลงจาก 7.0 ไปเป็น 6.7 log cfu/ml ไอโซเลต MC102 มีอัตราการรอดชีวิตคือ 97 เปอร์เซ็นต์ โดยมีจำนวนแบบคที่เรียลดลงจาก 7.0 ไปเป็น 6.6 log cfu/ml และแบบคที่เรียที่มีอัตราการรอดชีวิตต่ำที่สุดได้แก่ ไอโซเลต RM34 มีอัตราการรอดชีวิตคือ 82 เปอร์เซ็นต์ โดยมีจำนวนแบบคที่เรียลดลงจาก 6.2 ไปเป็น 5.1 log cfu/ml ดังแสดงภาพ 3 และ 4



ภาพ 3 จำนวนเชลล์ของแบคทีเรีย (แยกได้จากมูลเด็กทารก) ที่รอดชีวิตในสารละลายฟอสเฟตบัฟเฟอร์ที่มีความเป็นกรด pH 2.5 ที่ 0 ชั่วโมง และที่ 3 ชั่วโมง (Mean  $\pm$  SE, n = 3)



ภาพ 4 จำนวนเชลล์ของแบคทีเรีย (แยกได้จากน้ำนมหมื่น) ที่รอดชีวิตในสารละลายฟอสเฟตบัฟเฟอร์ที่มีความเป็นกรด pH 2.5 ที่ 0 ชั่วโมง และที่ 3 ชั่วโมง (Mean  $\pm$  SE, n = 3)

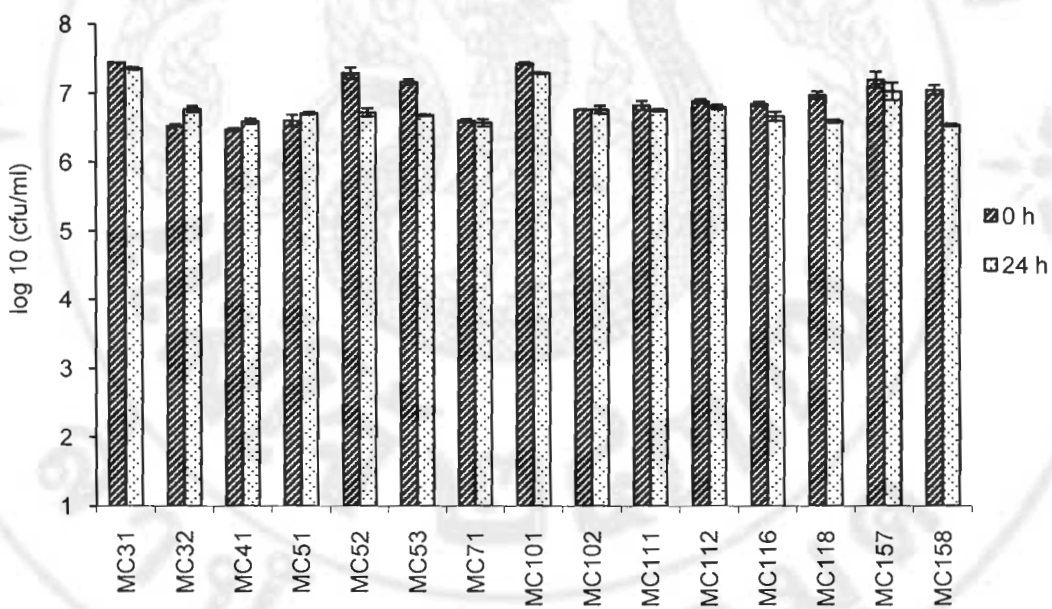
คุณสมบัติการทนกรดเป็นปัจจัยสำคัญในการคัดเลือกจุลินทรีย์ที่มีคุณสมบัติเป็นโปรดไนโอดิก เนื่องจากคุณสมบัตินี้จะสามารถทำให้เราชนะใจได้ว่าจุลินทรีย์โปรดไนโอดิกของเรามีชีวิตродผ่านไปจนถึงกระเพาะอาหารได้ (Prasad *et al.*, 1998; Park *et al.*, 2002) ซึ่งภายในกระเพาะอาหารมีค่าความเป็นกรดอยู่ระหว่าง 2.5-3.5 (Holzapfel *et al.*, 1998) การที่กระเพาะอาหารมีค่าความเป็นกรดเนื่องจากมีการสร้างกรดไฮโดรคลอริก (กรดเกลือ) เพื่อให้เกิดสภาวะที่เหมาะสมสำหรับการทำงานของเอนไซม์ペปซิน ซึ่งเมื่อเรารับประทานอาหารเข้าไป อาหารจะสามารถดูดซึ่งในกระเพาะอาหารประมาณ 3-4 ชั่วโมง จุลินทรีย์ก่อโรคที่ปนเปื้อนในอาหารที่เข้าสู่ร่างกายและไม่สามารถทนอยู่ในสภาวะเป็นกรดได้จะถูกทำลายเพื่อป้องกันการบุกรุกของเชื้อก่อโรค (Zhu *et al.*, 2006) เมื่อเรารับประทานอาหารเข้าไปจะทำให้ค่าความเป็นกรดต่างในกระเพาะอาหารสูงขึ้นอยู่ที่ประมาณ 3.0-4.5 แบคทีเรียที่ปนเปื้อนเข้าไปด้วยจะปกป้องตัวเองจากสภาวะความเป็นกรดโดยจะจับกับองค์ประกอบในอาหาร (Rosina, 1982) การทนในสภาวะเป็นกรดของแบคทีเรียเกี่ยวข้องกับความสามารถในการปรับระดับกรดหรือต่างให้อยู่ในสภาวะที่เหมาะสม (buffering capacity) ภายในเซลล์ของแบคทีเรียและการเพิ่มประสิทธิภาพการผลิตโปรตีนเมมเบรน (membrane protein) (Booth, 1985) Pennachai *et al.* (2003) รายงานว่า *Lactobacillus* 28 ไอโซเลตที่แยกได้จากไส้กรอกหมักจำนวน 10 ตัวอย่าง มีความสามารถในการรอดชีวิตมากกว่า 80 เปอร์เซ็นต์เมื่อทำการบ่มในสารละลายน้ำ PBS ที่มีค่าความเป็นกรด 2.5 นาน 3 ชั่วโมง โดยเฉพาะอย่างยิ่งมี *Lactobacillus* 14 ไอโซเลตที่มีความสามารถในการรอดชีวิตมากกว่า 100 เปอร์เซ็นต์ ซึ่งอยู่ในกลุ่มของ *Lactobacillus plantarum* และ *Lactobacillus casei* Strompfova *et al.* (2004) รายงานว่าจุลินทรีย์สายพันธุ์ *enterococci* 7 สายพันธุ์ มีความสามารถในการรอดชีวิตในสภาวะเป็นกรด พีเอชเท่ากับ 3 เป็นเวลา 3 ชั่วโมง โดยเปอร์เซ็นต์การรอดชีวิตอยู่ระหว่าง 76-87 เปอร์เซ็นต์

#### 2.4 ความสามารถในการทนต่อเกลือน้ำดีความเข้มข้น 0.3 เปอร์เซ็นต์

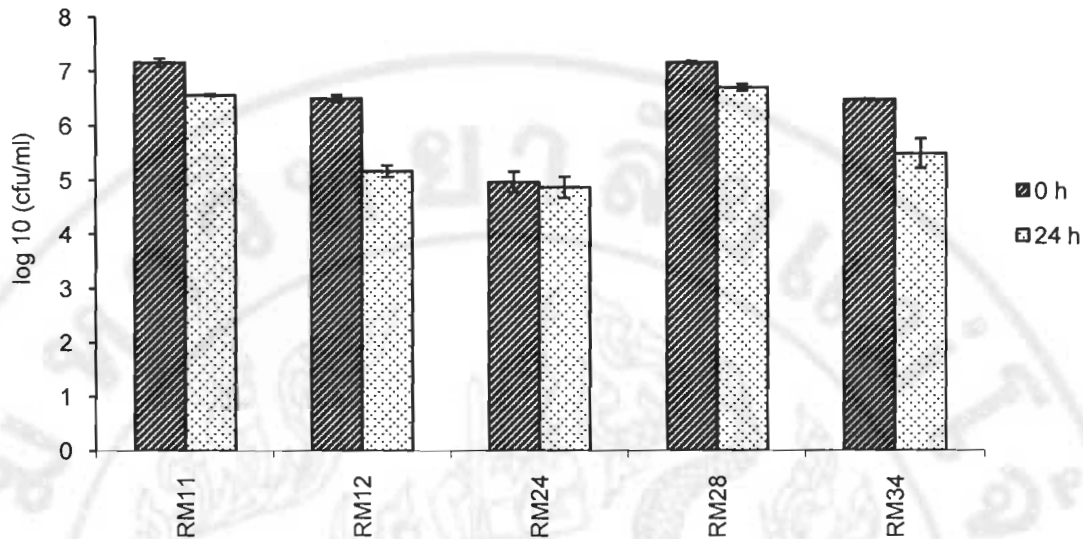
ในการศึกษาและคัดเลือกแบคทีเรียที่มีความสามารถในการทนทานต่อเกลือน้ำดีได้สามารถใช้ความเข้มข้นของเกลือน้ำดีประมาณ 0.3 เปอร์เซ็นต์ (w/v) เพื่อจำลองสภาวะในลำไส้ได้ (Gilliland *et al.*, 1984) ซึ่งการทนทานต่อเกลือน้ำดีเป็นปัจจัยหนึ่งในการคัดเลือกจุลินทรีย์ที่มีคุณสมบัติเป็นโปรดไนโอดิก เนื่องจากคุณสมบัตินี้จะทำให้จุลินทรีย์สามารถรอดชีวิตภายในลำไส้

เล็กໄได (Coppola *et al.*, 1997; Park *et al.*, 1998) จากการนำแบคทีเรียที่ผ่านการทดสอบการทนทานต่อสภาวะความเป็นกรดที่ pH 2.5 จำนวน 20 ไอโซเลต มาทำการทดสอบความสามารถในการทนต่อเกลือน้ำเค็มที่มีความเข้มข้น 0.3 เปอร์เซ็นต์ ซึ่งเป็นแบคทีเรียที่แยกได้จากอุจจาระเด็กทราบจำนวน 15 ไอโซเลตคือ MC31, MC32, MC41, MC51, MC52, MC53, MC71, MC101, MC102, MC111, MC112, MC116, MC118, MC153, MC157, และ MC158 นอกจากนั้นเป็นแบคทีเรียจากน้ำนมหมักจำนวน 5 ไอโซเลต ได้แก่ RM11, RM12, RM24, RM28, และ RM34 โดยทุกไอโซเลตมีอัตราการระดับชีวิตในอาหารเหลว MRS ที่มีเกลือน้ำเค็มความเข้มข้น 0.3 เปอร์เซ็นต์ ได้มากกว่า 70 เปอร์เซ็นต์ แต่ละไอโซเลตมีอัตราการระดับชีวิตเริ่งลำบากจากสูงไปต่ำลงนี้คือ ไอโซเลต MC32 มีอัตราการระดับชีวิตสูงสุดคือ 104 เปอร์เซ็นต์ โดยมีจำนวนแบคทีเรียเพิ่มขึ้นจาก 6.5 ไปเป็น 6.8 log cfu/ml รองลงมาได้แก่ ไอโซเลต MC41 มีอัตราการระดับชีวิตคือ 102 เปอร์เซ็นต์ โดยมีจำนวนแบคทีเรียเพิ่มขึ้นจาก 6.5 ไปเป็น 6.6 log cfu/ml ไอโซเลต MC51 มีอัตราการระดับชีวิตคือ 102 เปอร์เซ็นต์ โดยมีจำนวนแบคทีเรียเพิ่มขึ้นจาก 6.6 ไปเป็น 6.7 log cfu/ml ไอโซเลต MC102 มีอัตราการระดับชีวิตคือ 100 เปอร์เซ็นต์ โดยมีจำนวนแบคทีเรียลดลงจาก 6.8 ไปเป็น 6.8 log cfu/ml ไอโซเลต MC71 มีอัตราการระดับชีวิตคือ 100 เปอร์เซ็นต์ โดยมีจำนวนแบคทีเรียลดลงจาก 6.6 ไปเป็น 6.6 log cfu/ml ไอโซเลต MC111 มีอัตราการระดับชีวิตคือ 99 เปอร์เซ็นต์ โดยมีจำนวนแบคทีเรียลดลงจาก 6.8 ไปเป็น 6.8 log cfu/ml ไอโซเลต MC112 มีอัตราการระดับชีวิตคือ 99 เปอร์เซ็นต์ โดยมีจำนวนแบคทีเรียลดลงจาก 6.9 ไปเป็น 6.8 log cfu/ml ไอโซเลต MC31 มีอัตราการระดับชีวิตคือ 99 เปอร์เซ็นต์ โดยมีจำนวนแบคทีเรียลดลงจาก 7.5 ไปเป็น 7.4 log cfu/ml, ไอโซเลต MC101 มีอัตราการระดับชีวิตคือ 99 เปอร์เซ็นต์ โดยมีจำนวนแบคทีเรียลดลงจาก 7.4 ไปเป็น 7.3 log cfu/ml ไอโซเลต RM24 มีอัตราการระดับชีวิตคือ 98 เปอร์เซ็นต์ โดยมีจำนวนแบคทีเรียลดลงจาก 5.0 ไปเป็น 4.9 log cfu/ml ไอโซเลต MC157 มีอัตราการระดับชีวิตคือ 98 เปอร์เซ็นต์ โดยมีจำนวนแบคทีเรียลดลงจาก 7.2 ไปเป็น 7.0 log cfu/ml ไอโซเลต MC116 มีอัตราการระดับชีวิตคือ 97 เปอร์เซ็นต์ โดยมีจำนวนแบคทีเรียลดลงจาก 6.8 ไปเป็น 6.7 log cfu/ml ไอโซเลต MC118 มีอัตราการระดับชีวิตคือ 95 เปอร์เซ็นต์ โดยมีจำนวนแบคทีเรียลดลงจาก 7.0 ไปเป็น 6.6 log cfu/ml ไอโซเลต RM28 มีอัตราการระดับชีวิตคือ 94 เปอร์เซ็นต์ โดยมีจำนวนแบคทีเรียลดลงจาก 7.16 ไปเป็น 6.7 log cfu/ml ไอโซเลต MC53 มีอัตราการระดับชีวิตคือ 93 เปอร์เซ็นต์ โดยมีจำนวนแบคทีเรียลดลงจาก 7.2 ไปเป็น 6.7

log cfu/ml ไอโซเลต MC52 มีอัตราการลดชีวิตคือ 92 เปอร์เซ็นต์ โดยมีจำนวนแบคทีเรียลดลงจาก 7.3 ไปเป็น 6.7 log cfu/ml ไอโซเลต MC158 มีอัตราการลดชีวิตคือ 93 เปอร์เซ็นต์ โดยมีจำนวนแบคทีเรียลดลงจาก 7.0 ไปเป็น 6.5 log cfu/ml ไอโซเลต RM34 มีอัตราการลดชีวิตคือ 85 เปอร์เซ็นต์ โดยมีจำนวนแบคทีเรียลดลงจาก 6.5 ไปเป็น 5.5 log cfu/ml ไอโซเลต RM12 มีอัตราการลดชีวิตคือ 80 เปอร์เซ็นต์ โดยมีจำนวนแบคทีเรียลดลงจาก 6.5 ไปเป็น 5.2 log cfu/ml และ ไอโซเลต RM11 มีอัตราการลดชีวิตคือ 76 เปอร์เซ็นต์ โดยมีจำนวนแบคทีเรียลดลงจาก 6.6 ไปเป็น 5.0 log cfu/ml ดังแสดงในภาพ 5 และ 6



ภาพ 5 จำนวนเซลล์ของแบคทีเรีย (แบคทีเรียลดลงจาก 0 ชั่วโมงและ 24 ชั่วโมง (Mean  $\pm$  SE, n = 3)  
ที่มีเกลือน้ำดี 0.3% ที่ 0 ชั่วโมงและ ที่ 24 ชั่วโมง (Mean  $\pm$  SE, n = 3)



ภาพ 6 จำนวนเซลล์ของแบคทีเรีย (แยกได้จากน้ำนมหมัก) ที่รอดชีวิตในอาหารเหลว MRS ที่มีเกลือน้ำดี 0.3% ที่ 0 ชั่วโมง และที่ 24 ชั่วโมง (Mean  $\pm$  SE, n = 3)

น้ำดี (Bile) เป็นสารละลายสีเหลืองเขียวซึ่งมีองค์ประกอบหลักคือ เกลือน้ำดี (bile salt) คอเลสเตอรอล (cholesterol) ฟอสฟอลิปิด (phospholipids) และรงควัตถุในน้ำดี (bile pigment) (Carey *et al.*, 1994; Hofmann, 1994) น้ำดีถูกสังเคราะห์ขึ้นที่เซลล์ตับแล้วถูกนำไปเก็บไว้ที่ถุงน้ำดี และจะถูกปล่อยสู่ลำไส้เล็กส่วนดูด 吸 (duodenum) หลังจากมีอาหารเข้าไป สารตั้งต้นในการผลิตเกลือน้ำดีคือ cholesterol ในตับ จะถูกเปลี่ยนเป็น cholic acid และ chenodeoxycholic acid ซึ่งจะทำปฏิกิริยารวมตัว (conjugate) กับกรดอะมิโน glycine หรือ taurine ได้เป็น glycocholate และ taurocholate และรวมตัวกับ  $\text{Na}^+$  และ  $\text{K}^+$  เกิดเป็นเกลือน้ำดี ซึ่งไม่เลกูลน์สามารถแตก解裂 กับไม่เลกูลของไขมันเกิดเป็น micelles ที่คุณสมบัติการเป็น detergent ของเกลือน้ำดีทำให้เกลือน้ำดีมีกิจกรรมต้านจุลินทรีย์โดยการย่อยสลายเยื่อหุ้มเซลล์ของแบคทีเรียได้ (Begley *et al.*, 2006) หน้าที่ของเกลือน้ำดีคือเป็นตัว detergent (Emulsifying factor) ทำให้ surface tension ของ fat particle ลดลง และมีความสำคัญในการย่อยอาหารไขมัน จากคุณสมบัติการเป็น detergent ของเกลือน้ำดีทำให้เกลือน้ำดีมีกิจกรรมต้านจุลินทรีย์โดยการย่อยสลายเยื่อหุ้มเซลล์ของแบคทีเรียได้ (Begley *et al.*, 2005) จุลินทรีย์โปรดไปโพรไบโอติกที่ดีนี้มีความสามารถในการย่อยสลายเกลือน้ำดีโดยเอนไซม์ bile salt hydrolase เพื่อให้อยู่รอดในระบบทางเดินอาหารได้ กิจกรรมของเอนไซม์ bile salt hydrolase มักตรวจพบใน *Lactobacillus* และ *Enterococcus* (Begley *et al.*, 2006) การที่ LAB

มีกิจกรรมของ.enzyme bile salt hydrolase จะช่วยให้ด้านท่านความเป็นพิษจากการรวมตัวของเกลือน้ำดีในลำไส้เล็กส่วนคุโอดินมและเป็นปัจจัยสำคัญในการเจริญภายในลำไส้ด้วง (De Smet *et al.*, 1995) ซึ่ง.enzyme bile salt hydrolase จะมีฤทธิ์ไปบอยเกลือน้ำดีโดยไปตัดพันธะเปปไทด์ของเกลือน้ำดีทำให้กำจัดหมู่ของกรดอะมิโนออกจากแกนสเตอร์อยด์ ทำให้เกลือน้ำดีนั้นไม่เป็นพิษกับเยื่อหุ้มเซลล์ของแบคทีเรีย (Begley *et al.*, 2006) Klingberk *et al.* (2005) รายงานเกี่ยวกับการรอดชีวิตของโปรไบโอติกที่แยกได้จากไส้กรอกหมัก scandinavian พบว่าเมื่อทดสอบการรอดชีวิตในอาหารเหลว MRS ที่มีเกลือน้ำดี 0.3 เปอร์เซ็นต์ เป็นเวลา 4 ชั่วโมง โปรไบโอติกส่วนใหญ่มีความสามารถในการรอดชีวิต 86 เปอร์เซ็นต์

## 2.5 การทดสอบกิจกรรมการย่อยสลายเม็ดเลือดแดง

ในการทดลองนี้ได้นำแบคทีเรีย 20 ไอโซเลตที่สามารถทนต่อเกลือน้ำดี 0.3 เปอร์เซ็นต์ ได้ซึ่งเป็นแบคทีเรียที่แยกได้จากอุจจาระเด็กทารกจำนวน 15 ไอโซเลตคือ MC31, MC32, MC41, MC51, MC52, MC53, MC71, MC101, MC102, MC111, MC112, MC116, MC118, MC153, MC157, และ MC158 นอกจากนั้นเป็นแบคทีเรียจากน้ำนมหมักจำนวน 5 ไอโซเลต ได้แก่ RM11, RM12, RM24, RM28, และ RM34 มาทำการทดสอบกิจกรรมการย่อยสลายเม็ดเลือดแดง ซึ่งพบว่าแบคทีเรียทั้ง 20 ไอโซเลตให้การแตกของเม็ดเลือดแดงชนิดแคมม่า ( $\gamma$ -hemolysis) คือไม่ย่อยสลายเม็ดเลือดแดง ดังแสดงในตาราง 5

กิจกรรมการย่อยสลายเม็ดเลือดแดงเป็น virulence factor ของเชื้อแบคทีเรีย ทำให้ชุลินทรีย์สามารถหาแหล่งได้สะดวกขึ้นและเป็นสาเหตุของการเกิดภาวะโลหิตจางและการบวมในไส้เดือน *Lactobacillus* เชื้อแบคทีเรียส่วนใหญ่จะผลิต toxin ซึ่งมีฤทธิ์ในการทำลาย cell membrane ทำให้เม็ดเลือดแดงแตกสลายเรียกว่าเกิด  $\beta$ -hemolysis (Vesterlund *et al.*, 2007) Maragkoudakis *et al.*, 2006 รายงานว่า *Lactobacillus* 29 ไอโซเลต ที่แยกได้จากผลิตภัณฑ์นม เมื่อนำมาทดสอบกิจกรรม hemolytic โดยการปั๊มน้ำยาเข้าในอาหารแข็ง Columbia ที่มีเลือดหมูย์ผสมอยู่ 5 เปอร์เซ็นต์ (w/v) พบว่า *Lactobacillus* ไม่มีกิจกรรม hemolytic ให้การย่อยสลายเม็ดเลือดแดง ชนิดแคมม่า ( $\gamma$ -hemolysis) และแอลฟ่า ( $\alpha$ -hemolysis)

## 2.6 การทดสอบการดื้อยาปฏิชีวนะ

การทดสอบการดื้อยาของแบคทีเรียนนี้มีความจำเป็นอย่างยิ่งสำหรับการคัดเลือกไปรุ่นโอดิก เนื่องจากคุณสมบัตินี้มีความเกี่ยวข้องกับการเลือกใช้ไปรุ่นโอดิกได้อย่างเหมาะสม และปลดล็อกภัย การดื้อยาของแบคทีเรียแบ่งได้เป็น 2 ประเภทคือ intrinsic (natural) resistance หมายถึงเชื้อแบคทีเรียดื้อยาอยู่แล้วตามธรรมชาติ ซึ่งอาจเกิดจากเชื้อนั้นไม่มีปัจจัยในการออกฤทธิ์ได้ ทำให้เชื้อไม่เคยไวต่อ yanin หรือมีกลไกการป้องกันไม่ให้ yanin จับกับเป้าหมายในการออกฤทธิ์ได้ ทำให้เชื้อไม่เคยไวต่อ yanin อีกประเภทคือ acquired resistance หมายถึง การดื้อยาของเชื้อแบคทีเรียที่เกิดขึ้นภายหลัง จากเดินที่เคยไวต่อ yanin มา ก่อน (Kaye *et al.*, 2004) การที่แบคทีเรียมีคุณสมบัติในการดื้อยานี้จะทำให้แบคทีเรียสามารถมีชีวิตอยู่ได้เมื่อร่างกายของเรามีการนำบัดโรคโดยใช้ยาปฏิชีวนะ (Aysun and Candan., 2003) ซึ่งแบคทีเรียเหล่านี้จะขังสามารถก่อประizable ให้กับร่างกายต่อไปได้

ในการทดลองนี้พบว่าแบคทีเรียไอโซเลต MC31, MC32, MC51, MC52, MC53, MC101, MC157, RM11, RM12, RM24, RM28 มีการดื้อยา 1 ชนิดคือ kanamycin และมีความไวต่อยาปฏิชีวนะ 4 ชนิดคือ chloramphenical, ampicillin, erythromycin และ tetracycline ส่วนแบคทีเรียไอโซเลต MC41, MC7, MC102, MC111, MC112, MC116, MC118, MC158 และ RM34 มีความไวต่อยาปฏิชีวนะทุกชนิด ดังแสดงในตาราง 5 ซึ่งการที่แบคทีเรียนนี้มีคุณสมบัติในการดื้อยาอาจเนื่องมาจากการดื้อยาที่แบคทีเรียสามารถสร้างกลไกของการดื้อยาได้โดยแบ่งเป็น 3 วิธีคือการสร้างเอนไซม์ไปทำลายหรือทำให้ยาต้านจุลชีพไม่ออกฤทธิ์ การเปลี่ยนแปลงเป้าหมายในการออกฤทธิ์ของยาต้านจุลชีพ และการป้องกันไม่ให้ยาต้านจุลชีพเข้าไปในบริเวณที่มีเป้าหมายของการออกฤทธิ์โดยเพิ่มกระบวนการขับยาออก (efflux) หรือลดการแพร่ผ่านของยาเข้าเซลล์ (Shales *et al.* 1997) การนำแบคทีเรียเหล่านี้ไปใช้จำเป็นจะต้องแบ่งใจว่าแบคทีเรียเหล่านี้ไม่สามารถส่งผ่านยีนดื้อยาเหล่านี้ไปสู่แบคทีเรียนิดอื่นได้ เพื่อป้องกันการดื้อยาของเชื้อก่อโรคชนิดอื่น ซึ่งอาจมีการทดลองเพิ่มเติมเมื่อต้องการนำแบคทีเรียนี้ไปใช้จริง Charteris *et al.* (1998) รายงานว่า lactobacilli ส่วนใหญ่มีคุณสมบัติในการดื้อยาอยู่แล้วในธรรมชาติ ซึ่งเป็นชนิดที่ไม่สามารถถ่ายทอดไปยังแบคทีเรียชนิดอื่นได้

**ตาราง 5 กิจกรรมการต้านยาปฏิชีวนะและการย่อยสลายเม็ดเลือดแดงของแบคทีเรีย**

|       | haemolysis | ยาปฏิชีวนะ      |       |            |              |            |
|-------|------------|-----------------|-------|------------|--------------|------------|
|       |            | Chloramphenical |       | Amplicilin | Erythromycin | Tetramycin |
|       |            | 30 µg           | 10 µg | 15 µg      | 30 µg        | 30 µg      |
| MC31  | γ          | S               | S     | S          | S            | R          |
| MC32  | γ          | S               | S     | S          | S            | R          |
| MC41  | γ          | S               | S     | S          | S            | S          |
| MC51  | γ          | S               | S     | S          | S            | R          |
| MC52  | γ          | S               | S     | S          | S            | R          |
| MC53  | γ          | S               | S     | S          | S            | R          |
| MC71  | γ          | S               | S     | S          | S            | S          |
| MC101 | γ          | S               | S     | S          | S            | R          |
| MC102 | γ          | S               | S     | S          | S            | S          |
| MC111 | γ          | S               | S     | S          | S            | S          |
| MC112 | γ          | S               | S     | S          | S            | S          |
| MC116 | γ          | S               | S     | S          | S            | S          |
| MC118 | γ          | S               | S     | S          | S            | S          |
| MC157 | γ          | S               | S     | S          | S            | R          |
| MC158 | γ          | S               | S     | S          | S            | S          |
| RM11  | γ          | S               | S     | S          | S            | R          |
| RM12  | γ          | S               | S     | S          | S            | R          |
| RM24  | γ          | S               | S     | S          | S            | R          |
| RM28  | γ          | S               | S     | S          | S            | R          |
| RM34  | γ          | S               | S     | S          | S            | S          |

หมายเหตุ γ คือ การย่อยสลายเม็ดเลือดแดงแบบ γ-haemolysis

S คือ มีความไวต่อยาปฏิชีวนะ

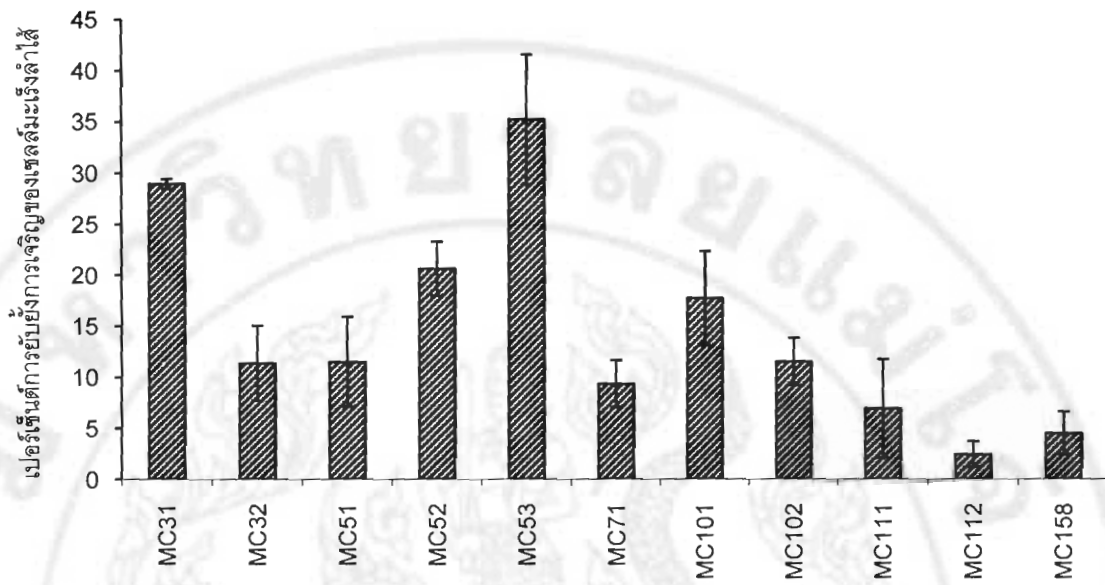
R คือ มีความต้านทานยาปฏิชีวนะ

### 3. ประสิทธิภาพของปอร์ไบโอดิกในการยับยั้งการเจริญของเซลล์มะเร็งลำไส้

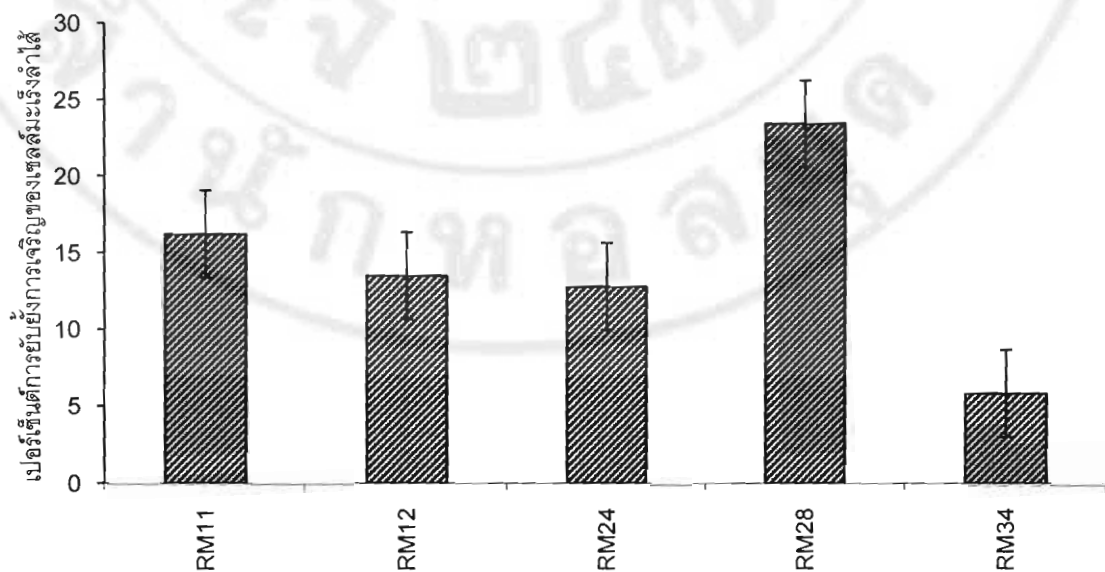
#### 3.1 ประสิทธิภาพการยับยั้งการเจริญของเซลล์มะเร็งลำไส้ โดยใช้ cultured medium โดยใช้วิธี MTT assay

นำแบนค์ที่เรียกที่ผ่านการคัดเลือกการมีคุณสมบัติเป็นปอร์ไบโอดิกทั้งหมด 20 ไอโซเลต มาทำการทดสอบประสิทธิภาพการยับยั้งเซลล์มะเร็งลำไส้โดยวิธี MTT assay ซึ่งเป็นวิธีการตรวจวัดความมีชีวิตของเซลล์ โดยมีหลักการดังนี้คือเซลล์มีชีวิต จะมี mitochondrial dehydrogenase ที่จะเปลี่ยน MTT (3-[4,5-dimethylthiazol-2-yl]-2,5-diphenyl-tetrazolium bromide) ซึ่งเป็นสารละลายสีเหลืองให้เป็น formazan ที่มีสีฟ้าและไม่ละลายน้ำ เมื่อละลายตะกอน formazan ด้วยตัวทำละลายที่เหมาะสม (dimethylsulfoxide; DMSO) จะสามารถวัดความเข้มสีที่ความยาวคลื่นที่เหมาะสมได้ ปริมาณ dehydrogenase จะคงที่ ดังนั้นปริมาณ formazan ที่เกิดขึ้นจึงเป็นสัดส่วนโดยตรงกับจำนวนเซลล์มีชีวิต

จากการทดลองพบว่าแบนค์ที่เรียกไอโซเลต MC53 มีประสิทธิภาพในการยับยั้งเซลล์มะเร็งลำไส้ได้สูงสุดคือ 35 เปอร์เซ็นต์ รองลงมาคือ MC31 และ RM28 ซึ่งมีประสิทธิภาพในการยับยั้งเซลล์มะเร็งลำไส้เท่ากัน 29 และ 23 เปอร์เซ็นต์ ตามลำดับ นอกจากนั้นยังมีแบนค์ที่เรียกอีก 13 ไอโซเลตที่มีประสิทธิภาพในการยับยั้งเซลล์มะเร็งลำไส้โดยเรียงลำดับเปอร์เซ็นต์การยับยั้งเซลล์มะเร็งลำไส้จากสูงไปต่ำดังนี้คือ MC52, MC101, RM11, RM12, RM24, MC102, MC51, MC32, MC71, MC111, RM34, MC158 และ MC112 ซึ่งมีเปอร์เซ็นต์การยับยั้งดังนี้คือ 21, 18, 16, 14, 13, 12, 11, 9, 7, 6, 5 และ 2 ตามลำดับ ดังแสดงในภาพ 7 และ 8 แบนค์ที่เรียกที่ไม่สามารถยับยั้งการเจริญของเซลล์มะเร็งลำไส้ได้แก่ MC41, MC116, MC118 และ MC157



ภาพ 7 เปอร์เซ็นต์การบันยั่งการเจริญของเซลล์มะเร็งลำไส้เมื่อเทียบกับ cultured medium ของแบคทีเรีย (ที่แยกได้จากน้ำดองเด็กทารก) โดยใช้วิธี MTT assay (Mean ± SE, n = 3)



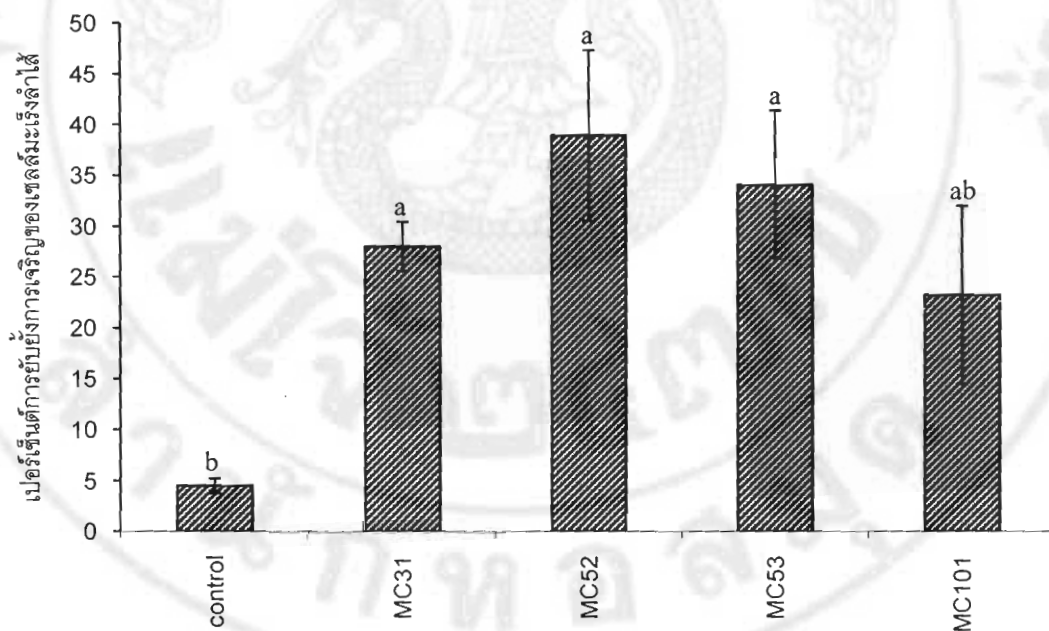
ภาพ 8 เปอร์เซ็นต์การบันยั่งการเจริญของเซลล์มะเร็งลำไส้เมื่อเทียบกับ cultured medium ของแบคทีเรีย (ที่แยกได้จากน้ำนมหมัก) โดยใช้วิธี MTT assay (Mean ± SE, n = 3)

ในปัจจุบันมีงานวิจัยมากมายที่รายงานถึงกิจกรรมการขับยังเชลล์มน้ำเรืองโดย LAB จำนวนมาก ไม่ว่าจะเป็นการใช้เชลล์แบคทีเรีย ผนังเชลล์ของแบคทีเรีย และส่วนประกอบต่าง ๆ ภายในเชลล์แบคทีเรีย ส่วนแต่ละกิจกรรมการขับยังเชลล์มน้ำเรืองได้ทั้งนี้ (Hirai *et al.*, 1987; Sakmato & Konishi, 1988) ซึ่งมีงานวิจัยต่าง ๆ มากมายที่พบกิจกรรมการขับยังเชลล์มน้ำเรืองจากส่วนต่าง ๆ ของแบคทีเรีย เช่น ส่วนของเปปติโคไกลแคนที่แยกได้จาก *Bacillus infantis* strain ATCC 15697 (Sekine *et al.*, 1985) และ *Lactobacillus casei* (Fichera & Giese, 1994), ส่วนของโพลีแซกคาร์ไทด์ที่ได้มาจากการ *Lactobacillus* cultures (Oda *et al.*, 1983), ส่วนของไกลโคโปรตีนใน supernatant ของ *Lactobacillus* cultures (Manjunath & Ranganathan, 1989) รวมไปถึงการพบกิจกรรมการขับยังสารก่อมะเร็งใน supernatant ของ *Lactobacillus* cultures อีกด้วย (Park & Rhee, 2001) Ewaschuk *et al.* (2006) รายงานว่า conjugate linoleic acid ที่ผลิตได้จากแบคทีเรียໂປຣໄນໂອຕິກ (*Lactobacillus acidophilus*, *L. bulgaricus*, *L. casei*, *L. plantarum*, *Bifidobacterium breve*, *B. infantis*, *B. longum* และ *Streptococcus thermophilus*) มีกิจกรรมการขับยังเชลล์มน้ำเรือง HT-29 และ Caco-2 ใช้วิธีการวิเคราะห์คือวิธี MTT assay และวิธี DNA laddering ซึ่ง conjugate linoleic acid นี้จะทำการแยกจาก supernatant ของแบคทีเรียໂປຣໄນໂອຕິກ โดยใช้วิธีแก๊ซ โครมาโทกราฟี conjugate linoleic acid นี้จะไปมีผลทำให้เพิ่มกิจกรรมของเอนไซม์ caspase 3 และ caspase 9 อีกทั้งยังลดการแสดงออกของ Bcl-2 ทำให้เกิดการซักนำการตายแบบอะพอพໂທซิสของเชลล์มน้ำเรือง (Miller *et al.*, 2002)

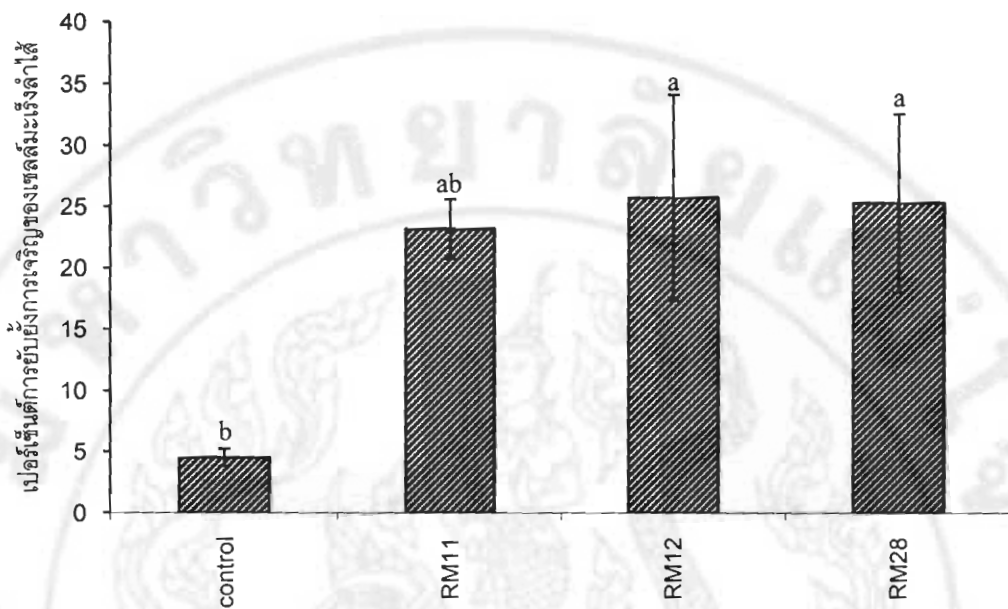
### 3.2 ประสิทธิภาพการขับยังการเจริญของเชลล์มน้ำเรืองสำหรับโดยใช้ cultured medium ของแบคทีเรีย โดยวิธี Trypan Blue exclusion

ในขั้นตอนนี้จะทำการคัดเลือกแบคทีเรียที่มีประสิทธิภาพในการขับยังเชลล์มน้ำเรืองดีที่สุดจำนวน 7 โภโซเลต ซึ่งมีช่วงเปอร์เซ็นต์การขับยังอยู่ระหว่าง 14-35 เปอร์เซ็นต์ มาทำการการทดสอบการขับยังการเจริญของเชลล์มน้ำเรืองต่อ เพื่อเป็นการยืนยันผลจากการทดสอบโดยวิธี MTT assay ซึ่งใช้วิธี Trypan Blue exclusion คือเป็นการนับเชลล์โดยใช้ haemocytometer chamber ทำการข้อมเชลล์ด้วยสี Trypan Blue นับแยกเชลล์เป็นเชลล์ตาย ซึ่งเชลล์เป็นจะไม่ติดสีข้อม ส่วนเชลล์ตายจะติดสีข้อม Trypan Blue เป็นสีน้ำเงิน แล้วนำจำนวนเชลล์ตายได้กล้องชุลทรรศน์หัวกลับ โดย

วิธีนี้เป็นอีกวิธีหนึ่งที่สามารถใช้วัดการเจริญของเซลล์ได้ นำจำนวนเซลล์ที่ได้มาคำนวณหา เปอร์เซ็นต์การขับยั้งการเจริญของเซลล์มะเร็งลำไส้ ซึ่งได้ผลดังนี้คือ แบคทีเรียไอโซเลต MC53 มี ประสิทธิภาพการขับยั้งการเจริญของเซลล์มะเร็งลำไส้ ซึ่งได้ผลดังนี้คือ แบคทีเรียไอโซเลต MC53 มี ประสิทธิภาพการขับยั้งการเจริญของเซลล์มะเร็งสูงสุดคือ 39 เปอร์เซ็นต์ รองลงมาคือ MC52, MC31, RM12, RM28, MC102 และ RM11 โดยมีเปอร์เซ็นต์การขับยั้งการเจริญของเซลล์มะเร็ง ลำไส้ดังนี้คือ 34., 28, 26, 25, 23 และ 23 ตามลำดับ โดยกลุ่มควบคุมเซลล์มีอัตราการตาย 5 เปอร์เซ็นต์ ซึ่งเมื่อนำมาวิเคราะห์ความแตกต่างทางสถิติ Analysis of Variance (ANOVA) และวิเคราะห์ความแตกต่างระหว่างค่าเฉลี่ย โดยวิธี Duncan's multiple range test พบร่วมกันกลุ่ม ทดลองนั้นมีความแตกต่างกับกลุ่มควบคุมอย่างมีนัยสำคัญ ( $P < 0.05$ ) ดังแสดงในภาพ 9 และ 10



ภาพ 9 เปอร์เซ็นต์การขับยั้งการเจริญของเซลล์มะเร็งลำไส้เมื่อเทียบกับ cultured medium ของ แบคทีเรีย (ที่แยกได้จากมูลของเด็กทารก) เป็นเวลา 24 ชั่วโมงโดยใช้วิธี Trypan Blue exclusion (Mean  $\pm$  SE, n = 3) แตกต่างกันทางสถิติอย่างมีนัยสำคัญ ( $P < 0.05$ ) โดยอักษร ที่เหมือนกันจัดอยู่ในกลุ่มเดียวกัน

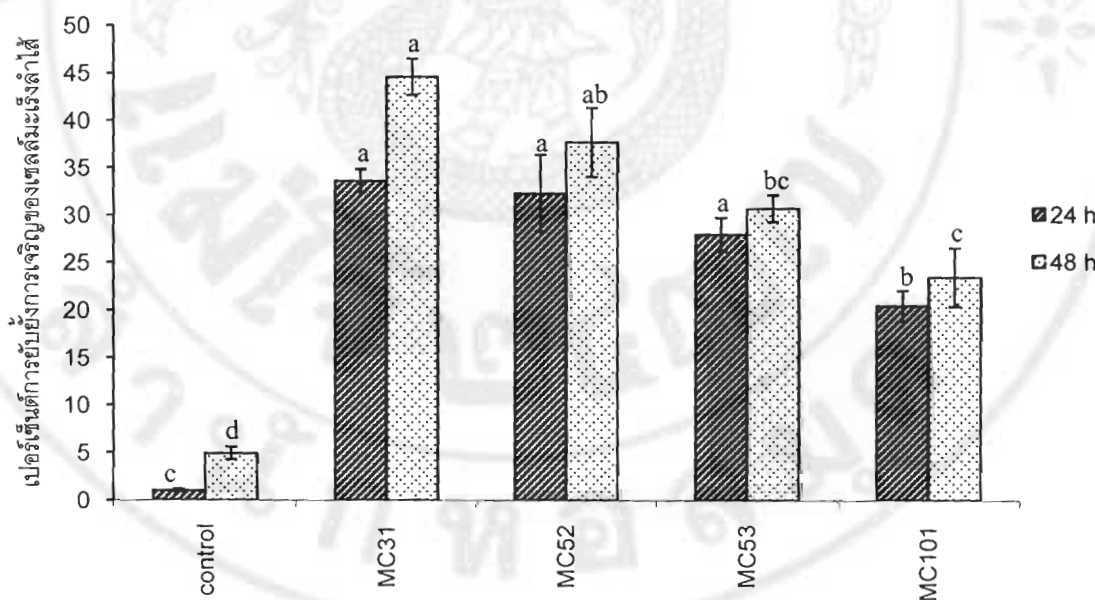


ภาพ 10 เปอร์เซ็นต์การขับยังการเจริญของเซลล์มะเร็งลำไส้เมื่อบ่มร่วมกับ cultured medium ของแบคทีเรีย (ที่แยกได้จากน้ำนมหมาก) เป็นเวลา 24 ชั่วโมง โดยใช้วิธี Trypan Blue exclusion ( $\text{Mean} \pm \text{SE}$ ,  $n = 3$ ) แตกต่างกันทางสถิติอย่างมีนัยสำคัญ ( $P < 0.05$ ) โดยอักษรที่เหมือนกันจัดอยู่ในกลุ่มเดียวกัน

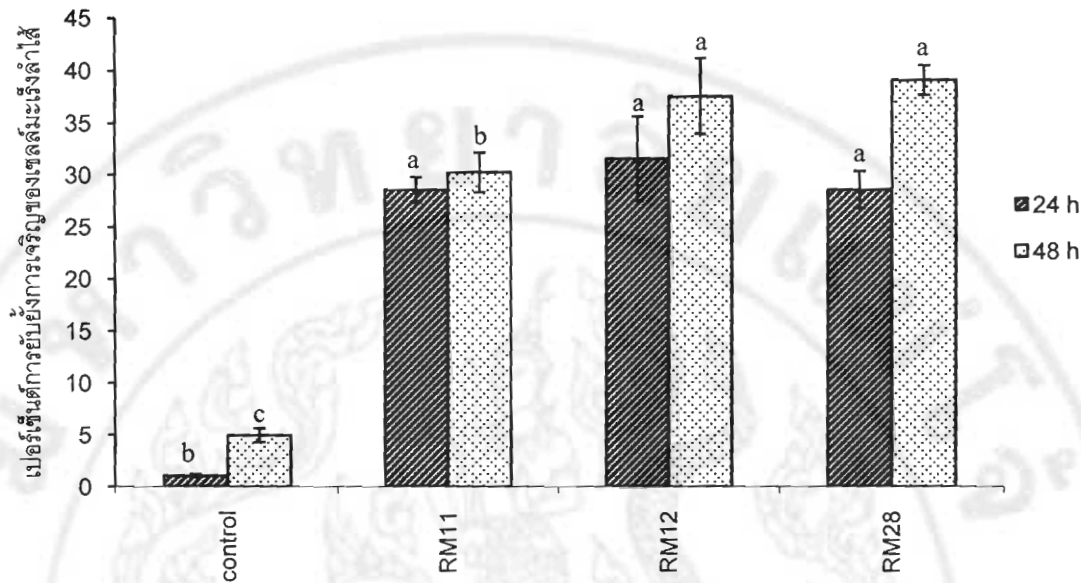
### 3.3 ประสิทธิภาพการขับยังเซลล์มะเร็งลำไส้โดยเซลล์ของแบคทีเรีย (live whole cell) โดยใช้วิธี Trypan Blue exclusion

ในขั้นตอนนี้เป็นการศึกษาประสิทธิภาพการขับยังเซลล์มะเร็งลำไส้โดยเซลล์แบคทีเรีย โดยใช้วิธี Trypan Blue exclusion นำจำนวนเซลล์ที่ได้มาคำนวณหาเปอร์เซ็นต์การขับยังการเจริญของเซลล์มะเร็งลำไส้ ซึ่งการทดลองแบ่งการบ่มร่วมกันระหว่างเซลล์มะเร็งลำไส้กับเซลล์แบคทีเรียเป็นเวลา 24 และ 48 ชั่วโมง ได้ผลการทดลองดังนี้คือ ที่ 24 ชั่วโมง แบคทีเรียไอโซเลต MC31 มีประสิทธิภาพการขับยังเซลล์มะเร็งสูงสุด คือมีเปอร์เซ็นต์การขับยังการเจริญของเซลล์มะเร็งลำไส้ 34 เปอร์เซ็นต์ รองลงมาคือ แบคทีเรียไอโซเลต MC52, RM12, RM28, RM11, MC53 และ MC101 โดยมีเปอร์เซ็นต์การขับยังการเจริญของเซลล์มะเร็งลำไส้ดังนี้คือ 32, 32, 29, 29, 28 และ 20 เปอร์เซ็นต์ ตามลำดับ ซึ่งในกลุ่มควบคุมที่ไม่มีการเติมเซลล์แบคทีเรีย เซลล์มะเร็งลำไส้

มีอัตราการตายคือ 1 เปอร์เซ็นต์ ส่วนผลการทดลองที่ 48 ชั่วโมง แบคทีเรียไอโซเลต MC31 มีประสิทธิภาพการยับยั้งเซลล์มะเร็งสูงสุด โดยมีเปอร์เซ็นต์การยับยั้งการเจริญของเซลล์มะเร็งลำไส้ 45 เปอร์เซ็นต์ รองลงมาคือ แบคทีเรียไอโซเลต RM28, MC52, RM12, MC53, RM11 และ MC101 โดยมีเปอร์เซ็นต์การยับยั้งการเจริญของเซลล์มะเร็งลำไส้ดังนี้คือ 39, 38, 38, 31, 30 และ 23 เปอร์เซ็นต์ ตามลำดับ ซึ่งในกลุ่มควบคุมที่ไม่มีการเติมเซลล์แบคทีเรีย เซลล์มะเร็งลำไส้มีอัตราการตายคือ 5 เปอร์เซ็นต์ ซึ่งเมื่อนำเข้ามูลน้ำเคราะห์ความแตกต่างทางสถิติ Analysis of Variance (ANOVA) และวิเคราะห์ความแตกต่างระหว่างค่าเฉลี่ยโดยวิธี Duncan'multiple range test พบร่วมในกลุ่มทดลองนั้นมีความแตกต่างกับกลุ่มควบคุมอย่างมีนัยสำคัญ ( $P < 0.05$ ) แสดงดังภาพ 11 และ 12



ภาพ 11 เปอร์เซ็นต์การยับยั้งการเจริญของเซลล์มะเร็งลำไส้เมื่อบรร่วมกับเซลล์ของแบคทีเรีย (ที่แยกได้จากมูลของเด็กทารก) เป็นเวลา 24 และ 48 ชั่วโมง โดยใช้วิธี Trypan Blue exclusion (Mean  $\pm$  SE, n = 3) แตกต่างกันทางสถิติอย่างมีนัยสำคัญ ( $P < 0.05$ ) โดยอักษรที่เหมือนกันจัดอยู่ในกลุ่มเดียวกัน



ภาพ 12 เปอร์เซ็นต์การบัญชีการเจริญของเซลล์มะเร็งลำไส้เมื่อบรรุ่วมันกับเซลล์ของแบคทีเรีย (ที่แยกได้จากน้ำนมหมาด) เป็นเวลา 24 และ 48 ชั่วโมง โดยใช้วิธี Trypan Blue exclusion (Mean  $\pm$  SE, n = 3) แตกต่างกันทางสถิติอย่างมีนัยสำคัญ ( $P < 0.05$ ) โดยอักษรที่เหมือนกันจัดอยู่ในกลุ่มเดียวกัน

ในงานวิจัยนี้นอกจากจะใช้ cultured medium ของแบคทีเรียในการศึกษาภาระของการบัญชีเซลล์มะเร็งไส้เลือด ยังมีการศึกษาเพิ่มเติมคือการใช้เซลล์แบคทีเรียที่มีชีวิตในการบัญชีเซลล์มะเร็งลำไส้โดยด้วย จากการทดลองพบว่าการใช้เซลล์แบคทีเรียที่มีชีวิตนี้ให้ผลของการบัญชีเซลล์มะเร็งลำไส้ได้ดีกว่าการใช้ supernatant ของแบคทีเรีย และการบูรรมันร่วมกันระหว่างเซลล์มะเร็งลำไส้กับเซลล์ของแบคทีเรียที่ 48 ชั่วโมง จะมีผลทำให้อัตราการลดชีวิตของเซลล์น้อยลงกว่าการบูรรมันร่วมกันที่ 24 ชั่วโมง ซึ่งอาจจะเป็นผลมาจากการที่เซลล์แบคทีเรียนมีการผลิตกรดต่าง ๆ ออกมากขึ้น ทำให้เซลล์อยู่ในสภาพเครียด ซึ่งนำไปสู่การตายแบบอะพอพโทซิสของเซลล์ได้ ซึ่งสอดคล้องกับการทดลองของ Lan et al. (2006) ซึ่งทำการศึกษาภาระของการบัญชีเซลล์มะเร็งลำไส้ใหญ่ของแบคทีเรีย *Propionibacterium freudenreichii* ภายในห้องปฏิบัติการพบว่าสารเมตาบอไลท์ต่าง ๆ ของแบคทีเรียคือ short chain fatty acid (SCFA), acetate และ propionate ซึ่งการหลังกรดต่าง ๆ ของ *Propionibacterium* นี้จะมีผลซักนำให้เซลล์ HT-29 เกิดการ

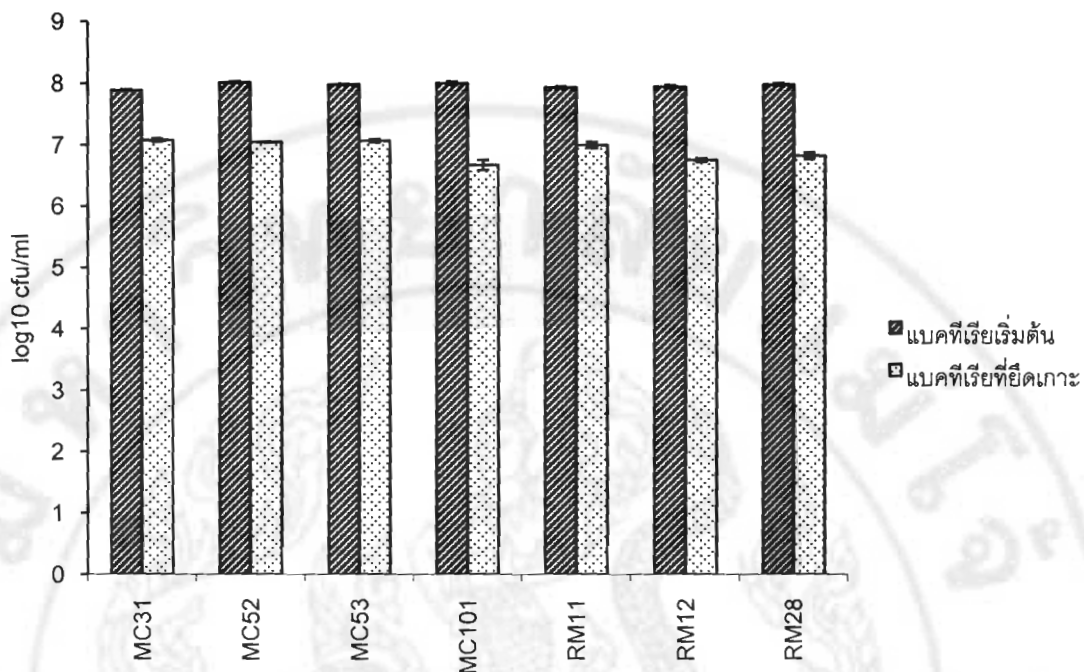
ตายแบบอะพอพโทซิส และพบว่าในการทดลองที่ pH เท่ากับ 6.0-7.5 จะทำให้เซลล์เกิดการตายแบบอะพอพโทซิสที่เวลามากกว่า 96 ชั่วโมง แต่ถ้าในการทดลองมี pH เท่ากับ 5.5 จะมีผลทำให้เซลล์เกิดการตายแบบอะพอพโทซิสอย่างรวดเร็วที่เวลาห้ายกว่า 24 ชั่วโมง Zebala *et al.* (2001) รายงานว่า lactic acid bacteria 2 สายพันธุ์ที่แยกได้จากคนเรา คือ *Lactobacillus salivarius* และ *Enterococcus faecium* สามารถขับยักษ์การเจริญของเซลล์ myeloma ได้ โดยเซลล์มีการเจริญลดลงเหลือเพียง 16.5 และ 5 เปอร์เซ็นต์ ตามลำดับ เมื่อใช้เซลล์แบคทีเรีย  $10^8$  cfu/ml นอกจากการใช้ supernatant และเซลล์ของแบคทีเรียแล้วยังมีงานวิจัยอื่น ๆ ที่ใช้ส่วนต่าง ๆ ของแบคทีเรียในการขับยักษ์เซลล์มะเร็งอีกด้วย เช่น Lee *et al.* (2004) ศึกษาการใช้ส่วนของ cytoplasmic fraction ของ *Lactobacillus acidophilus*, *L. casei* และ *Bifidobacterium longum* ในการขับยักษ์การเจริญของเซลล์มะเร็ง SNUC 2A, SNU-1, NIH/3T3 และ Jurket cell โดยใช้วิธีวิเคราะห์คือ crystal violet assay พบว่า cytoplasmic fraction ของแบคทีเรียทุกสายพันธุ์สามารถขับยักษ์เซลล์มะเร็งได้ทุกชนิด Kim *et al.* (2002) ได้ทำการศึกษา LAB 10 สายพันธุ์ ในการขับยักษ์เซลล์มะเร็ง โดยใช้เซลล์แบคทีเรีย, cytoplasmic fraction และ peptidoglycan จากการทดลองพบว่า cytoplasmic fraction มีผลในการขับยักษ์การเจริญของเซลล์มะเร็งลำไส้และเซลล์มะเร็งกระเพาะอาหาร ในขณะที่ peptidoglycan จะมีผลทำให้เซลล์มะเร็งลำไส้และเซลล์กระเพาะปัสสาวะมีกิจกรรมการเจริญช้าลง

#### 4. ประสิทธิภาพการยึดเกาะกับเซลล์ Caco-2

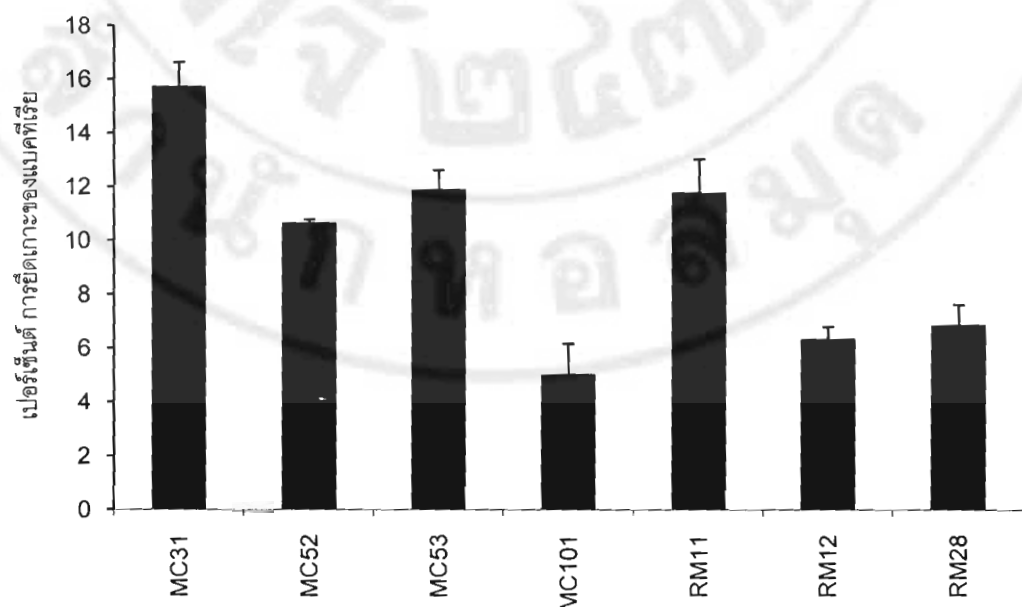
การที่แบคทีเรียมีคุณสมบัติในการยึดเกาะกับ intestinal epithelial cells จะทำให้แบคทีเรียนน้ำสามารถสร้างประ予以ชน์ให้กับร่างกายของโฮสต์ได้ดีขึ้น (Forestier *et al.*, 2001) และการที่แบคทีเรียสามารถยึดเกาะกับลำไส้เนื้ี้เป็นคุณสมบัติที่จำเป็นสำหรับการเพิ่มจำนวนของแบคทีเรียภายในระบบทางเดินอาหาร (Lehto and Salminen, 1997) อิกทั้งยังเป็นการป้องกันการติดเชื้อจากเชื้อก่อโรคได้อีกด้วยหนึ่งเนื่องจากแบคทีเรียที่มีประ予以ชน์เหล่านี้จะไปแบ่งพื้นที่ยึดเกาะบริเวณทางเดินอาหารเพื่อไม่ให้เชื้อก่อโรคมีพื้นที่ยึดเกาะและเพิ่มจำนวนได้ (Collado *et al.*, 2006) เนื่องจากการศึกษาเกี่ยวกับคุณสมบัติการยึดเกาะของแบคทีเรียในสภาวะแวดล้อมจริงเป็นเรื่องที่ปฏิบัติได้ยากโดยเฉพาะในคนเรา (Tuomola and salminen, 1998) จึงทำให้มีการศึกษาทางงานที่ศึกษาแบบจำลองการยึดเกาะของแบคทีเรียภายในห้องปฏิบัติการ โดยใช้เซลล์ต้นตอที่มีคุณสมบัติ

เป็นเซลล์น้ำเงิน เช่น เซลล์ Caco-2 น้ำใช้ในการศึกษาถั่วไก่การขึ้นเคี้ยว (Greene and Klaenhammer, 1994) โดยเซลล์ Caco-2 เป็นเซลล์ที่แยกได้จากถั่วไส้ของคนที่เป็นโรคมะเร็งลำไส้ใหญ่ (Fogh *et al.*, 1977) เมื่อทำการเพาะเลี้ยงในสภาพมาตรฐานที่เหมาะสมจะแสดงถั่วไส้เป็น mature enterocytes (Pinto *et al.*, 1983)

ในการทดลองนี้ได้ใช้เซลล์ Caco-2 เป็นแบบจำลองในการศึกษาคุณสมบัติการขึ้นเคี้ยวของแบคทีเรียเช่นกัน จากผลการทดลองพบว่าแบคทีเรียไอโซเลต MC31 มีคุณสมบัติการขึ้นเคี้ยวได้สูงสุดคือ 16 เปอร์เซ็นต์ เมื่อมีจำนวนแบคทีเรียเริ่มต้น  $7.9 \log \text{cfu/ml}$  และจำนวนแบคทีเรียที่ขึ้นเคี้ยว  $7.1 \log \text{cfu/ml}$  รองลงมาคือ แบคทีเรียไอโซเลต MC53 มีเปอร์เซ็นต์การขึ้นเคี้ยว 12 เปอร์เซ็นต์ เมื่อมีจำนวนแบคทีเรียเริ่มต้น  $8.0 \log \text{cfu/ml}$  และจำนวนแบคทีเรียที่ขึ้นเคี้ยว  $7.1 \log \text{cfu/ml}$  แบคทีเรียไอโซเลต RM11 มีเปอร์เซ็นต์การขึ้นเคี้ยว 12 เปอร์เซ็นต์ เมื่อมีจำนวนแบคทีเรียเริ่มต้น  $8.0 \log \text{cfu/ml}$  และจำนวนแบคทีเรียที่ขึ้นเคี้ยว  $7.0 \log \text{cfu/ml}$  แบคทีเรียไอโซเลต MC52 มีเปอร์เซ็นต์การขึ้นเคี้ยว 11 เปอร์เซ็นต์ เมื่อมีจำนวนแบคทีเรียเริ่มต้น  $8.0 \log \text{cfu/ml}$  และจำนวนแบคทีเรียที่ขึ้นเคี้ยว  $7.1 \log \text{cfu/ml}$  แบคทีเรียไอโซเลต RM28 มีเปอร์เซ็นต์การขึ้นเคี้ยว 7 เปอร์เซ็นต์ เมื่อมีจำนวนแบคทีเรียเริ่มต้น  $8.0 \log \text{cfu/ml}$  และจำนวนแบคทีเรียที่ขึ้นเคี้ยว  $6.8 \log \text{cfu/ml}$  แบคทีเรียไอโซเลต RM12 มีเปอร์เซ็นต์การขึ้นเคี้ยว 6 เปอร์เซ็นต์ เมื่อมีจำนวนแบคทีเรียเริ่มต้น  $8.0 \log \text{cfu/ml}$  และจำนวนแบคทีเรียที่ขึ้นเคี้ยว  $6.8 \log \text{cfu/ml}$  แบคทีเรียไอโซเลต MC101 มีเปอร์เซ็นต์การขึ้นเคี้ยว 5 เปอร์เซ็นต์ เมื่อมีจำนวนแบคทีเรียเริ่มต้น  $8.0 \log \text{cfu/ml}$  และจำนวนแบคทีเรียที่ขึ้นเคี้ยว  $6.7 \log \text{cfu/ml}$  ดังแสดงในภาพ 13 และ 14 ซึ่งจากผลการทดลองคล้ายกับงานวิจัยของ Tuomola และ salminen (1998) ที่ศึกษาการขึ้นเคี้ยวของโปรไบโอติกสายพันธุ์ *Lactobacillus* พบว่าเมื่อใช้จำนวนแบคทีเรียเริ่มต้น  $1 \times 10^8 \text{ cfu/ml}$  จะมีจำนวนแบคทีเรียที่ขึ้นเคี้ยวเท่ากับเซลล์ Caco-2 ได้อยู่ระหว่าง  $1.4 \times 10^7$  ถึง  $2.6 \times 10^6 \text{ cfu/ml}$  เมื่อคิดเป็นเปอร์เซ็นต์การขึ้นเคี้ยวจะมีค่าอยู่ระหว่าง 2.6 ถึง 14.4 เปอร์เซ็นต์



ภาพ 13 ประสิทธิภาพของแบคทีเรียในการขึ้นเค้ากับเซลล์ Caco-2 (Mean  $\pm$  SE, n = 5)



ภาพ 14 เปอร์เซ็นต์การขึ้นเค้าของแบคทีเรียกับเซลล์ Caco-2 (Mean  $\pm$  SE, n = 5)

กลไกการของ LAB ที่ใช้ในการยึดเกาะกับ epithelial cell เกี่ยวข้องกับบริเวณผิวของแบคทีเรียที่แตกต่างกัน จึงทำให้แบคทีเรียแต่ละสายพันธุ์มีกลไกการยึดเกาะที่แตกต่างกันออกไป กระบวนการยึดเกาะของแบคทีเรียประกอบไปด้วย passive force, electrostatic interactions, hydrophobic, steric forces, lipoteichoic acids และความจำเพาะเจาของโครงสร้าง (Survin, 2003) ส่วนประกอบของแบคทีเรียที่มีความเกี่ยวข้องกับการยึดเกาะส่วนใหญ่เป็นโปรตีนที่มี molecular mass 29 kDa ซึ่งแยกได้จากผิวของแบคทีเรียและ supernatant ของแบคทีเรีย (Blobberg *et al.*, 1993; Rojas & Conway, 1996; Rojas & Conway, 2002) มีรายงานว่าการยึดเกาะของ *L. johnsonii* กับเซลล์ Caco-2 เกี่ยวข้องกับกรด lipothicoic ซึ่งแยกได้จากผนังเซลล์และ supernatant ของแบคทีเรีย (Granato *et al.*, 1999) ส่วนปัจจัยที่เกี่ยวข้องกับการยึดเกาะของแบคทีเรียนั้นได้แก่ ปัจจัยทางกายภาพ ปัจจัยทางเคมีทางกายภาพ รวมไปถึงค่าความเป็นกรดด่างอีกด้วย (Pennachai *et al.*, 2005)

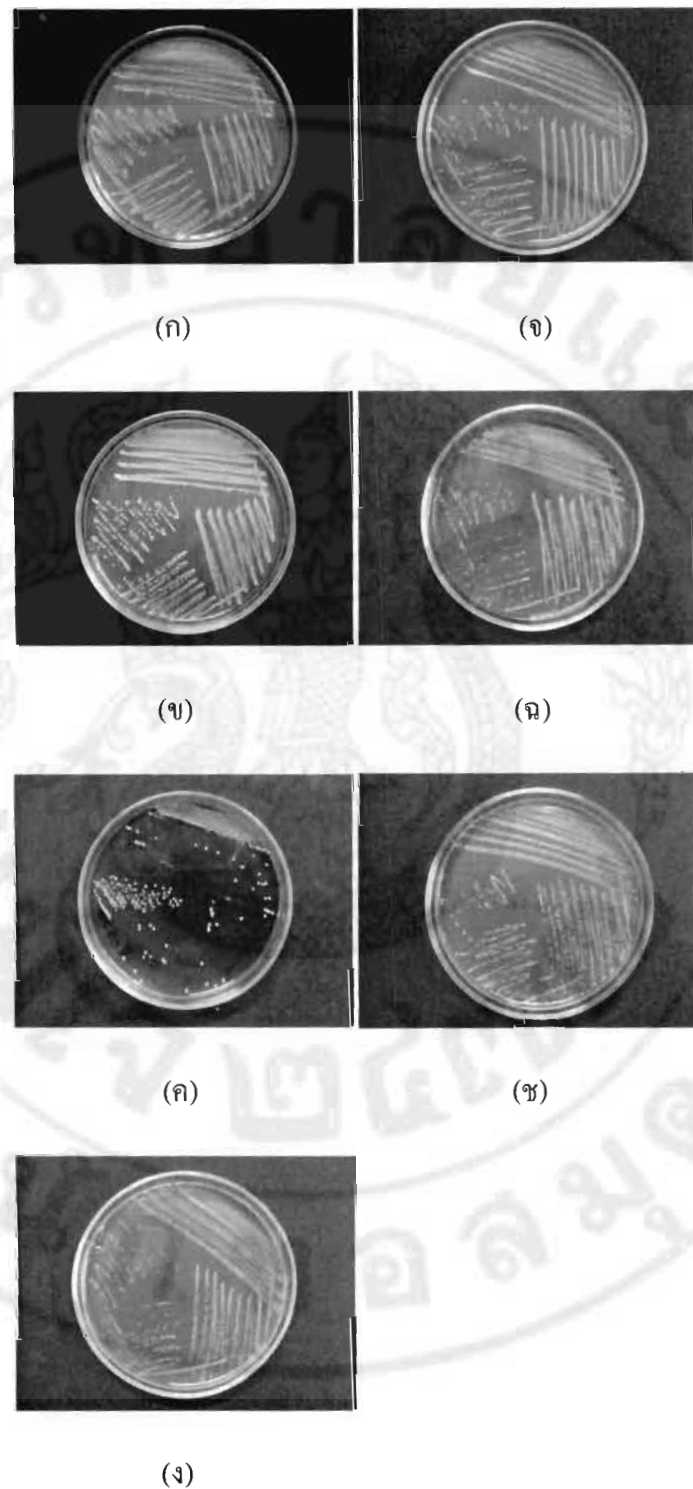
## 5. ผลการจัดจำแนกแบคทีเรียโดยใช้เดต MC31, MC52, MC53, MC101, RM11, RM12, และ RM28

### 5.1 ผลการศึกษาลักษณะทางสัณฐานวิทยาของแบคทีเรียที่แยกได้

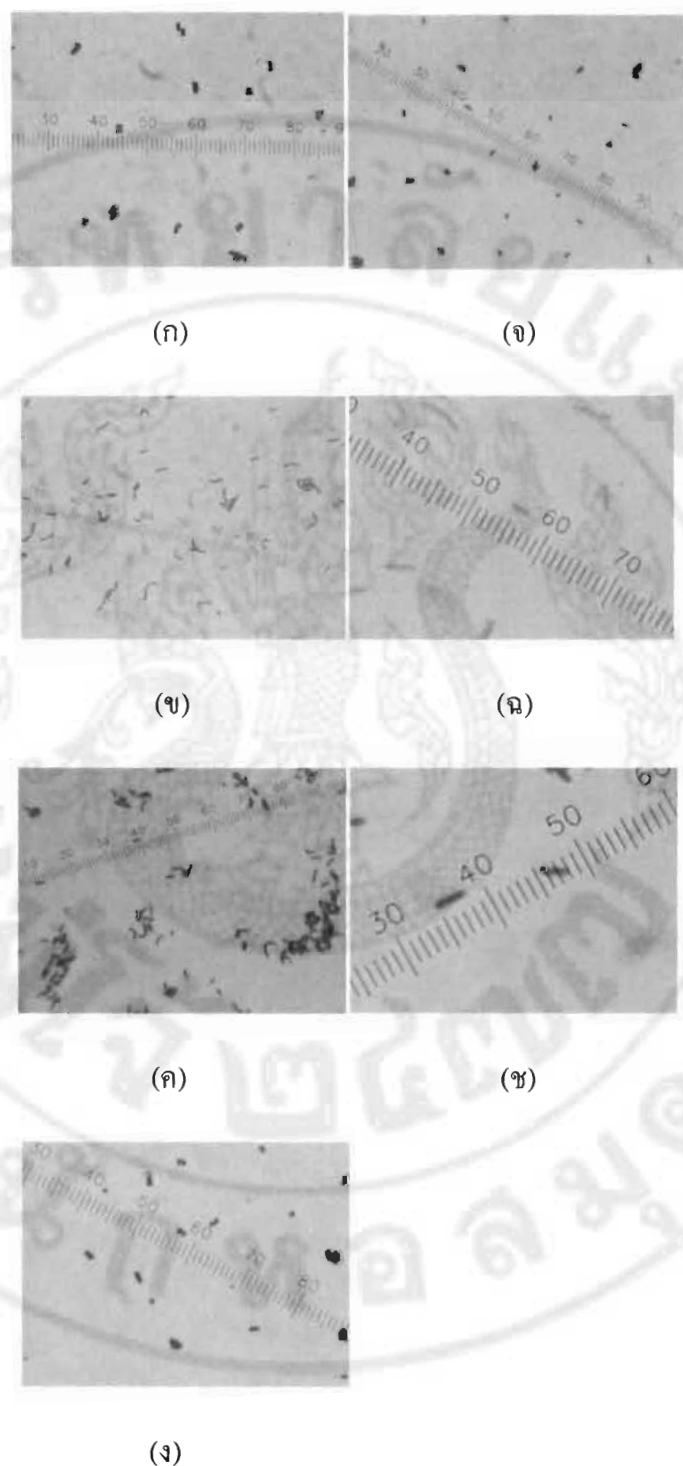
จากการศึกษาลักษณะทางสัณฐานวิทยาเบื้องต้น พบว่าแบคทีเรียทุกไอยโซเดตมีลักษณะคล้ายกันคือ เป็นโคโลนีขนาดเล็กประมาณ 1 มิลลิเมตร สีขาวๆ ผิวน้ำนมของโคโลนีเรียบ เมื่อนำแบคทีเรียไอยโซเดตต่าง ๆ มาทำการศึกษารูปร่าง การติดสีแกรม และการเรียงตัวภายในกล้องจุลทรรศน์โดยใช้กำลังขยาย 1,000 เท่า ผลการทดลองแสดงดังตาราง 6 และภาพที่ 12 และ 13

ตาราง 6 ตัวอย่างการติดตั้งแกรม รูป่าง การจัดเรียงตัว ขนาดของแบคทีเรียที่มีประสิทธิภาพในการยับยั้งการเจริญของเชลล์เมร์เร่งดี ได้

| ไอดีเดต | การติดสีแกรม | รูป่าง | การจัดเรียง<br>ตัวของเซลล์ | ความเยาว์<br>(ไมครอน) | ความวัย<br>(ไมครอน) | เดินผ่านชั้นเยื่อคล้ำ<br>(ไมครอน) |
|---------|--------------|--------|----------------------------|-----------------------|---------------------|-----------------------------------|
| MC31    | บวก          | กลม    | ถูกต์                      | -                     | -                   | 1                                 |
| MC52    | บวก          | ห่อ    | เดียว คู่ เส้นสถาบ         | 3                     | 1                   | -                                 |
| MC53    | บวก          | หอน    | เดียว คู่ เส้นสถาบ         | 2                     | 1                   | -                                 |
| MC101   | บวก          | กลม    | คู่                        | -                     | -                   | 1                                 |
| RM11    | บวก          | กลม    | คู่                        | -                     | -                   | 1                                 |
| RM12    | บวก          | หอน    | เดียว คู่ เส้นสถาบ         | 3                     | 1                   | -                                 |
| RM28    | บวก          | หอน    | เดียว คู่ เส้นสถาบ         | 3                     | 1                   | -                                 |



ภาพ 15 ลักษณะการเจริญบนอาหารแข็งชนิด MRS ของแบคทีเรียไอโซเลต MC31 (ก), MC52 (ก), MC53 (ก), MC101 (ก), RM11 (ก), RM12 (ก) และ RM28 (ก)



ภาพ 16 รูป่างและการติดสีแกรมของแบคทีเรียไอโซเลต MC31 (ก), MC52 (ก), MC53 (ก), MC101 (ก), RM11 (ก), RM12 (ก) และ RM28 (ก) ภายใต้กล้องจุลทรรศน์แบบใช้แสง กำลังขยาย 1,000 เท่า

## 5.2 ผลการหาลำดับเบสของ DNA ในส่วนของยีน 16S rRNA

จากการนำแบคทีเรีย 7 ไอโซเลตที่มีประสิทธิภาพในการขับถังเซลล์มะเร็งดีที่สุดมาสกัด DNA โดยชุดสกัด DNA สำเร็จรูป และนำ genomic DNA ที่ได้มาทำ PCR เพื่อเพิ่มจำนวนปริมาณยีน 16S rRNA ที่ลำดับเบสนั้นในตำแหน่ง V<sub>1</sub>-V<sub>3</sub> โดยใช้ universal primer 2 ชนิด คือ 27F และ 520R จากนั้นนำมาตรวจสอบขนาดของชิ้น DNA ของแบคทีเรีย พบร่วม DNA ที่ได้จากการทำ PCR มีขนาดประมาณ 500 คู่เบส และดังภาพ 19 นำ PCR product ที่ได้มาทำให้บริสุทธิ์โดยใช้ TaKaRa SUPREC™-PCR แล้วนำ PCR product ที่บริสุทธินี้ไปหาลำดับเบสของ DNA ในส่วนของยีน 16S rRNA ซึ่งได้ลำดับเบส ดังภาพภาคผนวก 1 ถึงภาคผนวก 14 จากนั้นนำลำดับเบสที่ได้จาก primer 27F และ 520R ของแบคทีเรียแต่ละไอโซเลตไปเทียบกันในโปรแกรม BioEdit ซึ่งได้ลำดับเบสแสดงดังภาพ 20 ถึง 33 นำลำดับเบสที่ได้ไปเทียบความคล้ายจากฐานข้อมูลลำดับเบสใน GenBank โดยใช้โปรแกรม BLAST ได้ผลดังนี้คือแบคทีเรียไอโซเลต MC31 มีลำดับเบสของยีน 16S rRNA ที่คล้ายกับ *Pediococcus pentosaceus* 100 เปอร์เซ็นต์ แบคทีเรียไอโซเลต MC52 มีลำดับเบสของยีน 16S rRNA ที่คล้ายกับ *Lactobacillus salivarius* 99.8 เปอร์เซ็นต์ แบคทีเรียไอโซเลต MC53 มีลำดับเบสของยีน 16S rRNA ที่คล้ายกับ *L. salivarius* 100 เปอร์เซ็นต์ แบคทีเรียไอโซเลต MC101 มีลำดับเบสของยีน 16S rRNA ที่คล้ายกับ *Enterococcus faecium* 99.8 เปอร์เซ็นต์ แบคทีเรียไอโซเลต RM11 มีลำดับเบสของยีน 16S rRNA ที่คล้ายกับ *E. faecium* 99.8 เปอร์เซ็นต์ แบคทีเรียไอโซเลต RM12 มีลำดับเบสของยีน 16S rRNA ที่คล้ายกับ *L. fermentum* 100 เปอร์เซ็นต์ และแบคทีเรียไอโซเลต RM2-8 มีลำดับเบสของยีน 16S rRNA ที่คล้ายกับ *L. fermentum* 99.6 เปอร์เซ็นต์

ตาราง 7 การจัดจำแนกแบคทีเรียโดยการหาลำดับเบสของ DNA ในส่วนของยีน 16S rRNA

| ไอโซไซเดต | แบคทีเรีย                       | Accession number | Identities | % Homology |
|-----------|---------------------------------|------------------|------------|------------|
| MC31      | <i>Pediococcus pentosaceus</i>  | EU082192.1       | 496/496    | 100        |
| MC52      | <i>Lactobacillus salivarius</i> | EU559602.1       | 483/484    | 99.8       |
| MC53      | <i>Lactobacillus salivarius</i> | EU559602.1       | 485/485    | 100        |
| MC101     | <i>Enterococcus faecium</i>     | AB362603.1       | 479/480    | 99.8       |
| RM11      | <i>Enterococcus faecium</i>     | AB362603.1       | 477/478    | 99.8       |
| RM12      | <i>Lactobacillus fermentum</i>  | AP008937.1       | 491/491    | 100        |
| RM28      | <i>Lactobacillus fermentum</i>  | AP008937.1       | 491/493    | 99.6       |

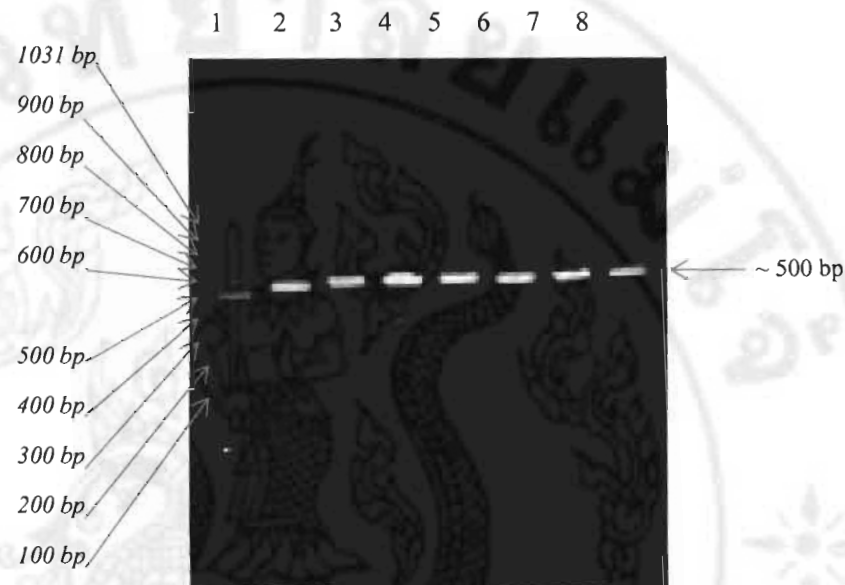
*P. pentosaceus* เป็นแบคทีเรียแกรมบวก รูปร่างกลม มีการจัดเรียงตัวเป็นคู่ 4 เป็น microfrola lactic acid bacteria ที่พบในระบบทางเดินอาหาร สำหรับใหญ่ มีความสำคัญใน อุตสาหกรรมอาหาร เช่น การผลิตเนยแข็ง การหมักแห้ง ในกระบวนการหมักได้กรดแลกติกเป็น ผลิตภัณฑ์หลัก และจุลินทรีย์ชนิดนี้สามารถทนอยู่ในสภาวะที่เป็นกรดได้เป็นอย่างดี (Axelsson, 1998; Garvie, 1986) Garner *et al.* (2004) รายงานว่า *P. pentosaceus* มีกิจกรรมการกระตุ้นระบบ ภูมิคุ้มกัน การยับยั้งเซลล์มะเร็ง และการยับยั้งจุลินทรีย์ชนิดต่าง ๆ

*L. salivarius* เป็นแบคทีเรียแกรมบวก มีรูปร่างท่อน Martin *et al.* (2006) แบก *L. salivarius* จากอุจจาระของเด็กแรกที่มีอายุ 1 เดือน และศึกษาคุณสมบัติพบว่าจุลินทรีย์สายพันธุ์ นี้สามารถครอบชีวิตในระบบทางเดินอาหาร ได้ อีกทั้งยังมีการยึดเกาะกับเซลล์ Caco-2 และ HT-29 ได้เป็นอย่างดี

*E. faecium* เป็นแบคทีเรียแกรมบวก รูปร่างกลม มักพบในลำไส้อวัยวะและสัตว์ และใช้ในผลิตภัณฑ์โปรดไวน์โอดิโกอย่างแพร่หลาย มีคุณสมบัติในการครอบชีวิตในระบบทางเดิน อาหาร ได้และมีกิจกรรมการยับยั้งเชื้อก่อโรคได้หลายชนิด (Stromfova *et al.*, 2004)

*L. fermentum* เป็นแบคทีเรียกลุ่ม LAB มีรูปร่างเป็นแท่งกิ่งกลม มีการจัดเรียงตัวเป็นคู่ หรือเป็นเส้นสาย โคลoni มีขนาดเล็ก ส่วนใหญ่พบในผลิตภัณฑ์อาหารหมักจากพืชและสัตว์ ซึ่ง

*L. fermentum* มีคุณสมบัติเป็นชุลินทรีย์ไปสู่ไบโอดิค มีการประยุกต์ใช้ในการรักษาการติดเชื้อในระบบทางเดินปัสสาวะของผู้หญิง (Gardiner *et al.*, 2002)



ภาพ 17 ขนาดของ DNA ที่ได้จากการทำ PCR ในส่วนของยีน 16S rRNA ที่ตำแหน่งลำดับเบสบริเวณ  $V_1-V_3$

Lane 1 คือ DNA marker

Lane 2 คือ ขนาดของ DNA ที่ได้จากการทำ PCR ของแบคทีเรียไอโซเลต MC31

Lane 3 คือ ขนาดของ DNA ที่ได้จากการทำ PCR ของแบคทีเรียไอโซเลต MC52

Lane 4 คือ ขนาดของ DNA ที่ได้จากการทำ PCR ของแบคทีเรียไอโซเลต MC53

Lane 5 คือ ขนาดของ DNA ที่ได้จากการทำ PCR ของแบคทีเรียไอโซเลต MC101

Lane 6 คือ ขนาดของ DNA ที่ได้จากการทำ PCR ของแบคทีเรียไอโซเลต RM11

Lane 7 คือ ขนาดของ DNA ที่ได้จากการทำ PCR ของแบคทีเรียไอโซเลต RM12

Lane 8 คือ ขนาดของ DNA ที่ได้จากการทำ PCR ของแบคทีเรียไอโซเลต RM28

5'TACCGCGGCGGCTGGCACGTAGTTAGCCGTGGCTATCTGGTAAATACCGTCACT  
 GGGTAAACAGTTACTCTTACCCACGTTCTTAAACAACAGAGCTTACGAGGCCA  
 ACCCTCTTCACTCACGCAGCGTTGCTCCATCAGACTTGCCTCATTGTGGAAGATT  
 CCTACTGCTGCCTCCGTAGGAGTCTGGGCCGTCTCAGTCCAATGTGGCCGATTA  
 CCCTCTCAGGTAGCGCTACGTATCACTGCCTTGGTGAGCCTTACCTCACCAACTAGCT  
 AATACGCCCGGGTCCATCCAGAAGTGAAGCAGAGCCATCTTAAAAGAAAACCA  
 TGCAGTTTCTCTGTTACGGTATTAGCATCTGTTCCAGGTGTTATCCCCACTTCT  
 GGGCAGGTACCCACGTGTTACTCACCGTCCACTCACTCGTTAAAATCTCA  
 ATCAGTACAAGTACGTATAATCAATTACGGAAGTCGTTGACTTCGATGTATTAG  
 GCACGCCGCCAGNCGTTACCTGAGCCAGGATCAAACCTG3'

**ภาพ 18** ลำดับเบสของ DNA ในส่วนของยีน 16S rRNA ของแบคทีเรียไอโซเลต MC31 ที่จะนำไปเทียบความเหมือนใน GenBank ซึ่งได้จากการนำลำดับเบสที่ได้จาก primer 27F และ 520R ไปเทียบกันในโปรแกรม BioEdit

```
>|gb|EU92192.1| Pseudomonas aeruginosa subsp. aeruginosa 2362 16S rRNA partial RNA gene, partial
sequence
Length=523
Score = 499 bits (192), Expect = 0.0
Identities = 496/496 (100%), Dels = 0/496 (0%)
Strands=PQwz/DLuz

Query 2: TCTGGTAAATACGTTACTCGGTAAACAGTACTGCCTTGGTGAGCCTTACCTCACCAACTAGCT 61
Subject 522: TCTGGTAAATACGTTACTCGGTAAACAGTACTGCCTTGGTGAGCCTTACCTCACCAACTAGCT 563

Query 62: AGGGTTACCCACGTGTTACTCACCGTCCACTCACTCGTTAAAATCTCA 162
Subject 462: AGGGTTACCCACGTGTTACTCACCGTCCACTCACTCGTTAAAATCTCA 403

Query 182: CGCTTGCGGATTCACCTGTTACTCGGTAAACAGTACTGCCTTGGTGAGCCTTACCTCACCAACTAGCT 241
Subject 342: CGCTTGCGGATTCACCTGTTACTCGGTAAACAGTACTGCCTTGGTGAGCCTTACCTCACCAACTAGCT 383

Query 242: CGCGAACGTTGTTACGGTAAACAGTACTGCCTTGGTGAGCCTTACCTCACCAACTAGCT 301
Subject 282: CGCGAACGTTGTTACGGTAAACAGTACTGCCTTGGTGAGCCTTACCTCACCAACTAGCT 273

Query 302: GAGAAGACGTTGTTACGGTAAACAGTACTGCCTTGGTGAGCCTTACCTCACCAACTAGCT 361
Subject 222: GAGAAGACGTTGTTACGGTAAACAGTACTGCCTTGGTGAGCCTTACCTCACCAACTAGCT 169

Query 362: CTCTCTCGGCGGTTACGGTAAACAGTACTGCCTTGGTGAGCCTTACCTCACCAACTAGCT 421
Subject 102: CTCTCTCGGCGGTTACGGTAAACAGTACTGCCTTGGTGAGCCTTACCTCACCAACTAGCT 109

Query 422: ACCTGAAATACGTTACTCGGTAAACAGTACTGCCTTGGTGAGCCTTACCTCACCAACTAGCT 481
Subject 102: ACCTGAAATACGTTACTCGGTAAACAGTACTGCCTTGGTGAGCCTTACCTCACCAACTAGCT 43

Query 482: TCTGGTAAATACGTTACTCGGTAAACAGTACTGCCTTGGTGAGCCTTACCTCACCAACTAGCT 487
Subject 42: TCTGGTAAATACGTTACTCGGTAAACAGTACTGCCTTGGTGAGCCTTACCTCACCAACTAGCT 27
```

**ภาพ 19** ชื่อของแบคทีเรียที่มีลำดับเบสคล้ายกับแบคทีเรียไอโซเลต MC31



5'TACCGCGGGCTGCTGGCACGTAGTTAGCCGTGACTTGCTGGTAGATACCGTCATC  
 GAATGAACAGTTACTCTCACTCGTGTCTCTAACAAACAGAGTTTACGATCCGAA  
 GACCTTCTTCACTCACGC GGCGTTGCTCCATCAGACTTGCGTCCATTGTGGAAGATTC  
 CCTACTGCTGCCTCCCGTAGGAGTTGGGCCGTCTCAGTCCAATGTGGCCGATCA  
 ACCTCTCAGTCGGCTACGTATCATCACCTGGTAGGCCGTACCCACCAACTAGTT  
 AATACGCCGCGGGTCCATCTAAAAGCGATAGCAGAACCATCTTCATCTAAGGATCA  
 TCGGATCCTAGAGATATACGGTATTAGCACCTGTTCCAAGTGTATCCCCTTT  
 AGGCAGGTTACCCACGTGTTACTCACCGTCCGCCACTCAACTTCTTACGGTGAATGC  
 AACGCATTGGTGTAAAGAAAGTTCGTCACTGCATGTATTAGGCACGCCGATG  
 CGTTCGTCCTGAGCCAGGTAAACAAAACAAA3'

ภาพ 22 ลำดับเบสของ DNA ในส่วนของยีน 16S rRNA ของแบคทีเรียไอโซเลต MC53 ที่จะนำไป  
 เพิ่มความเหมือนใน GenBank ซึ่งได้จากการนำลำดับเบสที่ได้จาก primer 27F และ 520R  
 ไปเพิ่มกันในโปรแกรม BioEdit

```
>MC53_16S_rRNA_Lactobacillus_brevioris_strain_MC53_16S_rRNA_Gene.  

partial sequence  

length=1445  

Score = 375 bits (93%), Expect = 0.0  

Similarities = 102/145 (70%), Gaps = 0/145 (0%)  

Strand=Plus, Mismatches  

Query 0 ACTTCTGTTAGATACCGTGTACCTGGTAGGCCGTACCCACCAACTAGTT 67  

Subject 514 TACTTCTGTTAGATACCGTGTACCTGGTAGGCCGTACCCACCAACTAGTT 67  

Query 61 CACCGAGTTTACGATAGCAGAACCATCTTCATCTAAGGATCA 121  

Subject 486 CACCGAGTTTACGATAGCAGAACCATCTTCATCTAAGGATCA 121  

Query 121 GCGCCATTCTGGACAGTGTACCTGGTAGGCCGTACCCACCAACTAGTT 181  

Subject 395 GCGCCATTCTGGACAGTGTACCTGGTAGGCCGTACCCACCAACTAGTT 181  

Query 181 TCGGATCCTAGAGATATACGGTATTAGCACCTGTTCCAAGTGTATCCCCTTT 239  

Subject 356 TCGGATCCTAGAGATATACGGTATTAGCACCTGTTCCAAGTGTATCCCCTTT 239  

Query 241 AGGCCGCGGGTCCATCTAAAAGCGATAGCAGAACCATCTTCATCTAAGGATCA 309  

Subject 326 AGGCCGCGGGTCCATCTAAAAGCGATAGCAGAACCATCTTCATCTAAGGATCA 309  

Query 301 GATCGCGGGTCCATCTAAAAGCGATAGCAGAACCATCTTCATCTAAGGATCA 369  

Subject 216 GATCGCGGGTCCATCTAAAAGCGATAGCAGAACCATCTTCATCTAAGGATCA 369  

Query 361 TCGGATCCTAGAGATATACGGTATTAGCACCTGTTCCAAGTGTATCCCCTTT 439  

Subject 186 TCGGATCCTAGAGATATACGGTATTAGCACCTGTTCCAAGTGTATCCCCTTT 439  

Query 421 GCGCCATTCTGGACAGTGTACCTGGTAGGCCGTACCCACCAACTAGTT 499  

Subject 96 GCGCCATTCTGGACAGTGTACCTGGTAGGCCGTACCCACCAACTAGTT 499  

Query 581 CGCGCA 565  

Subject 36 CGCGCA 565
```

ภาพ 23 ชื่อของแบคทีเรียที่มีลำดับเบสคล้ายกับแบคทีเรียไอโซเลต MC53

5'TACCGCGGCCTGCTGGCACGTAGTTAGCCGTGGCTTCTGGTCAGATACCGTCAAG  
 GGATGAACAGTTACTCTCATCCTTGTCTTCTTAACAACACAGAGTTTACGATCCGAA  
 AACCTTCTCACTCACGCCGTTGCTCGGTAGACTTCTGTCATTGCCAAGATT  
 CCTACTGCTGCCTCCCGTAGGAGTTGGCCGTGTCAGTCCAATGTGGCCGATCA  
 CCCTCTCAGGTGGCTATGCATCGTGGCCTGGTGAGCCGTTACCTCACCAACTAGCT  
 AATGCACCGCGGGTCCATCCATCAGCGACACCCGAAAGCGCCTTCAAATCAAAACC  
 ATGCGGTTTCGATTGTTACGGTATTAGCACCTGTTCCAAGTGTATCCCCTCTG  
 ATGGGCAGGTTACCCACGTGTTACTCACCGTCCACTCTTCTTCCGGTGGAG  
 CAAGCTCCGGTGGAAAAAGAACGCTACGACTGATGTATTAGGCACGCCGCNAG  
 CGTTCGTCCTGAGCCAGGATCAAACCTG3'

ภาพ 24 ลำดับเบสของ DNA ในส่วนของยีน 16S rRNA ของแบคทีเรียไอโซเลต MC101 ที่จะนำไปเทียบความเหมือนใน GenBank ซึ่งได้จากการนำลำดับเบสที่ได้จาก primer 27F และ 520R ไปเทียบกันในโปรแกรม BioEdit

```
>|AB36805.1| Enterococcus faecium gene for 16S rRNA, partial sequence, strain:  

  NRIC 0114  

  Length=1555  

  Score = 861 bits (854), Expect = 0.0  

  Identities = 479/480 (99%), Gaps = 0/480 (0%)  

  Strand=Plus/Minus  

  Query 1 CTTCTGTTCAATACCGTGGGTTAAACATTTACTCTCATCCTTCTGGCAGC 40  

  Subject 512 CTTCTGTTCAATACCGTGGGTTAAACATTTACTCTCATCCTTCTGGCAGC 453  

  Query 41 AACAGNNTTTACGATCCGAAACGTTCTTCACTCACGCGGGGTTGGCTGAACTTT 122  

  Subject 452 AACAGNNTTTACGATCCGAAACGTTCTTCACTCACGCGGGGTTGGCTGAACTTT 163  

  Query 131 CCGCCATTCGGGAGATTCTTGTTCTGGCTGGCTGAGTTCTGGCTGAACTTT 180  

  Subject 392 CCGCCATTCGGGAGATTCTTGTTCTGGCTGGCTGAGTTCTGGCTGAACTTT 331  

  Query 181 CGGAACTGCGGCGATCGCTTCAGCTCGGGTTATCGCTGGCTGGCTGAACTTT 340  

  Subject 332 CGGAACTGCGGCGATCGCTTCAGCTTCAGCTGGCTGGCTGGCTGAACTTT 473  

  Query 291 CGTACGCGTACGCTGAAACGCGGGGTTGGCTGGCTGGCTGGCTGAACTTT 500  

  Subject 272 CGTACGCGTACGCTGAAACGCGGGGTTGGCTGGCTGGCTGGCTGGCTGAACTTT 613  

  Query 301 CGAACTGAAACGATGGGGTTGGCTGGCTGGCTGGCTGGCTGGCTGAACTTT 540  

  Subject 212 CGAACTGAAACGATGGGGTTGGCTGGCTGGCTGGCTGGCTGGCTGAACTTT 683  

  Query 361 TGGCGGCGTGGCTGGCTGGCTGGCTGGCTGGCTGGCTGGCTGGCTGGCTGAACTTT 620  

  Subject 152 TGGCGGCGTGGCTGGCTGGCTGGCTGGCTGGCTGGCTGGCTGGCTGGCTGAACTTT 793  

  Query 421 CGGTGGGGAACTTGGGGAAAAAGGGCGCTGAACTGGCTGGCTGGCTGGCTGAACTTT 650  

  Subject 62 CGGTGGGGAACTTGGGGAAAAAGGGCGCTGAACTGGCTGGCTGGCTGGCTGAACTTT 793
```

ภาพ 25 ชื่อของแบคทีเรียที่มีลำดับเบสคล้ายกับแบคทีเรียไอโซเลต MC101

5'ACCGCGGCCGGCTGGCACGTAGTTAGCCGTGGCTTCTGGTTAGATACCGTCAAGGG  
 ATGAACAGTTACTCTCATCCTTGTCTTCTCTAACAAACAGAGAGTTACGATCCGAAAAA  
 CCTTCTTCACTCACGCCGGCTGCTCGGTAGACTTCGTCCATTGCCAAGATTCCC  
 TACTGCTGCCTCCCGTAGGAGTTGGGCCGTGTCTCAGTCCAATGTGGCCGATCACC  
 CTCTCAGGTCGGCTATGCATCGTGGCCTGGTGAGCCGTTACCTCACCAACTAGCTAA  
 TGCACCGCGGGTCCATCCATCAGCGACACCCGAAAGGCCCTTCAAATCAAAACCAT  
 GCGGTTTCGATTGTTACCGTATTAGCACCTGTTCCAAGTGTATCCCCCTGTGAT  
 GGGCAGGTTACCCACGTGTACTCACCGTTCGCCACTCTTCTTTCCGGTGGAGCA  
 AGCTCCGGTGGAAAAAGAACGTAACGACTTGCATGTATTAGGCACCCGCCAGCGTT  
 CGTCCTGAGCCAGGTCCAAACTCTGA3'

ภาพ 26 ลำดับเบสของ DNA ในส่วนของยีน 16S rRNA ของแบคทีเรียไอโซเลต RM11 ที่จะนำไปเทียบความเหมือนใน GenBank ซึ่งได้จากการนำลำดับเบสที่ได้จากการนำร่องด้วย primer 27F และ 520R ไปเทียบกันในโปรแกรม BioEdit

```
>|db1|AB362609.1| Enterococcus faecium gene for 16S rRNA, partial sequence, strain:  

  NCC 3114  

  Length=1685  

  Score = 657 bits (950), Expect = 0.0  

  Identities = 477/478 (99%), Gaps = 0/478 (0%)  

  Strand=Plus/Minus  

  Query 1 TCTGGTTAGATAACCGTCAAGGCATTAACACATTCTCATCCCTGGTCTCTAACAAAC 60  

  Subject 509 TCTGGTTAGATAACCGTCAAGGCATTAACACATTCTCATCCCTGGTCTCTAACAAAC 450  

  Query 61 AGAGTTTACGATCCGAAACCTTCTTCACTCACGCCGTTGCTGGGTCAAGACTTCGT 120  

  Subject 449 AGAGTTTACGATCCGAAACCTTCTTCACTCACGCCGTTGCTGGGTCAAGACTTCGT 390  

  Query 121 CCATGGCCGAAAGATTCGTTACTGCTGGCTCCATGATGTTGGCGGCGGTTCTTACGCG 160  

  Subject 319 CCATGGCCGAAAGATTCGTTACTGCTGGCTCCATGATGTTGGCGGCGGTTCTTACGCG 330  

  Query 181 ATATGTGGCGGATACCGCTCTCGGGCGGCTATGCTGCTGCTGGTGGCGGTTACGCG 240  

  Subject 329 AATATGTGGCGGATACCGCTCTCGGGCGGCTATGCTGCTGCTGGTGGCGGTTACGCG 370  

  Query 241 CACCAACTAGATTAATGCAACCGGGGTCACCGCATGAGGACACCCGAAAGCGGTTTCAA 300  

  Subject 269 CACCAACTAGATTAATGCAACCGGGGTCACCGCATGAGGACACCCGAAAGCGGTTTCAA 210  

  Query 301 ATCAAAAACCATGCGGTTTCGATGTTATAACGGTTATTATGCAACCTGGTCAAGTGTTCAG 360  

  Subject 209 ATCAAAAACCATGCGGTTTCGATGTTATAACGGTTATTATGCAACCTGGTCAAGTGTTCAG 150  

  Query 361 CCTTCTGATGGCGGGTTAACGCTGGTTACTCACCGTTCGCGGCTATCTTGGCG 420  

  Subject 149 CCTTCTGATGGCGGGTTAACGCTGGTTACTCACCGTTCGCGGCTATCTTGGCG 90  

  Query 421 TCGAAGCAACGTCGCGGTTAACGCGGCTACGCTGGTTACTCACCGTTCGCGGCTATCTTGGCG 470  

  Subject 19 TCGAAGCAACGTCGCGGTTAACGCGGCTACGCTGGTTACTCACCGTTCGCGGCTATCTTGGCG 12
```

ภาพ 27 ชื่อของแบคทีเรียที่มีลำดับเบสคล้ายกับแบคทีเรียไอโซเลต RM11

5'TACCGCGGCCGGCTGGCACGTAGTTAGCCGTGACTTCTGGTAAATACCGTCAAC  
 GGATGAACAGTTACTCTACGTGTTCTCTAACAACAGAGCTTACGAGCCGAA  
 AACCTTCTCACTCACGCCGTTGCTCCATCAGACTTGCGCCATTGCCGAAGATT  
 CCTACTGCTGCCTCCCGTAGGAGTATGGGCCGTCTCAGTCCAATGTGGCCGATCA  
 CCCTCTCAACTCGGCTATGCATCATGCCCTGGTGAGGCCGTTACCCCACCAACAAGC  
 TAATGCACCGCAGGTCCATCCAGAAGCGACACCCGAGAAGCGCATTTCAAATCAA  
 AACTCATGCGAACAAACGATTGTTACGGTATTAGCACCTGTTCAAATGTTATCCC  
 CCGCTTCTGATGGGCAGGTTACCCACGTGTTACTCACCCGTCCGCCACTCGTGGCGA  
 CCAAAATCAATCAGGTGGAGCAAGCACCAAGTCGAATCAATAGGGCAACCGTACG  
 ACTTGCATGTATTAGGCAANCNCCGCCAGCGTCTGAGCCAGGTCCAAACTC  
 TGA3'

ภาพ 28 ลำดับเบสของ DNA ในส่วนของยีน 16S rRNA ของแบคทีเรียไอโซเลต RM12 ที่จะนำไปเทียบความเหมือนใน GenBank ซึ่งได้จากการนำลำดับเบสที่ได้จาก primer 27F และ 520R ไปเทียบกันในโปรแกรม BioEdit

```
>  AP003927.1  Lactobacillus fermentum 16S rRNA, complete genome  

Length=2095685

Score = 89% match (3821), Expect = 0.0  

Viterations = 451/500 (0.90%), Steps = 21652 (0.00)  

Start end: 58-588685
```

```
Query: 1   GCTGGCGGCCGGCTGGCACGTAGTTAGCCGTGACTTCTGGTAAATACCGTCAAC  

          GGATGAACAGTTACTCTACGTGTTCTCTAACAACAGAGCTTACGAGCCGAA  

          AACCTTCTCACTCACGCCGTTGCTCCATCAGACTTGCGCCATTGCCGAAGATT  

          CCTACTGCTGCCTCCCGTAGGAGTATGGGCCGTCTCAGTCCAATGTGGCCGATCA  

          CCCTCTCAACTCGGCTATGCATCATGCCCTGGTGAGGCCGTTACCCCACCAACAAGC  

          TAATGCACCGCAGGTCCATCCAGAAGCGACACCCGAGAAGCGCATTTCAAATCAA  

          AACTCATGCGAACAAACGATTGTTACGGTATTAGCACCTGTTCAAATGTTATCCC  

          CCGCTTCTGATGGGCAGGTTACCCACGTGTTACTCACCCGTCCGCCACTCGTGGCGA  

          CCAAAATCAATCAGGTGGAGCAAGCACCAAGTCGAATCAATAGGGCAACCGTACG  

          ACTTGCATGTATTAGGCAANCNCCGCCAGCGTCTGAGCCAGGTCCAAACTC  

          TGA3'
```

ภาพ 29 ชื่อของแบคทีเรียที่มีลำดับเบสคล้ายกับแบคทีเรียไอโซเลต RM12

5'ACCGCGGCCGGTGGCACGTAGTTAGCCGTACTTATCTGGTAAATACCGTCAACG  
 TATGAACAGTTACTCTCATCGTGTCTTAAACAACAGAGCTTACGAGCCGAAA  
 CCCTTCTTCACTCACGCAGGTGTTGCTCCATCAGGCTTGCGCCCATTGTGGAAGATTCC  
 CTACTGCTGCCTCCGTAGGAGTATGGGCCGTCTCAGTCCCATTGTGCCGATCAG  
 TCTCTCAACTCGGCTATGCATCATGCCTGGTAGGCCATTACCCACCAACAAGCTA  
 ATGCACCGCAGGTCCATCCAGAACGTGATAGCGAGAACGCATTTAACGCGTTTC  
 ATGCGAACAAACGTTATGCGGTATTAGCATCTGTTCAAATGTTGTCCCCCGCTT  
 CTGGGCAGGTTACCTACGTGTACTCACCGTCCGCACTCGTGGCACCAAAATCT  
 ATCAGGTGCAAGCACCATCAATCAATTGGGCCAACCGCGTCACTTGCATGTATTAG  
 GCACACCCCCCGGGCGTTCATCCTGAACCAGGATAAAAACATAATGA3'

ภาพ 30 ลำดับเบสของ DNA ในส่วนของยีน 16S rRNA ของแบคทีเรียโโซเลต RM28 ที่จะนำไปเทียบความเหมือนใน GenBank ซึ่งได้จากการนำลำดับเบสนี้ที่ได้จาก primer 27F และ 520R ไปเทียบกันในโปรแกรม BioEdit

```
> CH1AEC05837_16S Lactobacillus fermentum IFO 3984 DNA, complete genome
Length=2035623

Features in this part of subject sequence:
  16S_rRNA_rRNA_16S

Score = -851 bits (97%), Expect = 1.0
Identifier = 431-434 (99%), Gap = 1-993 (0%)
 Strand=Plus/Unknown

Query  2      GCTGGTAAATACCGTCAACGTTATCTGGTAAATACCGTCAACG  61
Subject 274026 GCTGGTAAATACCGTCAACGTTATCTGGTAAATACCGTCAACG  273964
Query  62     AAGCGTGTCTCCGTAGGAGTATGGGCCGTCTCAGTCCCATTGTGCCG  121
Subject 378623 AAGCGTGTCTCCGTAGGAGTATGGGCCGTCTCAGTCCCATTGTGCCG  273964
Query  112    CGATTTGGCAACGTTATGCGGTATTAGCATCTGTTCAAATGTTGTCC  18,
Subject 271951 CGATTTGGCAACGTTATGCGGTATTAGCATCTGTTCAAATGTTGTCC  273964
Query  113    GCTGGTAAATACCGTCAACGTTATCTGGTAAATACCGTCAACG  221
Subject 271945 GCTGGTAAATACCGTCAACGTTATCTGGTAAATACCGTCAACG  273964
Query  219    GATGAAAGCTTAATGCGGTATTAGCATCTGTTCAAATGTTGTCC  101
Subject 273741 GATGAAAGCTTAATGCGGTATTAGCATCTGTTCAAATGTTGTCC  273964
Query  314    AGCGTGTCTCCGTAGGAGTATGGGCCGTCTCAGTCCCATTGTGCC  581
Subject 271919 AGCGTGTCTCCGTAGGAGTATGGGCCGTCTCAGTCCCATTGTGCC  273964
Query  322    CGATTTGGCAACGTTATGCGGTATTAGCATCTGTTCAAATGTTGTCC  52,
Subject 273669 CGATTTGGCAACGTTATGCGGTATTAGCATCTGTTCAAATGTTGTCC  273964
Query  412    AAGCGTGTCTCCGTAGGAGTATGGGCCGTCTCAGTCCCATTGTGCC  52,
Subject 273603 AAGCGTGTCTCCGTAGGAGTATGGGCCGTCTCAGTCCCATTGTGCC  273964
Query  413    CGATTTGGCAACGTTATGCGGTATTAGCATCTGTTCAAATGTTGTCC  494
Subject 273606 CGATTTGGCAACGTTATGCGGTATTAGCATCTGTTCAAATGTTGTCC  273964
```

ภาพ 31 ชื่อของแบคทีเรียที่มีลำดับเบสคล้ายกับแบคทีเรียโโซเลต RM28

## บทที่ 5

### สรุปผลการทดลอง

1. การคัดแยกแบคทีเรียจากน้ำลกรากและน้ำนมหมัก ได้แบคทีเรียแกรมบวกรวมทั้งหมด 137 ไอโซเลต เป็นรูปร่างทรงท่อน 18 ไอโซเลต และรูปร่างกลม 119 ไอโซเลต เมื่อนำแบคทีเรียทั้งหมดมาทดสอบคุณสมบัติในการเป็นโปรไบโอติกได้แก่ ความสามารถในการขับยั้งเชื้อ ก่อโรค (*Helicobacter pylori, Escherichia coli, Salmonella typhimurium, Salmonella enteritidis, Staphylococcus aureus, Bacillus cereus, Listeria monocytogenes, และ Vibrio cholera*) ความสามารถในการทนต่อสภาพความเป็นกรด pH 2.5 ความสามารถในการทนต่อเกลือน้ำดี 0.3 เปอร์เซ็นต์ กิจกรรมการย่อยสลายเม็ดเลือดแดง คุณสมบัติการดื้อยาปฏิชีวนะ และวิธีการทดสอบคุณสมบัติที่ดี 20 ไอโซเลต มาทดสอบประสิทธิภาพการขับยั้งการเจริญของเซลล์มะเร็งลำไส้โดยวิธี MTT assay

2. การทดสอบประสิทธิภาพการขับยั้งการเจริญของเซลล์มะเร็งลำไส้โดยวิธี MTT assay ได้ทำการคัดเลือกแบคทีเรียที่มีคุณสมบัติดีที่สุด 7 ไอโซเลต คือ MC53, MC31, RM28, MC52, MC101, RM11 และ RM12 ซึ่งมีประสิทธิภาพการขับยั้งการเจริญของเซลล์มะเร็งลำไส้ดังนี้คือ 35, 29, 23, 21, 18, 16 และ 14 ตามลำดับ จากนั้นนำแบคทีเรียทั้ง 7 ไอโซเลตมาเย็บบนประสิทธิภาพของการขับยั้งการเจริญของเซลล์มะเร็งลำไส้โดยวิธี Trypan Blue exclusion พบร้าเมื่อบาบ cultered medium ของแบคทีเรียร่วมกับเซลล์มะเร็งลำไส้เป็นเวลา 24 ชั่วโมง แบคทีเรียไอโซเลต MC53 มีประสิทธิภาพการขับยั้งการเจริญของเซลล์มะเร็งสูงสุดคือ 39 เปอร์เซ็นต์ เมื่อบาบตัวเซลล์ของแบคทีเรีย (live whole cell) พบร้าแบคทีเรียไอโซเลต MC31 มีประสิทธิภาพการขับยั้งเซลล์มะเร็งสูงสุดคือ 34 เปอร์เซ็นต์ และเมื่อบาบตัวเป็นเวลา 48 ชั่วโมง แบคทีเรียไอโซเลต MC31 มีประสิทธิภาพการขับยั้งเซลล์มะเร็งสูงสุดคือ 45 เปอร์เซ็นต์ อีกทั้งแบคทีเรียทั้ง 7 ไอโซเลตนี้ยังมีประสิทธิภาพการยึดเกาะกับเซลล์ Caco-2 ได้ดีอีกด้วย

3. การจัดจำแนกสายพันธุ์แบคทีเรีย 7 ไอโซเลตดังนี้ MC31, MC52, MC53, MC101, RM11, RM12 และ RM28 โดยทำการหาลำดับเบสของดีเอ็นเอในส่วน 16S rRNA พบร้าแบคทีเรียไอโซเลต MC31 มีลำดับเบสของยีน 16S rRNA ที่คล้ายกับ *P. pentosaceus* 100 เปอร์เซ็นต์

แบคทีเรียไอโซเลต MC52 มีลำดับเบสของยีน 16S rRNA ที่คล้ายกับ *L. salivarius* 99.8 เปอร์เซ็นต์ แบคทีเรียไอโซเลต MC53 มีลำดับเบสของยีน 16S rRNA ที่คล้ายกับ *L. salivarius* 100 เปอร์เซ็นต์ แบคทีเรียไอโซเลต MC101 มีลำดับเบสของยีน 16S rRNA ที่คล้ายกับ *E. faecium* 99.8 เปอร์เซ็นต์ แบคทีเรียไอโซเลต RM11 มีลำดับเบสของยีน 16S rRNA ที่คล้ายกับ *E. faecium* 99.8 เปอร์เซ็นต์ แบคทีเรียไอโซเลต RM12 มีลำดับเบสของยีน 16S rRNA ที่คล้ายกับ *L. fermentum* 100 เปอร์เซ็นต์ และแบคทีเรียไอโซเลต RM2-8 มีลำดับเบสของยีน 16S rRNA ที่คล้ายกับ *L. fermentum* 99.6 เปอร์เซ็นต์

ในการศึกษานี้พบว่าแบคทีเรีย 7 ไอโซเลตคือ MC31, MC52, MC53, MC101, RM11, RM12 และ RM28 มีคุณสมบัติเหมาะสมเพื่อประยุกต์ใช้เป็นโพรไบโอติกแบคทีเรียที่มีประสิทธิภาพในการยับยั้งการเจริญของเชลล์มะเร็งลำไส้ได้ ซึ่งอาจนำไปใช้ประโยชน์ในรูปของ เชลล์แบคทีเรียหรือนำแบคทีเรียไปใช้ในผลิตภัณฑ์อาหารหมักต่าง ๆ ได้

#### ข้อเสนอแนะ

จากการคัดเลือกโพรไบโอติกแบคทีเรียที่มีประสิทธิภาพในการยับยั้งการเจริญของ เชลล์มะเร็งลำไส้มีข้อเสนอแนะว่าควรทำการศึกษาเพิ่มเติมดังนี้

1. ควรมีการศึกษาประสิทธิภาพการยับยั้งการเจริญของเชลล์มะเร็งลำไส้ด้วยวิธีการ อื่น ๆ เพิ่มเติม เช่น การตรวจรูปสัณฐานของเชลล์ การตรวจการแตกหักของดีอีนเอ เป็นต้น
2. ควรมีการศึกษาเพิ่มเติมเกี่ยวกับประสิทธิภาพของการยับยั้งการเจริญของ เชลล์มะเร็งชนิดอื่น ๆ เช่น เชลล์มะเร็งกระเพาะอาหาร เชลล์มะเร็งตับ เป็นต้น
3. ควรมีการศึกษาการนำแบคทีเรียไปใช้ในรูปแบบต่าง ๆ อาจเป็นในรูปของตัวเชลล์ แบคทีเรีย หรือนำประยุกต์ใช้ในผลิตภัณฑ์อาหารหมักต่าง ๆ

## บรรณานุกรม

อมรชัย หาญพุ่งธรรมะ. 2542. มะเร็งลำไส้ใหญ่. *นิตยสารวิทยาศาสตร์* 23(10):48-50

Alam, M., T. Midtvedt, and A. Uribe. 1994. Differential cell kinetics in the ileum and colon of germfree rats. *J. Gastroenterol.* 29: 445-451.

Alak, J.I., B.W. Wolf, E.G. Mduruwa, G.E. Pimentel-Smith, and O. Adeyemo. 1997. Effect of *Lactobacillus reuteri* on intestinal resistance to cryptosporidium parvum infection in a murine model of acquired immunodeficiency syndrome. *J. Infect. Dis.* 175: 218-221.

Axelsson, L. 1998. Lactic acid bacteria: classification and physiology. *New York: Marcel Dekker.* 1-72.

Ann, C., J.T. Michael, J.C. Cari, L. Marjorie, J.J. Eric , W.D. Flanders, R. Carmen , S. Rashmi, and E.C. Eugenia. 2005. Meat consumption and risk of colorectal cancer. *JAMA.* 293: 172-182 .

Araci, M., B. Bilgin , O. Sagdic, and C. Ozdemir. 2004. Some characteristics of *Lactobacillus* isolates from infant faeces. *Food Microbiol.* 21(1): 19-24.

Arihara, K., H. Ota, M. Itoh, Y. Kondo, T. Sameshima, H. Yamanaha, M. Akimoto, S. Kanai and T. Miki. 1998. *Lactobacillus acidophilus* group lactic acid bacteria applied to meat fermentation. *J. Food. Sci.* 63(3): 544-547.

Arimochi H., T. Kinouchi, K. Kataoka *et al.* 1997. Effect of intestinal bacteria on formation of azoxymethaneinduced aberrant crypt foci in the rat colon. *Biochem. Biophys. Res. Commun.* 238: 753–757.

Ashe, P.C., and D.M., Berry. 2003. Apoptotic signaling cascades. *Prog. Neuropsychopharmacol. Biol. Psychiatry.* 12(2): 199-214.

Ayebo, A.D., I.A. Angelo and K.M. Shahani. 1980. Effect of ingesting *Lactobacillus acidophilus* milk upon fecal flora and enzyme activity in humans. *Milchwissenschaft.* 35: 730–733.

- Aysun, C. and G. Candan. 2003. Properties of potential probiotic *Lactobacillus plantarum* strains. **Food. Microbiol.** 20: 511-518.
- Bai J., and A.J. Odin. 2003. Apoptosis and the liver: relation to autoimmunity and related conditions. **Autoimmun. Rev.** 2(1): 36-42.
- Baricault, L., G. Denariaz, J-J Houri, *et al.* 1995. Use of HT-29, a cultured human colon cancer cell line, to study the effect of fermented milks on colon cancer cell growth and differentiation. **Carcinogenesis.** 16: 245-252.
- Begley, M., C.G.M. Gahan, and C. Hill. 2005. The interaction between bacteria and bile. **FEMS Microbiol. Rev.** 29: 625-651.
- Begley, M., C. Hill and G.C. Gahan. 2006. Bile salt hydrolase activity in probiotics. **Appl. Environ. Microbiol.** 72: 1729-1738.
- Bernet, M.F., D. Brassart, J.R. Neeser, and A.L. Servin. 1994. *Lactobacillus acidophilus* LA1 binds to cultured human intestinal cell lines and inhibit cell attachment and cell invasion by enterovirulent bacteria. **Gut.** 35: 483-489.
- Bengmark, S., and L. Gianotti. 1996. Nutritional support to prevent and treat multiple organ failure. **World J. Surg.** 20: 474-481.
- Bengmark, S. 1996. Econutrition and health maintenance: a new concept to prevent inflammation, ulceration and sepsis. **Clin. Nutr.** 15: 1-10.
- Blomberg, L., A. Henriksson and L.P. Conway. 1993. Inhibition of adhesion of *Escherichia coli* K88 to piglet ileal mucus by *Lactobacillus* spp. **Appl Environ. Microbiol.** 59: 34-39.
- Blount, B.C., M.M. Mack, C. Wehr, J. MacGregor, R. Hiatt, G. Wang, S.N. Wickramasinghe , R. B. Everson, and B. N Ames. 1997. Folate deficiency causes uracil misincorporation into human DNA and chromosome breakage: Implications for cancer and neuronal damage. **Proc. Natl. Acad. Sci. USA.** 94: 3290-3295.

- Bras M., B. Queenan, and A. Susin. 2005. Programmed cell death via mitochondria: different models of dying. **Biochemistry.** 70(2): 284-293.
- Brennan, M., B. Wanismail, and B. Ray. 1993. Prevalence of viable *Lactobacillus acidophilus* in dried commercial products. **J. Food Prot.** 46: 887-892.
- Brian, C.C., J. Bu-Tian, D. Qi, G. Gloria, K.M. Joseph, G. Yu-Tang , F.F. Joseph, and C. Wong-Ho. 2003. Dietary Factors and Risk of Colon Cancer in Shanghai, China. **Cancer. Epidemi. Biomar.** 12: 201-208.
- Bruce, W.R. 1987. Recent hypotheses for the origin of colon cancer. **Cancer Res.** 47: 4237-4242.
- Bruni, M.E.C. and T.J. Montville. 1993. Common mechanistic action of bacteriocins from lactic acid bacteria. **Appl. Environ. Microbiol.** 59(9): 3003-3010.
- Bingham, S.A. 1999. High-meat diets and cancer risk. **Proc. Nutr. Soc.** 58: 243-248.
- Booth, I. R. 1985. Regulation of cytoplasmic pH in bacteria. **Microbiol. Rev.** 49: 359-378.
- Byczkowski, J. and T. Gessner, T. 1988. Biological role of superoxide ion-radical. **Int. J. Biochem.** 20: 569-580.
- Carey, M.C., and W.C. Duane. 1994. Enterohepatic circulation. **Raven. Press.** 719-738.
- Cebra, J.J., S.B. Periwal, G. Lee, F. Lee, and K.E. Shroff. 1998. Development and maintenance of the gut-associated lymphoid tissue (GALT): the roles of enteric bacteria and viruses. **Dev. Immunol.** 6: 13-8.
- Chateau, N., M.A. Deschamps, and H.A. Sassi. 1994. Heterogenetly of bile salt resistance in the *Lactobacillus* isolates of a probiotic consortium. **Lett. Appl. Microbiol.** 18: 42-44.
- Challa, A., D.R. Rao, C.B. Chawan and L. Shackelford. 1997. *Bifidobacterium longum* and lactulose suppress azoxymethane-induced colonic aberrant crypt foci in rats. **Carcinogenesis.** 18: 517-521.
- Charteris, W.P., M.P. Kelly, L. Morelli, K.J. Collins. 1998. Antibiotic susceptibility of potentially probiotic *Lactobacillus* species. **J. Food Prot.** 61: 1636-1643.

- Chukeatirote, E. 2003. Potential use of probiotics Songklanakarin. **J. Sci. Technol.** 25(2): 275-282.
- Clarke N., P. Germain, L. Altucci, and H. Gronemeyer. 2004. Retinoids: potential in cancer prevention and therapy. **Expert. Rev. Mol. Med.** 6(25): 1-23.
- Cremonini, F., F. Canducci, S. Di Caro, L. Santarelli, A. Armuzzi, G. Gasbarrini, *et al.* 2001. *Helicobacter pylori* treatment: a role of probiotics? **Dig Dis.** 19: 144-147.
- Collado, C.M., J. Meriluoto, and S. Salminen. 2006. In vitro analysis of probiotic strain combinations to inhibit pathogen adhesion to human intestinal mucus. **Food. Res. Int.** 40: 629-636.
- Coppola, R., M. Nanni, M. Iorizzo, A. Sorrentino, E. Sorrentino, and L. Grazia. 1997. Survey of lactic acid bacteria isolated during the advanced stages of the ripening of Parmigiano Reggiano cheese. **J. Dairy Res.** 64: 305-310.
- Conly, J.M., K. Stein, L. Worobetz, and S. Rutledge-Harding. 1994. The contribution of vitamin K2 (metaquinones) produced by the intestinal microflora to human nutritional requirements for vitamin K. **Am. J. Gastroenterol.** 89: 915-923.
- Conway, P.L., L. S. Corback, and R.B. Glodin. 1987. Survival of lactic acid bacteria in the human stomach and adhesion to intestinal cell. **J. Dairy Sci.** 70: 1-20.
- Cummings, J.H., E.W. Pomare, W.J. Branch, C.P. Naylor, and G.T. Mac. 1987. Short chain fatty acids in human large intestine, portal, hepatic and venous blood. **Gut.** 28: 1221-1227.
- Cunningham-Rundles, S., S. Bengmark , R. Johann-Liang, F. Marshall , L. Metakis, C. Califano, *et al.* 2000. Probiotics and immune response. **Am. J. Gastroenterol.** 95(Suppl): S22-S5.
- De Smet, I., L. Hoorde, M.V. Woestyne, H. Christians, W. Verstrate. 1995. Significance of bile salt hydrolytic activities of lactobacilli. **J. Appl. Bacteriol.** 79: 292- 301.

- De Thonel A., and E.J. Eriksson. 2005. Regulation of death receptors-relevance in cancer therapies. **Toxicol. Appl. Pharmacol.** 207(2): 123-132.
- Desagher S., and C.J. Martinou. 2000. Mitochondria as the central control point of apoptosis. **Trends. Cell. Biol.** 10(9): 369-377.
- Drasar, B.S. and M.J. 1974. Hill, Human Intestinal Flora. **Academic Press Inc.**
- Elmer, G.W., C.M. Surawitz, and L.V. Mc Farland. 1996. Biotherapeutic agents: a neglected modality for the treatment of selected intestinal and vaginal infection. **JAMA.** 275: 870-876.
- Erkkila, S. and E. Petaja. 2000. Screening of commercial meat starter culture at low pH in the presence of bile salt for potential probiotic use. **J. Meat Science.** 55: 297-300.
- Ewaschuk, B.J., J. W. Walker, H. Diaz, and K. L. Madsen. 2006. Bioproduction of Conjugated Linoleic Acid by Probiotic Bacteria Occurs In Vitro and In Vivo in Mice. **J. nutr.** 1483-1487.
- Fang, W-F and H.W. Strobel. 1987. Activation of carcinogens and mutagens by rat colon mucosa. **Cancer Res.** 38: 2939–2944.
- Gagnon, M., E.E. Kheadr, G.E. Blay, and I. Fliss. 2004. In vitro inhibition of *Escherichia coli* O157:H7 by bifidobacterial strains of human origin. **Int. J. Food Microbiol.** 92 : 69-78.
- Fearon, E.R. and B. Vogelstein. 1990. A genetic model for colorectal tumorigenesis. **Cell.** 61: 759-767.
- Fichera, G.A. and G. Giese. 1994. Non-immunologically-mediated cytotoxicity of *Lactobacillus casei* and its derivative peptidoglycan against tumor cell lines. **Cancer Lett.** 85: 93–103.
- Fogh, J., M.J. Fogh, and T. Orfeo. 1977. One hundred and twentyseven cultured human tumor cell lines producing tumors in nude mice. **J. Natl. Cancer Inst.** 59: 221–226.

- Forestier, C., C. De Champs, C. Vatoux, and B. Joly. 2001. Probiotic activities of *Lactobacillus casei rhamnosus*: in vitro adherence to intestinal cells and antimicrobial properties. **Res. Microbiol.** 152: 167-173.
- Fuller, R. 1993. Probiotic food current use and future development. **IFI NR.** 3: 23-26.
- Gardiner, *et al.* 2002. Persistence of *Lactobacillus fermentum* RC-14 and *Lactobacillus rhamnosus* GR-1 but not *L. rhamnosus* GG in the human Vagina as Demonstrated by Randomly Amplified Polymorphic DNA. **Clin. Diagn. Lab. Immunol.** 9(1): 92-96.
- Garvie, E.I. 1986. Genus *Pediococcus*, In, P. H. A. Sneath, N. S. Mair, M. E. Sharpe, and J. G. Holt (eds.), **Bergey's Manual of Systematic Bacteriology**. 2: 1075-1079.
- Granato, D., F. Perotti, I. Masserey and *et al.* 1999 Cell surface-associated lipoteichoic acid acts as an adhesion factor for attachment of *Lactobacillus johnsonii* Lal to human enterocyte-like Caco-2 cells. **Appl. Environ. Microbiol.** 65: 1071-1077.
- Gerhardsson, M., B. Floderus, and S.E. Norell. 1998. Physical activity and colon cancer risk. **Int. J. Epidemiol.** 17: 743-746.
- Gibson, P.R., I. Moeller , O. Kagelari, M. Folino, and G.P. Young. 1992. Contrasting effects of butyrate on the expression of phenotypic marker of differentiation in neoplastic and nonneoplastic colonic epithelial cells in vitro. **J. Gastroenterol Hepatol.** 7: 165-172.
- Gilliland, S.E. and L.M. Speck. 1989. Antagonistic action of *Lactobacillus acidophilus* forward intestinal and food borne pathogens in associative cultures. **J. Food Prot.** 40: 280-283.
- Gilliland, S.E., E.T. Staley, and J.L. Bush. 1984. Importance of bile tolerance of *Lact. acidophilus* used as a dietary adjunct. **J. Dairy. Sci.** 67: 3045-3051.
- Giovannucci, E., E.B. Rimm, M.J. Stampfer, G.A. Colditz, A. Ascherio, and W.C. Willett. 1994. Intake of fat, meat, and fiber in relation to risk of colon cancer inmen. **Cancer Res.** 54: 2390-2397.

- Gionchetti, P., F. Rizzello, U. Helwig, A. Benture, K.M. Lammers, P. Brigidi, *et al.* 2003. Prophylaxis of pouchitis onset with probiotic therapy: a double-blind placebo controlled trial. **Gastroenterology**. 124: 1202-1209.
- Greene, J. D., and R.T. Klaenhammer. 1994. Factors involved in adherence of Lactobacilli to human Caco-2 cells. **Appl. Environ. Microbiol.** 60: 4487-4494.
- Goldbohm, R.A., P.A. van der Brandt, P. van't Veer, H.A.M. Brants, E. Dorant, F. Sturmans, and R.J.J. Hermus. 1994. A prospective cohort study on the relation between meat consumption and the risk of colon cancer. **Cancer Res.** 54: 718-723.
- Goldin, B.R. and S.L. Gorbach. 1984. Alterations of the intestinal microflora by diet, oral antibiotics and Lactobacillus: decreased production of free amines from aromatic nitro compounds, azo dyes and glucuronides. **J. Natl. Cancer Inst.** 73: 689-695.
- Goodlett, C.R., and H.K. Horn. 2001. Mechanisms of alcohol-induced damage to the developing nervous system. **Alcohol. Res. Health.** 25(3): 175-184.
- Gorbach, S.L., T. Chang, and B. Goldin. 1987. Successful treatment of relapsing *Clostridium difficile* colitis with *Lactobacillus GG*. **Lancet**. 2(8574): 1519.
- Goldin, B., S. Gorbach, M. Saxelin, S. Barakat, L. Gualtieri, and S. Salminen. 1992. Survival of *Lactobacillus GG* in human gastrointestinal tract. **Digest. Dis. Sci.** 37: 121-128.
- Guarner, C. and G. Soriano. 1997. Spontaneous bacterial peritonitis. **Semin. Liver Dis.** 17: 203-217.
- Guarner, F. and J.R. Malagelada. 2003. Gut flora in health and disease. **Lancet**. 361:512-519.
- Guandalini, S., L. Pensabene, M.A. Zikri , J.A. Dias, L.G. Casali, H. Hoekstra, *et al.* 2000. *Lactobacillus GG* administered in oral rehydration solution to children with acute diarrhea: a multicenter European trial. **J. Pediatr. Gastroenterol Nutr.** 30: 54-60.
- Guarino, A. 1998. Effects of probiotics in children with cystic fibrosis. **Gastroenterol Int.** 11(Suppl): 91.

- Harwood S.M., M.M. Yaqoob, and A.D. Allen. 2005. Caspase and calpain function in cell death: bridging the gap between apoptosis and necrosis. **Ann. Clin. Biochem.** 42(6): 415-431.
- Helbock, H.J., K.B. Beckman, M.K. Shigenaga, P.B. Walter, A.A. Woodall , H.C. Yeo, and B.N. Ames. 1998. DNA oxidation matters: The HPLC-electrochemical detection assay of 8-oxodeoxy guanosine and 8-oxo-guanine. **Proc. Natl. Acad. Sci. USA.** 95: 288-293.
- Henderson, B.E., R.K. Ross, and M.C. Pike. 1991. Toward the primary prevention of cancer. **Science.** 254: 1131-1338.
- Hilton, E., H.D. Isenberg, P. Alperstein, K. France , and M.T. Borenstein. 1992. Ingestion of yogurt containing *Lactobacillus acidophilus* as prophylaxis for candidal vaginitis. **Ann. Intern. Med.** 116: 353-357.
- Hilton, E., P. Kowalski , C. Singer, and M. Smith. 1997. Efficacy of *Lactobacillus GG* as a diarrheal preventive in travelers. **J Travel Med.** 4: 41-43.
- Hirai, O., T. Fujitsu, J. Mori, H. Kikuchi, S. Koda, M. Fujioka and Y. Morimoto. 1987. Antitumor activity of purified arabinogalactanpeptidoglycan complex of the cell wall skeleton of *Rhodococcus lentifragmentus*. **J. Gen. Microbiol.** 133: 369-373.
- Hofmann, A.F. 1994. Bile acids. **Raven Press.** 677-718.
- Holzapfel, W.H., Haberer, P., Snel, J., Schillinger, U., Huis in't Veld, J.H.J. 1998. Overview of gut flora and probiotics. International. **J. Food. Microbiol.** 41: 85-101.
- Hu W., and J.J. Kavanagh. 2003. Anticancer therapy targeting the apoptotic pathway. **Lancet. Oncol.** 4(12): 721-729.
- Isolauri, E., T. Arvola , Y. Sutus, E. Moilanen, and S. Salminen. 2000. Probiotics in the management of atopic eczema. **Clin. Exp. Allergy.** 30: 1604-1610.

- Jackson, T.G., G.R.J. Taylor, A.M. , Clohessy, and C.M. William. 1999. The effects of the daily intake of insulin on fasting lipid, insulin and glucose concentrations in middle-aged men and women. **Br. J. Nutr.** 89: 23-30.
- Jacobsen, C.N., V.R. Nielsen, A.E. Hayford, P.L. Moller, K.F. Michaelsen, A.P. Paerregaard, B. Sandstro, M. Tvede and M. Jakobsen. 1999. Screening of Probiotic Activities of Forty-Seven Strains of *Lactobacillus* spp. by In Vitro Techniques and Evaluation of the Colonization Ability of Five Selected Strains in Humans. **Appl. Environ. Microb.** 65: 4949–4956.
- Janne, P.A. and R.J. Mayer. 2000. Chemoprevention of colorectal cancer. **N. Engl. J. Med.** 342: 1960-1968.
- Joanne, R.L. 2004. Microbial Degradation Products Influence Colon Cancer Risk: the Butyrate Controversy. **J. Nutr.** 134: 479-482.
- Kaila, M., E. Isolauri, E. Soppi, E. Virtanen, S. Laine, and H. Arvilommi. 1992. Enhancement of the circulating antibody secreting cell response in human diarrhea by a human strain. **J. Internation Pediatric Research Foundation.** 32(2): 141-144.
- Kalliomaki, M., S. Salminen , H. Arvilommi, P. Kero , P. Koskinen, and E. Isolausi. 2001. Probiotics in primary prevention of atopic disease: a randomized placebo-controlled trial. **Lancet.** 357: 1076-1079.
- Kashket, E.R. 1987. Bioenergetics of lactic acid bacteria: cytoplasmic pH and osmotolerance. **FEMS. Microbiol. Rev.** 46: 233-244.
- Kaye, K.S., J.J. Engemann, S.H. Fraimow, *et al.* 2004. Pathogens resistant to antimicrobial agents:epidemiology, molecular mechanisms, and clinical management. **Infect. Dis. Clin. North. Am.** 18: 467-511.
- Klingberg T.D., L. Axelsson, K. Naterstad, D. Elsser, B.B. Budde. 2005. Identification of potential probiotic starter cultures for Scandinavian-type fermented sausages. **Int. J. Food. Microbiol.** 105: 419– 431.

- Kim Y.J., H. J. Woo, Y. S. Kim and H. J. Lee. 2002. Screening for antiproliferative effects of cellular components from lactic acid bacteria against human cancer cell lines. **Biotechnol. Lett.** 24: 1431–1436.
- Kontula, P., J. Jaskali, L. Nollet, D.I. Smet, V.A. Wright, K. Poutanan and M.T. Sandholm. 1998. The colonization of simulator of the human intestinal microbial ecosystem by a probiotic strain fed on fermented oat bran product effect on gastrointestinal microbiota. **J. Appl. Microbiol Biotechnol.** 50: 246-252.
- Kulkarni, N. and B.S. Reddy. 1994. Inhibitory effect of *Bifidobacterium longum* cultures on the azoxymethane-induced aberrant crypt foci formation and fecal bacterial  $\beta$ -glucuronidase. Proceedings of the Society of Experimental. **Biology and Medicine.** 207: 278–283.
- Kulkarni, N. and B.S. Reddy. 1994. Inhibitory effect of *Bifidobacterium longum* cultures on the azoxymethane-induced aberrant crypt foci formation and fecal bacterial  $\beta$ -glucuronidase. **P. Soc. Exp. Biol. Med.** 207: 278–283.
- Lan, A., D. L. Gossmann, C. Lemaire, C. Brenner, and et al. 2006. Acidic extracellular pH shifts colorectal cancer cell death from apoptosis to necrosis upon exposure to propionate and acetate, major end-products of the human probiotic propionibacteria. **Apoptosis.** 12: 573-591.
- Lee W.J., J. G. Shin, E. H. Kim, H. E. Kang, I. B. Yim, J. Y. Kim, H. G. Joo and H. J. Woo. 2004. Immunomodulatory and antitumor effects *in vivo* by the cytoplasmic fraction of *Lactobacillus casei* and *Bifidobacterium longum*. **J. Vet. Sci.** 5: 41–48.
- Lee, N.K., J.S. Park, E. Park and H.D. Paik. 2007. Adherence and anticarcinogenic effects of *Bacillus polyfermenticus* SCD in the large intestinal. **Lett. Appl. Microbiol.** 44(3): 274-278.

- Lehto, E. M., and J.S. Salminen. 1997. Inhibition of salmonella thyphimurium adhesion to Caco-2 cell culture by *Lactobacillus* strain GG spent culture supernate: only a pH effect? **Immunol. Med. Microbiol.** 18: 125-132.
- Lidbeck, A., U. Geltner-Allinger, K.M. Orrhage *et al.* 1991. Impact of *Lactobacillus acidophilus* supplements on the faecal microflora and soluble faecal bile acids in colon cancer patients. **Microb. Ecol. Health Dis.** 4: 81-88.
- Lievin, V., I. Peiffer, S. Hudaulf, F. Rochat, D. Brassart, J.R. Neeser, *et al.* 2000. *Bifidobacterium* strains from resident infant human gastrointestinal microflora exert antimicrobial activity. **Gut.** 47: 646-652.
- Lichtman, S.M. 2001. Bacterial translocation in humans. **J. Ped. Gastroenterol Nutr.** 33: 1-10.
- Lin, H.C., B.H. Su, A.C. Chen, T.W. Lin , C.H. Tsai, T.F. Yeh, *et al.* 2005. Oral probiotics reduce the incidence and severity of necrotizing enterocolitis in very low birth weight infants. **Pediatrics.** 115: 1-4.
- Lindgren, S.E., and J.W. Dobrogosz. 1990. Antagonistic activities of lactic acid bacteria in food and feed fermentations. **FEMS Microbiol. Rev.** 87: 149-164.
- Lorca, G.L., T. Wadstrom, F.G. Valdez and A. Ljungh. 2001. *Lactobacillus acidophilus* autolysins inhibit *Helicobacter pylori* in vitro. **Curr Microbiol.** 42: 39-44.
- MacGregor, J.T., R. Schlegel, C.M. Wehr, P. Alperin, and B.N. Ames. 1990. Cytogenetic damage induced by folate deficiency in mice is enhanced by caffeine. **Proc Natl. Acad. Sci. USA.** 87: 9962-9965.
- Manjunath, N., B. Ranganathan. 1989. A cytotoxic substance produced by a wild culture of *Lactobacillus casei* D-34 against tumor cells. **Indian J. Exp. Biol.** 27: 141-145.
- Maragkoudakis, P.A., G. Zoumpopoulou, C. Miaris, G. Kalantzopoulos, B. Pot and E. Tsakalidou. 2006. Probiotic potential of *Lactobacillus* strain isolated from dairy product. **Int. Dairy. J.** 16: 189-199.

- Marteau, P., Minekus, M., Havenaar, R. and Huis In't Veld, J. H. J. 1997. Survival of lactic acid bacteria in a dynamic model of stomach and small intestine: validation and the effects of bile. **J. Dairy. Sci.** 80: 1031-1037.
- Majamaa, H. and E. Isolauri. 1997. Probiotics: a novel approach in the management of food allergy. **J. Allergy Clin. Immunol.** 99: 179-185.
- Martin, R., E. Jiménez, M. Olivares, M.L. Marin, L. Fernández, J. Xaus and J.M. Rodriguez. 2006. *Lactobacillus salivarius* CECT 5713, a potential probiotic strain isolated from infant feces and breast milk of a mother-child pair. **Int. J. Food. Microbiol.** 112: 35-43
- Matsuzaki, T. 1998. Immunomodulation by treatment with *Lactobacillus casei* strain Shirota. **Int. J. Food. Microbiol.** 41: 133-140.
- Mayara-Makinen, A., M. Manninen, and H. Gyllenberg. 1983. The adhesion of lactic acid bacteria to the columnar epithelial cells of pigs and calves. **J. Appl. Bacteriol.** 55: 241-245.
- Mc, L.V., C.M. Surawicz, R.N. Greenberg, R. Fekety, G.W. Elmer, K.A. Moyer, et al. 1994. A randomized placebocontrolled trial of *Saccharomyces boulardii* in combination with standard antibiotics for *Clostridium difficile*. **JAMA.** 271: 1913-1918.
- Miller, A., C. Stanton C and R. Devery. 2002. Cis 9, trans 11- and trans 10, cis 12- conjugated linoleic acid isomers induce apoptosis in cultured SW480 cells. **Anticancer Res.** 22: 3879-3887.
- Mirian, B., P.W. Matty, F.P.M. Anton, J.S. Leo, D.H. Femke, M.J.M. Guido, H.F.M. Marjolein, P. Adriaan, R.A. Goldbohm and A. Piet. 2004. Fat and *K-ras* mutations in sporadic colorectal cancer in The Netherlands Cohort Study. **Carcinogenesis.** 25: 1619-1628.
- Miyazawa, E., A. Iwabuchi, and T. Yoshida . 1996. Phytate breakdown and apparent absorption of phosphorus, calcium and magnesium in germfree and conventionalized rats. **Nutr Rev.** 16: 603-613.

- Modler, G.W., R.C. McKellar and M. Yaguchi. 1990. Bifidobacteria and bifidogenic factors. **Canadian Institute of Food Science and Technology Journal.** 23: 29–41.
- Morotomi, M. and M. Mutai. 1986. In vitro binding of potent mutagenic pyrolysates to intestinal bacteria. **J. Natl. Cancer Inst.** 77: 195–201.
- Oda, M., H. Hasegawa, S. Komatsu, M. Kambe and F. Tsuchiya. 1983. Anti-tumor polysaccharide from *Lactobacillus* sp. **Agric. Biol. Chem.** 47: 1623–1625.
- Orrhage, K., E. Sillerstrom, and J.A. Gustafsson *et al.* 1994. Binding of mutagenic heterocyclic amines by intestinal and lactic acid bacteria. **Mutation Research.** 311: 239–248.
- Orrhage, K., A. Annas, C.E. Nord, *et al.* 2002. Effects of lactic acid bacteria on the uptake and distribution of the food mutagen Trp-P-2 in mice. **Scand. J. Gast.** 37: 215–221.
- Ouwehand, A.C. and L.P. Conway. 1996. Purification and characterization of a component produced by *Lactobacillus fermentum* that inhibits the adhesion of K88 expressing *Escherichia coli* to porcine ileal mucus. **J. Appl. Bacteriol.** 80: 311–318.
- Oxoid Limited. 2008. Product List 2008/09. [online]. Available [http://www.oxoid.com/UK/blue/pdf/prod\\_list/ProdList2008.pdf](http://www.oxoid.com/UK/blue/pdf/prod_list/ProdList2008.pdf) (28 November 2008).
- Park, Y. S., Lee, J. Y., Kim, Y. S., & Shin, D. H. 2002. Isolation and characterization of lactic acid bacteria from feces of newborn baby and from dongchimi. **J. Agr. Food. Chem.** 50: 2531–2536.
- Park, H.S., Lee, S.H. and Uhm, T.B. 1998. Selection of microorganisms for probiotics and their characterization. **Kor. J. Food Nutr.** 27: 433–440.
- Park, H.D. and H.C. Rhee. 2001. Antimutagenic activity of *Lactobacillus plantarum* KLAB21 isolated from *kimchi* Korean fermented vegetables. **Biotechnol. Lett.** 23: 1583–1589.

- Pennacchia C., D. Ercolini, G. Blaiotta, O. Pepe, G. Mauriello, F. Villani. 2004. Selection of *Lactobacillus* strains from fermented sausages for their potential use as probiotics. **Meat. Science.** 67: 309-317.
- Petros, A.M., Z. Georgia , M. Christos, K. George , P. Bruno, and T. Effie. 2005. Probiotic potential of *Lactobacillus* strains isolated from dairy products. **Int. Dairy J.** 16: 189-199.
- Pinto, M., S. Robine-Leon, D.M. Appay, M. Kedinger, N. Triadou, E. Dussault, B. Lacroix, P. Simon-Assmann and K. Haffen. 1983. Enterocyte-like differentiation and polarization of the human colon carcinoma cell line Caco-2 in culture. **Biol. Cell.** 47: 323–330.
- Prasad, J., H. Gill, J. Smart, and K.P. Gopal. 1998. Selection and characterisation of *Lactobacillus* and *Bifidobacterium* strains for use as probiotics. **Int. Dairy J.** 8: 993–1002.
- Pochapin, M. 2000. The effect of probiotics on *Clostridium difficile* diarrhea. **Am. J. Gastroenterol.** 95(Suppl): S11-S3.
- Pool-Zobel, B.L., C. Neudecker, I. Domizlaff, *et al.* 1996. *Lactobacillus-* and *Bifidobacterium*-mediated antigenotoxicity in the colon of rats. **Nut. Cancer.** 26: 365–380.
- Regula, K.M., K. Ens, and A.L. Kirshenbaum. 2003. Mitochondria-assisted cell suicide: a license to kill. **J. Mol. Cell. Cardiol.** 35(6): 559-567.
- Rafter, J. 2003. Probiotics and colon cancer. **Best. Pract. Res. Cl. Ga.** 17: 849–859.
- Rafter, J. and B. Glinghammar. 1998. Interactions between the environment and genes in the colon. **Eur. J. Cancer Prev.** 7(Suppl): S69-S74.
- Reddy, G.V., B.A. Friend , K.M. Shahani and R.E. Farmer. 1983. Antitumor activity of yogurt components. **J. Food Prot.** 46: 8–11.
- Reddy, B.S. 1998. Prevention of colon cancer by pre- and probiotics: evidence from laboratory studies. **Br. J. of Nutr.** 80: S219–S223.

- Rojas, M. and L.P. Conway. 1996. Colonization by lactobacilli of piglet small intestinal mucus. **J. Appl. Bacteriol.** 81: 474–480.
- Rojas, M., F. Ascencio, and L.P. Conway. 2002. Purification and characterization of a surface protein from *Lactobacillus fermentum* 104R that binds to porcine small intestinal mucus and gastric mucin. **Appl. Environ. Microbiol.** 68: 2330–2336.
- Rosina, A. 1982. **Human Intestinal Flora in Health and Disease.** PhD thesis, University of Liverpool.
- Rowland, I.R., C.J. Rumney , J.T. Coutts and L.C. Lievense. 1998. Effect of *Bifidobacterium longum* and inulin on gut bacterial metabolism and carcinogen-induced aberrant crypt foci in rats. **Carcinogenesis.** 19: 281–285.
- Rowland, I.R. and P. Grasso. 1975. Degradation of N-nitrosamines by intestinal bacteria. **Appl. Microbiol.** 29: 7–12.
- Rowland, I.R., C.J. Rumney , J.T. Coutts and L.C. Lievense. 1998. Effect of *Bifidobacterium longum* and inulin on gut bacterial metabolism and carcinogen-induced aberrant crypt foci in rats. **Carcinogenesis.** 19: 281–285.
- Saavedra, J. M., N.A. Bauman, I. Oung, J.A Perman, and R.H. Yolken. 1994. Feeding of *Bifidobacterium bifidum*, and *Streptococcus thermophilus* to infants in hospital for prevention of diarrhea, and shedding of rotavirus. **Lancet.** 344: 1046-1049.
- Sakamoto, K. and K. Konishi 1988 Antitumor effect of normal microflora on Ehrlich Ascites Tumor. **Jpn. J. Cancer Res.** 79: 109–116.
- Salminen and A. Von Wright (eds). 2004. Lactic Acid Bacteria: Microbiology and Functional Aspects, 2nd ed. Marcel Dekker, Inc, New York.
- Salminen, S., C. Bouley, and M.C. Boutron-Ruault. 1998. Cummings JH, Franck A, Gibson GR, et al. Functional food science and gastrointestinal physiology and function. **Br. J. Nutr.** 80(Suppl): S147-S71.

- Sanderson, I.R. and W.A. Walker. 1993. Uptake and transport of macromolecules by the intestine: possible role in clinical disorders (an update). **Gastroenterology.** 104: 622-639.
- Schiffrin, E.J., F. Rochat , H. Link-Amster, *et al.* 1995. Immunomodulation of human blood cells following the ingestion of lactic acid bacteria. **J. Dairy Sci.** 78: 491-496.
- Schultz, M. and B. Sartor. 2000. Probiotics and inflammatory bowel diseases. **Am. J. Gastroenterol.** 95(Suppl): S19-S21.
- Sekine, K., T. Toida, M. Saito *et al.* 1985. A new morphologically characterized cell wall preparation (whole peptidoglycan) from *Bifidobacterium infantis* with a higher efficacy on the regression of an established tumor in mice. **Cancer Res.** 45: 1300–1307.
- Sekine, K.,T. Toida, M. Saito, M. Kuboyama, T. Kawashima, and Y. Hashimoto. 1985. A new morphologically characterized cell wall preparation (whole peptidoglycan) from *Bifidobacterium infantis* with a higher efficacy on the regression of an established tumor in mice. **Cancer Res.** 45: 1300–1307.
- Servin, A.V. 2003. Adhesion of probiotic strains to the intestinal mucosa and interaction with pathogens. **Best. Pract. Res. Cl. Ga.** 17:741–754.
- Shanahan, F. 2001. Probiotics in inflammatory bowel disease. **Gut.** 48: 609.
- Shanahan, F. 2001. Inflammatory bowel disease: immunodiagnostics, Immunotherapeutics , and ecotherapeutics. **Gastroenterol.** 120: 622-35.
- Shales, D.M., N.D. Gerding, F.J. John, *et al.* 1997. Society of Healthcare Epidemiology of America and Infectious Diseases Society of America Joint Committee on the Prevention of Antimicrobial Resistance: Guidelines for the Prevention of Antimicrobial Resistance in Hospitals. **Clin Infect Dis.** 25: 584-599.
- Shirota, M. 1992. *Lactobacillus* in heath and desease. Japan: Yakult Honsha Co., Ltd.

- Slattery, M.L., M.C. Schumacher, K.R. Smith, D.W. West , and N. Abd-Eghany. 1998. Physical activity, diet, and risk of colon cancer in Utah. **Am. J. Epidemiol.** 128: 989–999.
- Silvia, A. and S.K.J. Nakaia. 2003. Validation of bacterial growth inhibition models based on molecular properties of organic acids. **Int. J. Food. Microbiol.** 86: 249–255.
- Smulders, F.J.M., P. Barendsen, G.J. van Logtestijn, A.A.D. Mossel, and M.G.van Der Marel. 1986. Review: Lactic acid: considerations in favor of its acceptance as a meat decontaminant. **J. Food Technol.** 21: 419-436.
- Simon, G.L. and S.L. Gorbach. 1984. Intestinal flora in health and disease. **Gastroenterol.** 86: 174-193.
- Singh, J., A. Rivenson , M. Tomita, S. Shimamura, N. Ishibashi , and B.S. Reddy. 1997. *Bifidobacterium longum*, a lactic acidproducing intestinal bacterium inhibits colon cancer and modulates the intermediate biomarkers of colon carcinogenesis. **Carcinogenesis.** 18: 833-841.
- Strompfova V., A. Laukova, A.C. Ouwehand. 2004. Selection of *enterococci* for potential canine probiotic additives. **Vet. Microbiol.** 100: 107–114.
- Swidsinski, A., A. Ladhoff, A. Pernthaler, S. Swidsinski, V. Laening-Baucke, M. Ortner, *et al.* 2002. Mucosal flora in inflammatory bowel disease. **Gastroenterol.** 122: 44-54.
- Sylvia, K.W., R. Chan and O. Lech. 2006. Induction of Programmed Cell Death by Probiotic Bacteria. **DRTC Dairy Day.** 43.
- Tannock, I.F., P.R. Hill, G.R. Bristow, and L. Harrington. 2005. The Basic science of oncology. 4<sup>th</sup> ed.: McGraw-Hill Companies Inc. Canada.
- Thomas, M.R., S.C. Litin, D.R. Osmon, and A.P. Corr, and A.L. Weaver , and C.M. Lohse. 2001. Lack of effect of *Lactobacillus GG* on antibiotic-associated diarrhea:a randomized, placebocontrolled trial. **Mayo. Clin. Proc.** 76: 883-889.

- Toit, M.,A. M.C., Franz, T.M.L. Dick, U. Schillinger, P. haberer, B. Warlies, F. Ahrens and H. W. Holzapfel. 1998. Characterization and selection of probiotic lactobacilli for a preliminary minipig feeding trial and their effect on serum cholesterol level, faeces pH and faeces moisture content. **J. Food Microbiol.** 40: 93-104.
- Toumola, E.M., and J.S. Salminen. 1998. Adhesion of some probiotic and dairy *Lactobacillus* strains to Caco-2 cell cultures. **Int. J. Food. Microbiol.** 41: 45-51.
- Thun, M.J., E.E. Calle, M.M. Namboodiri, W.D. Flanders, R.J. Coates, T. Byers, P. Boffetta, L. Garfinkel, and C.W.J. Heath. 1992. Risk factors for fatal colon cancer in a large prospective study. **J. Natl. Cancer Inst.** 84: 1491–500.
- Weisburger, J.H. and E.L. Wynder. 1987. Etiology of colorectal cancer with emphasis on mechanism of action and prevention. In De Vita VT, Hellman S & Rosenberg SA (eds) Important Advances in Oncology. Philadelphia: **JB. Lippincott.** 197–220.
- Willett, W. C., M. J. Stampfer, G. A. Colditz , B. A. Rosner, and F. E. Speizer. 1990. Relation of meat, fat, and fiber intake to the risk of colon cancer in a prospective study among women. **N. Engl. J. Med.** 323: 1664–1672.
- Wollowski, I., G. Rechkemmer , and B.L. Pool-Zobel. 2001. Protective role of probiotics and prebiotics in colon cancer. **Am. J. Clin. Nutr.** 73(Suppl): S451-S5.
- Won, C.C. , P.M. Hyoun, H.S. Ho, W.S. Gyu, S.M. Kyung, I.J. Jun, H.S. Gil, K.J. Hark, J. J. Soon, K.H. Young. 2007. Microorganism *Pediococcus pentosaceus* EROM101, having immune enhancement, anticancer and antimicrobial activities. **United States Patent.**
- Van Leeuwen, P.A., M.A. Boermeester, A.P. Houdijk, C.C. Ferwerda, M.A. Cuesta , S. Meyer, et al. 1994. Clinical significance of translocation. **Gut.** 35(Suppl): S28-S34.
- Vanderhoof, J.A., D.B. Whitney, D.L. Antonsen, T.L. Hanner, J.V. Lupo and R.J. Young. 1999. *Lactobacillus GG* in the prevention of antibiotic-associated diarrhea in children. **J. Pediatr.** 135: 564-568.

- Venitt, S. 1988. Mutagens in human faeces and cancer of the large bowel. In Rowland IR (ed.) *Role of the Gut Flora in Toxicity and Cancer.* London: Academic Press. 399–460.
- Vesterlund S., V. Vankerckhoven, M. Saxelin, H. Goossens, S. Salminen, and A. C. Ouwehand. 2007. Safety assessment of *Lactobacillus* strains: Presence of putative risk factors in faecal, blood and probiotic isolates. *Int. J. Food. Microbiol.* 116: 325-331.
- Vuyyst, D.L. and E.J. Vandamme. 1994. Antimicrobial potential of lactic acid bacteria. In *Bacteriocins of lactic acid bacteria:Microbiology, Genet. Appl.* 91-142.
- Younes, H., C. Coudray, J. Bellanger, C. Demigne, Y. Rayssiguier, and C. Remesy. 2001. Effects of two fermentable carbohydrate (inulin and resistant starch) and their combination on calcium and magnesium balance in rats. *Br. J. Nutr.* 86: 479-485.
- Zabala, A., M.R. Martoan, A.I. Haza, L. Fernaandez, J.M. Rodroaguez and P. Morales. 2001. Anti-proliferative effect of two lactic acid bacteria strains of human origin on the growth of a myeloma cell line. *Lett. Appl. Microbiol.* 32: 287-292.
- Zhang, X.B. and Y. Ohta. 1993. Microorganisms in the gastrointestinal tract of the rat prevent absorption of the mutagen-carcinogen 3-amino-1,4-dimethyl-5H-pyrido[4,3-b]indole. *Can. J. Microbiol.* 39: 841–845.
- Zhu, H., C.A. Hart, D. Sales2 and N.B. Roberts. 2006. Bacterial killing in gastric juice – effect of pH and pepsin on *Escherichia coli* and *Helicobacter pylori*. *J. Med. Microbiol.* 55: 1265–1270.





ภาครัฐ

อาหารเลี้ยงเชื้อและวิธีการเตรียม

### 1. อาหารเหลวสูตร Nutrient Broth (NB)

ใช้อาหารสำเร็จรูปของบริษัท Merck ซึ่งมีส่วนประกอบดังนี้

|              |     |      |
|--------------|-----|------|
| Meat extract | 3.0 | กรัม |
|--------------|-----|------|

|                   |     |      |
|-------------------|-----|------|
| Peptone from meat | 5.0 | กรัม |
|-------------------|-----|------|

ชั้งอาหาร NB สำเร็จรูปจำนวน 8 กรัม ละลายด้วยน้ำกลั่น ภาชนะให้เป็นเนื้อเดียวกัน ทำการปรับปริมาตรให้ได้ 1 ลิตร จากนั้นนำไปนึ่งฆ่าเชื้อที่อุณหภูมิ 121 องศาเซลเซียส ความดัน 15 ปอนด์ต่อตารางนิว เป็นเวลา 15 นาที

### 2. อาหารแข็งสูตร Nutrient Agar (NA)

ใช้อาหารสำเร็จรูปของบริษัท Merck ซึ่งมีส่วนประกอบดังนี้

|              |     |      |
|--------------|-----|------|
| Meat extract | 3.0 | กรัม |
|--------------|-----|------|

|                   |     |      |
|-------------------|-----|------|
| Peptone from meat | 5.0 | กรัม |
|-------------------|-----|------|

ชั้งอาหาร NB สำเร็จรูปจำนวน 8 กรัม ละลายด้วยน้ำกลั่น ภาชนะให้เป็นเนื้อเดียวกัน เติมผงวุ่น 15 กรัม ทำการปรับปริมาตรให้ได้ 1 ลิตร นำอาหารที่ผสมเข้ากันแล้วไปต้มเพื่อให้ผงวุ่นละลาย จากนั้นนำไปนึ่งฆ่าเชื้อที่อุณหภูมิ 121 องศาเซลเซียส ความดัน 15 ปอนด์ต่อตารางนิว เป็นเวลา 15 นาที

### 3. อาหารเหลวสูตร Brain heart infusion (BHI)

ใช้อาหารสำเร็จรูปของบริษัท Criterion ซึ่งมีส่วนประกอบดังนี้

|                |      |      |
|----------------|------|------|
| Casein peptone | 14.5 | กรัม |
|----------------|------|------|

|                                  |      |      |
|----------------------------------|------|------|
| Brain heart infusion from solids | 10.0 | กรัม |
|----------------------------------|------|------|

|                       |     |      |
|-----------------------|-----|------|
| Animal tissue peptone | 5.0 | กรัม |
|-----------------------|-----|------|

|                 |     |      |
|-----------------|-----|------|
| Sodium chloride | 3.0 | กรัม |
|-----------------|-----|------|

|                    |     |      |
|--------------------|-----|------|
| Disodium phosphate | 2.5 | กรัม |
|--------------------|-----|------|

|          |     |      |
|----------|-----|------|
| Dextrose | 2.0 | กรัม |
|----------|-----|------|

ชั้งอาหาร BHI สำเร็จรูปจำนวน 37 กรัม ละลายด้วยน้ำกลั่น ควรให้เป็นเนื้อเดียวกัน ทำการปรับปริมาตรให้ได้ 1 ลิตร จากนั้นนำไปนึ่งฆ่าเชื้อที่อุณหภูมิ 121 องศาเซลเซียส ความดัน 15 ปอนด์ต่อตารางนิว เป็นเวลา 15 นาที

#### 4. อาหารแข็งสูตร Brain heart infusion (BHI)

ใช้อาหารสำเร็จรูปของบริษัท Criterion ซึ่งมีส่วนประกอบดังนี้

|                                  |      |      |
|----------------------------------|------|------|
| Casein peptone                   | 14.5 | กรัม |
| Brain heart infusion from solids | 10.0 | กรัม |
| Animal tissue peptone            | 5.0  | กรัม |
| Sodium chloride                  | 3.0  | กรัม |
| Disodium phosphate               | 2.5  | กรัม |
| Dextrose                         | 2.0  | กรัม |

ชั้งอาหาร BHI สำเร็จรูปจำนวน 37 กรัม ละลายด้วยน้ำกลั่น ควรให้เป็นเนื้อเดียวกัน เติมผงร้อน 15 กรัม ทำการปรับปริมาตรให้ได้ 1 ลิตร นำอาหารที่ผสมเข้ากันแล้วไปต้มเพื่อให้ผงร้อน ละลาย จากนั้นนำไปนึ่งฆ่าเชื้อที่อุณหภูมิ 121 องศาเซลเซียส ความดัน 15 ปอนด์ต่อตารางนิว เป็นเวลา 15 นาที

#### 5. อาหารเหลวสูตร De Man, Rogosa and Sharpe (MRS)

ใช้อาหารสำเร็จรูปของบริษัท Criterion ซึ่งมีส่วนประกอบดังนี้

|                    |      |      |
|--------------------|------|------|
| Glucose            | 20.0 | กรัม |
| Meat peptone       | 10.0 | กรัม |
| Beef extract       | 10.0 | กรัม |
| Yeast extract      | 5.0  | กรัม |
| Sodium acetate     | 5.0  | กรัม |
| Disodium phosphate | 2.0  | กรัม |
| Ammonium citrate   | 2.0  | กรัม |
| Tween 80           | 1.0  | กรัม |
| Magnesium sulfate  | 0.1  | กรัม |

|                   |      |      |
|-------------------|------|------|
| Manganese sulfate | 0.05 | กรัม |
|-------------------|------|------|

ชั้งอาหาร MRS สำเร็จรูปจำนวน 55 กรัม ละลายด้วยน้ำกลั่น กวนให้เป็นเนื้อเดียวกัน ทำการปรับปริมาตรให้ได้ 1 ลิตร จากนั้นนำไปนึ่งผ่าเชือกที่อุณหภูมิ 121 องศาเซลเซียส ความดัน 15 ปอนด์ต่อตารางนิว เป็นเวลา 15 นาที

#### 6. อาหารแข็งสูตร De Man, Rogosa and Sharpe (MRS)

ใช้อาหารสำเร็จรูปของบริษัท Criterion ซึ่งมีส่วนประกอบดังนี้

|                    |      |      |
|--------------------|------|------|
| Glucose            | 20.0 | กรัม |
| Meat peptone       | 10.0 | กรัม |
| Beef extract       | 10.0 | กรัม |
| Yeast extract      | 5.0  | กรัม |
| Sodium acetate     | 5.0  | กรัม |
| Disodium phosphate | 2.0  | กรัม |
| Ammonium citrate   | 2.0  | กรัม |
| Tween 80           | 1.0  | กรัม |
| Magnesium sulfate  | 0.1  | กรัม |
| Manganese sulfate  | 0.05 | กรัม |

ชั้งอาหาร MRS สำเร็จรูปจำนวน 55 กรัม ละลายด้วยน้ำกลั่น กวนให้เป็นเนื้อเดียวกัน เติมผงรุ่น 15 กรัม ทำการปรับปริมาตรให้ได้ 1 ลิตร นำอาหารที่ผ่านการฆ่าเชื้อแล้วไปต้มเพื่อให้ผงรุ่น ละลาย จากนั้นนำไปนึ่งผ่าเชือกที่อุณหภูมิ 121 องศาเซลเซียส ความดัน 15 ปอนด์ต่อตารางนิว เป็นเวลา 15 นาที



ภาคผนวก ๖  
การเตรียมสารคดี

**1. เตรียมสารละลายน้ำไฮโดรคลอริก (HCl) ความเข้มข้น 1 และ 5 นอร์มอล**

HCl จาก stock มีความเข้มข้น 37.0 เปอร์เซ็นต์ ซึ่งเท่ากับ 12.2 นอร์มอล

เตรียมสารละลายน้ำไฮโดรคลอริก (HCl) ความเข้มข้น 1 นอร์มอล ปริมาตร 100 มิลลิลิตร จากสารละลายน้ำไฮโดรคลอริก (HCl) ความเข้มข้น 12.2 นอร์มอล ดังนี้

$$\begin{array}{lll} C_1 V_1 & = & C_2 V_2 \\ 1 \times 100 & = & 12.2 \times V_2 \\ V_2 & = & 8.20 \end{array}$$

ดังนั้นปีเปตสารละลายน้ำไฮโดรคลอริก (HCl) ความเข้มข้น 12.2 นอร์มอล ปริมาตร 8.20 ลิตร มาละลายในน้ำกลั่น และทำการปรับปริมาตรให้ได้ 100 มิลลิลิตร

เตรียมสารละลายน้ำไฮโดรคลอริก (HCl) ความเข้มข้น 5 นอร์มอล ปริมาตร 100 มิลลิลิตร จากสารละลายน้ำไฮโดรคลอริก (HCl) ความเข้มข้น 12.2 นอร์มอล ดังนี้

$$\begin{array}{lll} C_1 V_1 & = & C_2 V_2 \\ 5 \times 100 & = & 12.2 \times V_2 \\ V_2 & = & 40.98 \end{array}$$

ดังนั้นปีเปตสารละลายน้ำไฮโดรคลอริก (HCl) ความเข้มข้น 12.2 นอร์มอล ปริมาตร 40.98 ลิตร มาละลายในน้ำกลั่น และทำการปรับปริมาตรให้ได้ 100 มิลลิลิตร

**2. เตรียมสารละลายโซเดียมไฮดรอกไซด์ (NaOH) ความเข้มข้น 1 นอร์มอล**

NaOH มี Mw. = 40.0 กรัมต่อลิตร

เตรียมสารละลายโซเดียมไฮดรอกไซด์ (NaOH) ความเข้มข้น 1 นอร์มอล ปริมาตร 100 มิลลิลิตร ทำการซั่ง NaOH จำนวน 4 กรัม ละลายด้วยน้ำกลั่นจนสารละลายหมด ทำการปรับปริมาตรให้เป็น 100 มิลลิลิตร

**3. การเตรียมกลีเซอรอล ความเข้มข้น 20 เปอร์เซ็นต์ (v/v)**

เตรียมกลีเซอรอล ความเข้มข้น 20 เปอร์เซ็นต์ปริมาตร 100 มิลลิลิตร จากกลีเซอรอล ความเข้มข้น 80 เปอร์เซ็นต์ ดังนี้

$$\begin{array}{lll} C_1 V_1 & = & C_2 V_2 \\ 20 \times 100 & = & 80 \times V_2 \\ V_2 & = & 25 \end{array}$$

ดังนั้นปีเปตกลีเซอรอล ความเข้มข้น 80 เปอร์เซ็นต์ ปริมาตร 25 มิลลิลิตร มาละลายในน้ำกลั่น และทำการปรับปริมาตรให้ได้ 100 มิลลิลิตร

#### 4. เตรียมสารละลายน้ำไฮโดรเจนเปอร์ออกไซด์ ( $H_2O_2$ ) ความเข้มข้น 3 เปอร์เซ็นต์ (v/v)

เตรียมสารละลายน้ำไฮโดรเจนเปอร์ออกไซด์ ( $H_2O_2$ ) ความเข้มข้น 3 เปอร์เซ็นต์ ปริมาตร 100 มิลลิลิตร จากสารละลายน้ำไฮโดรเจนเปอร์ออกไซด์ ( $H_2O_2$ ) ความเข้มข้น 37 เปอร์เซ็นต์ ดังนี้

$$\begin{array}{lll} C_1 V_1 & = & C_2 V_2 \\ 3 \times 100 & = & 37 \times V_2 \\ V_2 & = & 8.10 \end{array}$$

ดังนั้นปีเปตสารละลายน้ำไฮโดรเจนเปอร์ออกไซด์ ( $H_2O_2$ ) ความเข้มข้น 3 เปอร์เซ็นต์ ปริมาตร 8.10 ลิตร มาละลายในน้ำกลัน และทำการปรับปริมาตรให้ได้ 100 มิลลิลิตร

#### 5. เตรียมอุทាយออลความเข้มข้น 70 เปอร์เซ็นต์ (v/v)

เตรียมอุทាយออล ความเข้มข้น 70 เปอร์เซ็นต์ ปริมาตร 100 มิลลิลิตร จากอุทាយออล ความเข้มข้น 95 เปอร์เซ็นต์ ดังนี้

$$\begin{array}{lll} C_1 V_1 & = & C_2 V_2 \\ 70 \times 100 & = & 95 \times V_2 \\ V_2 & = & 73.68 \end{array}$$

ดังนั้นปีเปตอุทាយออล ความเข้มข้น 70 เปอร์เซ็นต์ ปริมาตร 73.68 มิลลิลิตร มาละลาย ในน้ำกลัน และทำการปรับปริมาตรให้ได้ 100 มิลลิลิตร

#### 6. เตรียมสารละลายฟอสเฟตบัฟเฟอร์

ประกอบด้วย

Sodium choloride (NaCl) 9 กรัม/ลิตร

Sodium hydrogen phosphate ( $Na_2HPO_4 \cdot 2H_2O$ ) 9 กรัม/ลิตร

Potassium dihydrogen orthophosphate ( $KH_2PO_4$ ) 1.5 กรัม/ลิตร

ทำการซึ่งสารแต่ละตัวตามสูตรข้างต้น ละลายน้ำในน้ำกลันให้เป็นเนื้อเดียวกัน และทำการปรับปริมาตรให้ได้เท่ากับ 1 ลิตร

#### 7. เตรียมอาหารเลี้ยงเซลล์ Dulbecco's modified Eagle's minimal essential medium (DMEM)

ประกอบด้วย

Dulbecco's modified Eagle's minimal

essential medium (DMEM) 13.4 กรัม

Fetal calf serum 10 เปอร์เซ็นต์

Non essential amino acid 1 เปอร์เซ็นต์

Pennicillin-Streptomycin 1 เปอร์เซ็นต์

Sodium hydrogen carbonate ( $\text{NaHCO}_3$ ) 0.74 กรัม

ทำการซึ่งอาหารสำเร็จรูป DMEM 13.4 กรัม เติมน้ำகளั่นลงไปเพื่อละลายอาหารนั้น นำไปกวานเป็นเวลา 30 นาที จากนั้นเติม Fetal calf serum 100 มิลลิลิตร, Non essential amino acid 10 มิลลิลิตร, Pennicillin-Streptomycin 10 มิลลิลิตร, Sodium hydrogen carbonate ( $\text{NaHCO}_3$ ) 0.74 กรัม นำไปปรับค่าความเป็นกรดค่างให้ได้ประมาณ 7.2 จากนั้นปรับปริมาตรด้วยน้ำก้นให้ได้ 1 ลิตร และนำมารองด้วยตัวรองขนาด 0.2 ไมครอน

#### 8. เตรียมอาหารเลี้ยงเซลล์ Non-Supplement-DMEM

ประกอบด้วย

Dulbecco's modified Eagle's minimal

essential medium (DMEM) 13.4 กรัม

Sodium hydrogen carbonate ( $\text{NaHCO}_3$ ) 0.74 กรัม

ทำการซึ่งอาหารสำเร็จรูป DMEM 13.4 กรัม เติมน้ำகளั่นลงไปเพื่อละลายอาหารนั้น นำไปกวานเป็นเวลา 30 นาที จากนั้นเติม Sodium hydrogen carbonate ( $\text{NaHCO}_3$ ) 0.74 กรัม นำไปปรับค่าความเป็นกรดค่างให้ได้ประมาณ 7.2 จากนั้นปรับปริมาตรด้วยน้ำก้นให้ได้ 1 ลิตร และนำมารองด้วยตัวรองขนาด 0.2 ไมครอน

#### 9. เตรียมสารละลาย MTT ความเข้มข้น 0.5 มิลลิกรัม/มิลลิลิตร ในสารละลาย DMSO

ชั่งสาร MTT จำนวน 2.5 มิลลิกรัม จากนั้นเติมสารละลาย DMSO เข้มข้น 100 เปอร์เซ็นต์ลงไป 5 มิลลิลิตร จากนั้นกวนให้เข้ากัน จะได้สารละลายสีเหลือง

#### 10. เตรียม Agarose gel ความเข้มข้น 1.5 เปอร์เซ็นต์ (w/v)

ทำการเตรียมเจลที่ใช้สำหรับทำ electrophoresis โดยชั่งผงวุ้นอะกาโรส 1.5 กรัม ละลายใน TAE buffer ความเข้มข้นเท่ากับ 1X ปริมาตร 100 มิลลิลิตร นำไปหลอมให้ละลาย

#### 11. เตรียมสารละลายเอธิเดียมโพบรมิด

ผสมสารละลายเอธิเดียมไบร์โนด ปริมาตร 40 ไมโครลิตร ในน้ำก้นปริมาตร 50 มิลลิลิตร

#### 12. เตรียม TAE buffer ความเข้มข้น 1X

เตรียม TAE buffer ความเข้มข้น 1X จาก TAE buffer ความเข้มข้น 50X ซึ่งมีวิธีการเตรียมดังนี้

TAE buffer ความเข้มข้น 50X มีส่วนประกอบ ดังนี้

Tris base 242 กรัม

|                                |      |           |
|--------------------------------|------|-----------|
| Gracial acetic acid            | 57.1 | มิลลิลิตร |
| 0.5 M EDTA (pH 8)              | 100  | มิลลิลิตร |
| $C_1V_1 = C_2V_2$              |      |           |
| $1 \times 500 = 50 \times V_2$ |      |           |
| $V_2 = 10$                     |      |           |

ดังนั้นปีเปต TAE buffer ความเข้มข้น 50X ปริมาตร 10 มิลลิลิตร ละลายในน้ำกลั่น และทำการปรับปริมาตรให้ได้ 500 มิลลิลิตร

### 13. เตรียม TE buffer (pH 7.5)

ประกอบด้วย

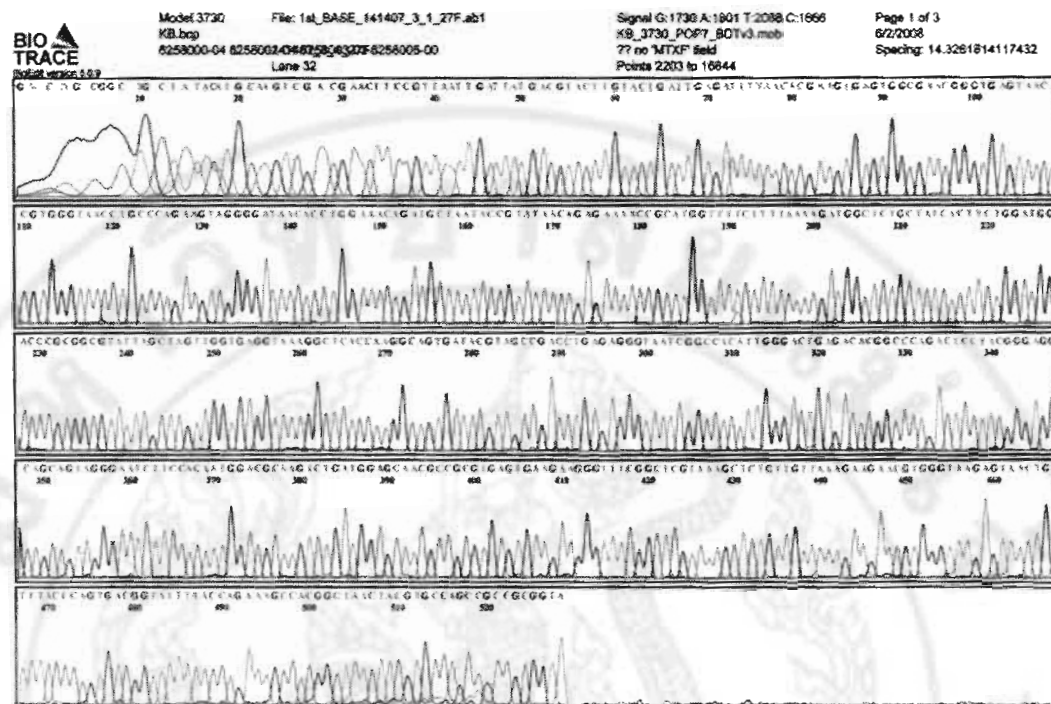
|           |    |    |
|-----------|----|----|
| Tris abse | 10 | mM |
| EDTA      | 1  | mM |

ชั่ง Tris base จำนวน 0.12 กรัมและ EDTA จำนวน 0.0372 กรัม ละลายด้วยน้ำกลั่น ปรับปริมาตร 80 มิลลิลิตร แล้วนำไปปรับ pH ให้ได้ 7.5 ด้วยกรดไฮโดรคลอริกเข้มข้น จากนั้นทำการปรับปริมาตรด้วยน้ำกลั่นให้ได้เท่ากัน 100 มิลลิลิตร

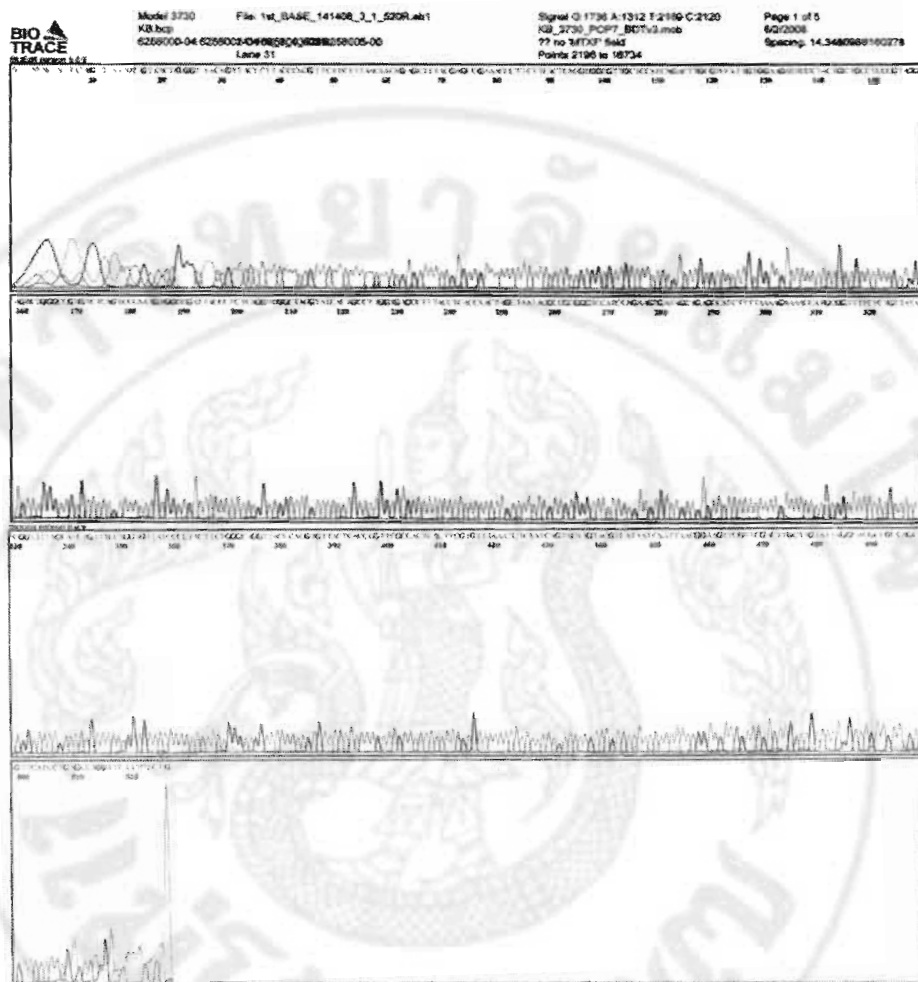


ภาควิชาค

ลำดับเบสของ DNA ในส่วน 16S rRNA

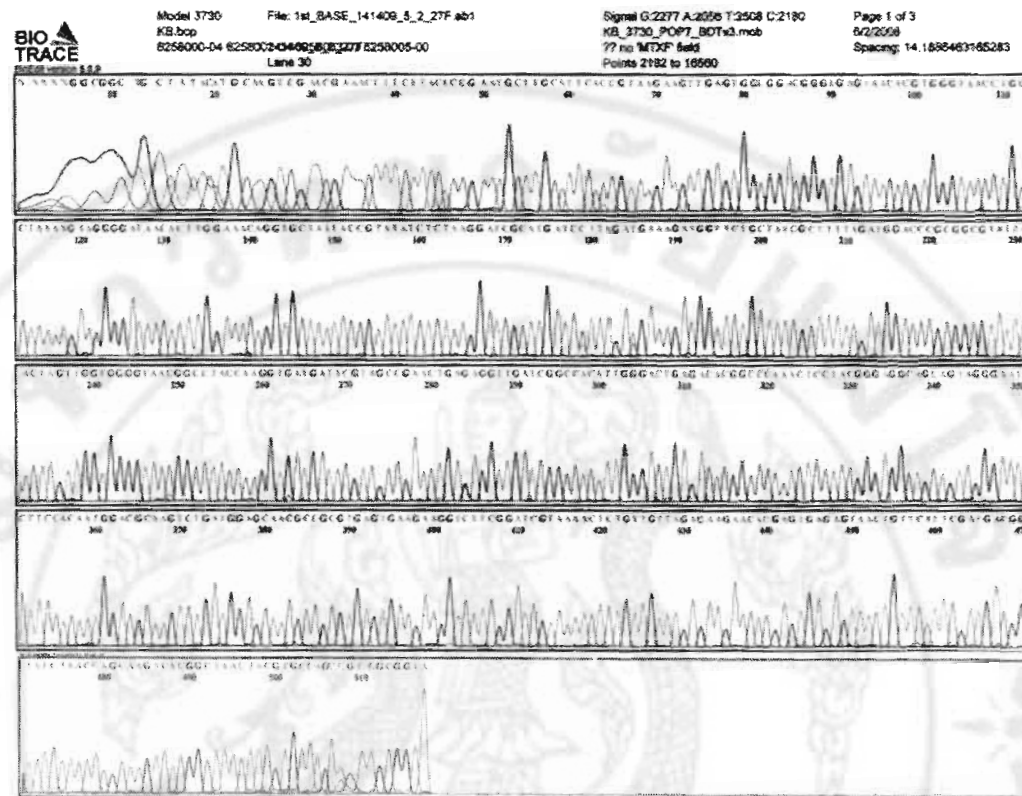


5'GNCNGCGGCTGCTATACATGCAAGTCGACGAACCTCCGTTATTGATTATGACGTA  
CTTGTACTGATTGAGATTTAACACCGAAGTGAGTGGCGAACGGGTGAGTAACACGTG  
GGTAACCTGCCAGAAGTAGGGATAACACCTGGAAACAGATGCTAATACCGTATA  
ACAGAGAAAACCGCATGGTTTCTTAAAAGATGGCTCTGCTATCACTCTGGATGG  
ACCCGCGCGTATTAGCTAGTTGGTGAGGTAAAGGCTCACCAAGGCAGTGATACGTA  
GCCGACCTGAGAGGGTAATCGGCCACATTGGGACTGAGACACGGCCAGACTCCTAC  
GGGAGGCAGCAGTAGGGAATCTTCCACAATGGACGCAAGTCTGATGGAGCAACGCC  
GCGTGAGTGAAGAAGGGTTCGGCTCGTAAAGCTCTGTTAAAGAAGAACGTGGG  
TAAGAGTAACGTAACTGACGGTATTAAACCAGAAAGCCACGGCTAACTACG  
TGCCAGCCGCCGCGTA3'

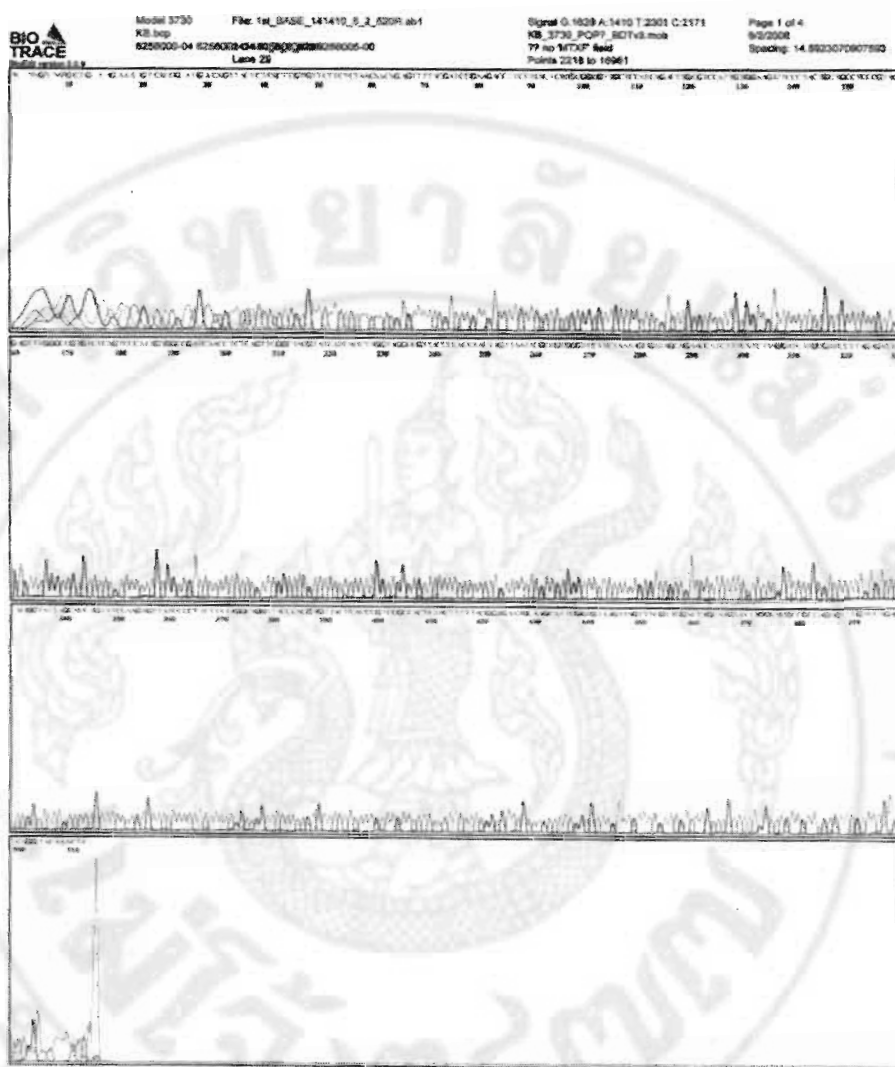


5'NNNNNATCGGTATACCGTCACTGGGTAACAGTTACTCTTACCCACGTTCTTCTTAA  
 CAACAGAGCTTACGAGCCAAACCCTCTTCACTCACGCCGGCTTGCTCCATCAGA  
 CTTGCGTCCATTGTGGAAGATTCCCTACTGCTGCCTCCGTAGGAGTCTGGGCCGTGT  
 CTCAGTCCAATGTGCCGATTACCCCTCAGGTCGGTACGTATCACTGCCTGGTG  
 AGCCTTACCTCACCAACTAGCTAATACGCCCGGGTCCATCCAGAAGTGATAGCAG  
 AGCCATCTTTAAAAGAAAACCATCGGTTCTCTGTATACGGTATTAGCATCTGT  
 TTCCAGGTGTTATCCCCTACTTCTGGCAGGTTACCCACGTGTTACTCACCGTTCGC  
 CACTCACTCGTGTAAAATCTCAATCAGTACAAGTACGTATAATCAATTAAACGGA  
 AGTCGTTGACTTGCATGTATTAGGCACGCCAGCGTTACCTGAGCCAGGATC  
 AAACTCTG3'

ภาพภาคผนวก 2 ลำดับเบสของยีน 16S rRNA ของแบคทีเรียไอโซเลต MC31 ที่ได้จาก primer

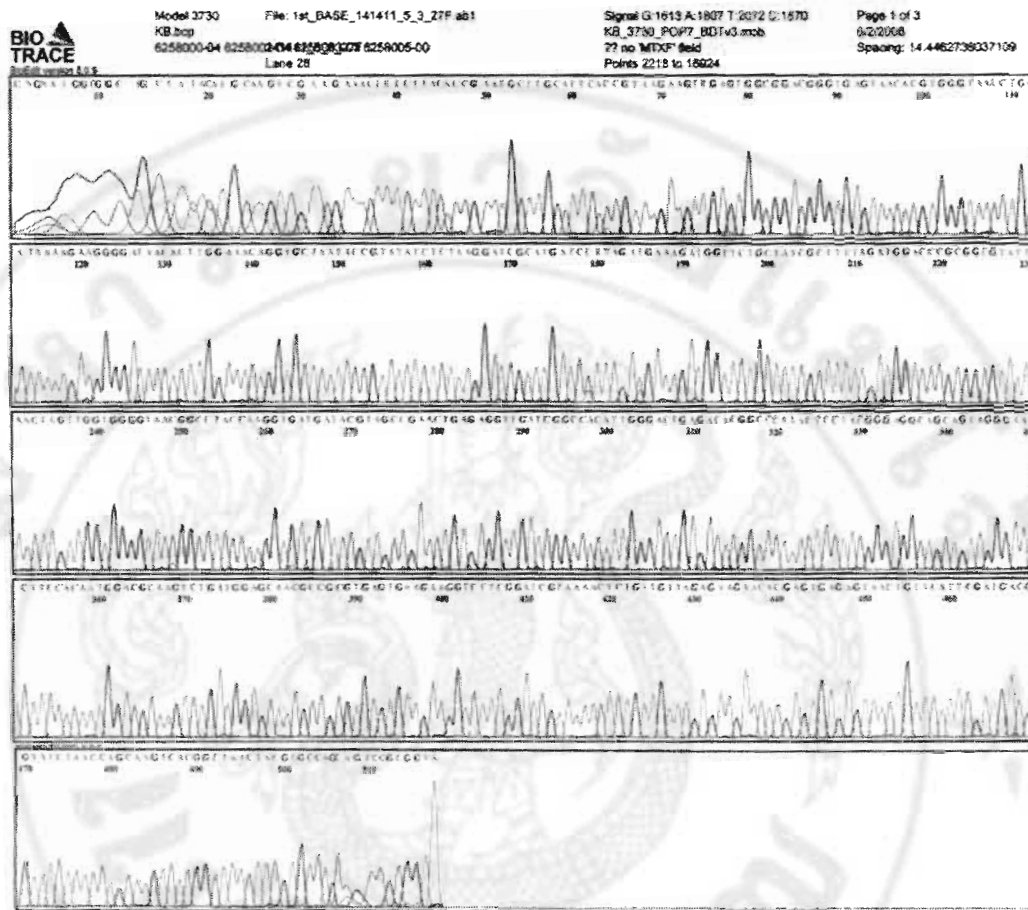


5'NNNNNGCGGCTGCTATACATGCAAGTCAACGAAACTTTCTTACACCGAATGCTT  
GCATTCACCGTAAGAAGTTGAGTGGCGGACGGGTGAGTAACACGTGGGTAACTGCC  
TAAAAGAAGGGATAACACTTGGAAACAGGTGCTAATACCGTATATCTCTAAGGATC  
GCATGATCCTTAGATGAAAGATGGTCTGCTATCGCTTTAGATGGACCCGCGCGTA  
TTAACTAGTTGGTGGGTAACGGCTACCAAGGTGATGATACTGAGCCAACTGAGA  
GGTGATCGGCCACATTGGACTGAGACACGGCCAAACTCCTACGGGAGGCAGCA  
GTAGGGAATCTTCACAATGGACGCAAGTCTGATGGAGCAACGCCGCGTGAGTGAA  
GAAGGTCTCGATCGTAAAACCTCTGTTAGAGAAGAACACGAGTGAGAGTAAC  
GTTCATTGATGACGGTATCTAACCAAGCAAGTCACGGCTAACTACGTGCCAGCCGGC  
GGTA3'

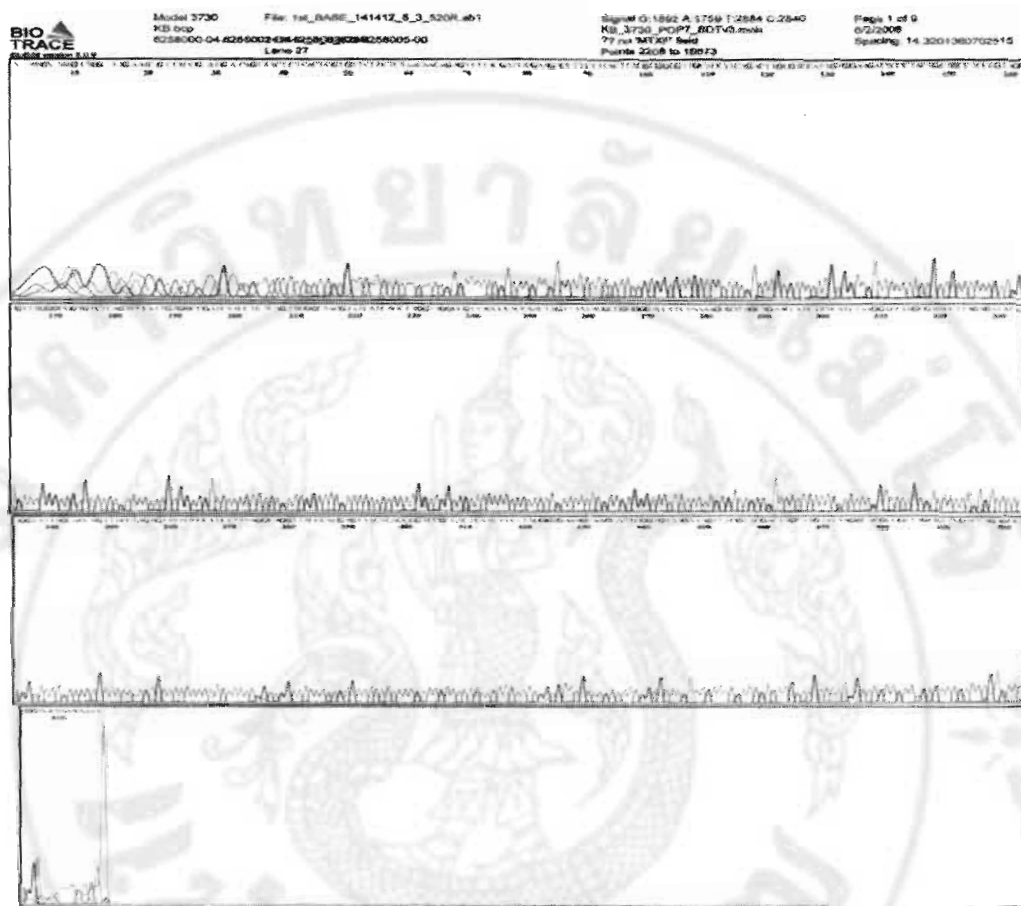


5'NNNNNGNNATGCTGCAGAACGTACATCGATGACAGTTACTCTCACTCGTGTCTTCTC  
 AACAAACAGAGTTTACGATCCGAAGACCTTCTTCACTCACGCCGTTGCTCCATCA  
 GACTTGCCTCCATTGTGGAAAGATTCCCTACTGCTGCCTCCCGTAGGAGTTGGGCCGT  
 GTCTCAGTCCAATGTGGCCGATCAACCTCTCAGTCGGCTACGTATCATCACCTGG  
 TAGGCCGTTACCCCACCAACTAGTTAATACGCCGCGGTCCATCTAAAAGCGATAGC  
 AGAACCATTTCATCTAAGGATCATGCGATCCTAGAGATATACGGTATTAGCACC  
 GTTTCCAAGTGTATCCCCTTTAGGCAGGTTACCCACGTGTTACTACCCGTCC  
 GCCACTCAACTTCTACGGTGAATGCAAGCATTGGTGAAGAAAGTTCGTTCGACT  
 TGCATGTATTAGGCACGCCGCCAGCGTCTGAGCCAGGTACAAACTC3'

ภาพภาคผนวก 4 ลำดับเบสของยีน 16S rRNA ของแบคทีเรียโซลูเต MC52 ที่ได้จาก primer

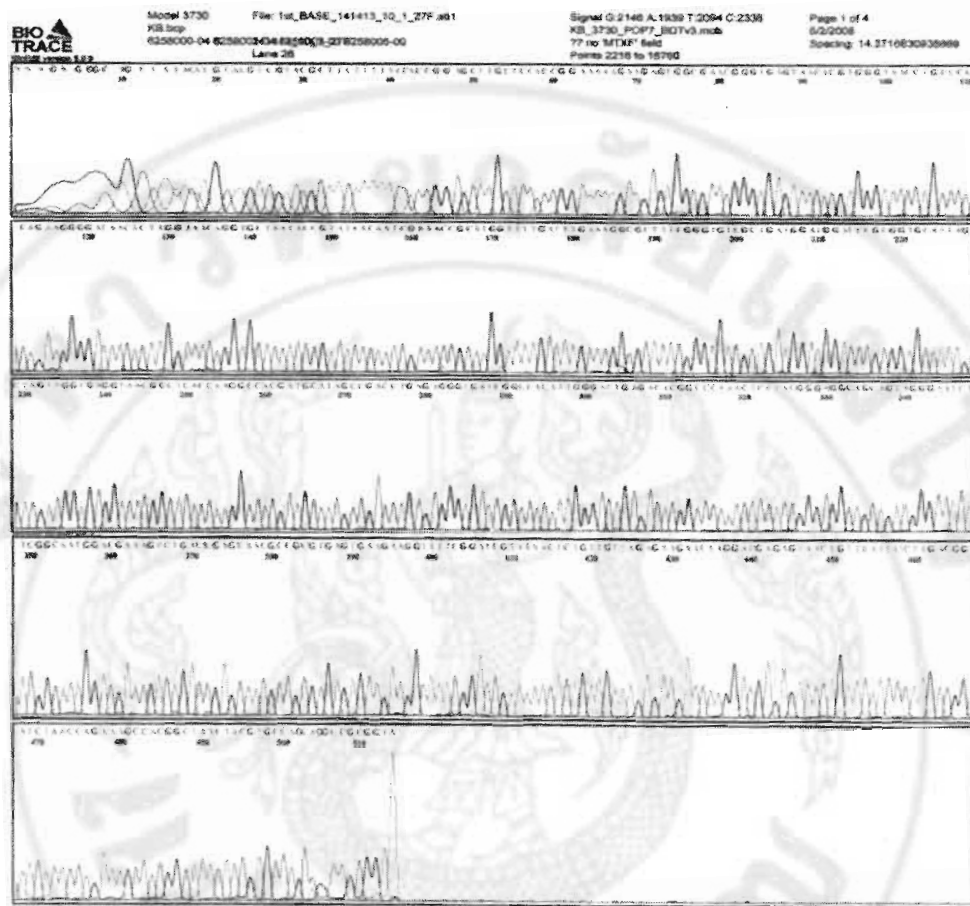


5' CNGNATGGCGGCTGCTATACATGCAAGTCGACGAAACTTCTTACACCGAATGCTT  
 GCATTCACCGTAAGAACAGTTGAGTGGCGGACGGGTGAGTAACACGTGGGTAAACCTGCC  
 TAAAAGAACGGGATAAACACTTGAAACAGGTGCTAATACCGTATATCTCTAAGGATC  
 GCATGATCCTTAGATGAAAGATGGTCTGCTATCGCTTTAGATGGACCCGGCGTA  
 TTAACTAGTTGGTGGGTAACGGCTACCAAGGTGATGATACTGAGCCGAACGTGAGA  
 GGTTGATCGGCCACATTGGACTGAGACACGGCCAAACTCCTACGGAGGCAGCA  
 GTAGGGAATCTTCCACAATGGACGCAAGTCTGATGGAGCAACGCCGTGAGTGAA  
 GAAGGTCTCGGATCGTAAAACCTGTTAGAGAAGAACACGAGTGAGAGTA  
 GTTCATTGATGACGGTATCTAACCAAGCAAGTCACGGCTAACTACGTGCCAGCAGCC  
 CGCGGTAA'



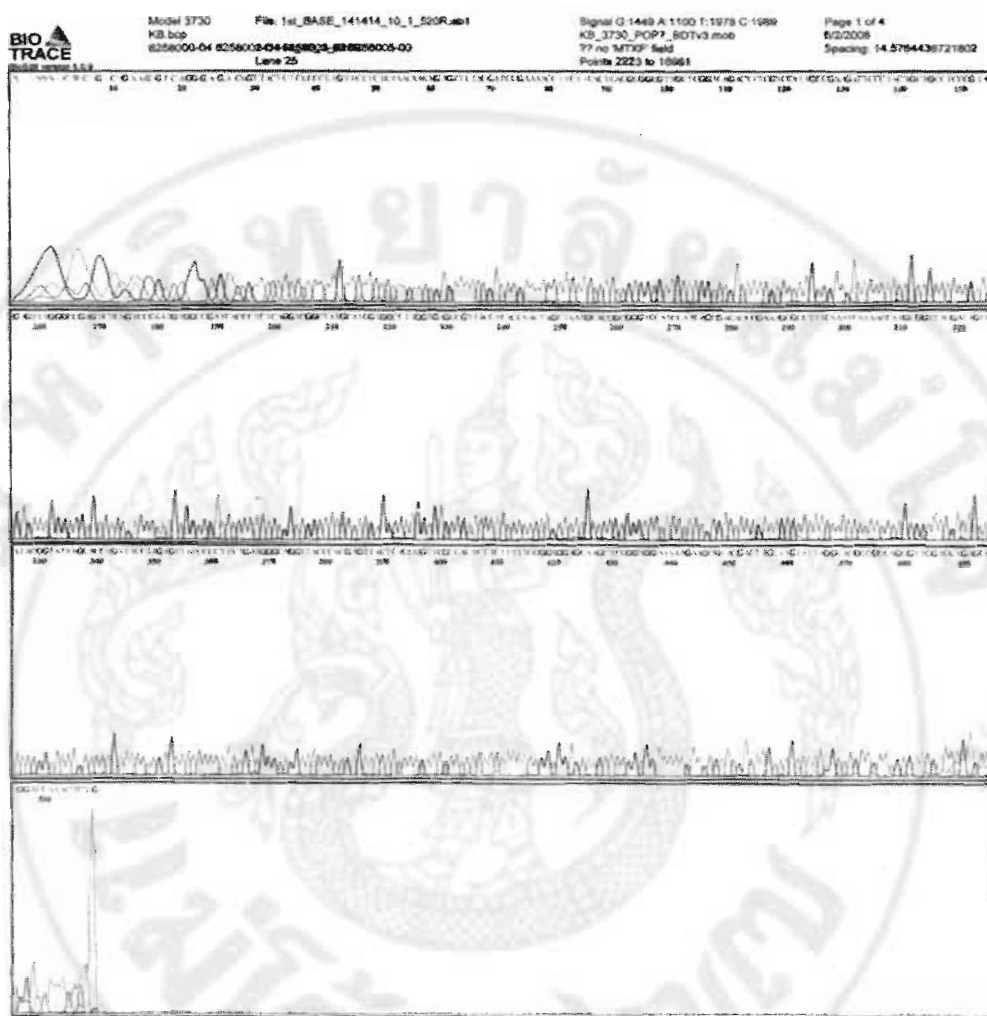
5'NNNNNNNATGCTGGTAGAACCGTCATCGATGACAGTTACTCTCACTCGTGTCTTC  
TCTAACAAACAGAGTTTACGATCCGAAGACCTTCTTCACTCACCGCGCGTTGCTCCAT  
CAGACTTGCCTCCATTGTGGAAGATCCCTACTGCTGCCCTCCGTAGGAGTTGGGCC  
GTGTCTCAGTCCCAATGTGGCCGATCAACCTCTCAGTCGGCTACGTATCATCACCT  
GGTAGGCCGTTACCCCACCAACTAGTTAATACGCCGCCGGTCCATCTAAAAGCGATA  
GCAGAACCATCTTCATCTAAGGATCATGCGATCCTAGAGATATACGGTATTAGCA  
CCTGTTCCAAGTGTATCCCCTTTAGGCAGGTTACCCACGTGTTACTCACCGT  
CCGCCACTCAACTCTTACGGTGAATGCAAGCATTGGTGAAGAAAGTTCGTCTCG  
CTTGCATGTATTAGGCACGCCGCCAGCGTCGTCCTGAGCCAGGTAAACAAAACAAAA  
3'

ภาพภาคผนวก 6 ลำดับเบสของยีน 16S rRNA ของแบคทีเรียไอโซเลต MC53 ที่ได้จาก primer

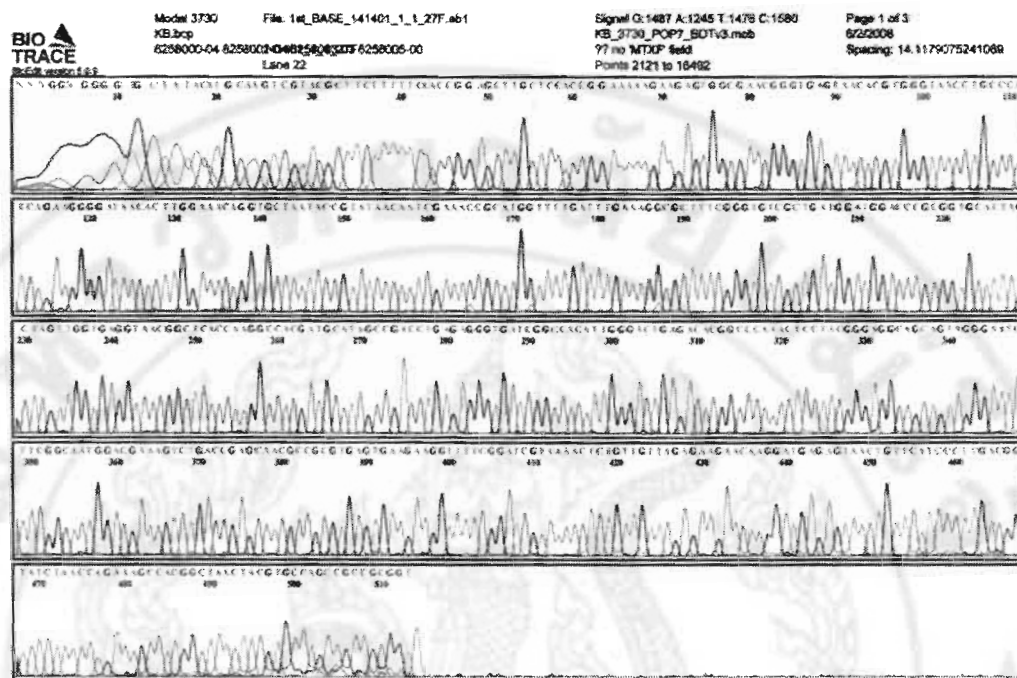


5'NNNGNGGGCTGCTATACATGCAAGTCGTACGCTTCTTTCCACCGGAGCTTGCTCC  
ACCGGAAAAAGAAGAGTGGCGAACGGGTGAGTAACACGTGGTAACCTGCCCATCA  
GAAGGGATAACACTGGAAACAGGTGCTAACCGTATAACAATCGAAACCGCAT  
GGTTTGATTGAAAGGCCTTCGGGTGTCGCTGATGGATGGACCCGCGGTGCATTA  
GCTAGTTGGTAGGTAACGGCTACCAAGGCCACGATGCATAGCCGACCTGAGAGG  
GTGATCGGCCACATTGGACTGAGACACGGCCAAACTCCTACGGGAGGCAGCAGT  
AGGGAAATCTCGGCAATGGACGAAAGTCTGACCGAGCAACGCCCGTGAAGTGAAGA  
AGGTTTCGGATCGTAAAACCTCTGTTAGAGAAGAACAGGATGAGAGTAACGT  
TCATCCCTGACGGTATCTAACCAAGAAAGCCACGGCTAACTACGTGCCAGCAGGCCG  
CGGTA3'

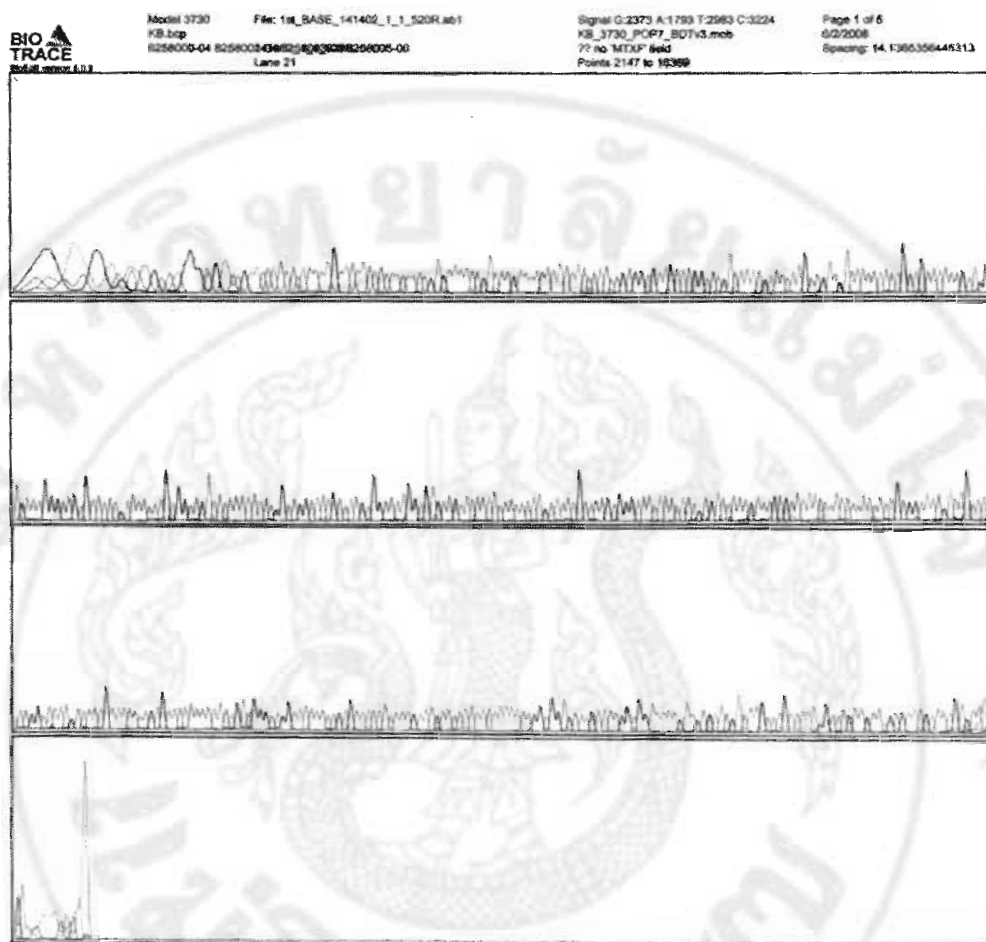
ภาพภาคผนวก 7 ลำดับเบสของชิ้น 16S rRNA ของแบคทีเรียไอโซเลต MC101 ที่ได้จาก primer



5'NNNNCTCGCAGAACCGTCAGGGAGACAGTTACTCTCATCCTGTTCTCTTAACA  
ACAGAGTTTACGATCCGAAAACCTCTTCACTCACGCCGTTGCTCGGTAGACTT  
TCGTCCATTGCCGAAGATTCCCTACTGCTGCCTCCGTAGGAGTTGGGCCGTCTC  
AGTCCAATGTGGCCGATCACCCCTCTCAGGTCGGCTATGCATCGTGGCCTTGGTGAG  
CCGTTACCTCACCAACTAGCTAATGCACCGCGGGTCCATCCATCAGCGACACCCGAA  
AGCGCCTTCAAATCAAACCATGCGGTTCGATTGTTACGGTATTAGCACCTGTT  
TCCAAGTGTATCCCCTCTGATGGCAGGTTACCCACGTGTTACTCACCGTTGCC  
ACTCTTCTTTCCGGTGGAGCAAGCTCCGGTGGAAAAAGAACGTACGACTTGCAT  
GTATTAGGCACGCCGCCAGCGTTGCTGAGCCAGGATCAAACCTG3'  
ภาพภาคผนวก 8 ลำดับเบสของยีน 16S rRNA ของแบคทีเรียไอโซเลต MC101 ที่ได้จาก primer



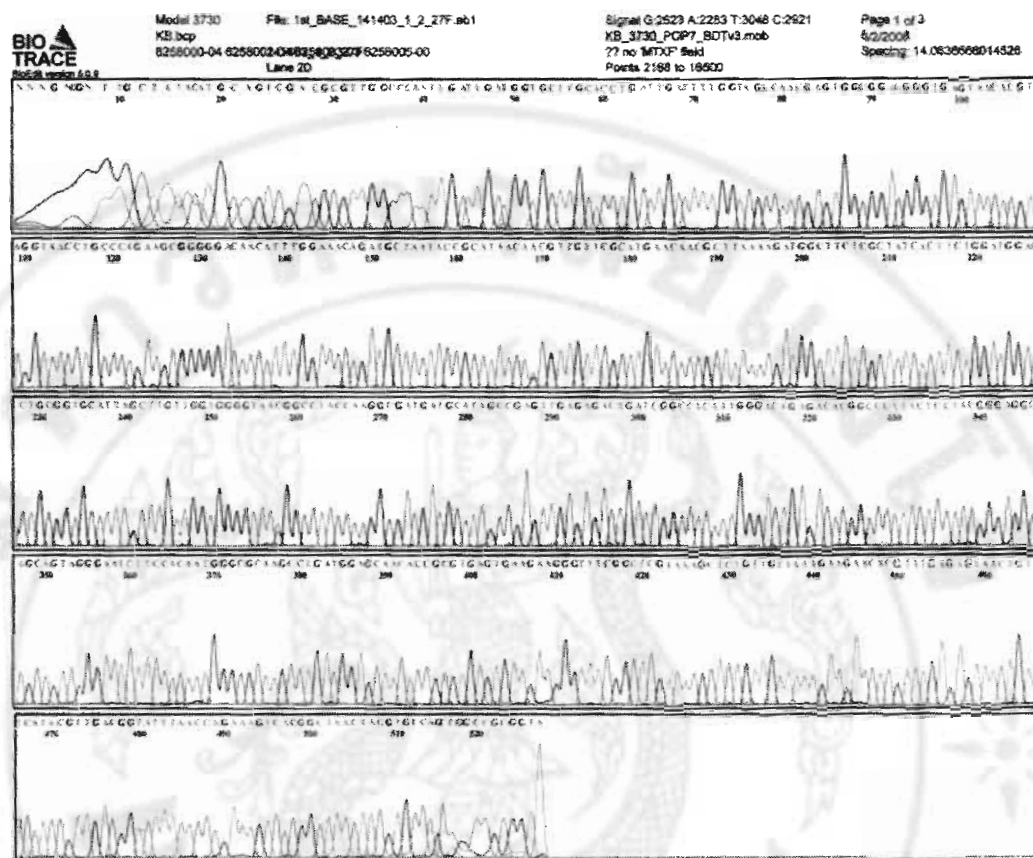
5'NNNGGNGGGTGCATAACATGCAAGTCGTACGCTTCTTTCCACCGGAGCTGCT  
CCACCGGAAAAAGAACAGAGTGGCGAACGGGTGAGTAACACGTGGTAACCTGCCAT  
CAGAAGGGATAACACTTGGAAACAGGTGCTAACCGTATAACAATCGAAACCGC  
ATGGTTTGATTTGAAAGGCCTTCGGGTGTCGCTGATGGATGGACCCGCGTGCAT  
TAGCTAGTTGGTGGTAACGGCTACCAAGGCCACGATGCATAGCCACCTGAGAG  
GGTATCGGCCACATTGGACTGAGACACGGCCAAACTCCTACGGGAGGCAGCAG  
TAGGGAATCTTCGGCAATGGACGAAAGTCTGACCGAGCAACGCCCGTGAGTGAAG  
AAGGTTTCGGATCGTAAACTCTGTTAGAGAAGAACAGGATGAGAGTAACG  
TTCATCCCTGACGGTATCTAACAGAAAGCCACGGCTAACTACGTGCCAGCCCG  
CGGT3'



5'NNNNNNNTGGTAGAACGTCAGGGAGACAGTTACTCTCATCCTGTTCTCTAA  
CAACAGAGTTTACGATCCGAAAACCTTCTCACTCACGCCGCGTTGCTCGGTAGA  
CTTCGTCCATTGCCGAAGATTCCCTACTGCTGCCTCCCGTAGGAGTTGGGCCGTGT  
CTCAGTCCAATGTGGCCGATCACCCCTCTCAGGTCGGCTATGCATCGTGGCCTGGTG  
AGCCGTTACCTCACCAACTAGCTAATGCACCGCGGGTCCATCCATCAGCGACACCCG  
AAAGCGCCTTCAAATCAAACCATGCGGTTCGATTGTTACGGTATTAGCACCTG  
TTCCAAGTGTATCCCCTCTGATGGGCAGGTTACCCACGTGTTACTCACCGTTCG  
CCACTCTTTCCGGTGGAGCAAGCTCCGGTGGAAAAAGAAGCGTACGACTTGC  
ATGTATTAGGCACGCCGCCAGCGTCTGAGCCAGGTCCAAACTCTGA3'

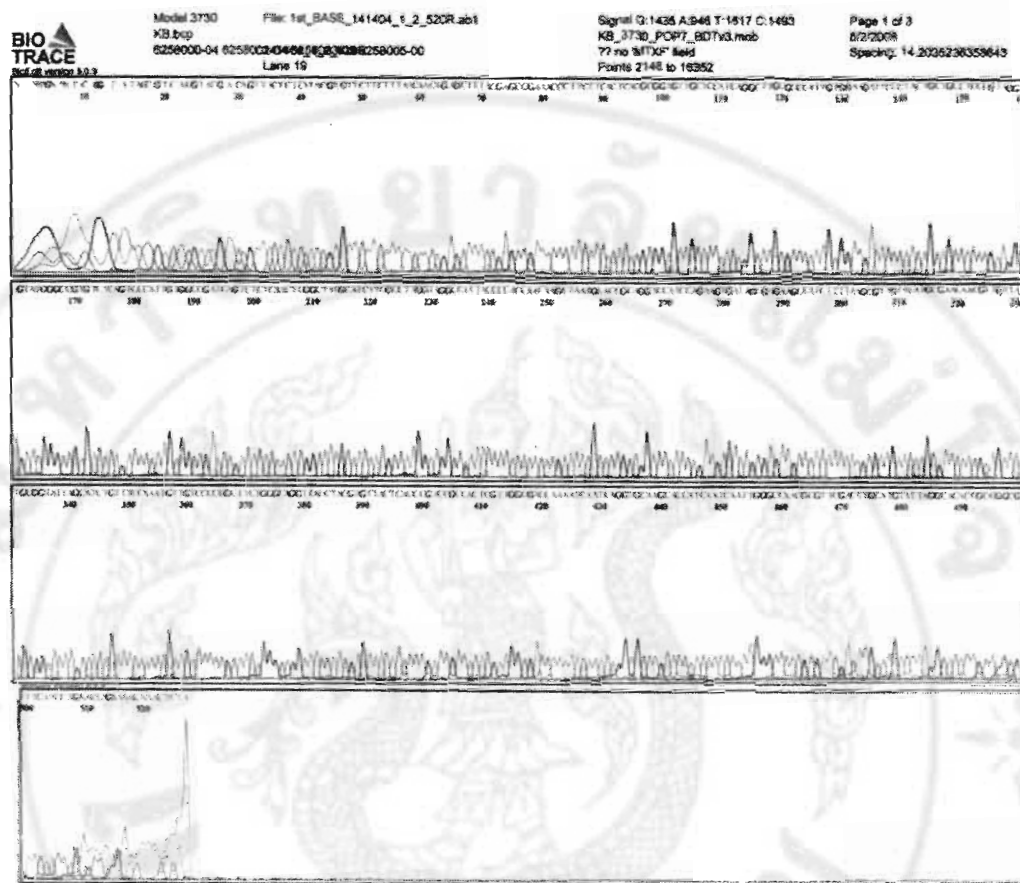
ภาพภาคผนวก 10 ลำดับเบสของยีน 16S rRNA ของแบคทีเรียไอโซเลต RM11 ที่ได้จาก primer

520R



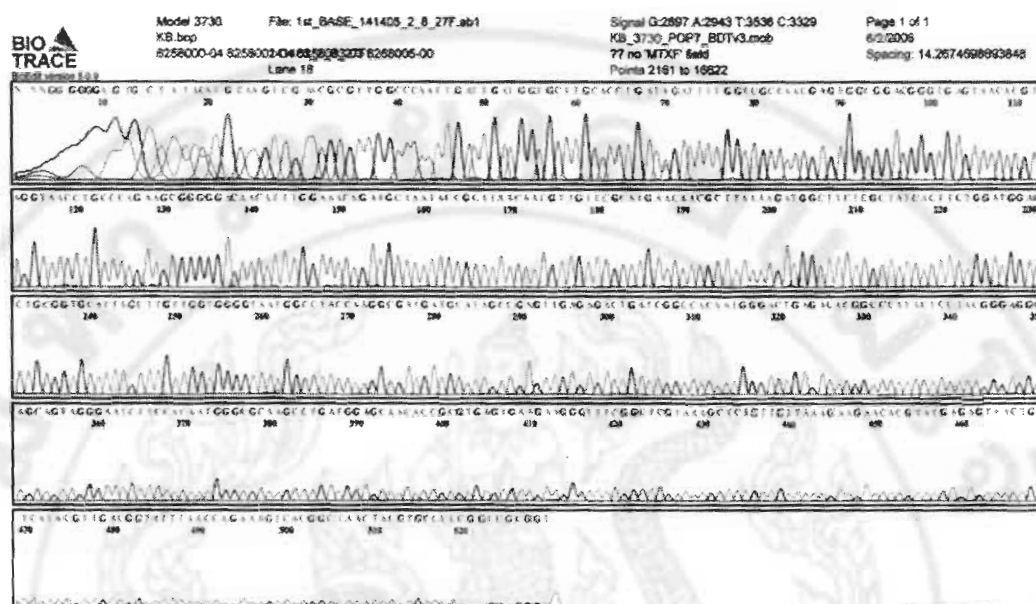
5'NNNGNCNTTGCTATACATCGAGTCAGCGTTGGCCAATTGATTGATGGTGCTT  
GCACCTGATTGATTGGTCGCCAACGAGTGGCGGACGGGTGAGTAACACGTAGGTA  
ACCTGCCAGAACGGGGACAACATTGAAACAGATGCTAATACCGCATAACAA  
CGTTGTTCGCATGAACAACGCTTAAAGATGGCTCTCGCTATCACTCTGGATGGAC  
CTGCGGTGCATTAGCTTGGTGGGTAAACGGCCTACCAAGGCGATGATGCATAGC  
CGAGTTGAGAGACTGATCGGCCACAATGGGACTGAGACACGGCCCATACTCCTACGG  
GAGGCAGCAGTAGGAAATCTTCCACAATGGCGCAAGCCTGATGGAGCAACACCGC  
GTGAGTGAAGAAGGGTTCGGCTCGTAAAGCTCTGTTAAAGAAGAACACGTATG  
AGAGTAACTGTTACGTTGACGGTATTAACCAGAAAGTCACGGCTAACTACGTG  
CCAGCCGGCCGCGGTA3'

ภาพภาคผนวก 11 ลำดับเบสของยีน 16S rRNA ของแบคทีเรียไอโซเลต RM12 ที่ได้จาก primer



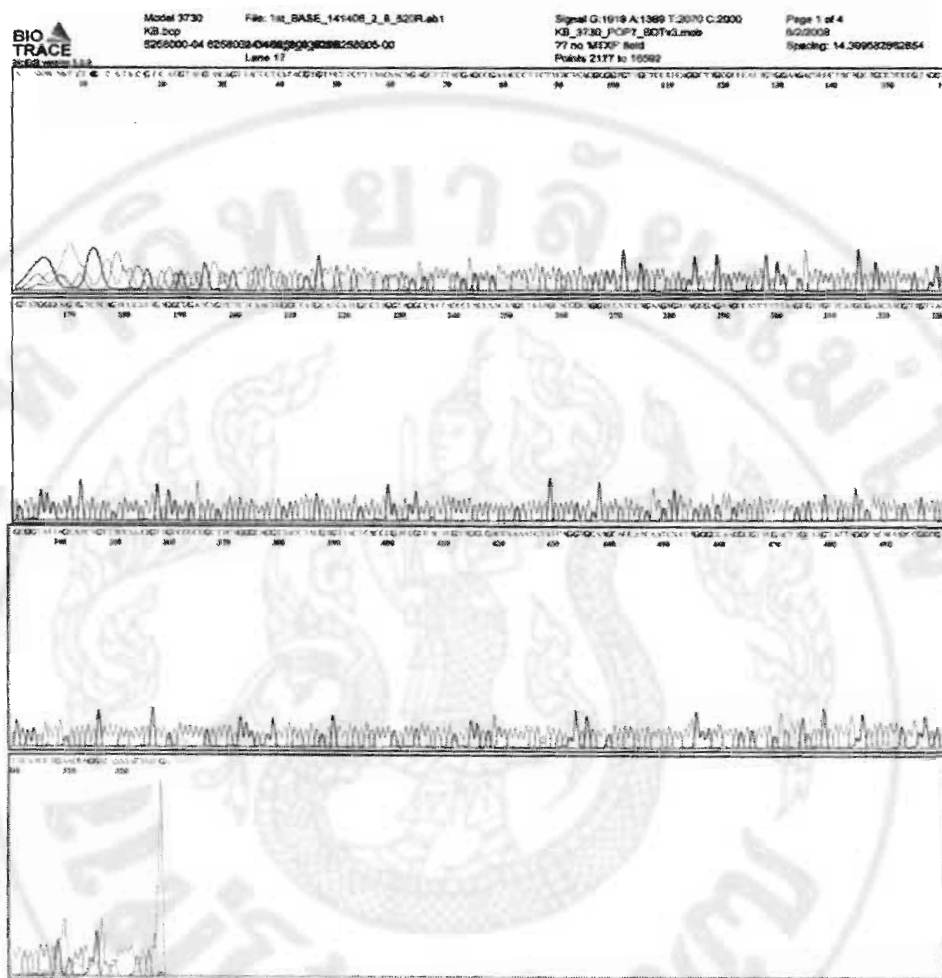
5'NNNNNNNTCGTATACCGTCACGTATGACAGTTACTCTCATACGTGTTCTTCTTA  
 ACAACAGAGCTTACGAGCCAAACCCCTTCTCACTCACGCCGTGTGCTCCATCAG  
 GCTTGCGCCATTGTGGAAGATTCCCTACTGCTGCCTCCGTAGGAGTATGGGCCGTG  
 TCTCAGTCCCATTGTGGCCGATCAGTCTCTCAACTCGGCTATGCATCATGCCCTGGT  
 AGGCCATTACCCCACCAACAAGCTAATGCACCGCAGGTCCATCCAGAAGTGATAGCG  
 AGAAGCCATCTTTAACCGTTGTTCATGCGAACACGTTTATGCGGTATTAGCATC  
 TGTTCCAAATGTTGTCGGCGCTTCTGGGCAGGTTACCTACGTGTTACTCACCCGTC  
 CGCCACTCGTTGGCGACCAAAATCAATCAGGTGCAAGCACCATAATCAATTGGGCC  
 AACCGCGTTGACTTGCATGTATTAGGCACACCGCCGGCGTTCATCCTGAACCAGAAA  
 ACAAACTCTA3'

ภาพภาคผนวก 12 ลำดับเบสของยีน 16S rRNA ของแบคทีเรียโซเดต RM12 ที่ได้จาก primer 520R



5'NNNNGGGGGAGTGCTATACATGCAAGTCGAACCGCGTGGGCCAATTGATTGATGGT  
GCTTGCACCTGATAGATTGGTCGCCAACGAGTGGCGGACGGGTGAGTAACACGTA  
GGTAACCTGCCAGAACGGGGACAACATTGGAAACAGATGCTAACACCGATA  
ACAACGTTTCGCATGAACAACGCTAAAAGATGGCTCTCGCTATCACTCTGGAT  
GGACCTGCGGTGCATTAGCTTGGTGGGTAATGGCCTACCAAGGCGATGATGCA  
TAGCCGAGTTGAGAGACTGATCGGCCACAATGGGACTGAGACACGGCCCATACTCCT  
ACGGGAGGCAGCAGTAGGGAATCTTCCACAATGGCGCAAGCCTGATGGAGCAACA  
CCCGGTGAGTGAAGAAGGGTTCGGCTCGTAAAGCTCTGTTAAAGAAGAACACG  
TATGAGAGTAACGTTCATACGTTGACGGTATTAACCAGAAAGTCACGGCTAACTA  
CGTGCCACCGGCCCGGT3'

ภาพภาคผนวก 13 ลำดับเบสของยีน 16S rRNA ของแบคทีเรียไอโซเลต RM28 ที่ได้จาก primer



5'NNNNNNATCTGGTATACGTACGTATGAACAGTTACTCTCATACGTGTTCTTCTTTA  
 ACAACAGAGCTTACGAGCCGAAACCCCTCTCACTCACCGGGTGTGCTCCATCAG  
 GCTTGCGCCATTGTGGAAGATTCCCTACTGCTGCCTCCGTAGGAGTATGGGCCGTG  
 TCTCAGTCCCATTGTGGCCGATCAGTCTCTCAACTCGGCTATGCATCATCGCCTTGGT  
 AGGCCATTACCCCACCAACAAGCTAACGCTAACGACCCGAGGTCCATCCAGAAGTGATAGCG  
 AGAAGCCATTTTAAGCGTTGTCATGCGAACAAACGTTGTTATGCGGTATTAGCATIC  
 TGTTCCAATGTTGTCGGCGCTTCTGGCAGGTTACCTACGTGTTACTCACCGTC  
 CGCCACTCGTGGCGACCAAAATCTATCAGGTGCAAGCACCATAATCAATTGGGCC  
 AACCGCGTTGACTTGCATGTATTAGGCACACCCGCCGGCGTTATCCTGAACCAGGAT  
 AAAAACTAATGA3'

ภาพภาคผนวก 14 ลำดับเบสของยีน 16S rRNA ของแบคทีเรียไซเลต RM28 ที่ได้จาก primer



ภาคผนวก จ

ประวัติผู้วิจัย

## ประวัติผู้วิจัย

|                         |                        |                                                                                                                                                                    |
|-------------------------|------------------------|--------------------------------------------------------------------------------------------------------------------------------------------------------------------|
| <b>ชื่อ-สกุล</b>        | นางสาวforgpran         | บุญประสม                                                                                                                                                           |
| <b>เกิดเมื่อ</b>        | 20 ธันวาคม 2526        |                                                                                                                                                                    |
| <b>สถานที่เกิด</b>      | จังหวัดปทุมธานี        |                                                                                                                                                                    |
| <b>ประวัติการศึกษา</b>  | พ.ศ. 2539<br>พ.ศ. 2548 | มัธยมศึกษา โรงเรียนบุณยวาทวิทยาลัย จังหวัดลำปาง<br>ปริญญาวิทยาศาสตร์บัณฑิต (เทคโนโลยีชีวภาพ)<br>มหาวิทยาลัยแม่โจ้ จังหวัดเชียงใหม่                                 |
|                         | พ.ศ. 2551              | ปริญญาวิทยาศาสตร์มหาบัณฑิต (เทคโนโลยีชีวภาพ)<br>มหาวิทยาลัยแม่โจ้ จังหวัดเชียงใหม่                                                                                 |
| <b>ประวัติการฝึกงาน</b> | พ.ศ. 2547              | นักศึกษาฝึกงาน บริษัทไทยออยล์ จำกัด (มหาชน)<br>จังหวัดชลบุรี                                                                                                       |
| <b>ผลงานทางวิชาการ</b>  | พ.ศ. 2549              | การพัฒนาผลิตภัณฑ์น้ำนมถั่วเหลืองหมักเสริมโปร<br>ไนโอดิกแบคทีเรีย <sup>ชั้น</sup> การประชุมวิชาการครั้งที่ 7 (ภาคบรรยาย)<br>มหาวิทยาลัยแม่โจ้                       |
|                         | พ.ศ. 2551              | การศึกษาคุณสมบัติของ Lactobacillus fermentum<br>CFM12 เพื่อประยุกต์ใช้เป็นแบคทีเรียโปรไนโอดิก<br>การประชุมวิชาการ ครั้งที่ 1 (ภาคบรรยาย)<br>มหาวิทยาลัยแม่โจ้-เพร' |
|                         | พ.ศ. 2551              | การคัดเลือกและศึกษาคุณสมบัติของ โปรไนโอดิก<br>แบคทีเรียที่มีประสิทธิภาพในการขับถ่ายเซลล์มะเร็งลำไส้<br>วิทยานิพนธ์ปริญญาโท มหาวิทยาลัยแม่โจ้                       |